

การพัฒนาคอนกรีตบล็อกระบบเซลลูลาร์ด้วยส่วนผสมจากวัสดุธรรมชาติ

เพื่อปรับปรุงคุณสมบัติฉนวนกันความร้อน

DEVELOPMENT OF CLC BLOCK WITH NATURAL MATERIAL ADMIXTURE
FOR HEAT INSULATION ATTRIBUTE IMPROVEMENT



ปริญญานิพนธ์นี้เป็นส่วนหนึ่งของการศึกษาตามหลักสูตรปริญญาวิศวกรรมศาสตรบัณฑิต

สาขาวิชาวิศวกรรมโยธา

คณะวิศวกรรมศาสตร์

สถาบันเทคโนโลยีพระจอมเกล้าเจ้าคุณทหารลาดกระบัง

เอกสารนี้เป็นเอกสารที่สงวนไว้สำหรับการใช้งานเพื่อการศึกษาเท่านั้น ไม่อนุญาตให้นำไปใช้ประโยชน์ด้านการค้า
ไม่ว่ากรณีใดๆทั้งสิ้น อีกทั้งห้ามมิให้ตัดแปลงเนื้อหา และเผยแพร่ไปยังผู้อื่นโดยไม่ได้รับอนุญาตจากเจ้าของเอกสารทุกครั้งที่มีการนำไปใช้

ปีการศึกษา 2563

This material is reserved for educational use only, not allowed for commercial use.

Forbidden to modify the content, and cite the document when use.

DEVELOPMENT OF CLC BLOCK WITH NATURAL MATERIAL ADMIXTURE
FOR HEAT INSULATION ATTRIBUTE IMPROVEMENT



A SPECIAL PROJECT SUBMITTED IN PARTIAL FULFILLMENT OF

THE REQUIREMENT FOR THE DEGREE OF

BACHELOR OF CIVIL ENGINEERING

DEPARTMENT OF CIVIL ENGINEERING, FACULTY OF ENGINEERING

KING MONGKUT'S INSTITUTE OF TECHNOLOGY LADKRABANG

เอกสารนี้เป็นเอกสารที่สงวนไว้สำหรับการใช้งานเพื่อการศึกษาเท่านั้น ไม่อนุญาตให้นำไปใช้ประโยชน์ด้านการค้า
ACADEMIC YEAR 2020

ไม่ว่ากรณีใดๆทั้งสิ้น อีกทั้งห้ามมิให้ดัดแปลงเนื้อหา และต้องอ้างอิงถึงเจ้าของเอกสารทุกครั้งที่มีการนำไปใช้

This material is reserved for educational use only, not allowed for commercial use.

Forbidden to modify the content, and cite the document when use.

ภาควิชาวิศวกรรมโยธา คณะวิศวกรรมศาสตร์

สถาบันเทคโนโลยีพระจอมเกล้าเจ้าคุณทหารลาดกระบัง

ใบรับรองโครงการพิเศษ







หัวข้อโครงการพิเศษ การพัฒนาคอนกรีตบล็อกระบบเซลล์ลูลาร์ด้วยส่วนผสมจากวัสดุธรรมชาติ เพื่อปรับปรุงคุณสมบัติฉนวนกันความร้อน
DEVELOPMENT OF CLC BLOCK WITH NATURAL MATERIAL ADMIXTURE FOR HEAT INSULATION ATTRIBUTE IMPROVEMENT

นักศึกษา นางสาวจิระภา มาพงษ์ รหัสประจำตัว 60010146
นายธรรมศร เชียงทองสุข รหัสประจำตัว 60010445
นางสาวธารารัตน์ แก้วสกุลณี รหัสประจำตัว 60010467

หลักสูตร วิศวกรรมศาสตรบัณฑิต

สาขาวิชา วิศวกรรมโยธา

อาจารย์ที่ปรึกษา ผศ.ดร.อำพน จรัสรุ่งเกียรติ

คณะกรรมการสอบโครงการพิเศษ		ลายมือชื่อ
ผศ.ดร.อำพน	จรัสรุ่งเกียรติ	
ผศ.ดร.อาทิตย์	เพชรศศิธร	
ผศ.ดร.อภิญญาวิทย์	สุจริตพงษ์	
ดร.ณัฐดนัย	สินสมุทรผดุง	
รศ.สุวัฒน์	ฉัตรเศรษฐ์	
อาจารย์ทรงกลด	แซ่อึ้ง	

วัน/เดือน/ปี ที่สอบ 26 พฤษภาคม 2564 เวลา 10.00 – 12.30 น.

สถานที่สอบ ออนไลน์

ภาควิชาวิศวกรรมโยธารับรองแล้ว



(ผศ.ดร.อาทิตย์ เพชรศศิธร)

เอกสารนี้เป็นเอกสารที่สงวนไว้สำหรับการใช้งานเพื่อการศึกษาเท่านั้น ไม่อนุญาตให้นำไปใช้ประโยชน์ด้านการค้า
หัวหน้าภาควิชาวิศวกรรมโยธา
ไม่ว่ากรณีใดๆทั้งสิ้น อีกทั้งห้ามมิให้ตัดแปลงเนื้อหา และต้องอ้างอิงถึงเจ้าของเอกสารทุกครั้งที่มีการนำไปใช้
วันที่.....

This material is reserved for educational use only, not allowed for commercial use.

Forbidden to modify the content, and cite the document when use.

การพัฒนาคอนกรีตบล็อกระบบเซลลูลาร์ด้วยส่วนผสมจากวัสดุธรรมชาติ

เพื่อปรับปรุงคุณสมบัติฉนวนกันความร้อน

นางสาวจิระภา มาพงษ์ รหัสประจำตัว 60010146

นายธรรมศร เชียงทองสุข รหัสประจำตัว 60010445

นางสาวธารารัตน์ แก้วสกุลณี รหัสประจำตัว 60010467

อาจารย์ที่ปรึกษา ผศ.ดร.อำพน จรัสจรวงเกียรติ

ปีการศึกษา 2563

บทคัดย่อ

งานวิจัยนี้ทำการประยุกต์เทคโนโลยีคอนกรีตมวลเบา โดยใช้คอนกรีตมวลเบาแบบเซลลูลาร์ ซึ่งมีคุณสมบัติพิเศษคือ ความเป็นฉนวนป้องกันความร้อน โดยใช้ส่วนผสมมวลรวมพิเศษจากวัสดุเหลือใช้โดยในที่นี่เป็นการใช้วัสดุเหลือใช้จากธรรมชาติ คือขุยมะพร้าว ที่มีคุณสมบัติพื้นฐานคือเป็นฉนวนความร้อนที่ดี เพื่อนำไปใช้สำหรับงานก่อสร้างอาคารที่พักอาศัย ทั้งนี้ การผลิตคอนกรีตมวลเบา ในอุตสาหกรรมมีต้นทุนที่สูง ทำให้ประชาชนมักจะเลือกใช้คอนกรีตบล็อกหรืออิฐมวลเบาที่มีราคาสูงกว่าในการก่อสร้างผนัง ซึ่งการใช้วัสดุเหลือใช้ คือ ขุยมะพร้าว จะสามารถลดปริมาณวัสดุในการผลิตคอนกรีตมวลเบาที่มีราคาสูง เช่น ซีเมนต์และทราย โดย ขุยมะพร้าว ที่มีคุณสมบัติเป็นฉนวนความร้อนนั้น จะสามารถลดปริมาณความร้อนที่แผ่เข้าอาคารได้มากกว่าวัสดุก่อสร้างทั่วไป โดยการทดสอบใช้มาตรฐาน มอก. 2601 – 2556 เพื่อควบคุมการผลิตคอนกรีตมวลเบาแบบเซลลูลาร์ และ ทดสอบค่าการนำความร้อน (Thermal conductivity, K, ASTM C518)

คำสำคัญ : คอนกรีตมวลเบาแบบเซลลูลาร์, ฉนวนป้องกันความร้อน, ขุยมะพร้าว

เอกสารนี้เป็นเอกสารที่สงวนไว้สำหรับการใช้งานเพื่อการศึกษาเท่านั้น ไม่อนุญาตให้นำไปใช้ประโยชน์ด้านการค้า
ไม่ว่ากรณีใดๆทั้งสิ้น อีกทั้งห้ามมิให้ตัดแปลงเนื้อหา และต้องอ้างอิงถึงเจ้าของเอกสารทุกครั้งที่มีการนำไปใช้

This material is reserved for educational use only, not allowed for commercial use.

Forbidden to modify the content, and cite the document when use.

DEVELOPMENT OF CLC BLOCK WITH NATURAL MATERIAL ADMIXTURE

FOR HEAT INSULATION ATTRIBUTE IMPROVEMENT

Ms.Jirapha Mapong Student ID. 60010146

Mr.Thammasorn Chaingthongsuk Student ID. 60010445

Ms.Thararat Kaewsakulnee Student ID. 60010467

Advisor Asist.Prof. Dr.-Ing.Amphon Jarasjarungkiat

Academic Year 2020

ABSTRACT

This research, the application of aerated concrete technology using autoclaved aerated concrete has special characteristics, which is to prevent heat by using special aggregates from waste materials, with natural waste materials, namely coir pith. Coconut, which has basic properties, is a good insulation for construction of residential buildings. Mass production in light industry has a high cost, therefore people tend to use cheaper concrete or brick bricks. In the construction of waste materials, coconut coir pith can reduce the amount of materials in the production of light weight, such as the processing and use of coconut coir pith with heat insulation properties. Can enter the building more than other building materials by testing using the TISI standard 2601 - 2013 Production Control for Light Weight Cellular System and Calorific Value Testing (Thermal conductivity, K, ASTM C518).

Keywords: Cellular Lightweight Concrete, Insulation, Coconut Coir Pith

เอกสารนี้เป็นเอกสารที่สงวนไว้สำหรับการใช้งานเพื่อการศึกษาเท่านั้น ไม่อนุญาตให้นำไปใช้ประโยชน์ด้านการค้า
ไม่ว่ากรณีใดๆทั้งสิ้น อีกทั้งห้ามมิให้ดัดแปลงเนื้อหา และต้องอ้างอิงถึงเจ้าของเอกสารทุกครั้งที่มีการนำไปใช้

This material is reserved for educational use only, not allowed for commercial use.

Forbidden to modify the content, and cite the document when use.

กิตติกรรมประกาศ

วิทยานิพนธ์ฉบับนี้สำเร็จลุล่วงไปได้ด้วยดี ผู้วิจัยขอขอบพระคุณ ผศ.ดร.อำพน จรัสจรวงเกียรติ ที่ให้ความอนุเคราะห์รับเป็นอาจารย์ที่ปรึกษา ให้คำปรึกษา แนะนำ และให้การช่วยเหลือในการทำวิทยานิพนธ์ รวมถึงสอนวิธีการทำงานที่ดีทำให้ผู้วิจัยรู้จักพัฒนาตนเองในด้านการงานให้ดียิ่งขึ้น

ขอขอบคุณคณะกรรมการสอบวิทยานิพนธ์ที่ให้คำแนะนำและแนวทางในการปรับปรุงวิทยานิพนธ์ให้มีความสมบูรณ์มากขึ้น ขอขอบคุณคณะอาจารย์ คณะวิศวกรรมศาสตร์ สถาบันเทคโนโลยีพระจอมเกล้าเจ้าคุณทหารลาดกระบังทุกท่าน ที่สั่งสอนวิชาความรู้ ถ่ายทอดประสบการณ์ต่าง ๆ และนำความรู้เหล่านั้นมาใช้ในการทำวิจัยนี้

สำหรับคุณประโยชน์และคุณงามความดีอันใดที่เกิดจากวิทยานิพนธ์ฉบับนี้ ข้าพเจ้าขอมอบให้มารดา ผู้เป็นที่รักและเคารพยิ่ง ครูอาจารย์ที่ประสิทธิ์ประสาทวิชาความรู้ให้แก่ข้าพเจ้ามาตลอดจนถึงทุกวันนี้ และถ่ายทอดประสบการณ์ที่ดีให้แก่ข้าพเจ้า



จิระภา มาพงษ์

ธรรมศร เชียงทองสุข

ธรรรัตน์ แก้วสกุลณี

เอกสารนี้เป็นเอกสารที่สงวนไว้สำหรับการใช้งานเพื่อการศึกษาเท่านั้น ไม่อนุญาตให้นำไปใช้ประโยชน์ด้านการค้า
ไม่ว่ากรณีใดๆทั้งสิ้น อีกทั้งห้ามมิให้ดัดแปลงเนื้อหา และต้องอ้างอิงถึงเจ้าของเอกสารทุกครั้งที่มีการนำไปใช้

This material is reserved for educational use only, not allowed for commercial use.

Forbidden to modify the content and cite the document when use.

สารบัญ

บทคัดย่อ.....	I
ABSTRACT.....	II
กิตติกรรมประกาศ.....	III
สารบัญ.....	IV
สารบัญตาราง.....	VIII
สารบัญรูปภาพ.....	X
บทที่ 1 บทนำ.....	1
1.1 ความเป็นมาและความสำคัญ.....	1
1.2 วัตถุประสงค์ของการศึกษา.....	2
1.3 สมมุติฐานของงานวิจัย.....	2
บทที่ 2 ทฤษฎีและงานวิจัยที่เกี่ยวข้อง.....	4
2.1 คอนกรีตมวลเบา (Lightweight Concrete).....	4
2.1.1 การจำแนกคอนกรีตมวลเบาตามประเภทของวัสดุที่ใช้.....	4
2.1.2 คอนกรีตมวลเบาแบบเซลลูลาร์ (Cellular Lightweight Concrete).....	7
2.1.3 มาตรฐานคอนกรีตมวลเบา ระบบ Cellular Lightweight Concrete.....	8
2.2 ทฤษฎีการถ่ายเทความร้อน.....	10
2.2.1 การนำความร้อน (Conduction Heat Transfer).....	11
2.2.2 การพาความร้อน (Convection).....	11
2.2.3 การแผ่รังสี (Radiation).....	11
2.3 คุณสมบัติทางกายถ่ายเทความร้อนของวัสดุก่อสร้าง.....	12
2.3.1 ค่าสัมประสิทธิ์การนำความร้อน.....	12
2.3.2 ค่าความต้านทานความร้อน (Thermal resistance).....	12
2.3.3 ค่าสัมประสิทธิ์การถ่ายเทความร้อนรวม (U-Value).....	13
2.3.4 ค่าความจุความร้อนจำเพาะ (Specific Heat Capacity).....	13

เอกสารนี้เป็นเอกสารที่จัดทำขึ้นเพื่อการศึกษาเท่านั้น ไม่อนุญาตให้นำไปใช้ประโยชน์ด้านการค้า
ไม่ว่ากรณีใดๆทั้งสิ้น ถ้อยคำในเอกสารนี้ให้ข้อมูลเบื้องต้น และต้องอ้างอิงถึงเจ้าของเอกสารทุกครั้งที่มีการนำไปใช้

This material is reserved for educational use only, not allowed for commercial use.

Forbidden to modify the content and cite the document when use.

สารบัญ(ต่อ)

2.3.5 คุณสมบัติของพื้นผิววัสดุที่เกี่ยวข้องกับการแผ่รังสี	14
2.4 ปัจจัยที่ส่งผลต่อประสิทธิภาพทางความร้อนของมวลสาร	14
2.4.1 การจัดวางตำแหน่งผนังมวลสารภายนอกอาคาร	14
2.4.2 คุณสมบัติทางความร้อนของวัสดุ.....	15
2.4.3 อิทธิพลของวัสดุประกอบมวลสารผนัง.....	16
2.5 การถ่ายเทความร้อนผ่านมวลสาร.....	17
2.6 ค่าการถ่ายเทความร้อนรวมของผนัง (OTTV) และหลังคา (RTTV)	18
2.7 ข้อมูลของวัสดุเหลือใช้.....	19
2.7.1 ลักษณะทั่วไป.....	19
2.7.2 ลักษณะทางพฤกษศาสตร์.....	20
2.7.3 ขุยมะพร้าว.....	21
2.8 ทำไมถึงเลือกขุยมะพร้าว.....	22
2.9 ข้อดีของขุย.....	23
2.10 งานวิจัยที่เกี่ยวข้อง.....	24
บทที่ 3 วิธีการดำเนินงานวิจัย.....	26
3.1 การเตรียมวัสดุดิบ	26
3.2 ทดสอบหาคุณสมบัติของทรายและขุยมะพร้าว.....	29
3.2.1 ความถ่วงจำเพาะและการดูดซึมน้ำของมวลละเอียดที่สภาวะอิ่มตัวผิวแห้ง (Saturated Surface Dry).....	29
3.2.2 ความชื้นในขุยมะพร้าวแต่ละขนาด	30
3.3 การทดลองหาอัตราส่วนผสมที่เหมาะสม	31
3.3.1 การออกแบบส่วนผสมหาอัตราส่วนผสมที่เหมาะสม.....	31
3.3.2 การออกแบบส่วนผสมหาขนาดขุยมะพร้าวที่เหมาะสม	32
3.3.3 หา % ที่เหมาะสมของขุยมะพร้าว.....	32

เอกสารนี้เป็นเอกสารที่สงวนไว้สำหรับกรใช้วงเพื่อการศึกษาเท่านั้น ไม่อนุญาตให้นำไปใช้ประโยชน์ด้านการค้า

ไม่ว่ากรณีใดๆทั้งสิ้น อีกทั้งห้ามมิให้ดัดแปลงเนื้อหา และต้องอ้างอิงถึงเจ้าของเอกสารทุกครั้งที่มีการนำไปใช้

This material is reserved for educational use only, not allowed for commercial use.

Forbidden to modify the content and cite the document when use.

สารบัญ(ต่อ)

3.4 การผลิตรูปทรงจริงตามมาตรฐานและทดสอบตามมาตรฐานอุตสาหกรรม	35
3.4.1 การทดสอบหาค่าความหนาแน่นเชิงปริมาตรของคอนกรีตมวลเบา	35
3.4.2 การทดสอบหาค่าการดูดซึมน้ำของคอนกรีตมวลเบา.....	36
3.4.3 การทดสอบหาค่าความต้านการอัดของคอนกรีตมวลเบา.....	36
3.5 ทดสอบความสามารถในการลดความร้อน ค่าการนำความร้อน และอัตราการหดตัว.....	38
3.5.1 ทดสอบความสามารถในการลดความร้อน.....	38
3.5.2 ค่านำความร้อน (Thermal Conductivity).....	45
3.5.3 อัตราการหดตัว (Autogeneous Shrinkage).....	46
3.6 การเปรียบเทียบราคาวัสดุ.....	47
บทที่ 4 ผลการทดสอบวิเคราะห์และอภิปราย.....	48
4.1 ผลการเตรียมวัสดุดิบ.....	48
4.2 การทดลองหาคูณสมบัติของทรายและขุยมะพร้าว.....	49
4.2.1 ความถ่วงจำเพาะและการดูดซึมน้ำของมวลละเอียดที่สภาวะอิ่มตัวผิวแห้ง	49
4.2.2 ความชื้นในขุยมะพร้าวแต่ละขนาด	49
4.3 การทดลองหาขนาดขุยมะพร้าวที่เหมาะสมและหาอัตราส่วนผสมที่เหมาะสม	50
4.3.1 การออกแบบส่วนผสมหาอัตราส่วนผสมที่เหมาะสม.....	50
4.3.2 ผลจากการหาขนาดที่เหมาะสมของขุยมะพร้าวที่ทำการค้ำ Sieve เบอร์ต่างๆ.....	52
4.3.2 ผลจากการหา % ที่เหมาะสมของขุยมะพร้าว	55
4.4 การผลิตรูปทรงจริงตามมาตรฐานและทดสอบตามมาตรฐานอุตสาหกรรม	57
4.5 ทดสอบความสามารถในการลดความร้อน ค่าการนำความร้อน และอัตราการหดตัว.....	58
4.5.1 ทดสอบความสามารถในการลดความร้อน.....	58
4.5.2 อัตราการหดตัว (Autogenous Shrinkage).....	78
4.5.3 ค่านำความร้อน (Thermal Conductivity).....	80
4.5 การเปรียบเทียบราคาวัสดุ.....	81

เอกสารนี้เป็นเอกสารที่สงวนไว้สำหรับการใช้งานเพื่อการศึกษาเท่านั้น ไม่อนุญาตให้นำไปใช้ประโยชน์ด้านการค้า

ไม่ว่ากรณีใดๆทั้งสิ้น อีกทั้งห้ามมิให้ดัดแปลงเนื้อหา และต้องอ้างอิงถึงเจ้าของเอกสารทุกครั้งที่มีการนำไปใช้

This material is reserved for educational use only, not allowed for commercial use.

Forbidden to modify the content and cite the document when use.

สารบัญ(ต่อ)

บทที่5 สรุปผลการวิจัยและข้อเสนอแนะ	84
5.1 กระบวนการผลิตคอนกรีตมวลเบาระบบเซลลูลาร์ จากขุยมะพร้าว	84
5.2 คุณสมบัติทางกายภาพ และเชิงกลของคอนกรีตมวลเบาระบบเซลลูลาร์จากขุยมะพร้าว	84
5.2.1 น้ำหนักและความหนาแน่น	84
5.2.2 ความต้านแรงอัด.....	85
5.2.3 อัตราการดูดซึมน้ำ	85
5.2.4 อัตราการหดตัว.....	85
5.3 คุณสมบัติด้านการนำความร้อนของคอนกรีตมวลเบาระบบเซลลูลาร์จากขุยมะพร้าว	85
5.3.1 ค่าสัมประสิทธิ์การนำความร้อน.....	85
5.3.2 ความสามารถในการลดความร้อน.....	85
5.4 สรุปผลการวิจัย.....	86
5.5 ข้อเสนอแนะ	86
บรรณานุกรม	87
ภาคผนวก ก สัญลักษณ์	89
ภาคผนวก ข ผลการทดสอบ	90
ข.1.1 การทดสอบหาขนาดขุยมะพร้าวที่เหมาะสม.....	91
ข.1.2 การทดสอบหาอัตราส่วนผสม.....	94
ข.2 การทดสอบหาอัตราส่วนผสมที่เหมาะสม	109

เอกสารนี้เป็นเอกสารที่สงวนไว้สำหรับการใช้งานเพื่อการศึกษาเท่านั้น ไม่อนุญาตให้นำไปใช้ประโยชน์ด้านการค้า
ไม่ว่ากรณีใดๆทั้งสิ้น อีกทั้งห้ามมิให้ดัดแปลงเนื้อหา และต้องอ้างอิงถึงเจ้าของเอกสารทุกครั้งที่มีการนำไปใช้

This material is reserved for educational use only, not allowed for commercial use.

Forbidden to modify the content and cite the document when use.

สารบัญตาราง

ตารางที่ 2.1 ชนิดของคอนกรีตมวลเบาตาม มอก.2601-2556.....	9
ตารางที่ 2.2 กำลังรับแรงอัดของคอนกรีตมวลเบาตาม มอก.2601-2556	9
ตารางที่ 2.3 อัตราการดูดซึมน้ำของคอนกรีตมวลเบาตาม มอก.2601-2556	10
ตารางที่ 2.4 แสดงค่าช่วงเวลาหน่วงที่ความร้อนไหลผ่านวัสดุ (ตรังใจบูรณสมภพ, 2539: 39).....	16
ตารางที่ 3.1 อัตราส่วนผสมเพื่อหาอัตราส่วนผสมที่เหมาะสม	31
ตารางที่ 3.2 อัตราส่วนผสมเพื่อหาขนาดของขุยมะพร้าวที่เหมาะสม	32
ตารางที่ 4.1 การคำนวณค่าความถ่วงจำเพาะและการดูดซึมน้ำของทรายละเอียดที่สภาวะอิ่มตัวผิวแห้ง	49
ตารางที่ 4.2 แสดงผลการทดลองการหาความชื้นในขุยมะพร้าวแต่ละขนาด	49
ตารางที่ 4.3 ผลจากการทดลองเฉลี่ยใช้มาตรฐานมอก. 2601 - 2556 C12.....	50
ตารางที่ 4.4 ผลจากการทดลองหาอัตราการดูดซึมน้ำ ความหนาแน่น และกำลังของขนาดขุยมะพร้าวต่างๆ	53
ตารางที่ 4.5 แสดงผลการทดสอบเฉลี่ยที่ได้จากสูตรที่ 2 นำมาใช้ขุยมะพร้าว.....	55
ตารางที่ 4.6 แสดงผลการทดสอบคอนกรีตมวลเบาขนาด 20 × 60 × 7.5 ซม.....	57
ตารางที่ 4.7 ตัวอย่างชิ้นงานที่นำมาทดสอบ	79
ตารางที่ 4.8 แสดงผลการทดสอบ การหัดตัวแบบออโตจีเนียส	79
ตารางที่ 4.9 ผลที่ได้จากการทดสอบค่าน้ำความร้อน	81
ตารางที่ 4.10 ราคาคอนกรีตมวลเบาระบบเซลล์ลูล่า โดยการใช้ขุยมะพร้าว	81
ตารางที่ 4.11 ราคาคอนกรีตมวลเบาในท้องตลาด	82
ตารางที่ ข.1.1 การทดสอบหาขนาดขุยมะพร้าวที่เหมาะสม	91
ตารางที่ ข.1.2 ตารางอัตราการดูดซึมน้ำจากการทดสอบหาขนาดขุยมะพร้าวที่เหมาะสม	93
ตารางที่ ข.1.3 การทดสอบหาความหนาแน่นและกำลังรับแรงอัดของขุยมะพร้าวค้ำ sieve#20	94
ตารางที่ ข.1.4 อัตราการดูดซึมน้ำของขุยมะพร้าวค้ำ sieve#20	98
ตารางที่ ข.1.5 การทดสอบของขุยมะพร้าวค้ำ sieve#20 แก้วสูตรที่ 1 และ 2	100
ตารางที่ ข.1.6 อัตราการดูดซึมน้ำของขุยมะพร้าวค้ำ sieve#20 แก้วสูตรที่ 1 และ 2	101
ตารางที่ ข.1.7 การทดสอบหาความหนาแน่นและกำลังรับแรงอัดของขุยมะพร้าวค้ำ sieve#40	103
ตารางที่ ข.1.8 อัตราการดูดซึมน้ำของขุยมะพร้าวค้ำ sieve#20	106
ตารางที่ ข.2.1 การทดสอบจากการ Vary Foam 0% 25% 50% 75% และ 100%	109
ตารางที่ ข.2.2 อัตราการดูดซึมน้ำ การทดสอบ Vary Foam 0% 25% 50% 75% และ 100%	112
ตารางที่ ข.2.3 ค่าความหนาแน่น กำลังรับแรงอัดของ และอัตราการดูดซึมน้ำ ที่เกิดจาก Vary Foam	114
ตารางที่ ข.2.4 ผลจากการ Vary ขุยมะพร้าว ,W/C=0.4,0.6 และทำการ Fixed Foam 100% ,S/C=1	116

เอกสารนี้เป็นเอกสารที่สงวนไว้สำหรับอาจารย์ได้งานเพื่อการศึกษาค้นคว้าเท่านั้น ไม่อนุญาตให้นำไปใช้ประโยชน์ด้านการค้า

ไม่ว่ากรณีใดๆก็ตาม ลิขสิทธิ์นี้มอบให้ด้วยตนเอง และต้องอ้างอิงถึงเจ้าของเอกสารทุกครั้งที่มีการนำไปใช้

This material is reserved for educational use only, not allowed for commercial use.

Forbidden to modify the content VIII and cite the document when use.

สารบัญตาราง (ต่อ)

ตารางที่ ข.2.5 อัตราการดูดซึมน้ำ Vary ขุยมะพร้าว W/C=0.4,0.6 และ Fixed Foam 100%,S/C=1..... 118



เอกสารนี้เป็นเอกสารที่สงวนไว้สำหรับการใช้งานเพื่อการศึกษาเท่านั้น ไม่อนุญาตให้นำไปใช้ประโยชน์ด้านการค้า
ไม่ว่ากรณีใดๆทั้งสิ้น อีกทั้งห้ามมิให้ดัดแปลงเนื้อหา และต้องอ้างอิงถึงเจ้าของเอกสารทุกครั้งที่มีการนำไปใช้

This material is reserved for educational use only, not allowed for commercial use.

Forbidden to modify the content and cite the document when use.

สารบัญรูปภาพ

รูปที่ 2.1 แสดงอัตราส่วนพื้นที่ของผนังโปร่งแสงต่อพื้นที่ผนังทั้งหมด.....	18
รูปที่ 2.2 แสดงตัวอย่างค่าสัมประสิทธิ์การบังแดด	18
รูปที่ 2.3 แสดงค่าสัมประสิทธิ์การดูดกลืนรังสีแสงอาทิตย์ของสีทาผนัง.....	18
รูปที่ 3.1 ปูนซีเมนต์ปอร์ตแลนด์ประเภท 1.....	27
รูปที่ 3.2 น้ำ.....	27
รูปที่ 3.3 ทรายละเอียด.....	27
รูปที่ 3.4 โฟม.....	28
รูปที่ 3.5 ขุยมะพร้าว	28
รูปที่ 3.6 ความถ่วงจำเพาะและการดูดซึมน้ำของมวลละเอียดที่สภาวะอิ่มตัวผิวแห้ง.....	30
รูปที่ 3.7 ความชื้นในขุยมะพร้าวแต่ละขนาด	31
รูปที่ 3.8 ผสมซีเมนต์กับทราย	33
รูปที่ 3.9 ปั่นโฟมโดยใช้ส่วน.....	34
รูปที่ 3.10 ผสมมอร์ต้ากับโฟม	34
รูปที่ 3.11 ก้อนคอนกรีตรูปทรงลูกบาศก์ ขนาด 15 x 15 x 15 ซม.....	34
รูปที่ 3.12 ทดสอบก้อนคอนกรีตรูปทรงลูกบาศก์ ขนาด 15 x 15 x 15 ซม.....	35
รูปที่ 3.13 การผสมมอร์ต้า (ซีเมนต์, ทราย, ขุยมะพร้าว).....	37
รูปที่ 3.14 แสดงการใส่มอร์ต้าลงในแบบหล่อ	37
รูปที่ 3.15 การตกแต่งหน้าแบบหล่อคอนกรีตมวลเบา	37
รูปที่ 3.16 คอนกรีตมวลเบาในระบบเซลล์ูลาร์จากขุยมะพร้าวรูปทรงจริงก่อนแกะแม่พิมพ์	38
รูปที่ 3.17 คอนกรีตมวลเบาในระบบเซลล์ูลาร์จากขุยมะพร้าวรูปทรงจริงที่ทำการอบเพื่อหาอัตราการดูดซึมน้ำ	38
รูปที่ 3.18 รูปขยายกล่องทดสอบความสามารถในการลดความร้อน.....	39
รูปที่ 3.19 ตำแหน่งวางกล่องทดลอง บริเวณแดดฟ้าดีก CCA คณะวิศวกรรมโยธา.....	40
รูปที่ 3.20 สร้างกล่องเพื่อทดลองความสามารถในการกระจายความร้อน	40
รูปที่ 3.21 ตัวอย่างการก่อคอนกรีตมวลเบาขนาด 20x60x7.5 ซม.	41
รูปที่ 3.22 ตัวอย่างการก่อคอนกรีตบล็อกโดยการต่อให้ได้ขนาด 20x60x7.5 ซม	41
รูปที่ 3.23 คอนกรีตมวลเบาเมื่อก่อสร้างเสร็จ	41
รูปที่ 3.24 คอนกรีตบล็อกเมื่อก่อสร้างเสร็จ	42
รูปที่ 3.25 ทิศทางการจัดวางตัวอย่างทดสอบ	42
รูปที่ 3.26 คอนกรีตมวลเบาผสมขุยมะพร้าวเมื่อติดตั้งสาย Thermocouple type t.....	43

เอกสารนี้เป็นเอกสารที่สงวนไว้สำหรับการใช้งานเพื่อการศึกษาเท่านั้น ไม่อนุญาตให้นำไปใช้ประโยชน์ด้านการค้า

ไม่ว่าคุณคือใครก็ห้ามนำเนื้อหาไปใช้โดยไม่ได้รับอนุญาตและต้องอ้างอิงถึงเจ้าของเอกสารทุกครั้งที่มีการนำไปใช้

This material is reserved for educational use only, not allowed for commercial use.

Forbidden to modify the content and cite the document when use.

สารบัญรูปภาพ (ต่อ)

รูปที่ 3.27 คอนกรีตมวลเบาเมื่อติดตั้งสาย Thermocouple type t.....	43
รูปที่ 3.28 คอนกรีตบล็อกเมื่อติดตั้งสาย Thermocouple type	43
รูปที่ 3.29 อุณหภูมิที่ถูกบันทึกโดยเครื่อง Data Logger ยี่ห้อ TDS.....	44
รูปที่ 3.30 ทดสอบตัวอย่างในเวลากลางคืน	44
รูปที่ 3.31 ป้องกันความคลาดเคลื่อนของอุณหภูมิที่วัดจาก Data Logger ทำการระบายความร้อน.....	44
รูปที่ 3.32 การทดสอบค่านำความร้อน	45
รูปที่ 3.33 แสดงผลอุณหภูมิของตัวอย่างที่นำมาทดสอบ กับ Hot plate.....	45
รูปที่ 3.34 น้ำหนักของตัวอย่างที่นำมาทดสอบ	46
รูปที่ 3.35 แสดงการห่อด้วยพลาสติกของคอนกรีตตัวอย่าง	46
รูปที่ 3.36 แสดงการทดสอบการหดตัวของแบบอโตจีเนียส.....	47
รูปที่ 3.37 แสดงค่าเริ่มต้นของ Gauge plug	47
รูปที่ 4.1 รูปแสดงการเตรียมขุยมะพร้าวเพื่อนำมาใช้งาน	48
รูปที่ 4.2 กำลังต้านทานแรงอัดกับสูตรที่นำมาทดสอบ เทียบกับ มอก. 2601 – 2556.....	51
รูปที่ 4.3 ความหนาแน่นกับสูตรที่นำมาทดสอบ เทียบกับ มอก. 2601 – 2556.....	51
รูปที่ 4.4 อัตราการดูดซึมน้ำกับสูตรที่นำมาทดสอบ เทียบกับ มอก. 2601 – 2556.....	52
รูปที่ 4. 5 แสดงความสัมพันธ์ระหว่างความหนาแน่นและกำลังรับแรงอัด	54
รูปที่ 4.6 แสดงอัตราการดูดซึมน้ำของสูตรต่างๆ	54
รูปที่ 4.7 ความหนาแน่นกับสูตรที่นำมาทดสอบ เทียบกับ มอก. 2601 – 2556.....	55
รูปที่ 4.8 กำลังต้านทานแรงอัดกับสูตรที่นำมาทดสอบ เทียบกับ มอก. 2601 – 2556.....	56
รูปที่ 4.9 อัตราการดูดซึมน้ำกับสูตรที่นำมาทดสอบ เทียบกับ มอก. 2601 – 2556.....	56
รูปที่ 4.10 อัตราการดูดซึมน้ำกับสูตรที่นำมาทดสอบ เทียบกับ มอก. 2601 – 2556.....	57
รูปที่ 4. 11 ความหนาแน่นกับสูตรที่นำมาทดสอบ เทียบกับ มอก. 2601 – 2556	58
รูปที่ 4.12 แสดงผลการทดสอบอุณหภูมิเฉลี่ยที่เวลา 08.00 – 16.59 น. ของทั้ง 3 วัน ที่ตำแหน่งต่างๆ.....	59
รูปที่ 4.13 ผลการทดสอบอุณหภูมิสูงสุดเฉลี่ยที่เวลา 08.00 – 16.59 น. ของทั้ง 3 วัน ที่ตำแหน่งต่างๆ.....	60
รูปที่ 4.14 อุณหภูมิผิวภายนอกของกล่องทดลองทั้ง 3 กล่อง 08.00 – 16.59 น. ของทั้ง 3 วัน.....	61
รูปที่ 4.15 อุณหภูมิผิวภายนอกทั้ง 3 กล่องกับอุณหภูมิอากาศเมื่อ 5/04/64 08.00 – 16.59 น.	62
รูปที่ 4.16 อุณหภูมิผิวภายนอกทั้ง 3 กล่องกับอุณหภูมิอากาศเมื่อ 6/04/64 08.00 – 16.59 น.	62
รูปที่ 4.17 อุณหภูมิผิวภายนอกทั้ง 3 กล่องกับอุณหภูมิอากาศเมื่อ 7/04/64 08.00 – 16.48 น.	63
รูปที่ 4.18 อุณหภูมิผิวภายในทั้ง 3 กล่อง 08.00 – 16.59 น. ของทั้ง 3 วัน ที่ตำแหน่งต่างๆ.....	64

เอกสารนี้เป็นเอกสารที่สงวนไว้สำหรับอาจารย์และบุคลากรศึกษาเท่านั้น ไม่อนุญาตให้วงไปใช้ประโยชน์ด้านการค้า

ไม่ว่ากรณีใดๆก็ตาม ผู้ใช้นั้นมีหน้าที่ต้องปฏิบัติตาม และต้องแจ้งถึงที่เจ้าของเอกสารทุกครั้งที่มีการนำไปใช้

This material is reserved for educational use only, not allowed for commercial use.

Forbidden to modify the content and cite the document when use.

สารบัญรูปภาพ (ต่อ)

รูปที่ 4.19	อุณหภูมิผิวภายในทั้ง 3 กล่องกับอุณหภูมิอากาศเมื่อ 5/04/64 08.00 – 16.59 น.....	64
รูปที่ 4.20	อุณหภูมิผิวภายในทั้ง 3 กล่องกับอุณหภูมิอากาศเมื่อ 6/04/64 08.00 – 16.59 น.....	65
รูปที่ 4.21	อุณหภูมิผิวภายในทั้ง 3 กล่องกับอุณหภูมิอากาศเมื่อ 7/04/64 08.00 – 16.48 น.....	65
รูปที่ 4.22	อุณหภูมิอากาศภายในทั้ง 3 กล่อง 08.00 – 16.59 น. ของทั้ง 3 วัน ที่ตำแหน่งต่างๆ.....	66
รูปที่ 4.23	อุณหภูมิอากาศภายในทั้ง 3 กล่องกับอุณหภูมิอากาศเมื่อ 6/04/64 08.00 – 16.59น.....	67
รูปที่ 4.24	อุณหภูมิอากาศภายในทั้ง 3 กล่องกับอุณหภูมิอากาศเมื่อ 5/04/64 08.00 – 16.59 น.....	67
รูปที่ 4.25	อุณหภูมิอากาศภายในทั้ง 3 กล่องกับอุณหภูมิอากาศเมื่อ 7/04/64 08.00 – 16.48 น.....	68
รูปที่ 4.26	แสดงผลการทดสอบอุณหภูมิเฉลี่ยที่เวลา 17.00 – 07.59 น.ของทั้ง 3 วัน ที่ตำแหน่งต่างๆ.....	68
รูปที่ 4.27	แสดงผลการทดสอบอุณหภูมิสูงสุดเฉลี่ยที่เวลา 17.00 – 07.59 น.ของทั้ง 3 วัน.....	69
รูปที่ 4.28	อุณหภูมิอากาศภายนอกทั้ง 3 กล่อง 00.00 – 07.59 น. และ 17.00 – 23.59 น. ของทั้ง 3 วัน .	70
รูปที่ 4.29	อุณหภูมิอากาศภายนอกทั้ง 3 กล่องกับอุณหภูมิอากาศ 4/04/64 18.00 – 23.59 น.....	71
รูปที่ 4.30	อุณหภูมิอากาศภายนอกทั้ง 3 กับอุณหภูมิอากาศ 5/04/64 0.00 – 7.59 น.,17.00 – 23.59 น.	71
รูปที่ 4.31	อุณหภูมิอากาศภายนอกทั้ง 3 กับอุณหภูมิอากาศ 6/04/64 0.00 – 7.59 น.,17.00 – 23.59 น.	72
รูปที่ 4.32	อุณหภูมิอากาศภายนอก 3 กล่องกับอุณหภูมิอากาศ 7/04/64 00.00 – 07.59 น.....	72
รูปที่ 4.33	อุณหภูมิผิวภายในทั้ง 3 กล่อง 00.00 – 07.59 น. และ 17.00 – 23.59 น. ของทั้ง 3 วัน.....	73
รูปที่ 4.34	อุณหภูมิผิวภายในทั้ง 3 กล่องกับอุณหภูมิอากาศ 4/04/64 18.00 – 23.59 น.....	74
รูปที่ 4.35	อุณหภูมิผิวภายในทั้ง 3 กล่องกับอุณหภูมิอากาศ 5/04/64 0.00 – 7.59 น.,17.00 – 23.59 น..	74
รูปที่ 4.36	อุณหภูมิผิวภายในทั้ง 3 กล่องกับอุณหภูมิอากาศ 6/04/64 0.00 – 7.59 น.,17.00 – 23.59 น..	75
รูปที่ 4.37	อุณหภูมิผิวภายในทั้ง 3 กล่องกับอุณหภูมิอากาศ 7/04/64 00.00 – 07.59 น.....	75
รูปที่ 4.38	อุณหภูมิอากาศภายในทั้ง 3 กล่อง ที่เวลา 0.00 – 7.59 น.,17.00 – 23.59 น. ของทั้ง 4 วัน.....	76
รูปที่ 4.39	อุณหภูมิอากาศภายในทั้ง 3 กล่องกับอุณหภูมิอากาศ 4/04/64 18.00 – 23.59 น.....	77
รูปที่ 4.40	อุณหภูมิอากาศภายในทั้ง 3 กับอุณหภูมิอากาศ 5/04/64 0.00 – 7.59 น.,17.00 – 23.59 น....	77
รูปที่ 4.41	อุณหภูมิอากาศภายในทั้ง 3 กับอุณหภูมิอากาศ 6/04/64 0.00 – 7.59 น.,17.00 – 23.59 น....	78
รูปที่ 4.42	อุณหภูมิอากาศภายในทั้ง 3 กล่องกับอุณหภูมิอากาศ 7/04/64 00.00 – 07.59 น.....	78
รูปที่ 4.43	แสดงการหดตัวแบบอโตจีเนียส.....	80
รูปที่ ข.1.1	กราฟระหว่างความหนาแน่น-กำลังรับแรงอัด 3 วัน ที่หาขนาดขุยมะพร้าวที่เหมาะสม.....	92
รูปที่ ข.1.2	อัตราการดูดซึมน้ำจากการทดสอบหาขนาดขุยมะพร้าวที่เหมาะสม.....	93
รูปที่ ข.1.3	กราฟระหว่างความหนาแน่น – กำลังรับแรงอัด 3 วัน ของขุยมะพร้าวค้ำ sieve#20.....	97
รูปที่ ข.1.4	กราฟอัตราการดูดซึมน้ำของขุยมะพร้าวค้ำ sieve#20.....	99

เอกสารนี้เป็นเอกสารที่สงวนไว้สำหรับเอาไว้ใช้เอง ที่อาคารศึกษาเท่านั้น ไม่เอามาเผยแพร่ในวงกว้างได้ประโยชน์ด้วยการค้า

ไม่ว่าจะในรูปแบบใดก็ตาม การนำสิ่งนี้ไปเผยแพร่โดยไม่ได้รับอนุญาตถือว่าผิดและต้องอ้างถึงเจ้าของเอกสารทุกครั้งที่มีการนำไปใช้

This material is reserved for educational use only, not allowed for commercial use.

Forbidden to modify the content and cite the document when use.

สารบัญรูปภาพ (ต่อ)

รูปที่ ข.1.5 กราฟระหว่างความหนาแน่นของขุยมะพร้าวค้ำ sieve#20 แก้วไซสุตรที่ 1 และ 2	101
รูปที่ ข.1.6 กราฟอัตราการดูดซึมน้ำของขุยมะพร้าวค้ำ sieve#20 แก้วไซสุตรที่ 1 และ 2.....	102
รูปที่ ข.1.7 กราฟระหว่างความหนาแน่น – กำลังรับแรงอัด 3 วัน ของขุยมะพร้าวค้ำค้ำ sieve#20.....	105
รูปที่ ข.1.8 อัตราการดูดซึมน้ำของขุยมะพร้าวค้ำค้ำ sieve#20	108
รูปที่ ข.2.1 อัตราการดูดซึมน้ำ จากการทดสอบ Vary Foam 0% 25% 50% 75% และ 100%.....	113
รูปที่ ข.2.2 กราฟแสดงความหนาแน่น (Kg /m^3)	114
รูปที่ ข.2.3 กราฟกำลังรับแรงอัด (ksc).....	115
รูปที่ ข.2.4 กราฟแสดงอัตราการดูดซึมน้ำ (%).....	115
รูปที่ ข.2.5 อัตราการดูดซึมน้ำที่ Vary ขุยมะพร้าว W/C=0.4,0.6 และ Fixed Foam 100% ,S/C=1.....	119



เอกสารนี้เป็นเอกสารที่สงวนไว้สำหรับการใช้งานเพื่อการศึกษาเท่านั้น ไม่อนุญาตให้นำไปใช้ประโยชน์ด้านการค้า
ไม่ว่ากรณีใดๆทั้งสิ้น อีกทั้งห้ามมิให้ดัดแปลงเนื้อหา และต้องอ้างอิงถึงเจ้าของเอกสารทุกครั้งที่มีการนำไปใช้

This material is reserved for educational use only, not allowed for commercial use.

Forbidden to modify the content and cite the document when use.

บทที่ 1

บทนำ

1.1 ความเป็นมาและความสำคัญ

ในปัจจุบันมีการพัฒนานวัตกรรมอย่างต่อเนื่อง ซึ่งในยุคที่เศรษฐกิจของประเทศไทยปัจจุบันนั้น การประหยัดค่าใช้จ่ายมีความสำคัญอย่างมาก คอนกรีตมวลเบาจึงถูกนำมาใช้เพื่อตอบสนองความต้องการดังกล่าว เนื่องจากคอนกรีตมวลเบาในส่วนผสมพิเศษที่ทำให้น้ำหนักเบา เป็นการลดปริมาณการใช้วัสดุเช่น ซีเมนต์ ได้น้อยลงอีกทั้ง ยังมีคุณสมบัติเป็นฉนวนกันความร้อนมากกว่าอิฐชนิดอื่น คอนกรีตมวลเบาทั่วไปมีคุณสมบัติทนความร้อนได้ประมาณ 2-4 ชั่วโมงก่อนเกิดการเผาไหม้ รวมถึงปัญหาการใช้พลังงานไฟฟ้าในครัวเรือนนั้นมีแนวโน้มว่าจะเพิ่มขึ้นอย่างต่อเนื่อง ผู้วิจัยจึงได้เล็งเห็นข้อได้เปรียบของคอนกรีตมวลเบาระบบเซลลูโลส และวัสดุเหลือใช้ก็คือ ขุยมะพร้าว ที่มีคุณสมบัติเป็นฉนวนกันความร้อนที่ดี ทั้งยังสามารถนำวัสดุเหลือใช้กลับมาใช้ใหม่ให้ได้มากที่สุด เพื่อลดปัญหามลพิษทางขยะให้น้อยลง ด้วยข้อได้เปรียบสองประการ คือสามารถลดอุณหภูมิภายในอาคาร ยังสามารถลดปริมาณการใช้วัสดุก่อสร้างได้ด้วย

คอนกรีตนิยมใช้เป็นส่วนประกอบของโครงสร้างอาคารหรือสิ่งก่อสร้างโดยนำไปออกแบบ ความหนาแน่นหรือน้ำหนักของคอนกรีตส่งผลให้อาคารหรือสิ่งก่อสร้างมีขนาดใหญ่ น้ำหนักบรรทุกของอาคารมีค่ามากโครงสร้างที่หนักส่งผลให้ฐานรากอาคารรับน้ำหนักเพิ่มขึ้นและต้องใช้พื้นที่ก่อสร้างมากหากสามารถลดขนาดหรือน้ำหนักบรรทุกของอาคารลงได้จะสามารถลดต้นทุนการก่อสร้างและลดพื้นที่ก่อสร้างอาคารนั้นได้ ดังนั้นการลดน้ำหนักบรรทุกของอาคารจึงสามารถทำได้ด้วยการลดค่าหน่วยน้ำหนักหรือความหนาแน่นของคอนกรีตให้มีค่าน้อยลงกล่าวคือควรมีการศึกษาในการผลิตคอนกรีตที่มีน้ำหนักเบาสำหรับใช้เป็นชั้นส่วนอาคารเช่นพื้นเสาคานฐานรากแผ่นพื้นสำเร็จรูปและผนังต่างๆนอกจากนั้นเป็นการลดต้นทุนในโครงการก่อสร้างได้เป็นอย่างดีซึ่งคอนกรีตมวลเบาโดยทั่วไปมีความหนาแน่นประมาณ 400-1, 850 กิโลกรัมต่อลูกบาศก์เมตรและมีกำลังอัดอยู่ในช่วงประมาณ 10-450 กิโลกรัมต่อตารางเซนติเมตร (กฤษณ์กิ่งโก้, 2552)

การศึกษานี้จึงมีวัตถุประสงค์เพื่อลดอุณหภูมิภายในอาคาร และหาสัดส่วนที่เหมาะสมที่สุดของคอนกรีตมวลเบาจากปัจจัยหลัก 4 อย่าง ได้แก่ อัตราส่วนน้ำต่อซีเมนต์ อัตราส่วนทรายต่อซีเมนต์ เส้นใยมะพร้าว และปริมาณโฟม โดยมีค่า กำลังรับแรงอัด ความหนาแน่นในสภาพแห้งและอัตราการดูดซึมน้ำ ตาม

เกณฑ์มาตรฐาน ผลิตภัณฑ์อุตสาหกรรมคอนกรีตบล็อกมวลเบาแบบเติมฟองอากาศ (มอก.2601-2556) และเอกสารนี้เป็นเอกสารที่สงวนไว้สำหรับการใช้งานเพื่อการศึกษาเท่านั้น ไม่นิยมนำไปเผยแพร่ในเชิงพาณิชย์ การค้าได้ราคาที่ดีที่สุด

ไม่ว่ากรณีใดๆทั้งสิ้น อีกทั้งห้ามมิให้ดัดแปลงเนื้อหา และต้องอ้างอิงถึงเจ้าของเอกสารทุกครั้งที่มีการนำไปใช้

This material is reserved for educational use only, not allowed for commercial use.

Forbidden to modify the content, and cite the document when use.

1.2 วัตถุประสงค์ของการศึกษา

1. เพื่อสร้างผลิตภัณฑ์ใหม่ที่มีความเป็นฉนวนความร้อนมากขึ้น
2. เพื่อลดปริมาณวัสดุในการก่อสร้างและเพิ่มมูลค่าให้วัสดุเหลือใช้
3. ลดอุณหภูมิผนังภายในอาคาร

1.3 สมมุติฐานของงานวิจัย

1. คอนกรีตมวลเบาระบบเซลลูโลสที่ผสมมวลรวมจากเศษวัสดุเหลือใช้ มีค่าการนำความร้อนน้อยกว่าวัสดุก่อสร้างเดิม
2. ปริมาณวัสดุเหลือใช้สามารถใช้เป็นส่วนผสมในการก่อสร้างได้อย่างเหมาะสม และคุ้มค่าในทางเศรษฐศาสตร์

1.4 ขอบเขตการวิจัย

1. ศึกษาและทดสอบอัตราส่วนผสมของคอนกรีตมวลเบาแบบเซลลูโลส ที่จะใช้ในการทดลอง โดยมีตัวแปรคือ อัตราส่วนน้ำต่อซีเมนต์ (Water Cement ratio, w/c), อัตราส่วนทรายต่อซีเมนต์ (Sand Cement ratio, s/c), และเปอร์เซ็นต์ฟองโฟมโดยปริมาตร (Percentage of Foam, %) เพื่อเป็นตัวแปรควบคุมเปรียบเทียบกับตัวอย่างที่มีวัสดุเหลือใช้ผสมอยู่ด้วย
2. คุณสมบัติที่ทำการศึกษา

ตามมาตรฐาน มาตรฐาน มอก. 2601 – 2556

- กำลังรับแรงอัด (Compressive Strength) อายุการบ่ม 28 วัน
- ความถ่วงจำเพาะ (Specific gravity)
- อัตราการดูดซึมน้ำ (Water Absorption)

คุณสมบัติอื่นๆ

- การทดสอบความสามารถในการลดความร้อน

เอกสารนี้เป็นเอกสารที่สงวนไว้สำหรับการใช้งานเพื่อการศึกษาเท่านั้น ไม่อนุญาตให้นำไปใช้ประโยชน์ด้านการค้า
 - ค่าการนำความร้อน (Thermal Conductivity, K) เทียบกับการทดสอบที่ได้จากกรม
 ไม่ว่ากรณีใดๆทั้งสิ้น อีกทั้งห้ามมิให้ดัดแปลงเนื้อหา และต้องอ้างอิงถึงเจ้าของเอกสารทุกครั้งที่มีการนำไปใช้
 วิทยาศาสตร์บริการ

This material is reserved for educational use only, not allowed for commercial use.

Forbidden to modify the content, and cite the document when use.

- อัตราการหดตัว (Autogeneous Shrinkage) ตามมาตรฐานงานคอนกรีตเมื่อพิจารณาความ
คงทนและอายุการใช้งาน (มยพ. 1332-50)

- การเปรียบเทียบราคาวัสดุ

1.5 วิธีการศึกษา

1. ขั้นตอนการศึกษารวบรวมงานวิจัยเกี่ยวกับคอนกรีตมวลเบา มาตรฐานการทดสอบการออกแบบ
การ ทดลองหาคูณสมบัติของแต่ละส่วนผสมของตัวอย่างคอนกรีตมวลเบาและตัวอย่างที่ผสมวัสดุ
เหลือใช้
2. คำนวณส่วนผสมและทดสอบเพื่อหาคูณสมบัติของคอนกรีตมวลเบาที่เหมาะสม
3. ทำการผลิตรูปทรงจริงตามมาตรฐานและทดสอบตามมาตรฐานผลิตภัณฑ์อุตสาหกรรม
4. ทำการทดสอบความสามารถในการลดความร้อน, ค่าการนำความร้อน, อัตราการหดตัวการและ
เปรียบเทียบราคาวัสดุ
5. วิเคราะห์และสรุปผลงานวิจัย



เอกสารนี้เป็นเอกสารที่สงวนไว้สำหรับการใช้งานเพื่อการศึกษาเท่านั้น ไม่อนุญาตให้นำไปใช้ประโยชน์ด้านการค้า
ไม่ว่ากรณีใดๆทั้งสิ้น อีกทั้งห้ามมิให้ตัดแปลงเนื้อหา และต้องอ้างอิงถึงเจ้าของเอกสารทุกครั้งที่มีการนำไปใช้

This material is reserved for educational use only, not allowed for commercial use.

Forbidden to modify the content, and cite the document when use.

บทที่ 2

ทฤษฎีและงานวิจัยที่เกี่ยวข้อง

ในบทนี้จะกล่าวถึงแนวคิดและทฤษฎีที่เกี่ยวข้องกับงานวิจัย อธิบายเกี่ยวกับ คอนกรีตมวลเบา การศึกษาปริมาณมวลอุณหภาพของผนังภายนอกอาคารในทิศทางต่างๆที่มีผลต่อการใช้พลังงานในอาคารในเขตร้อนชื้นซึ่งประกอบด้วยทฤษฎีการถ่ายเทความร้อนของวัสดุทฤษฎีและงานวิจัยการใช้วัสดุผนังที่ประกอบด้วยอาคารทฤษฎีที่เกี่ยวข้องกับการออกแบบประหยัดพลังงานและทฤษฎีกับกฎหมายที่เกี่ยวข้องกับตัวแปรของผนังที่วัดด้วยค่าการถ่ายเทความร้อนรวมของผนังด้านนอกของอาคาร (overall thermal transfer value, OTTV) รวมถึงการศึกษาข้อมูลเกี่ยวกับวัสดุเหลือใช้ที่นำมาทดสอบคือ ขุยมะพร้าวสับ

2.1 คอนกรีตมวลเบา (Lightweight Concrete)

คอนกรีตมวลเบาแบบเซลลูลาร์ (Cellular Lightweight Concrete (CLC)) เป็นระบบการผลิตคอนกรีตมวลเบา ภายใต้สภาวะปกติเหมือนกับคอนกรีตปกติที่อาศัยหลักการ ทำให้เกิดฟองอากาศที่มีขนาดเหมาะสมและมีเสถียรภาพ สูงขึ้นภายในเนื้อคอนกรีตด้วยการเติมสารก่อฟองอากาศ (Pre-formed Stable Foam) วิธีนี้เป็นเทคโนโลยีที่ได้ รับการยอมรับอย่างกว้างขวางในปัจจุบัน โดยที่คุณภาพ ของคอนกรีตจะขึ้นอยู่กับวัสดุองค์ประกอบ สัดส่วนผสม ชนิดของสารก่อฟองอากาศและเทคนิคการผสมที่ถูกต้อง เพื่อให้ได้คอนกรีตที่มีน้ำหนักเบาซึ่งเป็นการลดน้ำหนักของ โครงสร้างลง รับกำลังได้อย่างเพียงพอ การดูดซึมน้ำต่ำ การติดตั้งด้วยการตอกตะปูและการฝังฟูกสามารถทำได้ ง่าย เป็นต้น จากข้อดีดังกล่าวทำให้คอนกรีตมวลเบาได้รับความนิยมนำขึ้นอย่างต่อเนื่อง แต่ภายใต้ข้อจำกัดทางด้าน วัสดุดั้งเดิมที่ใช้อยู่ซึ่งโดยปกติจะเลือกใช้จากปูนซีเมนต์ และทราย ทำให้เกิดแนวคิดในการพัฒนาวิจัยวัสดุทดแทน ที่สามารถจัดหาได้ง่ายที่มีศักยภาพในการนำมาใช้เป็นส่วนประกอบของคอนกรีตมวลเบา โดยในที่นี้ใช้วัสดุเหลือใช้เป็น ขุยมะพร้าวสับ

2.1.1 การจำแนกคอนกรีตมวลเบาตามประเภทของวัสดุที่ใช้

คอนกรีตมวลเบา (lightweight concrete) โดยนิยามหมายถึง คอนกรีตที่มีความหนาแน่น น้อยกว่าคอนกรีตธรรมดา โดยทั่วไปคอนกรีตธรรมดามีความหนาแน่นอยู่ที่ประมาณ 2,240 - 2,480 กก./ม³ ในขณะที่คอนกรีตมวลเบาที่มีความหนาแน่นระหว่าง 300 - 1,680 กก./ม³ คอนกรีตมวลเบาสามารถทำได้โดยการแทนที่วัสดุที่มีความหนาแน่นสูงด้วยวัสดุที่มี ความหนาแน่นต่ำ (ความพรุนสูง) หรือการแทนที่เนื้อคอนกรีตบางส่วนไม่ว่ากรณีใดๆทั้งสิ้น อีกทั้งยังมีเหตุเปลี่ยนแปลงเนื้อหา และต้องอ้างอิงถึงเจ้าของเอกสารทุกครั้งที่มีการนำไปใช้

This material is reserved for educational use only, not allowed for commercial use.

Forbidden to modify the content, and cite the document when use.

ด้วยฟองอากาศ ถ้าหากแบ่ง คอนกรีตมวลเบาตามประเภทของวัสดุที่ใช้ในการผลิตสามารถแบ่งออกเป็น 3 ประเภทหลัก ๆ ดังนี้

- 1) คอนกรีตไร้มวลรวมละเอียด (No - Fine Aggregate) เป็นคอนกรีตมวลเบาที่มีส่วนประกอบหลัก คือ ซีเมนต์ น้ำ และมวลรวมหยาบโดยไม่มีมวลรวมละเอียดทำให้เกิดช่องว่างระหว่างมวลรวมหยาบส่งผลให้มีน้ำหนักเบาขึ้น วัสดุมวลรวมหยาบที่ใช้ได้แก่ กรวดโมหรือหินโม ตะกรันเม็ดหยาบ ซีเมนต์เชื้อเพลิงเผาดิน เหนียวพองตัวและตะกรันเผา คอนกรีตไร้มวลละเอียด เป็นลักษณะที่อนุภาคของมวลหยาบยึดเกาะเข้าด้วยกันโดยที่ขอบอนุภาคจะถูกเคลือบด้วยซีเมนต์เพสต์มีความหนาประมาณ 1 - 3 มม. ทำให้เกิดช่องว่างระหว่างอนุภาคมวลรวมหยาบขนาดใหญ่ในเนื้อคอนกรีต ส่งผลให้กำลังอัดค่อนข้างต่ำ

น้ำหนักหนึ่งหน่วยปริมาตรคอนกรีตไร้มวลรวมละเอียดจะขึ้นอยู่กับชนิดมวลรวมหยาบที่ใช้ในการผสม ขนาดที่ใช้ควรมีขนาดเท่าๆ กัน ขนาดที่ใช้จะอยู่ช่วง 9.50 - 19 มม. และยอมให้มวลรวมหยาบที่ขนาดใหญ่กว่านี้ประมาณร้อยละ 15 และมวลรวมหยาบที่มีขนาดเล็กแต่ไม่เล็กกว่า 4.76 มม. ประมาณร้อยละ 10

โดยทั่วไปคอนกรีตชนิดนี้จะมีน้ำหนักแน่นประมาณ 1,600 - 2,000 กก./ลบ.ม. กำลังอัดจะอยู่ระหว่าง 18 - 180 กก. / ตร.ซม. ทั้งนี้กำลังอัดของคอนกรีตชนิดนี้ขึ้นอยู่กับมวลรวมที่แปรผันโดยตรงกับปริมาณปูนซีเมนต์ (ปริมาณปูนซีเมนต์มากขึ้นกำลังจะเพิ่มขึ้น) ส่วนค่าอัตราส่วนน้ำต่อซีเมนต์ที่เหมาะสมควรอยู่ระหว่าง 0.38 - 0.52 เนื่องจากคอนกรีตชนิดนี้การยึดเกาะกันเพียงเล็กน้อยจึงควรทิ้งไม้แบบไว้นานพอสมควรเพื่อให้คอนกรีตพัฒนากำลัง

คอนกรีตไร้มวลรวมละเอียดมักไม่ใช้กับงานคอนกรีตเสริมเหล็กแต่ถ้าต้องใช้ควรเคลือบเหล็กเสริมด้วยด้วยน้ำปูนให้หนาประมาณ 3 มม. เพื่อเพิ่มแรงยึดเกาะและป้องกันการกัดกร่อนวิธีง่ายที่สุดในการเคลือบเหล็กเสริม

- 2) คอนกรีตมวลรวมน้ำหนักเบา (Light weight Aggregate concrete) เป็นคอนกรีตมวลเบาชนิดหนึ่งใช้วัสดุมวลรวมที่มีน้ำหนักเบาแทนที่หินซึ่งมีลักษณะที่สำคัญคือมีความพรุนทำให้มีค่าความถ่วงจำเพาะลดลง คอนกรีตมวลรวมน้ำหนักเบาที่มีหน่วยน้ำหนักระหว่าง 60 - 1,000 กก./ลบ.ซม. ชนิดของมวลรวมน้ำหนักเบาสามารถจำแนกออกได้เป็น 4 ประเภทคือ

- 1.มวลรวมเบาที่ได้จากธรรมชาติ ได้แก่ หิน vermiculite, Perlite, Pumice และScoria ซึ่งเป็นลาวาที่พองตัวตามธรรมชาติเกิดขึ้นเวลาภูเขาไฟระเบิดมวลรวมชนิดนี้ใช้ผสมคอนกรีตที่ไม่ต้องการกำลังสูงมากนัก

เอกสารนี้เป็นเอกสารลิขสิทธิ์ของมหาวิทยาลัยเทคโนโลยีพระจอมเกล้าธนบุรี 2.มวลรวมเบาที่ได้จากกระบวนการผลิตเป็นมวลรวมที่ใช้ผสมคอนกรีตมากที่สุดสามารถจำแนกได้ 3 ประเภทคือ
ไม่ว่ากรณีใดๆทั้งสิ้น อีกทั้งห้ามมิให้ดัดแปลงเนื้อหา และต้องอ้างอิงถึงเจ้าของเอกสารทุกครั้งที่มีการนำไปใช้

This material is reserved for educational use only, not allowed for commercial use.

Forbidden to modify the content, and cite the document when use.

2.1 Expanded Clay Aggregate ได้จากการนำดินเหนียวมาผสมกับสารที่ก่อให้เกิดฟองอากาศและนำไปเผาในหม้อ (Rotary Kin) ที่ 1,200 องศาเซลเซียส ณ อุณหภูมินี้จะมีการขยายตัวเนื่องจากการเผาไหม้ของสารอินทรีย์เกิดเป็นฟองอากาศอยู่ในเนื้อหินลักษณะของหินพวกนี้จะมีรูปร่างกลมแข็งผิวเรียบแน่นแต่เนื้อภายในเป็นโพรงอากาศ

2.2 Expanded Shale Aggregate ได้จากการนำดินดาน (Shale) มาผสมกับถ่านที่บดละเอียดแล้วนำไปเผาที่อุณหภูมิ 1,200 องศาเซลเซียส วัสดุจะถูกหลอมรวมกันและจะมีฟองอากาศ ถูกกักไว้ภายในเนื้อหินลักษณะเป็นหิน ที่มีความแข็งมากหลังจากที่เผาผลรวมทั้งสองได้ที่ แล้วจะนำผลรวมที่ได้ไปย่อยให้ได้ขนาดที่ต้องการมวลรวมชนิดนี้จะมีมวลแข็งแรงค่อนข้างดีจึงเป็นที่นิยมใช้ผลิตคอนกรีตมวลเบา

2.3 Sintered Fly Ash ได้จากการเอาซีเมนต์ (Fly Ash) ที่ได้จากการเผาไหม้ของถ่านหินไปทำเป็นเม็ดก่อนแล้วจึงนำไปเผาที่อุณหภูมิ 1,400 องศาเซลเซียส ณ อุณหภูมินี้อนุภาคนี้อุณหภูมิของซีเมนต์จะเกาะกันผิวของมวลรวมเบาชนิดนี้ค่อนข้างเรียบ

3. มวลรวมเบาที่ได้จากสารอินทรีย์ ได้แก่ การใช้ไม้หรือพลาสติกบางชนิดใส่ผสมเข้าไปในคอนกรีตมวลรวมที่ได้จากของเหลือจากกระบวนการผลิต ได้แก่ ถ่านที่หนัก (Furnace Bottom Ash) ที่ได้จากโรงไฟฟ้าที่ใช้ถ่านหินเป็นเชื้อเพลิงหรือจากการพ่นน้ำไปบนซีตะกรัน (Slag) ที่หลอมเหลวนั้นจะก่อให้เกิดฟองอากาศจำนวนมากในเนื้อตะกรันที่แข็งตัวหลังจากนั้นจะนำไปย่อยเพื่อให้ได้ขนาดที่ต้องการ

- 3) คอนกรีตฟองอากาศ (Foam and Aerated Concrete) เป็นคอนกรีตซึ่งทำให้มีน้ำหนักเบาโดยทำให้เกิดการกระจายฟองอากาศในส่วนผสมของซีเมนต์และทรายละเอียดที่ยังอยู่ในสภาพพลาสติกจากนั้นปล่อยให้แข็งตัวเนื่องจากคอนกรีตฟองอากาศจะมีรูพรุนจากฟองอากาศและไม่ใช้มวลรวมหยาบในการผลิต ดังนั้นบางครั้งจึงเรียกว่า Aerated Mortar เรียกตามลักษณะของเนื้อคอนกรีตใช้เรียกในประเทศอังกฤษและอเมริกาแต่ในทวีปยุโรปจะเรียกตามกรรมวิธีการผลิตเรียกว่า Foam Concrete ลักษณะการผลิตคอนกรีตพรุนแบ่งได้เป็น 2 ลักษณะคือแบบหล่อในที่ (In Situ Concrete) และแบบหล่อสำเร็จซึ่งรวมทั้งบล็อกสำหรับก่อสร้าง (Building Block) โดยทั่วไปแล้วมักจะบ่มด้วยไอน้ำความดันสูงแต่แบบหล่อในที่นั้นใช้บ่มด้วยอากาศความแตกต่างเพียงวิธีการบ่มก็เป็นเครื่องบ่งชี้ว่าจะได้ค่ากำลังอัด (Strength) และค่า Drying Shrinkage ในค่าที่ต้องการหรือไม่โดยที่คอนกรีตพรุนที่บ่มด้วยอากาศมักจะมีค่ากำลังอัดน้อยกว่าครึ่งหนึ่งของแบบที่บ่มด้วยไอน้ำความดันสูงเมื่อมีความหนาแน่นเท่ากันและจะมีค่า Drying Shrinkage เป็น 4 หรือ 5 เท่ายิ่งไปกว่านั้นคอนกรีตพรุนที่บ่มด้วยอากาศไม่สามารถใช้ปูนขาวเป็นตัวเชื่อมได้

คอนกรีตพรุนสำเร็จรูปโดยทั่วไปมักจะทำบล็อก (Block) สำหรับก่อสร้างจากการที่คอนกรีตพรุนมีคุณสมบัติเป็นตัวนำความร้อนที่ดีจึงสามารถนำคอนกรีตพรุนไปใช้ในที่หนาวจัดเช่นแถบขั้วโลกจนถึงเขตร้อนจัดในแถบศูนย์สูตรอีกประการหนึ่งคอนกรีตยังมีคุณสมบัติหลายอย่างคล้ายไม่เช่นสามารถเลือกใช้ทำ

This material is reserved for educational use only, not allowed for commercial use.

Forbidden to modify the content, and cite the document when use.

เป็นแผ่นเจาะตอกตะปูและสามารถต่อกันได้โดยเชื่อมด้วยกาวแต่ไม่ติดไฟจึงสามารถนำไปใช้แทนไม้ในส่วนประกอบโครงสร้างที่รับแรงอัดเพราะจะไม่มีความสามารถในการรับแรงดึงได้

2.1.2 คอนกรีตมวลเบาแบบเซลลูลาร์ (Cellular Lightweight Concrete)

คอนกรีตมวลเบาต่างจากคอนกรีตทั่วไป ทั้งเรื่องส่วนผสมและคุณสมบัติทางกายภาพ ทั้งนี้ ขึ้นอยู่กับผู้ทำการศึกษาว่าจะกำหนดและออกแบบอัตราส่วนผสมของปูนซีเมนต์ ทราย น้ำ และ ปริมาณโฟมมากน้อยเพียงใด โดยคุณสมบัติที่ทำการศึกษาประกอบด้วย

2.1.2.1 กำลังรับแรงอัด (Compressive Strength)

กำลังรับแรงอัดของคอนกรีตมวลเบา นั้น จะมีค่าค่อนข้างต่ำ อยู่ที่ประมาณ 10 ถึง 140 กิโลกรัมต่อตารางเซนติเมตร ยกเว้นคอนกรีตมวลเบาสำหรับโครงสร้าง จำเป็นต้องมีกำลังรับแรงอัด มากกว่า 170 กิโลกรัมต่อตารางเซนติเมตร ตามมาตรฐาน ASTM C330 จากการศึกษาที่ผ่านมา ปัจจัยที่มีผลต่อกำลังรับแรงอัดของคอนกรีตมวลเบา มีดังนี้

ได้มีศึกษาการทำนายคุณสมบัติของคอนกรีตมวลเบา ระบบ CLC จากค่าความหนาแน่น พบว่ากำลังอัดจะลดลง เมื่อความหนาแน่นของคอนกรีตมีค่าลดลง เนื่องจาก ตัวอย่างของคอนกรีตมวลเบาที่มีโครงสร้างภายในประกอบด้วยช่องอากาศเล็กๆ ซึ่งช่องอากาศเหล่านี้ ทำให้ตัวอย่างมีน้ำหนักเบาแต่ไม่สามารถช่วยรับแรงกดทับได้ นอกจากนี้ค่าอัตราส่วนน้ำต่อซีเมนต์ยัง มีผลต่อกำลังรับน้ำหนัก ตัวอย่างที่มีอัตราส่วนน้ำต่อซีเมนต์น้อย กำลังรับน้ำหนักจะมากขึ้น เนื่องจาก มีการเรียงตัวของอนุภาคแน่นหนากว่า และตัวอย่างที่มีอายุการบ่มนานขึ้น กำลังรับแรงอัดก็จะ เพิ่มขึ้นและการผสมสารซูเปอร์พลาสติกไฮเซอร်ทำให้ส่วนผสมมีความสามารถทำงานได้ดีและส่งผลให้ คุณสมบัติต่างๆดีขึ้น ทั้งนี้เนื่องจากสารซูเปอร์พลาสติกไฮเซอร်ช่วยกระจายอนุภาคของปูนซีเมนต์ทำให้มีน้ำอิสระเหลือมากขึ้น เป็นผลให้ปฏิกิริยาไฮเดรชันเกิดได้ดีขึ้น ทำให้คุณสมบัติโดยรวมของ คอนกรีตรวมทั้งกำลังรับแรงอัดดีขึ้นด้วย

2.1.2.2 ความหนาแน่น (Density)

ลักษณะเด่นของคอนกรีตมวลเบา คือมีค่าความหนาแน่นที่น้อยกว่าคอนกรีตทั่วไป โดยทั่วไปมีค่าน้อยกว่า 1,600 กิโลกรัมต่อลูกบาศก์เมตร แต่หากนำไปใช้เป็นคอนกรีต เสริมเหล็กสำหรับโครงสร้างหลักควรมีค่าไม่น้อยกว่า 1,680 กิโลกรัมต่อลูกบาศก์เมตร ตามมาตรฐาน ASTM330 โดยความหนาแน่นจะมีค่าลดลง เมื่อเติมปริมาณโฟมเพิ่มขึ้น เนื่องจากช่องว่างในเนื้อคอนกรีตมีมากขึ้น

เอกสารนี้เป็นเอกสารที่สงวนไว้สำหรับการใช้งานเพื่อการศึกษาเท่านั้น ไม่อนุญาตให้นำไปใช้ประโยชน์ด้านการค้า
ไม่ว่ากรณีใดๆทั้งสิ้น อีกทั้งห้ามมิให้ดัดแปลงเนื้อหา และต้องอ้างอิงถึงเจ้าของเอกสารทุกครั้งที่มีการนำไปใช้

This material is reserved for educational use only, not allowed for commercial use.

Forbidden to modify the content, and cite the document when use.

2.1.2.3 อัตราการดูดซึมน้ำ (Water Absorption)

คอนกรีตมวลเบามีการดูดซึมน้ำได้มากกว่าคอนกรีตธรรมดาเนื่องจากมีรูพรุนในเนื้อคอนกรีต มากกว่าในงานฉาบผิวผนังก่อ ควรควบคุมให้อัตราการดูดซึมน้ำไม่มากเกินไปเพราะจะทำให้ผิว คอนกรีตแตกร้าวได้ โดยได้มีการศึกษาพฤติกรรมของคอนกรีตมวลเบาในระบบ CLC พบว่า อัตราการดูดซึมน้ำจะเพิ่มขึ้น เมื่อความหนาแน่นมีค่าลดลงจากการเติมโฟม เนื่องจากเนื้อคอนกรีตมี พองอากาศเพิ่มขึ้น นอกจากนี้ยังพบว่าอัตราการดูดซึมน้ำจะขึ้นอยู่กับอัตราส่วน น้ำต่อน้ำยาโฟม โดยจะมีค่าเพิ่มขึ้น เมื่ออัตราส่วนน้ำต่อน้ำยาโฟมมากขึ้น การหาค่าอัตราการดูดซึมน้ำ จะคำนวณตามสมการที่ (2.1)

$$A = \frac{(m_2 - m_1)}{m_1} \times 100 \quad (2.1)$$

เมื่อ A คืออัตราการดูดซึมน้ำ (เปอร์เซ็นต์)

m_1 คือมวลของชิ้นทดสอบเมื่อแห้ง (กรัม)

m_2 คือมวลของชิ้นทดสอบเมื่อเปียก (กรัม)

2.1.3 มาตรฐานคอนกรีตมวลเบา ระบบ Cellular Lightweight Concrete

สำหรับประเทศไทย ได้มีการประกาศกฎกระทรวงอุตสาหกรรมเกี่ยวกับคอนกรีตมวลเบา แบบเติมพองอากาศ มอก.2601 - 2556 ในการศึกษาวิจัยมีวัตถุประสงค์เพื่อให้ได้คอนกรีตมวลเบาที่มี คุณลักษณะผ่านตามเกณฑ์มาตรฐาน มอก.2601 - 2556 ด้วยคุณสมบัติที่สำคัญ 3 ประการคือ

- 1) ความหนาแน่นเชิงปริมาตรในสภาพแห้ง ตามตารางที่ 2.1
- 2) ความต้านทานแรงอัด ตามตารางที่ 2.2
- 3) อัตราการดูดซึมน้ำ ตามตารางที่ 2.3

เอกสารนี้เป็นเอกสารที่สงวนไว้สำหรับการใช้งานเพื่อการศึกษาเท่านั้น ไม่อนุญาตให้นำไปใช้ประโยชน์ด้านการค้า
ไม่ว่ากรณีใดๆทั้งสิ้น อีกทั้งห้ามมิให้ดัดแปลงเนื้อหา และต้องอ้างอิงถึงเจ้าของเอกสารทุกครั้งที่มีการนำไปใช้

This material is reserved for educational use only, not allowed for commercial use.

Forbidden to modify the content, and cite the document when use.

ตารางที่ 2.1 ชนิดของคอนกรีตมวลเบาตาม มอก.2601-2556

ชนิด	ความหนาแน่นเชิงปริมาตรในสภาพแห้งเฉลี่ย (kg/m^3)
C6	501 ถึง 600
C7	601 ถึง 700
C8	701 ถึง 800
C9	801 ถึง 900
C10	901 ถึง 1000
C12	1001 ถึง 1200
C14	1201 ถึง 1400
C16	1401 ถึง 1600

ตารางที่ 2.2 กำลังรับแรงอัดของคอนกรีตมวลเบาตาม มอก.2601-2556

ชนิด	ความต้านทานแรงอัด ไม่น้อยกว่า Mpa (kg/cm^2)
C6	
C7	
C8	2.0 (20.4)
C9	
C10	
C12	2.5 (25.5)
C14	
C16	5.0 (51.0)

เอกสารนี้เป็นเอกสารที่สงวนไว้สำหรับการใช้งานเพื่อการศึกษาเท่านั้น ไม่อนุญาตให้นำไปใช้ประโยชน์ด้านการค้า
ไม่ว่ากรณีใดๆทั้งสิ้น อีกทั้งห้ามมิให้ดัดแปลงเนื้อหา และต้องอ้างอิงถึงเจ้าของเอกสารทุกครั้งที่มีการนำไปใช้

This material is reserved for educational use only, not allowed for commercial use.

Forbidden to modify the content, and cite the document when use.

ตารางที่ 2.3 อัตราการดูดซึมน้ำของคอนกรีตมวลเบาตาม มอก.2601-2556

ชนิด	อัตราการดูดซึมน้ำ ไม่มากกว่า % (เศษส่วนโดยมวล)
C6	
C7	25
C8	
C9	
C10	23
C12	
C14	20
C16	

2.2 ทฤษฎีการถ่ายเทความร้อน

การถ่ายเทความร้อน คือ การส่งผ่านพลังงานความร้อนซึ่งเกิดขึ้นเนื่องจากความแตกต่าง ของอุณหภูมิ ดังนั้น เมื่อใดก็ตามที่มีความแตกต่างของอุณหภูมิเกิดขึ้นในตัวกลางหรือระหว่าง ตัวกลาง การถ่ายเทความร้อน มักจะเกิดขึ้นได้ ดังนั้นพื้นฐานของการถ่ายเทความร้อน คือ “ความแตกต่างของอุณหภูมิ” (Temperature Different) ถ้าตัวกลางสองตัวมีอุณหภูมิเท่ากันจะไม่เกิดการ ถ่ายเทความร้อน ดังนั้นความแตกต่าง ของอุณหภูมิจึงเป็นแรงขับเคลื่อน (Driving Force) เพื่อให้เกิด การถ่ายเทนั่นเอง อัตราการถ่ายเทความร้อนขึ้นอยู่กับ ความลาดชันของอุณหภูมิ (Temperature Gradient) ความลาดชันของอุณหภูมิ หมายถึง ความแตกต่าง ของอุณหภูมิต่อหน่วยความยาว หรือ อัตราการลดลงของอุณหภูมินั่นเอง สมการพื้นฐานสำหรับกระบวนการ ถ่ายโอน

$$\text{Rate of a Transfer Process} = \frac{\text{Driving force}}{\text{Resistance}} \quad (2.2)$$

โดยทั่วไปความร้อนจากภายนอกที่มาจากแหล่งกำเนิดจากดวงอาทิตย์จะมาในรูปแบบรังสีดวงอาทิตย์ (Extraterrestrial Solar Radiation) สู่พื้นผิวโลกส่วนหนึ่งจะถูกสะท้อนกลับไปและส่วนที่ร้อยละเคลื่อนเข้ามาสู่ชั้นบรรยากาศ โดยบางส่วนจะถูกกระเจิง (Scatter) และดูดกลืน (Absorption) โดยโมเลกุลของอากาศไอน้ำและฝุ่นละอองส่วนความร้อนที่เหลือจะลงสู่พื้นผิวโลก ซึ่งจะมีทั้งสะท้อนกลับไปสู่ชั้นบรรยากาศ และถูกดูดกลืนไว้ซึ่งความร้อนที่สะสมไว้ จากการดูดกลืนจะทำให้พื้นผิวโลกมีอุณหภูมิสูงขึ้น และจะพยายามถ่ายเท

เอกสารนี้เป็นเอกสารที่สงวนไว้สำหรับการใช้งานเพื่อการศึกษานอกระบบ ไม่อนุญาตให้นำไปใช้ประโยชน์ด้านการค้า
ไม่ว่ากรณีใดๆทั้งสิ้น อีกทั้งห้ามมิให้ดัดแปลงเนื้อหา และต้องอ้างอิงถึงเจ้าของเอกสารทุกครั้งที่มีการนำไปใช้

This material is reserved for educational use only, not allowed for commercial use.

Forbidden to modify the content, and cite the document when use.

เข้าสู่สิ่งแวดล้อม รวมถึงการถ่ายเทสู่ตัวอาคารด้วยเช่นกันโดยมีการถ่ายเทความร้อน 3 แบบ คือการนำความร้อน การพาความร้อน และการแผ่รังสี

2.2.1 การนำความร้อน (Conduction Heat Transfer)

การถ่ายเทความร้อนโดยการนำความร้อน เป็นการถ่ายเทความร้อนเพียงวิธีเดียวที่เกิดขึ้นใน วัตถุที่เป็น ตัวกลางทึบแสง เมื่อมีความลาดชันของอุณหภูมิสามารถเกิดได้ทั้งในของแข็ง ของเหลว และแก๊ส แต่เนื่องจากมี การไหลหมุนเวียนเกิดขึ้นในของเหลวและแก๊ส แต่สำหรับในของแข็งทึบ แสงจะไม่มี การเคลื่อนไหว ภายในวัสดุจะมี แต่การถ่ายเทความร้อนด้วยการนำเพียงอย่างเดียว อัตราการถ่ายเทความร้อนโดย การนำ ความร้อนจะเป็นสัดส่วน กับค่าความลาดชันของอุณหภูมิ (Temperature gradient) คูณกับพื้นที่ A ที่ความ ร้อนไหลผ่าน ดัง สมการ

$$\text{Rate of Conduction} \propto \frac{(\text{Area})(\text{Temperature Difference})}{\text{Thickness}} \quad (2.3)$$

การถ่ายเทความร้อนที่ผ่านผนังหรือกำแพงซึ่งปริมาณความร้อนที่ถ่ายเทผ่านวัสดุโดยการนำความร้อน ขึ้นกับสภาพนำความร้อน (Thermal Conductivity) ของวัสดุซึ่งปัจจัยที่มีผลในการนำความร้อนยังขึ้นกับ (1) ความหนาแน่นของวัสดุ (2) ความชื้นของวัสดุ (3) ความแตกต่างของอุณหภูมิผิวทั้ง 2 ด้าน (4) ความหนาของ วัสดุ (5) ระยะเวลาในการสัมผัสกับความร้อน

2.2.2 การพาความร้อน (Convection)

การถ่ายเทความร้อนโดยมีอากาศเป็นตัวกลางในการพาความร้อนซึ่งจะเกิดได้ในกรณีทั้งการถ่ายเท ความร้อนจากวัสดุออกมาจากผนังทำให้อากาศโดยรอบร้อนขึ้นส่งผลให้อากาศร้อนซึ่งมีความหนาแน่นต่ำมี มวลเบาที่จะลอยตัวสูงขึ้นอากาศที่เย็นก็จะหมุนเวียนเข้ามาแทนที่ทำให้เกิดการไหลเวียน ของอากาศ-การพา ความร้อนสามารถแบ่งออกได้เป็น

- 1.การพาความร้อนแบบอิสระโดยธรรมชาติซึ่งอาศัยความแตกต่างของความหนาแน่นของไหลจากผล ของการเปลี่ยนแปลงอุณหภูมิ
- 2.การพาความร้อนแบบบังคับโดยใช้แรงภายนอกมาบังคับการเคลื่อนที่ของของไหลที่เคลื่อนผ่านพื้นที่ ผิวที่มีอุณหภูมิต่างกันสำหรับกรณีที่มีลมมีความเร็วมากกว่า 4-5 กิโลเมตรต่อชั่วโมง

2.2.3 การแผ่รังสี (Radiation)

การถ่ายเทความร้อนโดยการแผ่รังสีในลักษณะของรูปแบบคลื่นแม่เหล็กไฟฟ้าผ่านอากาศและ สุญญากาศ (Electromagnetic Waves) เช่นความร้อนจากดวงอาทิตย์แผ่รังสีมายังผิวโลกและตัวอาคาร ไม่ว่ากรณีใดๆทั้งสิ้น อีกทั้งห้ามเผยแพร่ต่อสาธารณะ และต้องอ้างอิงถึงเจ้าของเอกสารทุกครั้งที่มีการนำไปใช้

This material is reserved for educational use only, not allowed for commercial use.

Forbidden to modify the content, and cite the document when use.

โดยตรงรวมถึงจากรังสีความร้อนคลื่นยาวที่แผ่มาจากวัตถุหรือสิ่งแวดล้อมโดยรอบการถ่ายเทความร้อนโดยการแผ่รังสีของวัสดุจะขึ้นอยู่กับปัจจัย 4 ประการ

1. ความสามารถในการดูดซับรังสีความร้อน (Absorptivity)
2. ความสามารถในการสะท้อนรังสีความร้อน (Reflectivity)
3. ความสามารถในการแผ่รังสีความร้อน (Emissivity)
4. ความสามารถในการส่งผ่านรังสีความร้อน (Transitivity) (สวิตช์ดาวประกาย มงคล, 2552. 16)

การถ่ายเทความร้อนโดยการแผ่รังสีจากดวงอาทิตย์จะมีผลต่อวัสดุประกอบอาคารโดยมากน้อยขึ้นอยู่กับลักษณะพื้นผิวที่สามารถดูดซับและสะท้อนรังสีสัมประสิทธิ์การดูดกลืนรังสี (Absorptivity) มีค่า 0.0-1.0 โดยวัสดุที่ดูดกลืนรังสีได้ทั้งหมดจะมีสภาพดูดกลืนทั้งหมดเท่ากับ 1.0 และจะลดลงเรื่อยๆจนถึง 0.0 เมื่อวัสดุนั้นมีประสิทธิภาพการสะท้อนรังสีที่กระทบทั้งหมดเรียกว่าสภาพสะท้อน (Reflectivity) ดังนั้นเปลือกอาคารทั้งหมดจึงเป็นสื่อกลางในการนำความร้อนสู่อาคารหากทำการก่อสร้างอาคารอนุรักษ์พลังงานการดูปัจจัยของค่าสัมประสิทธิ์การถ่ายเทความร้อน (U-value) จึงมีความสำคัญตุนั้นการเลือกวัสดุที่มีค่าการส่งผ่านความร้อนต่ำจะช่วยให้การลดปริมาณการนำความร้อนเข้าสู่อาคาร

2.3 คุณสมบัติทางกายถ่ายเทความร้อนของวัสดุก่อสร้าง

2.3.1 ค่าสัมประสิทธิ์การนำความร้อน

ค่าการนำความร้อนเป็นค่าที่บอกความสามารถในการนำความร้อนของวัสดุแต่ละชิ้นซึ่งวัดค่าในรูปของอัตราปริมาณความร้อนที่ไหลผ่านหน้าตัดของพื้นที่ผิวหน่วยจากอุณหภูมิที่แตกต่างจากฝั่งหนึ่งไปอีกฝั่งหนึ่งของวัสดุเรียกว่าค่า K (K-value) มีหน่วยคือ $W/m^2 \cdot ^\circ C$

2.3.2 ค่าความต้านทานความร้อน (Thermal resistance)

ค่าความต้านทานความร้อนเป็นค่าที่บอกอัตราส่วนระหว่างความหนาของวัสดุตามแนวของปริมาณความร้อนที่ไหลผ่านกับความสามารถในการนำความร้อนของวัสดุ (K-value) โดยอัตราส่วนนี้คือค่าที่แสดงประสิทธิภาพของวัสดุในการเป็นฉนวนกันความร้อนเรียกว่าค่า R value) มีหน่วยเป็น $m^2 \cdot ^\circ C/W$ ดังนั้นอาจกล่าวได้ว่าหากมีค่า R มากเท่าใดวัสดุชิ้นนั้นจะมีลดปริมาณการส่งถ่ายความร้อนก็ได้มากเท่านั้นซึ่งค่าการ

เอกสารต้านทานความร้อนหรือค่า R สามารถคำนวณได้จากการศึกษาเท่านั้น ไม่อนุญาตให้นำไปใช้ประโยชน์ด้านการค้า

ไม่ว่ากรณีใดๆทั้งสิ้น อีกทั้งห้ามมิให้ดัดแปลงเนื้อหา $R = \frac{\Delta x}{K}$ (2.4) และต้องอ้างอิงถึงเจ้าของเอกสารทุกครั้งที่มีการนำไปใช้

This material is reserved for educational use only, not allowed for commercial use.

Forbidden to modify the content, and cite the document when use.

เมื่อ $R =$ ค่าการต้านทานความร้อน ($m^2\text{°C}/W$)

$\Delta X =$ ความหนาของวัสดุที่นำมาพิจารณา

$k =$ ค่าการนำความร้อน ($W/m^2 \cdot \text{°C}$)

2.3.3 ค่าสัมประสิทธิ์การถ่ายเทความร้อนรวม (U-Value)

คือผลรวมของอัตราส่วนกลับของของค่าความต้านทานความร้อน (R-value) ซึ่งค่านี้รวมวัสดุที่ประกอบผนังในชั้นนั้นทั้งหมดในกรณีของผนังที่บจะรวมตั้งแต่ความร้อนของฟิล์มอากาศภายนอกวัสดุภายนอกค่าวัสดุประกอบผนัง (อิฐ, คอนกรีต, ไม้) วัสดุฉนวนกันความร้อนวัสดุฉนวนภายในและความร้อนของฟิล์มอากาศภายในกล่าวได้ว่าการศึกษาการนำความร้อนของวัสดุหากเป็นกรณีของกระจกจะรวมตั้งแต่ค่าความร้อนของฟิล์มอากาศภายนอกวัสดุกระจกและค่าความร้อนของฟิล์มอากาศภายใน

$$U = \frac{1}{R_1} + \frac{1}{R_2} + \frac{1}{R_3} + \dots + \frac{1}{R_n} \quad (2.5)$$

โดยที่ $R =$ ค่าความต้านทานความร้อนของวัสดุ ($W/m^2 \cdot \text{°C}$)

$R_n =$ ค่าความต้านทานความร้อนของวัสดุ ลำดับที่ n

$U =$ ค่าสัมประสิทธิ์การถ่ายเทความร้อนของวัสดุ ($m^2\text{°C}/W$)

2.3.4 ค่าความจุความร้อนจำเพาะ (Specific Heat Capacity)

ความจุความร้อนจำเพาะคือเป็นค่าที่บอกความสัมพันธ์ระหว่างความร้อนและอุณหภูมิโดยปริมาณความร้อนที่ทำให้วัสดุหนึ่งหน่วยปริมาตรที่ทำให้มวลหนึ่งหน่วยมีอุณหภูมิเพิ่มขึ้น 1 องศาโดยมีหน่วยเป็น $\text{Cal/g}\text{°C}$ หรือ $\text{J/kg} \cdot \text{°C}$

$$\Delta Q = mc\Delta T \quad (2.6)$$

โดยที่ C คือความจุความร้อนจำเพาะ ($\text{J} / \text{kg}\text{°C}$)

M คือจำนวนมวล (kg)

ΔQ คือความร้อนที่ให้แก่วัตถุ (J)

ΔT คืออุณหภูมิของวัตถุที่เปลี่ยนไป (°C)

เอกสารนี้เป็นเอกสารที่จัดทำขึ้นเพื่อใช้ในการศึกษาเท่านั้น ไม่สามารถนำเนื้อหาไปใช้ในการค้า
 ค่าความจุความร้อนของแต่ละวัสดุ จะสามารถเก็บสะสมความร้อนไว้ในวัสดุหรือกล่าวได้ว่าเป็นตัวการ
 ที่ชะลอการถ่ายเทความร้อนตามระยะเวลาที่วัสดุนั้น จะสามารถทำได้ตั้งนั้นการเลือกค่าความจุความร้อนไปใช้
 นั้น จะขึ้นอยู่กับปัจจัยอื่นๆ ต้องการหน่วงเหนี่ยวการพาความร้อนไว้นานเท่าใด (Time lag) หากต้องการลด
 This material is reserved for educational use only, not allowed for commercial use.

การถ่ายเทความร้อนมาก ในช่วงกลางวันการใช้ความจุความร้อนมาก จะช่วยหน่วงเหนี่ยวให้ความร้อนอยู่ สะสมนานจนไปถึงกลางคืน ในกรณีที่ใช้งานอาคารตอนกลางวันซึ่งเหมาะกับสภาพอากาศที่แตกต่างกันมากๆ และในทางกลับกันหากต้องการให้ต้องการถ่ายเทความร้อนอย่างรวดเร็ว ก็ใช้วัสดุที่มีความจุความร้อนต่ำ เหมาะกับในสภาพอากาศที่มีความใกล้เคียงกันตลอดทั้งวันและใช้งานตลอดทั้งวัน (กรมพัฒนาพลังงานทดแทน และอนุรักษ์พลังงาน, 2555)

2.3.5 คุณสมบัติของพื้นผิววัสดุที่เกี่ยวข้องกับการแผ่รังสี

พฤติกรรมของการแลกเปลี่ยนรังสีความร้อนของพื้นผิววัสดุที่ตันประกอบด้วย 3 แบบ (สรญาประวิ ตระราษฎร์, 2543: 8) ได้แก่ การดูดกลืนรังสีของพื้นผิววัสดุ (Surface absorptivity), การสะท้อนรังสีของพื้นผิว วัสดุ (Surface reflectivity) และการคายรังสีของพื้นผิววัสดุ (Surface emissivity) ซึ่งทั้งนี้ขึ้นลักษณะของ พื้นผิววัสดุสี่ลักษณะตำแหน่งของวัสดุรวมถึงความยาวคลื่นที่ตกกระทบ

การดูดกลืนรังสีของวัสดุขึ้นกับคุณสมบัติของพื้นผิววัสดุอันได้แก่ สีหรือวัสดุเคลือบผิวซึ่งก็คือค่า สัมประสิทธิ์การดูดกลืนรังสี (Absorptivity) มีค่า 0.0 - 1.0 โดยวัสดุที่ดูดกลืนรังสีได้ทั้งหมดจะมีสภาพดูดกลืน ทั้งหมดเท่ากับ 1.0 และจะลดลงเรื่อยๆจนถึง 0.0 เมื่อวัสดุนั้นมีประสิทธิภาพการสะท้อนรังสีที่กระทบทั้งหมด เรียกว่าสภาพสะท้อน (Reflectivity) โดยผลรวมของค่าสัมประสิทธิ์ของทั้งการดูดกลืนรังสีและสะท้อนรังสีจะมี ค่าเท่ากับหนึ่ง

2.4 ปัจจัยที่ส่งผลต่อประสิทธิภาพทางความร้อนของมวลสาร

2.4.1 การจัดวางตำแหน่งผนังมวลสารภายนอกอาคาร

ลักษณะการวางทิศทางผนังมวลสารจะขึ้นอยู่กับการวางตัวอาคารที่มีทิศทางสอดคล้องกับตำแหน่ง ของดวงอาทิตย์ซึ่งมีผลกระทบโดยตรงกับสภาพแวดล้อมที่ตั้งและอาคารโดยแยกเป็น 2 ปัจจัยคือพลังงาน แสงอาทิตย์ (Solar Radiation) ที่ถูกแผ่ลงมายังโลกและวงโคจรของดวงอาทิตย์ (Solar Geometry) (ธนิต จินดาวณิก, 2540: 26)

พลังงานจากแสงอาทิตย์ (Solar Radiation)

เป็นพลังงานที่ปล่อยออกมาจากดวงอาทิตย์ รังสีดวงอาทิตย์ที่ตกกระทบขอบบรรยากาศเรียกว่า รังสีที่ นอกโลก (Extraterrestrial Solar Radiation) ซึ่ง ประกอบด้วย ช่วงคลื่นสั้น ตั้งแต่ 290-300 นาโนเมตร ถึง 97เปอร์เซ็นต์ ส่วนของรังสีนอกโลกที่ผ่านชั้นบรรยากาศมาถึงผิวโลกจะถูกกระจายและดูดกลืนโดยโมเลกุลของ ก๊าซต่างๆ อนุภาคฝุ่น และเมฆที่อยู่ในชั้นบรรยากาศ การแบ่งรังสีดวงอาทิตย์ตามคุณสมบัติและช่วงคลื่นได้แก่

ไม่ว่ากรณีใด 1. รังสีแสงสว่าง (Visible Radiation) มีอยู่ และต้องอ้างอิงถึงเจ้าของเอกสารทุกครั้งที่มีการนำไปใช้

This material is reserved for educational use only, not allowed for commercial use.

Forbidden to modify the content, and cite the document when use.

แสงสว่างเป็นรังสีที่มองเห็นได้ด้วยตาเปล่า ช่วงสเปกตรัมของแสงสว่างต่ำสุด เริ่มตั้งแต่ 360 ถึง 400 นาโนเมตร และสูงสุดอยู่ระหว่าง 360-830 นาโนเมตร(ICI 1987a) ทั้งนี้ 99 เปอร์เซ็นต์ของรังสีแสงสว่างจะอยู่ในช่วง 400-730 รังสีในช่วงคลื่นต่ำกว่า 400 นาโนเมตร เรียกว่ารังสีอัลตราไวโอเล็ต และยาวกว่า 800 นาโนเมตรเรียกว่า รังสีอินฟราเรด

2.รังสีอัลตราไวโอเล็ต

มองไม่เห็นด้วยตาเปล่า แบ่งออกเป็น 3 ช่วง (IEC 1987) คือ

UV-A: 315-400 ไม่มีผลกระทบต่อสิ่งมีชีวิตมากนัก ความเข้มที่ผิวพื้นไม่ขึ้นกับปริมาณโอโซนในบรรยากาศ

UV-B: 280-315 มีผลกระทบต่อสิ่งมีชีวิตมาก ความเข้มที่ผิวพื้นขึ้นกับปริมาณโอโซนในบรรยากาศ ความเข้มขึ้นกับความยาวคลื่น

UV-C: 100-280 ถูกดูดกลืนโดยชั้นบรรยากาศทั้งหมดไม่พบที่ผิวพื้นโลก

วงโคจรของดวงอาทิตย์ (Solar Geometry)

ทิศทางการขึ้นและตกของดวงอาทิตย์ตลอดปีมีอิทธิพลต่อการออกแบบอาคารตั้งแต่การวางตำแหน่งอาคารสัดส่วนของพื้นที่ผิวอาคารต่อพื้นที่อาคารทั้งหมดโดยลักษณะภูมิประเทศของไทยตั้งอยู่เหนือเส้นศูนย์สูตรที่ละติจูด 14 การโคจรของดวงอาทิตย์จะมีลักษณะอ้อมใต้ตั้งนั้นทั้งแสงธรรมชาติ (Daylight) และการแผ่รังสีโดยตรงของดวงอาทิตย์ (Direct Radiation) จะมีมากในทางทิศใต้มากกว่าทางทิศเหนือเพราะเนื่องจากช่วงเวลาตลอดทั้งปีที่ดวงอาทิตย์โคจรจะทำมุมกับโลกและที่ตั้งอาคาร

2.4.2 คุณสมบัติทางความร้อนของวัสดุ

วัสดุที่สามารถกักเก็บความร้อนไว้ได้มากจะมีคุณสมบัติตั้งนี้คือมีความหนาแน่นมาก (ρ), มีค่าความจุความร้อนจำเพาะมาก (C), มีค่าการนำความร้อนสูง (γ) ส่วนค่าของ Thermal diffusivity ซึ่งมีค่าเท่ากับ γ/c (หรือ $\gamma/\rho S$) เมื่อ S คือค่าความจุความร้อนจำเพาะของวัสดุ) จะเป็นตัวแปรหนึ่งที่ควบคุมการถ่ายเทความร้อนภายในเนื้อวัสดุโดยวัสดุที่มีค่า Thermal diffusivity สูงจะมีประสิทธิภาพในการกักเก็บความร้อนตามวัฏจักรของช่วงเวลา (cycle) ได้ดีกว่าวัสดุที่มีค่า Thermal diversity น้อย

$$m = \rho V \quad (2.7)$$

โดยที่ ρ คือความหนาแน่นของวัสดุ (kg/m^3)

เอกสารนี้เป็นเอกสารที่คัดลอกมาเพื่อการศึกษาเท่านั้น ไม่อนุญาตให้นำไปใช้ประโยชน์ด้านการค้า
ไม่ว่ากรณีใดๆทั้งสิ้น อีกทั้งยังขอให้อัปเดตเนื้อหา และต้องอ้างอิงถึงเจ้าของเอกสารทุกครั้งที่มีการนำไปใช้
V คือปริมาตรรวมของวัสดุ (m^3)

This material is reserved for educational use only, not allowed for commercial use.

Forbidden to modify the content, and cite the document when use.

2.4.3 อิทธิพลของวัสดุประกอบมวลสารผนัง

การเลือกใช้มวลสารของผนังมีส่วนสำคัญต่อพฤติกรรมถ่ายเทความร้อนของผนังสู่ภายในอาคาร การเลือกใช้มวลสารที่เหมาะสม จะช่วยลดการใช้พลังงานความเย็นลงได้ในอาคารที่ใช้การทำความเย็นเป็นส่วนหลัก เนื่องจากวัสดุสามารถจุความร้อนลงในตัวมันได้ หรือมีคุณสมบัติในการหน่วงความร้อน (Thermal Mass) โดยยอมให้ความร้อนผ่านแต่ทั้งช่วงเวลาหนึ่งก่อนที่จะส่งผ่านไปซึ่งเรียกว่าเวลาที่หน่วงความร้อน (Time lag) และช่วงเวลาหน่วงความร้อนจะมากขึ้นตามความหนาของผนังตัวอย่าง ที่ชัดเจนคืออาคารก่ออิฐ ในสมัยโบราณเพราะวัสดุอิฐมีความหนาและมีความหนาแน่นสูงตั้งนั้น จึงเป็นวัสดุที่ช่วยในการหน่วงความร้อนในตอนกลางวันที่ร้อนจัด และจะถ่ายออกในเวลากลางคืนซึ่งช่วยในการสร้างความเย็นให้กับอาคาร ในช่วงกลางวันที่มีแดดร้อนจัดและช่วยให้อาคารอบอุ่นขึ้นในช่วงเวลากลางคืนในสภาวะแวดล้อมภูมิอากาศ

ตารางที่ 2.4 แสดงค่าช่วงเวลาหน่วงที่ความร้อนไหลผ่านวัสดุ (ตรึงใจบูรณสมภพ, 2539: 39)

วัสดุ	ความหนา(นิ้ว)	U-Value (W/m ² - °C)	Time-lag (hours)
อิฐ	4	0.61	2½
	8	0.41	5½
	12	0.31	8½
คอนกรีต(ผสมแล้ว)	4	0.85	2½
	8	0.67	5
	12	0.55	8
แผ่นฉนวนกันความร้อน	2	0.16	40 mins.
	4	0.09	3
ไม้	1/2	0.68	10 mins.
	1	0.47	25 mins.
	2	0.3	1

นอกจากนี้ลักษณะการพาความร้อนจากผนังมวลสารมีผลกระทบต่อสภาวะน่าสบาย (Thermal Comfort) ว่าอุณหภูมิอากาศและความชื้นสัมพัทธ์อยู่ในช่วงสภาวะน่าสบายก็ตามแต่ถ้าหากอุณหภูมิบนพื้นผิวโดยรอบห้องมีอุณหภูมิสูงกว่าอุณหภูมิเฉลี่ยของพื้นที่ผิวโดยรอบ MRT (Mean Radiant Temperature) ผู้ใช้อาคารก็จะรู้สึกร้อนได้ซึ่งค่า MRT นี้มีผลต่อความรู้สึกทางด้านอุณหภูมิได้มากถึง 40% ซึ่งในกรณี MRT สูงเพิ่มขึ้น 1 °C จะต้องลดอุณหภูมิอากาศลง 1.4 °C หรือ MRT ลดลง 1 °C จะต้องเพิ่มอุณหภูมิอากาศลง 1.4 °C เพื่อให้ได้ความรู้สึกร้อนหนาว (Thermal Sensation) เหมือนเดิม (ฉันทจินดาวณิก, 2540, เอกสารนี้เป็นเอกสารสงวนลิขสิทธิ์สำหรับการใช้งานเพื่อการศึกษาเท่านั้น ไม่นอนุญาตให้นำไปเผยแพร่ขึ้นด้านการค้า 41)

ไม่ว่ากรณีใดๆทั้งสิ้น อีกทั้งห้ามมิให้ดัดแปลงเนื้อหา และต้องอ้างอิงถึงเจ้าของเอกสารทุกครั้งที่มีการนำไปใช้

This material is reserved for educational use only, not allowed for commercial use.

Forbidden to modify the content, and cite the document when use.

2.5 การถ่ายเทความร้อนผ่านมวลสาร

ปริมาณความร้อนที่เข้ามาภายในจะเกิดการเปลี่ยนแปลงดังนี้

1. คลื่นความร้อนจะจางลงปริมาณความร้อนผ่านเข้ามาได้บางส่วนเกิดจากคุณสมบัติในการเป็นฉนวนความร้อนของวัสดุที่ได้จากค่าของสัมประสิทธิ์ของการถ่ายเทความร้อนซึ่งยิ่งต่ำก็ยิ่งมีคุณสมบัติเป็นฉนวนความร้อนที่ดี

2. เกิดช่วงเวลาการหน่วงเหนี่ยวความร้อนซึ่งขึ้นอยู่กับความสามารถในการกักเก็บความร้อนได้จากคุณสมบัติของความร้อนจำเพาะของวัสดุกับมวลของวัสดุซึ่งค่าการกักเก็บความร้อนยิ่งมากก็ยิ่งมีเวลาที่ได้รับการหน่วงเหนี่ยวความร้อนมากอากาศจึงเป็นฉนวนความร้อนที่ดีโพรงอากาศอยู่ภายในจึงมีน้ำหนักเบาและเป็นฉนวนความร้อนในทางตรงกันข้ามวัสดุที่น้ำหนักมากมีมวลแน่นเป็นวัสดุที่มีช่วงเวลาการหน่วงเหนี่ยวความร้อนที่ดี

สำหรับในโครงสร้างการเปลี่ยนแปลงของการถ่ายเทความร้อนผ่านส่วนของผนังระหว่างภายนอกกับภายในอาคารจะพบว่าผนังภายนอกในช่วงเวลากลางวันอุณหภูมิเปลือกอาคารจะสูงขึ้นจนถึงช่วงบ่ายจนอุณหภูมิลด จนถึงเวลาช่วงกลางคืน เนื่องจากความร้อนจากดวงอาทิตย์ที่แผ่รังสีมาสู่ตัวอาคารซึ่งในแต่ละช่วงเวลาการถ่ายเทความร้อนจะผ่านผนังเข้าไปอย่างต่อเนื่อง โดยผนังภายในในช่วงเที่ยงคืนจะมีอุณหภูมิต่ำจนเมื่อเริ่มมีการถ่ายเทความร้อนจากดวงอาทิตย์ในช่วงเช้า ความร้อนจะเข้าสู่ตัวผนังมีการถ่ายเทความร้อนเกิดขึ้น โดยอุณหภูมิจะสูงขึ้นเรื่อย ๆ จนกระทั่งเมื่อเข้าสู่ช่วงบ่าย-เย็นอุณหภูมิระหว่างผนังภายนอกและภายในจะเท่ากันเกิดดุลยภาพทางความร้อน (Thermal balance) แต่เมื่อเข้าสู่ช่วงกลางคืน ความร้อนที่ถูกสะสมในผนังและภายในอาคารจะถ่ายเทกลับสู่ภายนอกอาคาร เมื่อความร้อนจะดวงอาทิตย์หมดลงดังนั้นวัสดุที่จะถูกนำมาใช้ผนังเปลือกอาคารย่อมจะต้องมีการสะสมความร้อนและถ่ายเทความร้อนในลักษณะนี้ซึ่งเป็นปรากฏการที่เป็นวงจรตลอดทั้งวัน และโดยสภาพอากาศภายในอาคารประเภทเขตร้อนชื้นย่อมมีอุณหภูมิค่อนข้างสูงทั้งภายใน และภายนอกการปรับอากาศภายในอาคารจึงมีความจำเป็นฉะนั้นความสอดคล้องในการเลือกใช้วัสดุประกอบผนังอาคารที่ช่วยลดการเหนียวนำความร้อน เพื่อลดอุณหภูมิภายในอาคารในแต่ละช่วงเวลาที่เหมาะสมทั้งกลางวัน และกลางคืนที่จะส่งผลต่อการลดการใช้พลังงานจากเครื่องปรับอากาศจึงย่อมเป็นปัจจัยสำคัญในการช่วยลดการใช้พลังงานโดยรวมของอาคาร

เอกสารนี้เป็นเอกสารที่สงวนไว้สำหรับการใช้งานเพื่อการศึกษาเท่านั้น ไม่อนุญาตให้นำไปใช้ประโยชน์ด้านการค้า
ไม่ว่ากรณีใดๆทั้งสิ้น อีกทั้งห้ามมิให้ดัดแปลงเนื้อหา และต้องอ้างอิงถึงเจ้าของเอกสารทุกครั้งที่มีการนำไปใช้

This material is reserved for educational use only, not allowed for commercial use.

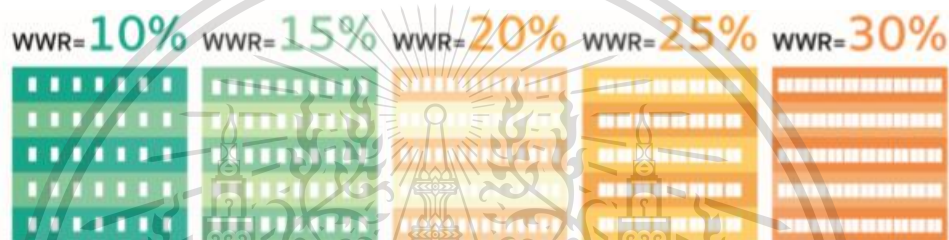
Forbidden to modify the content, and cite the document when use.

2.6 ค่าการถ่ายเทความร้อนรวมของผนัง (OTTV) และหลังคา (RTTV)

ระบบกรอบอาคารประกอบด้วยค่าการถ่ายเทความร้อนรวมของผนังด้านนอกอาคาร(Overall thermal transfer value, OTTV) และค่าการถ่ายเทความร้อนรวมของหลังคาอาคาร (Roof thermal transfer value, RTTV) มีปัจจัยที่เกี่ยวข้องกับการออกแบบดังนี้

1. สมบัติความร้อนของวัสดุ ได้แก่ สัมประสิทธิ์การนำความร้อน (k) ความหนาแน่น(p) ความจุความร้อนจำเพาะ (Cp) และค่าสัมประสิทธิ์การถ่ายเทความร้อนจากรังสีแสงอาทิตย์ (Solar heat gain coefficient, SHGC) เป็นต้น

2. อัตราส่วนพื้นที่ของผนังโปร่งแสงต่อพื้นที่ผนังทั้งหมด (Window to wall ratio, WWR)



รูปที่ 2.1 แสดงอัตราส่วนพื้นที่ของผนังโปร่งแสงต่อพื้นที่ผนังทั้งหมด

3. ค่าสัมประสิทธิ์การบังแดด (Shading coefficient, SC) มีค่าตั้งแต่ 0-1 โดยที่ค่า SC=1 หมายถึงผนังไม่มีการบังของอุปกรณ์บังแดด



รูปที่ 2.2 แสดงตัวอย่างค่าสัมประสิทธิ์การบังแดด

4. ค่าสัมประสิทธิ์การดูดกลืนรังสีแสงอาทิตย์ของสีทาผนังอาคารอ้างอิงตามสีอ่อน-สีเข้ม โดยมีค่าตั้งแต่ 0.3-0.9 ดังนี้



เอกสารนี้เป็นเอกสารที่สงวนไว้สำหรับการใช้งานในการศึกษาเท่านั้น ไม่อนุญาตให้นำไปใช้ประโยชน์ด้านการค้า

ไม่ว่ากรณีใดๆทั้งสิ้น อีกทั้งห้ามมิให้ดัดแปลงเนื้อหา และต้องอ้างอิงถึงเจ้าของเอกสารทุกครั้งที่มีการนำไปใช้

รูปที่ 2.3 แสดงค่าสัมประสิทธิ์การดูดกลืนรังสีแสงอาทิตย์ของสีทาผนัง

This material is reserved for educational use only, not allowed for commercial use.

Forbidden to modify the content, and cite the document when use.

สำหรับประเทศไทยได้มีการออกกฎกระทรวงว่าด้วยกำหนดมาตรฐานหลักเกณฑ์และวิธีการคำนวณค่าการถ่ายเทความร้อนรวมของผนังด้านนอกของอาคารเพื่อให้เป็นมาตรฐานเดียวกันสำหรับอาคารในประเทศไทยซึ่งใช้การเทียบเคียงค่าที่ได้ให้เหมาะสมต่อการใช้งานในอาคารแต่ละประเภทอันได้แก่

สำนักงาน, สถานศึกษามีค่า OTV เฉลี่ยไม่เกิน 50 W/m^3

ห้างสรรพสินค้า, ร้านค้าย่อยมีค่า OTTV เฉลี่ยไม่เกิน 40 W/m^3

โรงแรมโรงพยาบาลสถานพักฟื้นมีค่า OTTV เฉลี่ยไม่เกิน 30 W/m^3

(กระทรวงพลังงาน, 2552)

ส่วนค่าการถ่ายเทความร้อนรวมของผนังด้านนอกอาคารแต่ละด้านคำนวณได้จากสมการดังนี้

$$OTTV_1 = (U_w)(1-WWR)(TD_{eq}) + (U_f)(WWR)(\Delta T) + (WWR)(SHGC)(SC)(ESR) \quad (2.8)$$

โดยที่

- U_w คือ สัมประสิทธิ์การถ่ายเทความร้อนรวมของผนังที่มีหน่วยวัตต์ต่อตารางเมตร องศาเซลเซียส วัตต์/ตรม.
- WWR คือ อัตราส่วนพื้นที่ของหน้าต่างและผนังโปร่งแสงต่อพื้นที่ทั้งหมดของผนังด้านนั้น
- TD_{eq} คือ ค่าความแตกต่างอุณหภูมิเทียบเท่าระหว่างภายนอกและภายในอาคารซึ่งรวมถึงผลการดูดกลืนรังสีอาทิตย์ของผนังที่บ
- U_f คือ สัมประสิทธิ์การถ่ายเทความร้อนรวมของกระจกหรือผนังโปร่งแสงมีหน่วยวัตต์ต่อตารางเมตร องศาเซลเซียส วัตต์/ตรม.
- $SHGC$ คือ สัมประสิทธิ์การถ่ายเทความร้อนจากรังสีอาทิตย์ที่ผ่านกระจกหรือผนังโปร่งแสง
- SC คือ สัมประสิทธิ์การบังแดดของหน้าต่าง
- ESR คือ ค่าตัวประกอบรังสีดวงอาทิตย์ผ่านผนังโปร่งแสงหรือผนังที่บมีหน่วยวัตต์ต่อตารางเมตร วัตต์/ตรม

2.7 ข้อมูลของวัสดุเหลือใช้

2.7.1 ลักษณะทั่วไป

มะพร้าว เป็นพืชยืนต้น ใบมีลักษณะเป็นใบประกอบแบบขนนก ผลประกอบด้วยเอพิการ์ป (epicarp) คือเปลือกนอก ถัดไปข้างในจะเป็นเมโซคาร์ป (mesocarp) หรือใยมะพร้าว ถัดไปข้างในเป็นส่วนเอนโดคาร์ป (endocarp) หรือกะลามะพร้าว ซึ่งจะมีรูสีก้าอยู่ 3 รู สำหรับงอก ถัดจากส่วนเอนโดคาร์ปเข้าไปจะ

This material is reserved for educational use only, not allowed for commercial use.

Forbidden to modify the content, and cite the document when use.

เป็นส่วนเอนโดสเปิร์ม หรือที่เรียกว่าเนื้อมะพร้าว ภายในมะพร้าวจะมีน้ำมะพร้าวซึ่งน้ำมะพร้าวเกิดจากเอนโดสเปิร์มของมะพร้าวซึ่งจะมีเอนโดสเปิร์มทั้งของแข็งและของเหลว คือ เอนโดสเปิร์มของแข็งจะเป็นเนื้อมะพร้าว และเอนโดสเปิร์มทั้งของเหลวจะเป็นน้ำมะพร้าว ซึ่งเมื่อมะพร้าวแก่ เอนโดสเปิร์มก็จะดูดเอาน้ำมะพร้าวไปหมด ขณะที่มะพร้าวยังอ่อน ชั้นเอนโดสเปิร์ม (เนื้อมะพร้าว) ภายในผลมีลักษณะบางและอ่อนนุ่ม ภายในมีน้ำมะพร้าว ซึ่งในระยะนี้เรามักสอยเอามะพร้าวลงมารับประทานน้ำและเนื้อ เมื่อมะพร้าวแก่ ซึ่งสังเกตได้จากการที่เปลือกนอกเริ่มเปลี่ยนเป็นสีน้ำตาล ชั้นเอนโดสเปิร์มก็จะหนาและแข็งขึ้น จนในที่สุดมะพร้าวก็นั่นลงจากต้น

2.7.2 ลักษณะทางพฤกษศาสตร์

มะพร้าว มีชื่อวิทยาศาสตร์ว่า *Cocos nucifera* L. อยู่ในตระกูล *Palmae* มีระบบรากเป็นรากฝอยมีขนาดเท่าๆ กัน แผ่กระจายออกรอบต้น

ลำต้น มีลำต้นเดี่ยว ไม่แตกแขนง มีรอยแผลจากการหลุดร่วงของใบตลอดลำต้น สามารถคำนวณอายุของต้นมะพร้าวได้จากรอยแผลนี้ คือ ในปีหนึ่งมะพร้าวจะสร้างใบประมาณ 12- 14 ใบ ดังนั้นใน 1 ปี จะมีรอยแผลที่ลำต้น 12 – 14 รอยแผล

ใบ เป็นใบประกอบ ออกอยู่ตามส่วนของลำต้น ประกอบด้วยก้านทาง (rachis) มีขนาดใหญ่และยาว และมีใบย่อย (leaflet) บนก้านทางประมาณ 200 – 250 ใบ

ดอก ออกเป็นช่อชนิดพานิคิล มีทั้งดอกตัวผู้และดอกตัวเมีย อยู่ในช่อเดียวกัน ดอกมีกลีบดอก 6 กลีบ สีครีมหรือสีเหลืองนวล ไม่มีก้านดอกย่อยดอกตัวเมียจะมีกลีบดอกหนาและแข็งกว่ากลีบดอกตัวผู้

ผล มะพร้าวเป็นชนิดไฟบรัสตรูป (fibrous drupe) เรียกว่า นัท (nut) มีเปลือก 3 ชั้นคือ

1. เปลือกชั้นนอก (exocarp) เป็นเส้นใยที่เหนียวและแข็ง เมื่อแก่อาจมีสีเขียว แดง เหลือง หรือน้ำตาล
2. เปลือกชั้นกลาง (mesocarp) มีลักษณะเป็นเส้นใย มีความหนาพอประมาณ
3. เปลือกชั้นใน (endocarp) มีลักษณะแข็งหรือที่เรียกกันว่า กะลา (shell)

เมล็ด (seed of kernel) คือ เนื้อมะพร้าว ภายในเมล็ดเป็นช่อกลวงขณะผลอ่อนจะมีน้ำอยู่เต็ม ผลแก่น้ำมะพร้าวจะแห้งไปบางส่วน

เอกสารนี้เป็นเอกสารที่สงวนไว้สำหรับการใช้งานเพื่อการศึกษาเท่านั้น ไม่อนุญาตให้นำไปใช้ประโยชน์ด้านการค้า ไม่ว่าจะกรณีใดๆทั้งสิ้น อีกทั้งห้ามมิให้ดัดแปลงเนื้อหา และต้องอ้างอิงถึงเจ้าของเอกสารทุกครั้งที่มีการนำไปใช้

This material is reserved for educational use only, not allowed for commercial use.

Forbidden to modify the content, and cite the document when use.

2.7.3 ขุยมะพร้าว

คือเปลือกมะพร้าวที่ป่นเอาใยออก หรือ ปั่นให้ใยละเอียด เป็นขุยมะพร้าวละเอียดประมาณเม็ดทราย แห่ง สนิท (ไม่ใช่เปลือกสับ) เป็นเศษเหลือของโรงงานทำเส้นใยมะพร้าวซึ่งได้ทุบกาบมะพร้าวเพื่อนำเส้นใยไปทำ เบาะนั่ง เศษเหลือเหล่านี้เป็นผง ๆ มีคุณสมบัติเบา อุ้มน้ำได้ดี และเก็บความชื้นไว้ได้นาน เมื่อจะใช้ต้องพรมน้ำ ให้ขุยมะพร้าวมีความชื้นพอเหมาะ ไม่แฉะ และไม่แห้งเกินไป เหมาะสำหรับการควั่นตอนกิ่งไม้ เพื่อเพาะชำ ต้นไม้ขุยมะพร้าวเป็นเศษเหลือของโรงงานทำเส้นใยมะพร้าวซึ่งได้ทุบกาบมะพร้าวเพื่อนำเส้นใยไปทำเบาะนั่ง เศษเหลือเหล่านี้เป็นผง ๆ

คุณสมบัติของขุยมะพร้าวได้มีการนำอ้างอิงจาก โปรเจกปัญหาพิเศษปริญญาตรี การพัฒนาเปลือก มะพร้าวอ่อนเพื่อเป็นวัสดุเพราะกล้า จากมหาลัยเกษตรศาสตร์ โดยได้ผลทดลองดังนี้

1. การศึกษาสมบัติทางกายภาพ

1.1 ช่องว่างของอากาศ (%v/v) จากการวิเคราะห์ช่องว่างของอากาศของขุยมะพร้าวละเอียดก่อน พบว่า ช่องว่างอากาศของวัสดุดังกล่าวมีค่า 32 –41%v/v

1.2 ช่องว่างของน้ำ (%v/v) จากการวิเคราะห์ช่องว่างของน้ำของขุยมะพร้าวอนุภาคละเอียด พบว่า มีช่องว่างของน้ำน้อยที่สุดที่ 35%v/v

1.3 ช่องว่างทั้งหมด (%v/v) จากการวิเคราะห์ช่องว่างของทั้งหมดของขุยมะพร้าวละเอียด พบว่า ช่องว่างมีค่าอยู่ในช่วง 71 –78%v/v

1.4 ความสามารถในการอุ้มน้ำ (%w/w) จากการทดลอง พบว่า ความสามารถในการอุ้มน้ำของขุยมะพร้าวอ่อนอนุภาคละเอียดก่อนหมัก มีค่าอยู่ระหว่าง 85.75 –89.35 %w/w

1.5 ความหนาแน่นรวม (g/cm^3) จากการวิเคราะห์ความหนาแน่นรวมของขุยมะพร้าวอนุภาค ละเอียด พบว่า มีค่าอยู่ที่ 0.15 g/cm^3

2. คุณสมบัติทางเคมี

2.1 ค่าการนำไฟฟ้า (EC) จากการวิเคราะห์ค่า EC ของขุยมะพร้าวอ่อนอนุภาคละเอียดก่อนหมัก มี ค่าอยู่ที่ 4.21 mS/cm

2.2 ค่าความเป็นกรด-ด่าง (pH) จากการวิเคราะห์ค่า pH ของขุยมะพร้าวอนุภาคละเอียดมีค่าอยู่ที่

5:15

เอกสารนี้เป็นเอกสารที่สงวนไว้สำหรับการใช้งานเพื่อการศึกษาเท่านั้น ไม่อนุญาตให้นำไปใช้ประโยชน์ด้านการค้า ไม่ว่ากรณีใดๆทั้งสิ้น อีกทั้งห้ามมิให้ตัดแปลงเนื้อหา และต้องอ้างอิงถึงเจ้าของเอกสารทุกครั้งที่มีการนำไปใช้

This material is reserved for educational use only, not allowed for commercial use.

Forbidden to modify the content, and cite the document when use.

2.3 เปอร์เซนต์ฟอสฟอรัส (P) จากการวิเคราะห์ค่า P ของขุยมะพร้าวอ่อนอนุภาคละเอียดมีนัยสำคัญทางสถิติเหลือเท่ากับ 3.11% w/w

2.4 เปอร์เซนต์ไนโตรเจน (N) จากการวิเคราะห์ N ของขุยมะพร้าวอ่อนอนุภาคละเอียด พบว่า มี N อนุภาคละเอียดที่มีค่าอยู่ที่ 0.09% w/w

2.8 ทำไมถึงเลือกขุยมะพร้าว

จากงานวิจัย Effect of coconut coir pith as partial substitute for river sand in eco-friendly concrete วัตถุประสงค์หลักของการศึกษานี้คือเพื่อตรวจสอบความเป็นไปได้ของ การใช้ขุยมะพร้าวทดแทน บางส่วนของมวลรวมละเอียดในคอนกรีต

ข้อสรุปคือ ขุยมะพร้าวอนุภาคที่มีเนื้อละเอียดสามารถใช้แทนทรายในคอนกรีตได้บางส่วน ความสามารถในการทำงานของคอนกรีตที่ผสมขุยมะพร้าว 5% มีความสามารถในการทำงานได้เทียบเท่ากับ คอนกรีตทั่วไป นอกเหนือจากที่มีความสามารถในการทำงานเพิ่มขึ้น เนื่องจากมีน้ำส่วนเกินที่เก็บไว้ในอนุภาค ของขุยมะพร้าว มวลรวมละเอียดบางส่วนมีความแข็งแรงน้อยกว่าเล็กน้อย แต่สามารถเทียบได้กับคอนกรีต อ่างอิงทั้งในสภาพการบ่มด้วยน้ำและการบ่มอากาศ การลดลงของความแข็งแรงที่เกิดจากการก่อตัวของ ช่องว่างในอนุภาคที่น้ำที่กักเก็บไว้จะระเหยไป หลังจากเวลาที่กำหนด การรวมตัวของอนุภาคขุยมะพร้าวทำให้ การขยายตัวของรอยแตกล่าช้าและทำงานได้ดีในการติดตั้ง

จากงานวิจัยDevelopment of coir pith/nylon fabric/epoxy hybrid composites: Mechanical and ageing studies ได้นำส่วนหนึ่งของผลการทดลองมาทำการศึกษพบว่า ตัวอย่างคอมโพสิตมีความ ต้านทานแรงดึงได้ดีกว่าอีพอกซีเรซินบริสุทธิ์ การผสมของวัสดุขุยมะพร้าวช่วยเพิ่มความต้านทานแรงดึงของ อีพอกซีเรซินขึ้น 19.34% ในขณะเดียวกันก็แสดงให้เห็นว่ามีวัสดุผสมไนลอน / อีพอกซีสองและสามชั้น 25.74% และ 30.49% ความต้านทานแรงดึงสูงกว่าดิบ ขุยมะพร้าว หรือสรุปร่างๆ ระบบคอมโพสิตไฮบริด ที่มีขุยมะพร้าว / ผ้าไนลอน / วัสดุผสมอีพอกซีมีช่วยเพิ่มความต้านทานแรงดึงสูงสุดได้

จากงานวิจัย Use of coir pith particles in composites with Portland cement ข้อสรุปพบว่า

อนุภาคของ ขุยมะพร้าวสามารถจำแนกได้ว่าเป็นมวลรวมที่ดีตามการกระจายของขนาดอนุภาค

- วัสดุผสมปูนซีเมนต์ที่มีส่วนผสมของขุยมะพร้าวโดยเฉพาะมีสมบัติเชิงกลใกล้เคียงหรือมากกว่าวัสดุผสมที่มีการทดแทนทรายบางส่วนด้วยขุยมะพร้าว

เอกสารนี้เป็นเอกสารลิขสิทธิ์สงวนลิขสิทธิ์ไว้เพื่อใช้ในการศึกษาเท่านั้น มิยอนุญาตให้เผยแพร่โดยไม่ได้รับอนุญาต
ไม่ว่ากรณีใดๆทั้งสิ้น อีกทั้งห้ามมิให้ดัดแปลงเนื้อหา และต้องอ้างอิงถึงเจ้าของเอกสารทุกครั้งที่มีการนำไปใช้

This material is reserved for educational use only, not allowed for commercial use.

Forbidden to modify the content, and cite the document when use.

- คอมโพลีเมอร์ที่มีการเพิ่มอนุภาคของ ชูมะพร้าว นั้นมีความเหนียว รองรับน้ำหนักได้นานขึ้นก่อนที่จะแตกโดยไม่มีการแตกตัวทั้งหมด อนุภาคของ ชูมะพร้าวมีความสามารถในการดูดซับพลังงานระหว่างการแตกหักซึ่งทำหน้าที่เป็นสารให้ความเหนียว

- เนื่องจากมีความหนาแน่นต่ำ จึงอาจใช้วัสดุผสมที่มีส่วนผสมของชูมะพร้าวเฉพาะในงานที่ต้องการน้ำหนักเบา ควบคู่ไปกับการลดลงของความหนาแน่นจำนวนมากทำให้มีความพรุนเพิ่มขึ้นซึ่งนิยมใช้เป็นวัสดุสำหรับฉนวนกันความร้อนและอะคูสติก

- ค่ากำลังรับแรงอัดของวัสดุผสมที่มี ชูมะพร้าวอยู่ในช่วงที่อนุญาตสำหรับวัสดุก่อสร้างน้ำหนักเบา

- ผลกำลังอัดแสดงให้เห็นโดยเฉพาะถึงผลกระทบของความหนาแน่นต่ำของตัวอย่าง CCC ซึ่งบ่งชี้ว่าสามารถผลิตชิ้นส่วนที่หนาขึ้นได้ด้วยวัสดุที่มีความหนาแน่นต่ำกว่านี้

- การลดลงของคุณสมบัติเชิงกลที่ยืนยันโดยผล FTIR ยังแสดงให้เห็นถึงการชะลอตัวของปฏิกิริยาไฮเดรชันเนื่องจากการสร้างแคลเซียมไฮดรอกไซด์น้อยลงซึ่งได้รับอิทธิพลจากการมีอยู่ของสารสกัดและเอมิเซลลูโลส

- เนื่องจากการดูดซึมน้ำของคอมโพลีเมอร์ที่มีส่วนผสมของ Coir pith-Cement มากขึ้นจึงสามารถแนะนำให้ใช้กับวัสดุตกแต่งภายในที่มีน้ำหนักเบาเช่นแผ่นหรือบล็อกก่ออิฐที่ไม่ใช่โครงสร้าง

2.9 ข้อดีของชูขุย

1. ทนต่อการเจริญเติบโตของแบคทีเรียและเชื้อรา
2. อุ่มน้ำได้ 8-9 เท่า
3. มีค่า pH 5.2-6.8 ซึ่งเป็นกลางถึงเป็นกรดเล็กน้อย
4. ชูมะพร้าวจะสลายตัวช้ามาก จะเริ่มสลายเมื่ออายุ 10 ปีเท่า
5. ราคาไม่แพงสำหรับผลิตภัณฑ์คุณภาพพร้อมอนาคตที่ยั่งยืนต่อสิ่งแวดล้อม

อ้างอิงจากเว็บไซต์ <https://royal-group.no/en/product/fresh-coconut-coir-pith/> โดย royal-group มีความน่าเชื่อถือโดยมีการรวมกลุ่มทางธุรกิจทั้งหมด 50+ และมีการติดต่อทั่วโลก 100 +

เอกสารนี้เป็นเอกสารที่สงวนไว้สำหรับการใช้งานเพื่อการศึกษาเท่านั้น ไม่อนุญาตให้นำไปใช้ประโยชน์ด้านการค้า ไม่ว่าจะกรณีใดๆทั้งสิ้น อีกทั้งห้ามมิให้ดัดแปลงเนื้อหา และต้องอ้างอิงถึงเจ้าของเอกสารทุกครั้งที่มีการนำไปใช้

This material is reserved for educational use only, not allowed for commercial use.

Forbidden to modify the content, and cite the document when use.

2.10 งานวิจัยที่เกี่ยวข้อง

Zhang, MH. และ Malhotra VM. ได้ทำการศึกษาคอนกรีตที่ทำการผสมเถ้าแกลบเป็นวัสดุเสริมเข้าไปพบว่าคอนกรีตผสมเถ้าแกลบแทนที่ปูนซีเมนต์ด้วยเถ้าแกลบร้อยละ 15 มีกำลังรับแรงอัดสูงกว่าคอนกรีตที่ผสมปูนซีเมนต์ปอร์ตแลนด์ควบคุมโดยที่กำลังของคอนกรีตผสมเถ้าแกลบมีค่าเพิ่มขึ้นเมื่อลดอัตราส่วนน้ำต่อวัสดุผสม

YounouSsa Milogo และคณะทำการวิจัยการวิเคราะห์อิฐบล็อกโดยการเสริมเส้นใยจากปอแก้ว (*Hibiscus cannabinus*) โดยทำการตรวจสอบลักษณะทางกายภาพและคุณสมบัติเชิงกลด้วยเครื่อง X-ray diffraction (XRD), thermal gravimetric analyses (TGA), Scanning electronic microscopy (SEM) และ video microscopy

วีระศักดิ์ระยองจันทร์และคณะ ได้ทำการศึกษากการพัฒนาบล็อกแก้วคอนกรีตมวลเบาโดยการผสมปูนจากเตาเผาปูนขาว ผลพลอยได้จากภาคอุตสาหกรรมผลิตกระดาษซึ่งในส่วนของออกแบบส่วนผสมจะใช้ปูนขาวแทนปูนซีเมนต์ร้อยละ 0, 10, 20, 30, 40 และ 50 ตามลำดับ โดยใช้อัตราส่วนของน้ำต่อปูนซีเมนต์เท่ากับ 0.5 และ 0.6 ใช้ปริมาณผงอะลูมิเนียมเท่ากับร้อยละ 1 ผลจากการทดลองพบว่า เมื่อผสมกากปูนขาวร้อยละ 10 จะมีกำลังรับแรงอัด และกำลังแรงตัดสูงที่สุดส่วนค่าความหนาแน่นมีแนวโน้มเพิ่มขึ้น ตามปริมาณของกากปูนขาวการดูดซึมน้ำมีแนวโน้มลดลงตามปริมาณกากปูนขาวที่ใส่เพิ่มขึ้น จากการทดสอบต่างๆจะมีค่าเทียบเท่ากับมาตรฐานตามมอก. 1505-2541 ชั้นคุณภาพที่ 4 ในส่วนของการนำบล็อกแก้วแทนที่เนื้อบล็อกคอนกรีตมวลเบา ที่ร้อยละ 0, 25, 50, 75 และ 100 โดยพื้นที่คอนกรีตตามลำดับพบว่าค่าสัมประสิทธิ์ที่การนำความร้อน (k) IS R 2618 และค่าการทนไฟเมื่อผสมกากปูนขาวร้อยละ 10 จะมีกำลังรับแรงอัดที่สูงที่สุด ความหนาแน่นมีแนวโน้มเพิ่มมากขึ้นตามปริมาณกากปูนขาว และการดูดซึมน้ำมีแนวโน้มการลดลงตามปริมาณกากปูนขาวที่เพิ่มขึ้นจากการทดสอบมีค่าเทียบเท่ากับค่ามาตรฐานมอก. มอก. 1505-2541 ชั้นคุณภาพที่ 2 รวมทั้งการเสริมบล็อกแก้วในร้อยละ 75 เป็นการเสริมที่เหมาะสมที่สุดเนื่องจากมีความเป็นฉนวนของเนื้อคอนกรีตมวลเบารวมอยู่ด้วย และตรงตามมาตรฐานแสงส่องผ่านบล็อกแก้ว

ประชุมคำพุดและกิตติพงษ์สุวิโร ได้ทำการศึกษาสมบัติทางกายภาพ และสมบัติทางกลของคอนกรีตบล็อกมวลเบาผสมเถ้าแกลบ ที่ไม่เสริมแผ่นยางพาราและเสริมแผ่นยางพาราโดยแบ่งการวิจัยออกเป็น 2 ขั้นตอนขั้นที่ 1 ทดสอบคอนกรีตบล็อกมวลเบาผสมเถ้าแกลบที่อัตราส่วนเถ้าแกลบต่อปูนซีเมนต์เท่ากับ H/C = 0.63, H/C = 1.23, H/C = 1.83, H/C = 2.43 และ H/C = 3.03 ผลจากการทดลองพบว่า อัตราส่วนที่เหมาะสมที่สุดของคอนกรีตคืออัตราส่วนเถ้าแกลบต่อปูนซีเมนต์เท่ากับ H/C = 1.83 ในขั้นที่ 2 นำอัตราส่วนที่เหมาะสมจากขั้นตอนที่ 1 (H/C = 1.83) มาทำการเปรียบเทียบระหว่างคอนกรีตบล็อกมวลเบาผสมเถ้าแกลบปกติ กับคอนกรีตบล็อกมวลเบาผสมเถ้าแกลบเสริมแผ่นยางพารา โดยทำการทดสอบความหนาแน่นการดูดซึมน้ำ

น้ำการเปลี่ยนแปลงความยาวและความต้านทานแรงอัดตามมาตรฐานมอก. 58-2530 เรื่องคอนกรีตบล็อกไม่รับน้ำหนัก พบว่าคอนกรีตบล็อกมวลเบาผสมเถ้าแกลบเสริมแผ่นยางพารามีความหนาแน่นการดูดซึมน้ำ และความต้านทานแรงอัดใกล้เคียงกับคอนกรีตบล็อกมวลเบาผสมเถ้าแกลบที่ไม่เสริมแผ่นยางพารา

การเปลี่ยนแปลงความยาวคอนกรีตที่มีการเสริมแผ่นยางพารา มีค่าน้อยกว่า และสามารถลดอุณหภูมิภายในห้องทดลองได้ต่ำกว่าคอนกรีตบล็อกมวลเบาที่ไม่เสริมแผ่นยางพารา มีค่าอยู่ที่ประมาณ 1 องศาเซลเซียส

ภาณุคนอง ได้ศึกษานำเถ้าแกลบสดมาเป็นส่วนผสมในการผลิตอิฐบล็อกมวลเบาโดยเตรียมโดยการขัดผิวแกลบ พบว่าชนบริเวณผิวแกลบจะลดลง หรือหมดไปเมื่อนำเถ้าแกลบไปแช่ในสารละลายโซเดียมไฮดรอกไซด์ แกลบจะมีความอ่อนนุ่มจากนั้นศึกษาอิทธิพลของชนิดวัสดุผสม และปริมาณแกลบพบว่าอิฐบล็อกที่ไม่ใส่แกลบจะมีความอ่อนนุ่มจากนั้นศึกษาอิทธิพลของชนิดแกลบพบว่าอิฐบล็อกที่ใส่แกลบขัดผิวจะมีค่าต้านทานแรงอัดมากกว่าอิฐบล็อกที่ใส่แกลบไม่ขัดผิว อิทธิพลจากเวลาในการบ่มพบว่าอิฐบล็อกที่เวลา 28 วันมีค่าการต้านทานแรงอัดที่มากที่สุด เลือกอิฐบล็อกที่ผสมเถ้าแกลบที่ร้อยละ 75 ซึ่งเป็นแกลบที่ผ่านการแช่สารโซเดียมไฮดรอกไซด์ความเข้มข้นร้อยละ 0.6 เป็นเวลา 6 ชั่วโมงพบว่าการเพิ่มปริมาณปูนซีเมนต์จากร้อยละ 15 เป็น 20 ทำให้ค่ามวลเฉลี่ยเพิ่มขึ้นร้อยละ 5.9 และค่าการต้านทานแรงอัดเฉลี่ยเพิ่มขึ้นร้อยละ 20 เมื่อเปรียบเทียบสมบัติของอิฐบล็อกที่ผสมแกลบกับอิฐบล็อกที่ไม่ผสมแกลบ พบว่าความหนาแน่นของอิฐที่ผสมแกลบจะมีค่าเฉลี่ยเท่ากับ 0.89 g/cm^3 ซึ่งลดลง 55.90% ค่าเฉลี่ยการดูดซึมน้ำมีค่าเท่ากับ 385.53 kg/m^3 เพิ่มขึ้น 78.80 % ถึงแม้ว่าอิฐบล็อกที่ผสมแกลบขัดผิวที่ผ่านการแช่สารละลายโซเดียมไฮดรอกไซด์ จะมีค่าความต้านทานแรงอัดเฉลี่ยต่ำกว่าอิฐบล็อกมวลเบาสำหรับงานก่อสร้างซึ่งมีค่าความต้านทานการอัดต่ำสุดเท่ากับ 100 kg/m^2 แต่ยังคงผ่านเกณฑ์มาตรฐานค่าความต้านทานการอัดต่ำสุด ของอิฐบล็อกมวลเบาสำหรับงานฉนวนความร้อนซึ่งกำหนดไว้เท่ากับ 10 kg/cm^2 และมีค่ามวลต่อปริมาตรที่น้อยกว่า 800 kg/m^3 ตามมาตรฐาน ACI. DESIGNATION: 213R-87 ดังนั้นอิฐบล็อกมวลเบาผสมแกลบจึงน่าจะเป็นผลิตภัณฑ์ที่นำไปใช้ประโยชน์สำหรับงานฉนวนความร้อนที่ไม่ต้องรับน้ำหนักที่สูงได้

Maria Catalina Niho itamizar และคณะทำการศึกษากการทำอิฐบล็อกที่มีส่วนผสมจากเถ้าถ่านหินและเปลือกมันสำปะหลังโดยทำการทดสอบทางวิศวกรรมพบว่าสำหรับการทดสอบการบีบอัดอิฐบล็อกที่มีส่วนผสมจากเถ้าหินมีประสิทธิภาพการใช้งานที่ดีที่สุด เมื่อมีส่วนผสมน้อยกว่าหรือเท่ากับ 5 เปอร์เซ็นต์แต่ถ้ามีมากกว่า 5 เปอร์เซ็นต์จะช่วยให้วัสดุมีความยืดหยุ่นเพิ่มมากขึ้น

เอกสารนี้เป็นเอกสารที่สงวนไว้สำหรับการใช้งานเพื่อการศึกษาเท่านั้น ไม่อนุญาตให้นำไปใช้ประโยชน์ด้านการค้าไม่ว่ากรณีใดๆทั้งสิ้น อีกทั้งห้ามมิให้ดัดแปลงเนื้อหา และต้องอ้างอิงถึงเจ้าของเอกสารทุกครั้งที่มีการนำไปใช้

This material is reserved for educational use only, not allowed for commercial use.

Forbidden to modify the content, and cite the document when use.

บทที่ 3

วิธีการดำเนินงานวิจัย

งานวิจัยนี้เป็นการศึกษาและพัฒนาคอนกรีตมวลเบาระบบเซลลูลาร์ผสมขุยมะพร้าวเพื่อลดอุณหภูมิ โดยนำขุยมะพร้าวละเอียดร่อนผ่านตะแกรงเบอร์ 4 10 20 และ 40 แล้วนำไปทำการทดสอบผสมคอนกรีตมวลเบาระบบเซลลูลาร์โดยการแทนที่ทรายโดยปริมาตรเพื่อหาขนาดที่เหมาะสม. ซึ่งคอนกรีตมวลเบา ระบบเซลลูลาร์จะประกอบไปด้วยปูนซีเมนต์ปอร์ตแลนด์ประเภท 1 ทรายละเอียด น้ำ และโฟม หลังจากนั้นจะเป็น การทดลองหาอัตราส่วนผสมที่เหมาะสม ทดสอบตามมาตรฐาน มอก.2601-2556 มาตรฐานผลิตภัณฑ์อุตสาหกรรมคอนกรีตบล็อกมวลเบาแบบเติมฟองอากาศ ทดสอบความสามารถในการลดความร้อน ค่าการนำความร้อน อัตราการหดตัวและการเปรียบเทียบราคาวัสดุ ในบทนี้จะกล่าวถึงเครื่องมือและวิธีการ ดำเนินงานวิจัย เพื่อให้ทราบถึงขั้นตอนในการทำการวิจัยซึ่งจะมีรายละเอียดต่าง ๆ ดังต่อไปนี้

ขั้นตอนการดำเนินงานวิจัย

1. การเตรียมวัตถุดิบ
2. การทดลองหาคุณสมบัติของทรายและขุยมะพร้าว
3. การทดลองหาขนาดขุยมะพร้าวที่เหมาะสมและหาอัตราส่วนผสมที่เหมาะสม
4. การผลิตรูปทรงจริงตามมาตรฐานและทดสอบตามมาตรฐานผลิตภัณฑ์อุตสาหกรรม
5. ทดสอบความสามารถในการลดความร้อน ค่าการนำความร้อน และอัตราการหดตัว
6. การเปรียบเทียบราคาวัสดุ
7. สรุปผลการทดลอง

3.1 การเตรียมวัตถุดิบ

วัสดุที่ใช้ในการทดลองมีดังนี้

1. ปูนซีเมนต์ปอร์ตแลนด์ประเภท 1 - ปูนซีเมนต์ปอร์ตแลนด์ธรรมดา (Ordinary Portland Cement)

สำหรับใช้ในการทำคอนกรีตหรือผลิตภัณฑ์ทางอุตสาหกรรมใดที่ไม่ต้องการคุณภาพพิเศษกว่าธรรมดาและ

สำหรับใช้ในงานก่อสร้างทั่วไป ที่ไม่อยู่ในภาวะอากาศรุนแรงหรือในที่ที่มีอันตรายจากซัลเฟตเป็นพิษหรือความ

เอกสารนี้เป็นเอกสารที่สงวนไว้สำหรับครูผู้ใช้งานเพื่อการศึกษาเท่านั้น ไม่อนุญาตให้นำไปเผยแพร่ขึ้นด้านการค้า ร้อนที่เกิดจากการรวมตัวกับน้ำจะไม่ทำให้อุณหภูมิสูงจนทำให้คอนกรีตเกิดจากแตกร้าวเสียหาย

ไม่ว่ากรณีใดๆทั้งสิ้น อีกทั้งห้ามมิให้คัดแปลงเนื้อหา และต้องอ้างอิงถึงเจ้าของเอกสารทุกครั้งที่มีการนำไปใช้

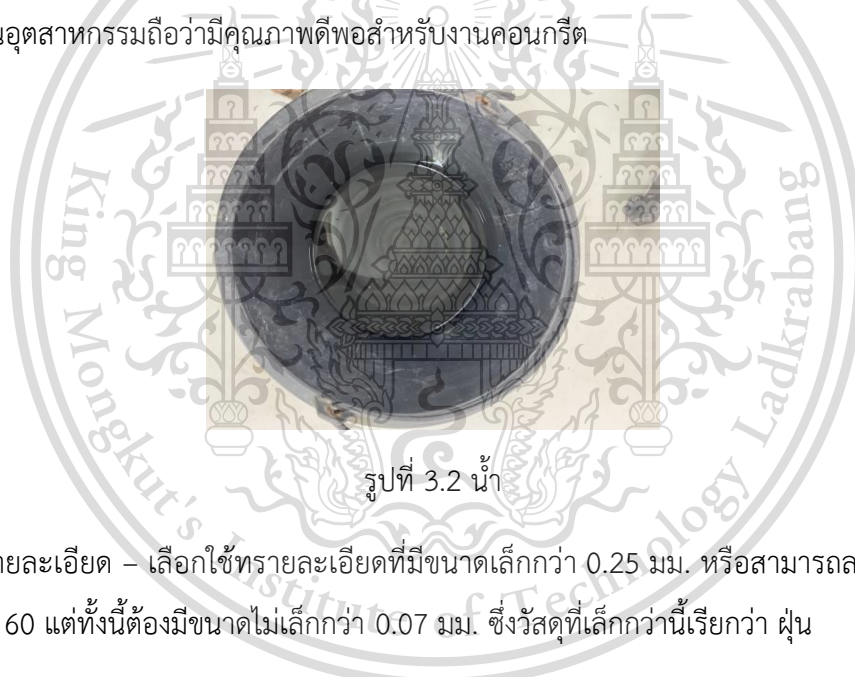
This material is reserved for educational use only, not allowed for commercial use.

Forbidden to modify the content, and cite the document when use.



รูปที่ 3.1 ปูนซีเมนต์พอร์ตแลนด์ประเภท 1

2. น้ำ - น้ำที่ใช้ผสมคอนกรีตต้องปราศจากกรด ด่าง น้ำมันและสารอินทรีย์อื่น ๆ ในปริมาณที่จะเป็นอันตรายต่อคอนกรีต โดยทั่วไปแล้วน้ำประปาและน้ำจืดตามธรรมชาติที่ไม่มีน้ำเสียผสมจากอาคารบ้านเรือนหรือจากโรงงานอุตสาหกรรมถือว่ามีความปลอดภัยสำหรับงานคอนกรีต



รูปที่ 3.2 น้ำ

3. ทรายละเอียด - เลือกใช้ทรายละเอียดที่มีขนาดเล็กกว่า 0.25 มม. หรือสามารถลอดผ่านตะแกรงมาตรฐานเบอร์ 60 แต่ทั้งนี้ต้องมีขนาดไม่เล็กกว่า 0.07 มม. ซึ่งวัสดุที่เล็กกว่านี้เรียกว่า ฝุ่น

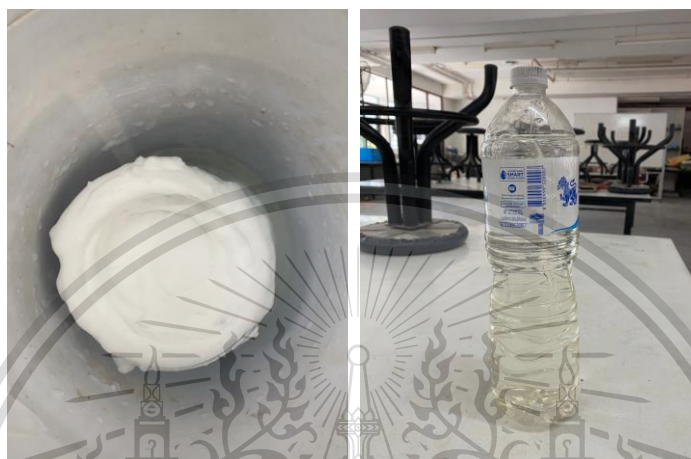


เอกสารนี้เป็นเอกสารที่สงวนไว้สำหรับการใช้งานเพื่อการศึกษาเท่านั้น ไม่อนุญาตให้นำไปใช้ประโยชน์ด้านการค้า
รูปที่ 3.3 ทรายละเอียด
ไม่ว่ากรณีใดๆทั้งสิ้น อีกทั้งห้ามมิให้ดัดแปลงเนื้อหา และต้องอ้างอิงถึงเจ้าของเอกสารทุกครั้งที่มีการนำไปใช้

This material is reserved for educational use only, not allowed for commercial use.

Forbidden to modify the content, and cite the document when use.

4. โฟม - เลือกใช้ น้ำยาสร้างฟองโฟมสำหรับคอนกรีตมวลเบา PLP โฟม A80 มีคุณลักษณะดัดแปลงจากสารลดแรงตึงผิวจากธรรมชาติกับสารสังเคราะห์ประเภทอลูมิเนียมซัลเฟต (Aluminum Sulfate) ซึ่ง PLP โฟม A80 ผลิตจากเครื่องตีโฟม ส่วนไฟฟ้าพร้อมหัวปั่นอนุเนกประสงค์ เพื่อได้ปริมาณที่เหมาะสมกับการทดลอง ที่อัตราส่วน 1:80 PLP โฟม A80 ต่อ น้ำ



รูปที่ 3.4 โฟม

5. ขุยมะพร้าวละเอียด - ขุยมะพร้าวคือเศษขุย เศษผง เศษใยชิ้นเล็ก ๆ ที่เหลือเศษมาจากโรงงานผลิตเส้นใยมะพร้าว ที่แยกเส้นใยออกจากกาบมะพร้าว เพื่อนำไปทำที่นอน ซึ่งเศษขุยเศษผงเหล่านี้ได้ถูกเก็บรวบรวมนำออกมาขาย เรียกว่า ขุยมะพร้าว ซึ่งขุมนั้นก็บอกถึงความละเอียดเล็ก เป็นผงคล้ายเม็ดทรายน้ำหนักเบา

ทำการแยกขนาดของขุยมะพร้าว โดยการนำขุยมะพร้าวละเอียดไปร่อนผ่านตะแกรงมาตรฐานเบอร์ 4 10 20 และ 40 แล้วทำการจัดเก็บแยกภาชนะในแต่ละขนาด



รูปที่ 3.5 ขุยมะพร้าว

เอกสารนี้เป็นเอกสารที่สงวนไว้สำหรับใช้ในงานเพื่อการศึกษาเท่านั้น ไม่ให้นำไปใช้ประโยชน์ด้านการค้า
ไม่ว่ากรณีใดๆทั้งสิ้น อีกทั้งห้ามมีเหตุดัดแปลงเนื้อหา และต้องอ้างอิงถึงเจ้าของเอกสารทุกครั้งที่มีการนำไปใช้

This material is reserved for educational use only, not allowed for commercial use.

Forbidden to modify the content, and cite the document when use.

3.2 ทดสอบหาคุณสมบัติของทรายและขุยมะพร้าว

3.2.1 ความถ่วงจำเพาะและการดูดซึมน้ำของมวลละเอียดที่ภาวะอิ่มตัวผิวแห้ง (Saturated Surface Dry)

เครื่องมืออุปกรณ์

- 1.ขวดแก้ววัดปริมาตร (Volumetric Flask) ขนาด 500 มิลลิลิตร
- 2.เครื่องชั่งน้ำหนักดิจิทัล (Digital scales)
- 3.กรวยหล่อโลหะหัวตัด (Sand absorption cone) เส้นผ่าศูนย์กลางปลายล่าง 89 มม. สูง 74 มม. พร้อมเหล็กกระทุ้ง (tamper) น้ำหนัก 340 บวกลบ 15 กรัมลักษณะเหล็กกระทุ้งนี้ ที่ปลายเหล็กกระทุ้งเป็นวงกลมแบน เส้นผ่านศูนย์กลาง 25 มม.
- 4.ภาดใส่ชิ้นตัวอย่าง
- 5.เตาอบตัวอย่างคอนกรีต รักษาอุณหภูมิในช่วง 100 – 115 องศาเซลเซียส

ขั้นตอนการทดลอง

- 1.นำตัวอย่างทรายแช่น้ำสะอาด 24 ชั่วโมงเพื่อให้อยู่ในสภาวะอิ่มตัวสมบูรณ์
- 2.ทำการตากตัวอย่างและนำมาทดสอบด้วยกรวยหล่อโลหะหัวตัดจนได้ลักษณะของทรายที่ถอดแบบคล้ายพีระมิดหัวแหลม จึงได้ทรายในสภาวะอิ่มตัวผิวแห้ง
- 3.นำตัวอย่างทรายที่มีอยู่ในสภาวะอิ่มตัวผิวแห้ง จำนวน 500 กรัม แบ่งเป็นสี่ส่วนเลือกทรายแค่สองส่วน
- 4.เทลงใน ขวดแก้ววัดปริมาตร 500 มิลลิลิตร(ค่า B) โดยใช้กรวยตวงทรายใส่จนหมด แล้วนำน้ำสะอาดมาเทใส่จนท่วมทราย ให้ไม่เกินขีดบอกขนาด 500 มิลลิลิตร
- 5.ทำการไล่ฟองอากาศ โดยเอนขวดพอประมาณแล้วหมุนขวดไปมา หรือจะแกว่งทรายในขวด แล้วนำไปสูบเอาอากาศออก
- 6.เติมน้ำจนพอดีขีดบอกขนาด 500 มิลลิลิตร โดยสังเกตท้องน้ำแล้วนำไปชั่งน้ำหนัก(ค่า C)
- 7.เทตัวอย่างทรายพร้อมน้ำออกจากขวดแก้ววัดปริมาตรใส่ลงในภาดที่ใหญ่พอโดยเมื่อเทออกจนหมดแล้วนำไม้ลั่นออกมาไปอบที่อุณหภูมิ 100-115 องศาเซลเซียส ทิ้งไว้จนมีน้ำหนักคงที่ (ประมาณ 24 ชั่วโมง) แล้วนำมาชั่งน้ำหนัก (ค่า A)

This material is reserved for educational use only, not allowed for commercial use.

Forbidden to modify the content, and cite the document when use.



รูปที่ 3.6 ความถ่วงจำเพาะและการดูดซึมน้ำของมวลละเอียดที่สภาวะอิ่มตัวผิวแห้ง

3.2.2 ความชื้นในขุยมะพร้าวแต่ละขนาด

ขุยมะพร้าวในแต่ละขนาดมีความชื้นไม่เท่ากัน คณะผู้จัดทำจึงทำการหาปริมาณความชื้นแต่ละขนาด

เครื่องมืออุปกรณ์

1. ภาชนะใส่ขุยมะพร้าว
2. เตาอบ รักษาอุณหภูมิในช่วง 100 – 115 องศาเซลเซียส
3. เครื่องชั่งน้ำหนักดิจิตอล

ขั้นตอนการทดลอง

1. ชั่งน้ำหนักภาชนะ บันทึกค่า(ค่า A)
2. ใส่ขุยมะพร้าวแต่ละขนาดลงในภาชนะ ชั่งน้ำหนักภาชนะ + ขุยมะพร้าว แล้วบันทึกค่า(ค่า B)
3. นำภาชนะ+ขุยมะพร้าว เข้าเตาอบที่รักษาอุณหภูมิในช่วง 100 – 115 องศาเซลเซียส
4. หลังจากครบเวลา 24 ชั่วโมง นำภาชนะ+ขุยมะพร้าวออกจากเตาอบแล้วชั่งน้ำหนักบันทึกค่า(ค่า C)

การคำนวณ

วิธีหาความชื้นในพืชเกษตรมักใช้วิธีง่ายๆ โดยการนำพืชมาอบให้แห้ง แล้วเปรียบเทียบน้ำหนักที่

หายไป คำนวณเป็นร้อยละ ดังสูตร

เอกสารนี้เป็นเอกสารทสงวนไว้สำหรับการใช้งานเพื่อการศึกษาเท่านั้น ไม่อนุญาตให้นำไปใช้ประโยชน์ด้านการค้า
 ไม่ว่าจะกรณีใด ปริมาณความชื้น (ร้อยละ) = $\frac{(\text{น้ำหนักเริ่มต้น} - \text{น้ำหนักหลังการอบ})}{\text{น้ำหนักเริ่มต้น}}$ x 100/น้ำหนักเริ่มต้นที่มีการนำไปใช้

This material is reserved for educational use only, not allowed for commercial use.

Forbidden to modify the content, and cite the document when use.



รูปที่ 3.7 ความชื้นในขุยมะพร้าวแต่ละขนาด

3.3 การทดลองหาอัตราส่วนผสมที่เหมาะสม

3.3.1 การออกแบบส่วนผสมหาอัตราส่วนผสมที่เหมาะสม

จากการศึกษาวิทยานิพนธ์ การพัฒนาแผ่นวัสดุผนังหลังคามวลเบาที่มีประสิทธิภาพสำหรับระบบผลิตไฟฟ้าอาคารอย่างยั่งยืน โดย เศรษฐวัฒน์ ช่วยศรีนวล และจากการศึกษาวิทยานิพนธ์ ต่างๆ จึงสามารถสรุปได้ว่า ถ้าต้องการให้กันความร้อนได้สูง คุณสมบัติของคอนกรีตมวลเบานั้นต้องไม่หนัก จึงจะสามารถป้องกันความร้อนเข้าสู่ผนังได้ ดังนั้นถ้าต้องการให้คอนกรีตมวลเบาไม่หนัก W/C ต้องสูง และ % Foam ต้องมาก S/C ต้องมาก จึงสรุปสูตรที่จะนำมาทดลองได้ดังนี้

ตารางที่ 3.1 อัตราส่วนผสมเพื่อหาอัตราส่วนผสมที่เหมาะสม

อัตราส่วนผสมเพื่อหาอัตราส่วนผสมที่เหมาะสม			
no	W/C ratio	S/C ratio	โฟม (%)
1	0.65	1	80
2	0.65	1	120
3	0.65	1	160
4	0.65	2	120
5	0.7	1	80
6	0.7	1	120
7	0.7	1	160
8	0.75	1	80

เอกสารนี้เป็นเอกสารที่สงวนไว้สำหรับใช้ภายในเพื่อการศึกษาเท่านั้น ไม่อนุญาตให้นำไปใช้ประโยชน์ด้านการค้า
ไม่ว่ากรณีใดๆทั้งสิ้น อีกทั้งห้ามมิให้ดัดแปลงเนื้อหา และต้องอ้างอิงถึงเจ้าของเอกสารทุกครั้งที่มีการนำไปใช้

This material is reserved for educational use only, not allowed for commercial use.

Forbidden to modify the content, and cite the document when use.

3.3.2 การออกแบบส่วนผสมหาขนาดขุยมะพร้าวที่เหมาะสม

จากการศึกษาพบว่าขุยมะพร้าวละเอียดที่ได้จากโรงงานผลิตเส้นใยมะพร้าวมีหลายขนาด ถ้าคณะผู้จัดทำจึงทำการแยกขนาดโดยการร่อนผ่านตะแกรงเบอร์ 4 10 20 และ 40 เนื่องขนาดของวัสดุมีผลต่อคุณสมบัติของคอนกรีต ถ้าผู้จัดทำจึงทำการทดสอบหาขนาดขุยมะพร้าวที่เหมาะสม โดยทำการผสมคอนกรีตขนาด 5x5x5 เซนติเมตร และมีปัจจัยในการทดลองดังนี้

1. อัตราส่วนน้ำต่อซีเมนต์ (W/C ratio) : 0.65
2. อัตราส่วนทรายต่อซีเมนต์ (S/C ratio) : 1
3. น้ำยาสำหรับผลิตฟองโฟมสำหรับอิฐมวลเบา PLP โฟม A80 ที่อัตราส่วน : 120 % โดยปริมาตรทั้งหมด
4. ขุยมะพร้าว : 0 % โดยปริมาตรทั้งหมด , ค้างตะแกรงเบอร์ 10 24 % โดยปริมาตรทั้งหมด , ค้างตะแกรงเบอร์ 20 24 % โดยปริมาตรทั้งหมด, ค้างตะแกรงเบอร์ 40 24 % โดยปริมาตรทั้งหมด และเส้นใยมะพร้าว 24 % โดยปริมาตรทั้งหมด

ตารางที่ 3.2 อัตราส่วนผสมเพื่อหาขนาดของขุยมะพร้าวที่เหมาะสม

อัตราส่วนผสมเพื่อหาขนาดของขุยมะพร้าวที่เหมาะสม	
W/C ratio	0.65
S/C ratio	1
โฟม (%)	120 %
ขุยมะพร้าวสับ	
- ค้างตะแกรงเบอร์ 10	
- ค้างตะแกรงเบอร์ 20	20 %
- ค้างตะแกรงเบอร์ 40	
- ฝุ่นมะพร้าวและใย	

3.3.3. หา % ที่เหมาะสมของขุยมะพร้าว

จากการทดสอบหาอัตราส่วนที่เหมาะสมโดยการแทนที่ขุยมะพร้าว แทนที่ขุยมะพร้าวที่ 20, 30, 40, 50 และ 60% จากนั้นนำตัวอย่างทั้งหมดเข้ารับการทดสอบตามมาตรฐานมอก. 2601 - 2556 เพื่อยืนยันว่าบล็อก CLC ผ่านเกณฑ์มาตรฐาน ซึ่งต้องผ่าน มอก.2601-2556 และ มีความหนาแน่นต่ำที่สุด ในการก่อสร้างและทำการทดสอบความสามารถในการกระจายความร้อน

เอกสารนี้เป็นเอกสารที่สงวนลิขสิทธิ์ไว้เพื่อการศึกษาเท่านั้น ไม่อนุญาตให้นำไปใช้ประโยชน์ด้านการค้า

ไม่ว่ากรณีใดๆทั้งสิ้น อีกทั้งห้ามมิให้ดัดแปลงเนื้อหา และต้องอ้างอิงถึงเจ้าของเอกสารทุกครั้งที่มีการนำไปใช้

This material is reserved for educational use only, not allowed for commercial use.

Forbidden to modify the content, and cite the document when use.

ขั้นตอนการผลิตคอนกรีตมวลเบา

1. เตรียมแบบหล่อ (mold) ขนาด 15 x 15 x 15 ซม. สำหรับหล่อก้อนคอนกรีตอัตราส่วนละ 3 ก้อน
2. จัดเตรียมขังน้ำหนักวัสดุผสมสำหรับคอนกรีตมวลเบา : ปูน ทรายละเอียด น้ำ และขุยมะพร้าว ตามอัตราส่วนที่กำหนด
3. ผลิตฟองโฟมจากเครื่องตีโฟม ส่วนไฟฟ้าพร้อมหัวปั่นปูนอเนกประสงค์ เพื่อได้ปริมาณที่เหมาะสมกับการทดลอง ที่อัตราส่วน 1:20 PLP โฟม A80 ต่อ น้ำ โดยฟองโฟมสามารถนำมาใช้ผสมมอร์ต้าจะต้องเป็นฟองโฟมลักษณะเนียนละเอียดและต้องใช้ทันทีที่ฟองโฟมอยู่ตัว เนื่องจากฟองโฟมถูกทิ้งไว้เป็นระยะเวลาหนึ่งจะมีลักษณะโฟมรวมตัวกันเป็นฟองโฟมเม็ดใหญ่และไม่ละเอียด ทำให้ไม่เหมาะสมกับการนำมาผสมกับมอร์ต้า
4. เทปูนซีเมนต์ ทราย และ ขุยมะพร้าวลงในแม่แบบคอนกรีต โดยทำการกวนส่วนผสมให้เข้ากันก่อน จากนั้นจึงใส่น้ำเข้าไปผสมจนกว่าส่วนผสมทั้งหมดจะรวมตัวเป็นเนื้อเดียวกัน
5. ใส่ฟองโฟมลงในแม่แบบคอนกรีต กวนส่วนผสมให้เข้ากันดีในเวลาที่เหมาะสม
6. เทส่วนผสมลงในแม่แบบที่เตรียมไว้ โดยต้องให้มอร์ต้าเข้ากับแบบได้อย่างดี แล้วปิดแต่งผิวหน้าด้วยเกรียงแล้วปิดฉีกผิวหน้าด้วยพลาสติกซีลเพื่อป้องกันน้ำระเหย
7. เมื่ออายุครบ 24 ชั่วโมงแล้วจึงทำการแกะแบบออก จากนั้นนำตัวอย่างไปบ่มน้ำ
8. เมื่อตัวอย่างมีอายุครบ 28 วันแล้ว นำชิ้นงานขึ้นจากฝืนน้ำ เช็ดผิวให้แห้งเพื่อวัดน้ำหนักที่สภาพอิ่มตัวผิวแห้ง จากนั้นนำตัวอย่างไปอบเป็นเวลา 24 ชั่วโมง แล้วทำการวัดน้ำหนักที่สภาพแห้งสมบูรณ์ และทำการวัดขนาดทั้งด้าน กว้าง ยาว และสูง ด้วยเวอร์เนียร์คาลิเปอร์ แล้วจึงนำไปทดสอบกำลังรับแรงอัดต่อไป

ขั้นตอนการทดสอบคอนกรีตมวลเบาขนาด 15 x 15 x 15 ซม. แสดงดังรูปที่ 3.8 – 3.12



เอกสารนี้เป็นเอกสารที่สงวนไว้สำหรับการใช้งานเพื่อการศึกษาเท่านั้น ไม่อนุญาตให้นำไปใช้ประโยชน์ด้านการค้า
ไม่ว่ากรณีใดๆทั้งสิ้น อีกทั้งห้ามมิให้ตัดรูปที่ 3.8 ผสมซีเมนต์กับทรายถึงเจ้าของเอกสารทุกครั้งที่มีการนำไปใช้

This material is reserved for educational use only, not allowed for commercial use.

Forbidden to modify the content, and cite the document when use.



รูปที่ 3.9 ปั่นโฟมโดยใช้สว่าน



รูปที่ 3.10 ผสมมอร์ต้ากับโฟม



เอกสารนี้เป็นเอกสารที่สงวนไว้สำหรับการใช้งานเพื่อการศึกษาเท่านั้น ไม่อนุญาตให้นำไปใช้ประโยชน์ด้านการค้า
รูปที่ 3.11 ก้อนคอนกรีตรูปทรงลูกบาศก์ ขนาด 15 x 15 x 15 ซม.

ไม่ว่ากรณีใดๆทั้งสิ้น อีกทั้งห้ามมิให้ดัดแปลงเนื้อหา และต้องอ้างอิงถึงเจ้าของเอกสารทุกครั้งที่มีการนำไปใช้

This material is reserved for educational use only, not allowed for commercial use.

Forbidden to modify the content, and cite the document when use.



รูปที่ 3.12 ทดสอบก้อนคอนกรีตรูปทรงลูกบาศก์ ขนาด 15 x 15 x 15 ซม.

3.4 การผลิตรูปทรงจริงตามมาตรฐานและทดสอบตามมาตรฐานอุตสาหกรรม

ใช้แบบหล่อขนาด 20 x 60 x 7.5 เซนติเมตร ซึ่งผสมโดยอัตราส่วนผสมที่เหมาะสมที่ได้จากการทดลอง โดยผลิตจำนวน 6 ก้อน พร้อมหล่อแบบหล่อขนาด 15 x 15 x 15 เซนติเมตรสำหรับทดสอบตามมาตรฐานอุตสาหกรรม

3.4.1 การทดสอบหาค่าความหนาแน่นเชิงปริมาตรของคอนกรีตมวลเบา

หาค่าความหนาแน่นของคอนกรีตมวลเบา ซึ่งคำนวณในสภาพแห้งตามมาตรฐานการผลิตใช้ มอก. 2601 – 2556 เพื่อควบคุมการผลิตคอนกรีตมวลเบาระบบเซลลูล่า ดังสมการที่ 3.1

$$\rho = m/v \quad (3.1)$$

- ρ คือ ค่าความหนาแน่นเชิงปริมาตรในสภาพแห้ง (กิโลกรัมต่อลูกบาศก์เมตร)
- m คือ มวลของชิ้นทดสอบหลังอบในตู้ (กิโลกรัม)
- v คือ ปริมาตรของชิ้นทดสอบ (ลูกบาศก์เมตร)

โดยทำการวัดขนาด กว้าง x ยาว x สูง โดยใช้เวอร์เนียคาลิเปอร์และทำการบันทึกข้อมูล จากนั้นนำตัวอย่างการทดสอบเข้าตู้อบที่อุณหภูมิ 105±5 องศาเซลเซียส ไม่น้อยกว่า 24 ชั่วโมง ทำการชั่งน้ำหนักและทำการบันทึกข้อมูล แล้วจึงนำข้อมูลมาคำนวณหาค่าความหนาแน่นเชิงปริมาตรในสภาพแห้ง

เอกสารนี้เป็นเอกสารที่สงวนไว้สำหรับการใช้งานเพื่อการศึกษาเท่านั้น ไม่อนุญาตให้นำไปใช้ประโยชน์ด้านการค้า
ไม่ว่ากรณีใดๆทั้งสิ้น อีกทั้งห้ามมิให้ดัดแปลงเนื้อหา และต้องอ้างอิงถึงเจ้าของเอกสารทุกครั้งที่มีการนำไปใช้

This material is reserved for educational use only, not allowed for commercial use.

Forbidden to modify the content, and cite the document when use.

3.4.2 การทดสอบหาค่าการดูดซึมน้ำของคอนกรีตมวลเบา

นำตัวอย่างทดสอบมาหาค่าการดูดซึมน้ำของคอนกรีตมวลเบา ตามมาตรฐานการผลิตใช้ มอก. 2601 – 2556 โดยการอบตัวอย่างการทดสอบเข้าตู้อบที่อุณหภูมิ 105 ± 5 องศาเซลเซียส ไม่น้อยกว่า 24 ชั่วโมงไม่น้อยกว่า แล้วตั้งทิ้งไว้ให้เย็นที่อุณหภูมิห้องไม่น้อยกว่า 4 ชั่วโมง ทำการชั่งน้ำหนักและทำการบันทึกข้อมูล หลังจากนั้นทำการแช่ตัวอย่างทดสอบในน้ำสะอาดให้ท่วมเป็นเวลา 24 ชั่วโมง แล้วยกตัวอย่างทดสอบออก แล้วใช้ผ้าชุมน้ำเช็ดที่ผิวตัวอย่างทดสอบและทำการชั่งตัวอย่างทดสอบใหม่ให้เสร็จภายใน 3 นาที ทำการคำนวณหาค่าการดูดซึมน้ำ โดยสมการที่ 3.2 กรณีที่ตัวอย่างทดสอบไม่ผ่านเกณฑ์ที่กำหนด ให้ทำการทดสอบซ้ำ โดยใช้ตัวอย่างทดสอบเดิมกับน้ำกลั่นอีก 1 ครั้ง

$$WA = \left(\frac{MW - MD}{MD} \right) \times 100 \quad (3.2)$$

- WA คือ เปอร์เซ็นต์การดูดซึมน้ำ
- MW คือ มวลของวัสดุที่เปียก (kg)
- MD คือ มวลของวัสดุที่แห้ง (kg)

3.4.3 การทดสอบหาค่าความต้านการอัดของคอนกรีตมวลเบา

นำตัวอย่างทดสอบที่มีอายุการบ่มที่ 28 วัน มาทำการทดสอบหาค่าความต้านการอัดของคอนกรีตมวลเบาตามมาตรฐานการผลิตใช้ มอก. 2601 – 2556 โดยนำตัวอย่างทดสอบมาวัดพื้นที่หน้าตัดโดยใช้เวอร์เนียร์คาลิเปอร์และติดตั้งที่แท่นเครื่องทดสอบความต้านแรงอัด หลังจากนั้นเริ่มเดินเครื่อง โดยควบคุมอัตราการเพิ่มแรงอัดระหว่าง 0.05 ถึง 0.20 นิวตันต่อตารางมิลลิเมตรต่อวินาที จนได้ค่าแรงอัดสูงสุดเมื่อขึ้นตัวอย่างทดสอบแตก และทำการคำนวณหาค่าความต้านการอัด ดังสมการที่ 3.3

$$\text{ค่าความต้านการอัด} = \frac{\text{แรงอัดสูงสุดเมื่อขึ้นทดสอบแตก}}{\text{พื้นที่หน้าตัดขึ้นทดสอบ}} \quad (\text{kg/cm}^2) \quad (3.3)$$

เอกสารนี้เป็นเอกสารที่สงวนไว้สำหรับการใช้งานเพื่อการศึกษาเท่านั้น ไม่อนุญาตให้นำไปใช้ประโยชน์ด้านการค้า
ไม่ว่ากรณีใดๆทั้งสิ้น อีกทั้งห้ามมิให้ดัดแปลงเนื้อหา และต้องอ้างอิงถึงเจ้าของเอกสารทุกครั้งที่มีการนำไปใช้

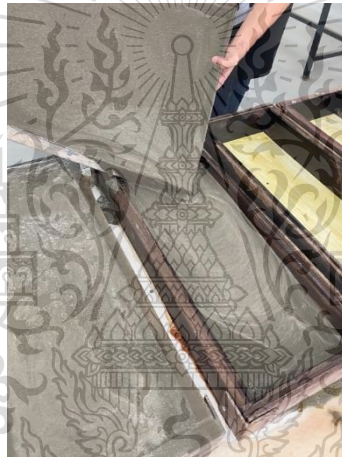
This material is reserved for educational use only, not allowed for commercial use.

Forbidden to modify the content, and cite the document when use.

ขั้นตอนการทำคอนกรีตมวลเบาตามมาตรฐานขนาด $20 \times 60 \times 7.5$ ซม. จะแสดงได้ดังรูปที่ 3.13 – 3.17



รูปที่ 3.13 การผสมมอร์ต้า (ซีเมนต์, ทราย, ขุยมะพร้าว)



รูปที่ 3.14 แสดงการใส่มอร์ต้าลงในแบบหล่อ



เอกสารนี้เป็นเอกสารที่สงวนไว้สำหรับรูปที่ 3.15 การตกแต่งหน้าแบบหล่อคอนกรีตมวลเบาให้นำไปใช้ประโยชน์ด้านการค้า
ไม่ว่ากรณีใดๆทั้งสิ้น อีกทั้งห้ามมิให้ตัดแปลงเนื้อหา และต้องอ้างอิงถึงเจ้าของเอกสารทุกครั้งที่มีการนำไปใช้

This material is reserved for educational use only, not allowed for commercial use.

Forbidden to modify the content, and cite the document when use.



รูปที่ 3.16 คอนกรีตมวลเบาระบบเซลลูลาร์จากขุยมะพร้าวรูปทรงจริงก่อนแกะแม่พิมพ์



รูปที่ 3.17 คอนกรีตมวลเบาระบบเซลลูลาร์จากขุยมะพร้าวรูปทรงจริงที่ทำการอบเพื่อหาอัตราการดูดซึม

3.5 ทดสอบความสามารถในการลดความร้อน ค่าการนำความร้อน และอัตราการหดตัว

3.5.1 ทดสอบความสามารถในการลดความร้อน

การทดสอบความสามารถในการลดความร้อนของคอนกรีตมวลเบาแบบเซลลูลาร์ผสมขุยมะพร้าวเปรียบเทียบกับคอนกรีตมวลเบาและคอนกรีตบล็อกที่มีขายทั่วไปตามท้องตลาด ทดสอบผ่านกล่องทดลองรูปทรง สี่เหลี่ยม โดยมีขั้นตอนดังต่อไปนี้

1. เตรียมกล่องทดลองจำนวน 3 กล่อง ประกอบด้วยโพลียูรีเทนโฟม(Polyurethane) ที่มีคุณสมบัติเป็นฉนวนกันความร้อน 5 ด้าน ส่วนอีกด้านเว้นไว้สำหรับติดตั้งผนังคอนกรีตมวลเบาแบบเซลลูลาร์ผสมขุยมะพร้าว คอนกรีตมวลเบาและคอนกรีตบล็อกที่มีขายทั่วไปตามท้องตลาดพร้อมทำการก่อใน

ไม่ว่ากรณีใดๆทั้งสิ้น อีกทั้งห้ามมิให้ตัดแปลงเนื้อหา และต้องอ้างอิงถึงเจ้าของเอกสารทุกครั้งที่มีการนำไปใช้

This material is reserved for educational use only, not allowed for commercial use.

Forbidden to modify the content, and cite the document when use.

แต่ละกล่อง และเตรียมกล่องทดลองจำนวน 1 กล่อง ประกอบด้วยโพลียูรีเทนโฟม(Polyurethane) ที่มีคุณสมบัติเป็นฉนวนกันความร้อนทั้งหมด 6 ด้าน

2. ทำการวางกล่องทดลองทั้ง 3 กล่องบริเวณแดดฟ้าดี CCA คณะวิศวกรรมโยธา หันผนังด้านที่ทำการก่อไปทางทิศใต้ (ตามการโคจรของดวงอาทิตย์ในเดือนที่ทดสอบ)
3. ติดตั้งเครื่องบันทึกข้อมูล (Data Logger ยี่ห้อ TDS) พร้อมติดตั้งสายเทอร์โมคัปเปิ้ล (Themocuple Type - T) จำนวน 10 สาย เพื่อวัดอุณหภูมิที่จุดต่าง ๆ รวมจำนวน 10 จุด โดยแบ่งเป็นตำแหน่งหลักๆ ดังต่อไปนี้

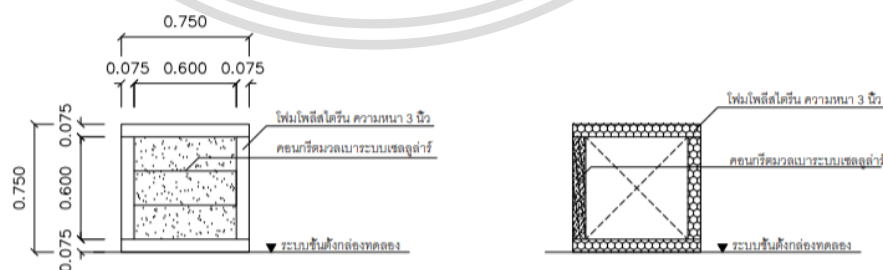
ตำแหน่งที่ 1 วัดอุณหภูมิผิวภายนอกกล่อง ด้านผนังที่ทำการก่อ จำนวนกล่องละ 1 จุด รวม 3 จุด

ตำแหน่งที่ 2 วัดอุณหภูมิผิวภายในกล่อง ด้านผนังที่ทำการก่อ จำนวนกล่องละ 1 จุด รวม 3 จุด

ตำแหน่งที่ 3 วัดอุณหภูมิอากาศในกล่อง บริเวณกลางกล่อง จำนวนกล่องละ 1 จุด รวม 3 จุด

ตำแหน่งที่ 4 เป็นการวัดอุณหภูมิของอากาศในขณะที่ทำการทดสอบ 1 จุด

เก็บข้อมูลการวัดอุณหภูมิตามจุดต่าง ๆ ทั้ง 10 จุด ด้วยการเชื่อมต่อสัญญาณคอมพิวเตอร์ทุก ๆ 1 นาที ทำการวิเคราะห์เปรียบเทียบอุณหภูมิทั้ง 3 กล่องทดลอง ด้วยโปรแกรม Static Measurement Software TDS-7130v2 Ver.2.2 และ Microsoft Excel



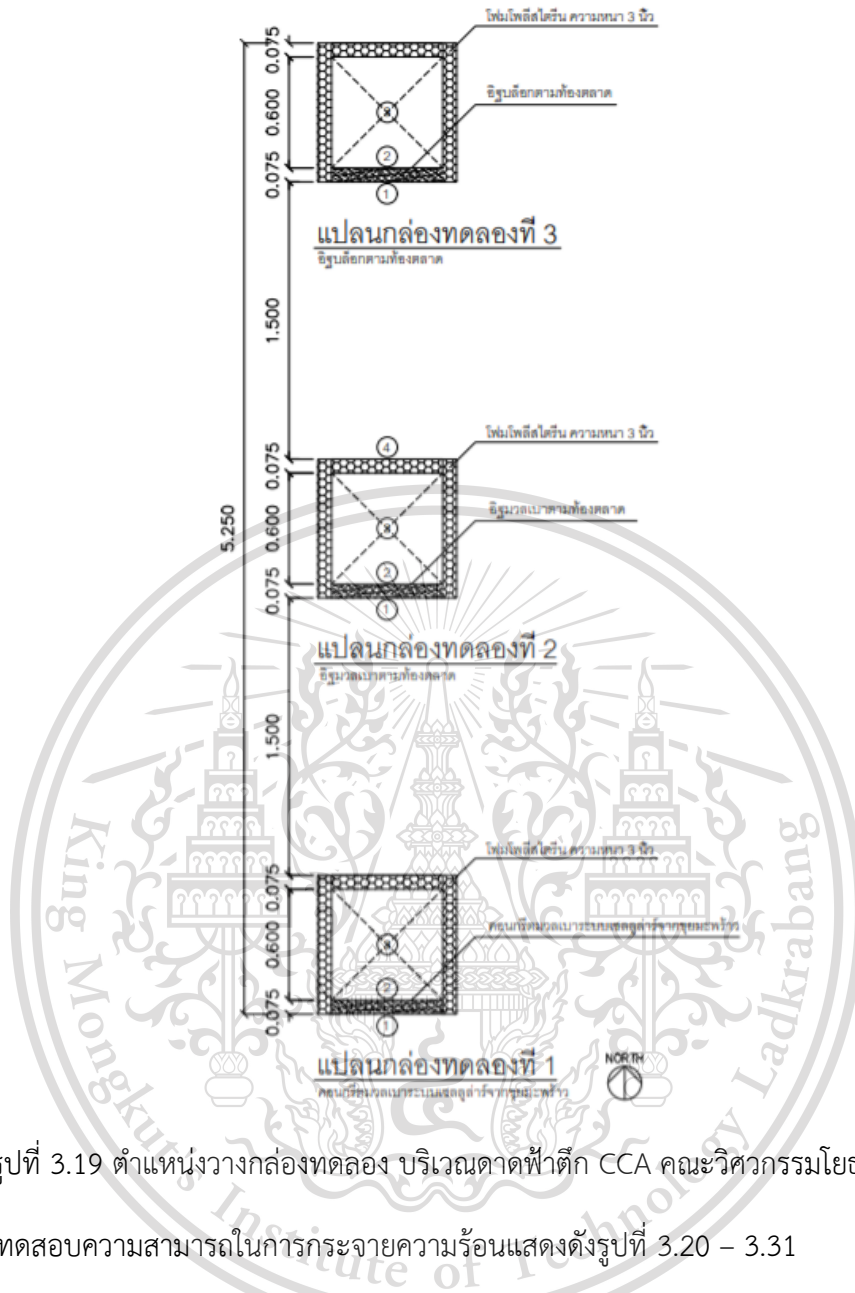
รูปด้านหน้าแสดงแนวการก่อคอนกรีตมวลเบา
มาตราส่วน 1:25

รูปตัด A กล่องทดลอง
มาตราส่วน 1:25

เอกสารนี้เป็นเอกสารที่สงวนไว้สำหรับการใช้งานเพื่อการศึกษาเท่านั้น ไม่อนุญาตให้นำไปใช้ประโยชน์ด้านการค้า
รูปที่ 3.18 รูปขยายกล่องทดสอบความสามารถในการลดความร้อน
ไม่ว่ากรณีใดๆทั้งสิ้น อีกทั้งห้ามมีเหตุใดที่เปลี่ยนแปลงเนื้อหา และต้องอ้างอิงถึงเจ้าของเอกสารทุกครั้งที่มีการนำไปใช้

This material is reserved for educational use only, not allowed for commercial use.

Forbidden to modify the content, and cite the document when use.



รูปที่ 3.19 ตำแหน่งวางกล่องทดลอง บริเวณตลาดฟ้าตัด CCA คณะวิศวกรรมโยธา

รูปตัวอย่างการทดสอบความสามารถในการกระจายความร้อนแสดงดังรูปที่ 3.20 – 3.31



เอกสารนี้เป็นเอกสารที่สงวนไว้สำหรับกรใช้งานเพื่อการศึกษาเท่านั้น ไม่อนุญาตให้นำไปใช้ประโยชน์ด้านการค้า
ไม่ว่ากรณีใดๆทั้งสิ้น อีกทั้งห้ามเผยแพร่โดยไม่ขออนุญาต และต้องอ้างอิงถึงเจ้าของเอกสารทุกครั้งที่มีการนำไปใช้

รูปที่ 3.20 สร้างกล่องเพื่อทดลองความสามารถในการกระจายความร้อน



รูปที่ 3.21 ตัวอย่างการก่อคอนกรีตมวลเบาขนาด 20×60×7.5 ซม.



รูปที่ 3.22 ตัวอย่างการก่อคอนกรีตบล็อกโดยการต่อให้ได้ขนาด 20×60×7.5 ซม



รูปที่ 3.23 คอนกรีตมวลเบาเมื่อก่อสร้างเสร็จ

เอกสารนี้เป็นเอกสารที่สงวนไว้สำหรับการใช้งานเพื่อการศึกษาเท่านั้น ไม่อนุญาตให้นำไปใช้ประโยชน์ด้านการค้า

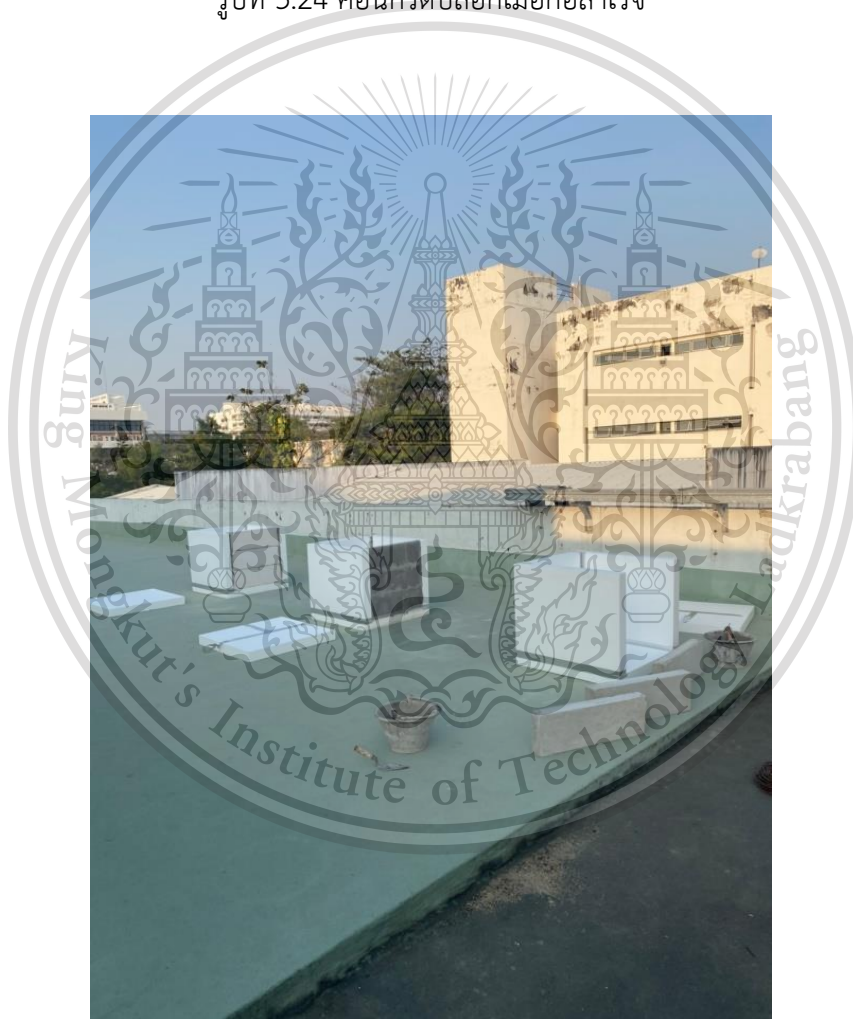
ไม่ว่ากรณีใดๆทั้งสิ้น อีกทั้งห้ามมิให้ดัดแปลงเนื้อหาและต้องอ้างอิงถึงเจ้าของเอกสารทุกครั้งที่มีการนำไปใช้

This material is reserved for educational use only, not allowed for commercial use.

Forbidden to modify the content, and cite the document when use.



รูปที่ 3.24 คอนกรีตบล็อกเมื่อก่อสำเร็จ



รูปที่ 3.25 ทิศทางการจัดวางตัวอย่างทดสอบ

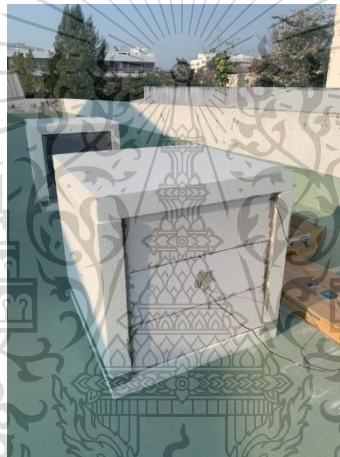
เอกสารนี้เป็นเอกสารที่สงวนไว้สำหรับการใช้งานเพื่อการศึกษาเท่านั้น ไม่อนุญาตให้นำไปใช้ประโยชน์ด้านการค้า
ไม่ว่ากรณีใดๆทั้งสิ้น อีกทั้งห้ามมิให้ดัดแปลงเนื้อหา และต้องอ้างอิงถึงเจ้าของเอกสารทุกครั้งที่มีการนำไปใช้

This material is reserved for educational use only, not allowed for commercial use.

Forbidden to modify the content, and cite the document when use.



รูปที่ 3.26 คอนกรีตมวลเบาผสมขุยมะพร้าวเมื่อติดตั้งสาย Thermocouple type t



รูปที่ 3.27 คอนกรีตมวลเบาเมื่อติดตั้งสาย Thermocouple type t



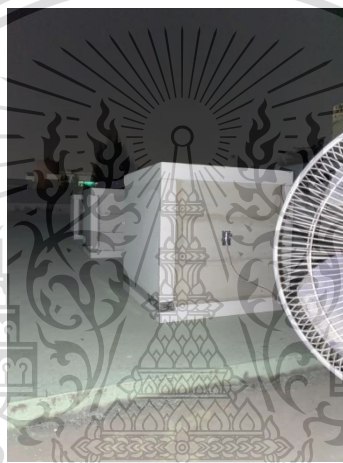
เอกสารนี้เป็นเอกสารที่สงวนไว้สำหรับการใช้งานเพื่อการศึกษาเท่านั้น ไม่อนุญาตให้นำไปใช้ประโยชน์ด้านการค้า
ไม่ว่ากรณีใดๆทั้งสิ้น อีกรูปที่ 3.28 คอนกรีตบล็อกเมื่อติดตั้งสาย Thermocouple type

This material is reserved for educational use only, not allowed for commercial use.

Forbidden to modify the content, and cite the document when use.



รูปที่ 3.29 อุณหภูมิที่ถูกบันทึกโดยเครื่อง Data Logger ยี่ห้อ TDS



รูปที่ 3.30 ทดสอบตัวอย่างในเวลากลางคืน



รูปที่ 3.31 ป้องกันความคลาดเคลื่อนของอุณหภูมิที่วัดจาก Data Logger ทำการระบายความร้อน

เอกสารนี้เป็นเอกสารที่สงวนไว้สำหรับการใช้งานเพื่อการศึกษาเท่านั้น ไม่อนุญาตให้นำไปใช้ประโยชน์ด้านการค้า
ไม่ว่ากรณีใดๆทั้งสิ้น อีกทั้งห้ามมิให้ดัดแปลงเนื้อหา และต้องอ้างอิงถึงเจ้าของเอกสารทุกครั้งที่มีการนำไปใช้

This material is reserved for educational use only, not allowed for commercial use.

Forbidden to modify the content, and cite the document when use.

3.5.2 คำนวณความร้อน (Thermal Conductivity)

ทำการวัดและชั่งน้ำหนักชิ้นงานตัวอย่าง ตั้งค่าอุณหภูมิที่เครื่องเพื่อให้ความร้อนแก่คอนกรีตมวลเบา เมื่อเครื่องให้ความร้อนได้ตามอุณหภูมิที่ต้องการแล้ว นำชิ้นตัวอย่างวางบนเครื่องให้ความร้อนทิ้งไว้ 30 นาที เพื่อให้ความร้อนกระจายทั่วชิ้นตัวอย่างและทำการวัดอุณหภูมิแผ่นให้ความร้อนและตัวรับความร้อน

$$\text{จากสูตรการหาค่าการนำความร้อน} = \frac{Q_d}{2A} \times \frac{d}{\Delta T}$$

Q_d คือ กำลังเฉลี่ยของเครื่องทดสอบการนำความร้อน (วัตต์)

A คือ พื้นที่ของแผ่นให้ความร้อน (ตารางเมตร)

d คือ ความหนาของชิ้นทดสอบ (เมตร)

ΔT คือ ค่าความแตกต่างของอุณหภูมิระหว่างแผ่นให้ความร้อนกับตัวรับความร้อน (เคลวิน)



รูปที่ 3.32 การทดสอบค่าการนำความร้อน



เอกสารนี้เป็นเอกสารที่สงวนไว้สำหรับการใช้งานเพื่อการศึกษาเท่านั้น เมื่อนุญาตให้นำไปใช้ประโยชน์ด้านการค้า
รูปที่ 3.33 แสดงผลอุณหภูมิของตัวอย่างที่นำมาทดสอบ กับ Hot plate
ไม่ว่ากรณีใดๆทั้งสิ้น อีกทั้งห้ามเผยแพร่ต่อสาธารณะ และต้องอ้างอิงถึงเจ้าของเอกสารทุกครั้งที่มีการนำไปใช้

This material is reserved for educational use only, not allowed for commercial use.

Forbidden to modify the content, and cite the document when use.

จากรูป 3.33 ที่อุณหภูมิของ Hot plate ไม่ถึง 300 องศาเซลเซียส เนื่องจากสาย Thermocouple Type – T ไม่สามารถไปแนบสนิทกับ แผ่น Hot plate ได้เพราะมันจะทำให้ละลาย จึงทำได้แค่แตะไว้บนผิวบนของ Hot plate

3.5.3 อัตราการหดตัว (Autogeneous Shrinkage)

ติดตั้ง Gauge plug 2 ตัวที่ด้านหัวและด้านท้าย ของตัวอย่างเพื่อใช้เป็นจุดในการวัดความยืดหดตัว และใช้พลาสติกห่อหุ้มเพื่อป้องกันการระเหยของน้ำ โดยทำการห่อหุ้มพลาสติกไปทั้งหมด 20 รอบ และทำการวัดการหดตัวที่เกิดขึ้นในวันที่ 12 ชั่วโมง 1 วัน 3 วัน 7 วัน 14 วันและ 28 วัน ตามลำดับ โดยทำการทดสอบตั้งแต่วันที่ 12 เมษายน 2564 ถึง วันที่ 10 พฤษภาคม 2564 โดยทำการเทียบกับ มยพ. 1332-50 ที่มีกำลังอัดของคอนกรีตที่อายุ 28 วัน เท่ากับ 60 เมกะปาสคาล



รูปที่ 3.34 น้ำหนักของตัวอย่างที่นำมาทดสอบ



เอกสารนี้เป็นเอกสารที่สงวนไว้สำหรับการศึกษาเท่านั้น ไม่อนุญาตให้นำไปใช้ประโยชน์ด้านการค้า
รูปที่ 3.35 แสดงการห่อด้วยพลาสติกของคอนกรีตตัวอย่าง

ไม่ว่ากรณีใดๆทั้งสิ้น อีกทั้งห้ามมิให้ดัดแปลงเนื้อหา และต้องอ้างอิงถึงเจ้าของเอกสารทุกครั้งที่มีการนำไปใช้

This material is reserved for educational use only, not allowed for commercial use.

Forbidden to modify the content, and cite the document when use.



รูปที่ 3.36 แสดงการทดสอบการหัดตัวแบบอัตโนมัติ



รูปที่ 3.37 แสดงค่าเริ่มต้นของ Gauge plug

3.6 การเปรียบเทียบราคาวัสดุ

ทำการคำนวณหาราคาต้นทุนของคอนกรีตมวลเบา 1 ก้อน ประกอบไปด้วย ราคาปูนซีเมนต์ปอร์ตแลนด์ประเภทที่ 1 , ราคาทรายละเอียด (Sand) , ราคาน้ำสะอาด (Water) , ราคาสารทำฟอง (Foaming Agent) และ ราคาขุยมะพร้าวจากวัสดุเหลือใช้ ตามปริมาณส่วนผสมที่ใช้ในการทำคอนกรีตมวลเบา 1 ก้อน ซึ่งไม่รวมอุปกรณ์การผลิต ค่าขนส่ง และค่าแรงงานต่อวัน และนำมาเปรียบเทียบกับราคาของตลาด

เอกสารนี้เป็นเอกสารที่สงวนไว้สำหรับการใช้งานเพื่อการศึกษาเท่านั้น ไม่อนุญาตให้นำไปใช้ประโยชน์ด้านการค้า
ไม่ว่ากรณีใดๆทั้งสิ้น อีกทั้งห้ามมิให้ตัดแปลงเนื้อหา และต้องอ้างอิงถึงเจ้าของเอกสารทุกครั้งที่มีการนำไปใช้

This material is reserved for educational use only, not allowed for commercial use.

Forbidden to modify the content, and cite the document when use.

บทที่ 4

ผลการทดสอบวิเคราะห์และอภิปราย

งานวิจัยการพัฒนาคอนกรีตมวลเบาระบบเซลลูโลสจากขุยมะพร้าว มีขั้นตอนการดำเนินงาน 7 ขั้นตอนคือ 1.การเตรียมวัตถุดิบ 2. การทดลองหาคุณสมบัติของทรายและขุยมะพร้าว 3.การทดลองหาขนาดขุยมะพร้าวที่เหมาะสมและหาอัตราส่วนผสมที่เหมาะสม 4.การผลิตรูปทรงจริงตามมาตรฐานและทดสอบตามมาตรฐานผลิตภัณฑ์อุตสาหกรรม 5.ทดสอบความสามารถในการลดความร้อน ค่าการนำความร้อน และอัตราการหดตัว 6.การเปรียบเทียบราคาวัสดุ 7. สรุปผลการทดลองซึ่งมีผลขั้นตอนการดำเนินได้ดังนี้

4.1 ผลการเตรียมวัตถุดิบ

เตรียมขุยมะพร้าวที่ได้จากการสั่งซื้อสินค้า นำมาทำการอบให้แห้งเพื่อให้ความชื้นของขุยมะพร้าวมีขนาดเท่ากัน จากนั้นทำการแยกขนาดของขุยมะพร้าว โดยการนำขุยมะพร้าวละเอียดไปร่อนผ่านตะแกรงมาตรฐานเบอร์ 4 10 20 และ 40 แล้วทำการจัดเก็บแยกภาชนะในแต่ละขนาด



รูปที่ 4.1 รูปแสดงการเตรียมขุยมะพร้าวเพื่อนำมาใช้งาน

เอกสารนี้เป็นเอกสารที่สงวนไว้สำหรับการใช้งานเพื่อการศึกษาเท่านั้น ไม่อนุญาตให้นำไปใช้ประโยชน์ด้านการค้า
ไม่ว่ากรณีใดๆทั้งสิ้น อีกทั้งห้ามมิให้ดัดแปลงเนื้อหา และต้องอ้างอิงถึงเจ้าของเอกสารทุกครั้งที่มีการนำไปใช้

This material is reserved for educational use only, not allowed for commercial use.

Forbidden to modify the content, and cite the document when use.

4.2 การทดลองหาคุณสมบัติของทรายและขุยมะพร้าว

4.2.1 ความถ่วงจำเพาะและการดูดซึมน้ำของมวลละเอียดที่สภาวะอิ่มตัวผิวแห้ง

ตารางที่ 4.1 การคำนวณค่าความถ่วงจำเพาะและการดูดซึมน้ำของทรายละเอียดที่สภาวะอิ่มตัวผิวแห้ง

ตัวอย่าง	1	2	3	
C : น้ำหนักของขวดวัดปริมาตรที่ใส่ทรายและน้ำจนถึงขีดที่กำหนด (กรัม)	954	953	954	เฉลี่ย
B : น้ำหนักของขวดแก้ววัดปริมาตรที่ใส่น้ำจนถึงขีดที่กำหนด (กรัม)	646	645	646	
A : น้ำหนักของทรายหลังจากอบแห้ง (กรัม)	497	497	497	
S : น้ำหนักของทรายที่สภาวะอิ่มตัวผิวแห้ง (กรัม)	500	500	500	
ความถ่วงจำเพาะมวลรวม (Bulk specific gravity) = $A/(B+S-C)$	2.59	2.59	2.59	2.59
ความถ่วงจำเพาะมวลรวม - อิมตัวผิวแห้ง (Bulk specific gravity) = $S/(B+S-C)$	2.60	2.60	2.60	2.60
ความถ่วงจำเพาะปรากฏ (Apparent specific gravity) = $A/(B+A-C)$	2.63	2.63	2.63	2.63
ร้อยละการดูดน้ำของเม็ดแก้วรีไซเคิล (Absorption) = $[(S-A)/A]*100$ (%)	0.60	0.60	0.60	0.60

4.2.2 ความชื้นในขุยมะพร้าวแต่ละขนาด

ตารางที่ 4.2 แสดงผลการทดลองการหาความชื้นในขุยมะพร้าวแต่ละขนาด

ชนิดขุยมะพร้าว	น้ำหนัก ภาชนะ (A)	น้ำหนัก เริ่มต้น + น้ำหนัก ภาชนะ (B)	น้ำหนัก หลังอบ + น้ำหนัก ภาชนะ (C)	น้ำหนัก เริ่มต้น (B-A)	น้ำหนัก หลังอบ (C-A)	ปริมาณ ความชื้น (ร้อยละ)
	g	g	g	g	g	
ค้ำตะแกรงเบอร์ 10	12.64	17.29	16.46	4.65	3.82	21.68
ค้ำตะแกรงเบอร์ 20	16.00	20.81	18.83	4.81	2.83	69.82
ค้ำตะแกรงเบอร์ 40	13.74	18.80	16.60	5.06	2.86	76.90

เอกสารนี้เป็นเอกสารที่สงวนไว้สำหรับการใช้งานเพื่อการศึกษาเท่านั้น ไม่อนุญาตให้นำไปใช้ประโยชน์ด้านการค้า
ไม่ว่ากรณีใดๆทั้งสิ้น อีกทั้งห้ามมิให้ดัดแปลงเนื้อหา และต้องอ้างอิงถึงเจ้าของเอกสารทุกครั้งที่มีการนำไปใช้

This material is reserved for educational use only, not allowed for commercial use.

Forbidden to modify the content, and cite the document when use.

4.3 การทดลองหาขนาดขุยมะพร้าวที่เหมาะสมและหาอัตราส่วนผสมที่เหมาะสม

4.3.1 การออกแบบส่วนผสมหาอัตราส่วนผสมที่เหมาะสม

การทดลองหาส่วนผสมระหว่างปูนซีเมนต์ปอร์ตแลนด์ประเภทที่ 1 , ทรายละเอียด, น้ำสะอาด, โฟมที่ได้จากสารทำฟองเจือจางกับน้ำสะอาด และขุยมะพร้าว ซึ่งอาศัยผลของความต้านแรงอัด ความหนาแน่น และอัตราการดูดซึมน้ำ เป็นตัววัดตามการทดสอบมาตรฐานอุตสาหกรรม มอก. 2601 – 2556

วิธีชักตัวอย่างและการทดสอบวัสดุงาน ทำการนำส่วนผสมมาผลิตก้อนคอนกรีตรูปทรงลูกบาศก์ขนาด 15x15x15 ซม. สำหรับ ทดสอบความต้านแรงอัด ความหนาแน่น และ อัตราการดูดซึมน้ำ มีส่วนผสมต้นแบบ คือ ปูนซีเมนต์ปอร์ตแลนด์ ประเภท 1 ต่อทราย 1 : 1 โดยน้ำหนัก และน้ำสะอาดใช้ 0.65 ของน้ำหนักปูนซีเมนต์ จากนั้นนำสารทำฟองเจือจางกับน้ำสะอาด ในอัตราส่วน 1 : 20 โดยปริมาตร เทลงในถังเตรียมการสร้างฟอง โดยมีส่วนปั่นมือความเร็ว 1676 รอบ/นาที ทำการปั่นสารทำฟองที่ถูกเจือจางกับน้ำสะอาด จากนั้นใส่ฟองจากการสร้างโฟมในปริมาณ 1.2 เท่าหรือ 120 % ของปริมาตรจริงที่ใช้ทดสอบ

โดยเมื่อทดสอบแล้วจึงได้มีการทดลองสูตรต่างๆที่คาดว่าจะสามารถผ่าน มอก. 2601 – 2556 และเป็นตัวเลือกที่ดีที่สุด สูตรที่นำมาทดสอบมีทั้งหมด 8 สูตร ทำการทดสอบสูตรละ 3 ก้อน รวมทั้งสิ้น 24 ก้อน สูตรที่นำมาทดสอบแสดงดังตารางที่ 4.3

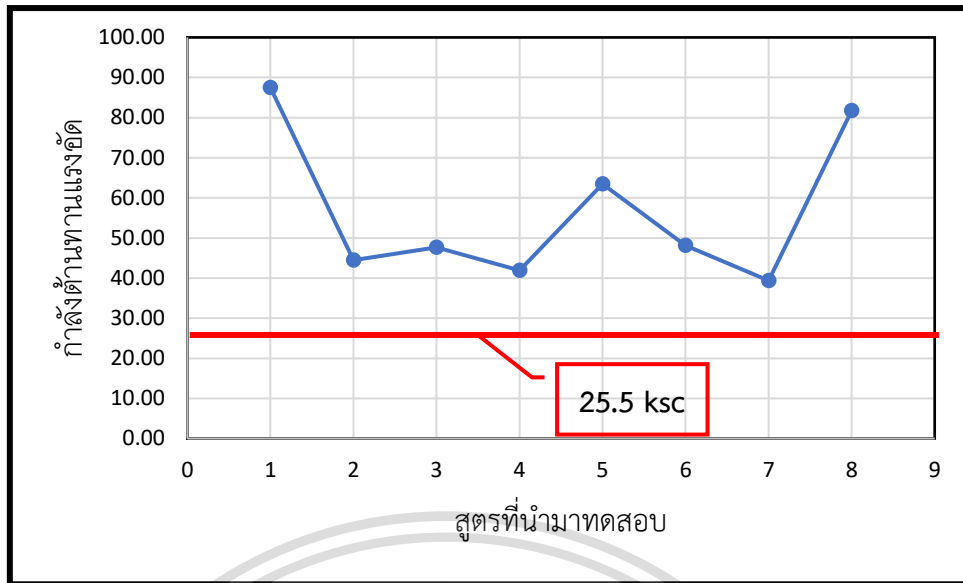
ตารางที่ 4.3 ผลจากการทดลองเฉลี่ยใช้มาตรฐานมอก. 2601 - 2556 C12

ก้อน ที่	W/C ratio	S/C ratio	Foam (%)	น้ำหนัก	น้ำหนัก	อัตราการดูดซึมน้ำ	ความหนาแน่น	กำลัง
				หลังอบ	ก่อนอบ			
				kg	kg	%	kg/cm ³	kN
1	0.65	1	80	4.886	5.679	16.23	1481	194.96
2	0.65	1	120	3.923	4.702	19.86	1198	98.00
3	0.65	1	160	3.925	4.788	21.99	1184	105.14
4	0.65	2	120	4.160	4.966	19.38	1223	93.96
5	0.7	1	80	4.437	5.258	18.50	1385	141.40
6	0.7	1	120	4.053	4.947	22.06	1219	106.88
7	0.7	1	160	3.788	4.657	22.94	1129	87.65
8	0.75	1	80	4.437	5.258	18.50	1398	181.12

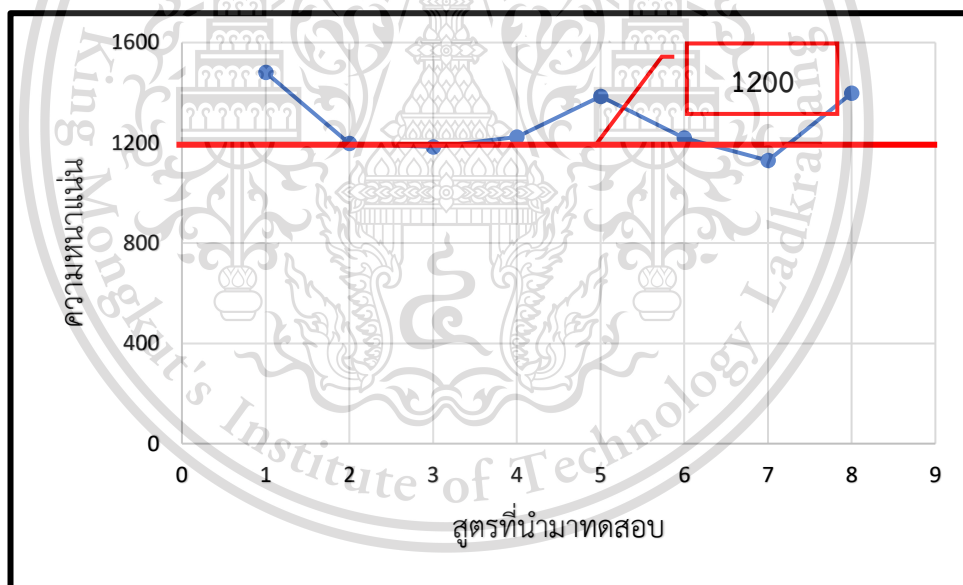
เอกสารนี้เป็นเอกสารที่สงวนไว้สำหรับการใช้งานเพื่อการศึกษาเท่านั้น ไม่อนุญาตให้นำไปใช้ประโยชน์ด้านการค้า
ไม่ว่ากรณีใดๆทั้งสิ้น อีกทั้งห้ามมิให้ดัดแปลงเนื้อหา และต้องอ้างอิงถึงเจ้าของเอกสารทุกครั้งที่มีการนำไปใช้

This material is reserved for educational use only, not allowed for commercial use.

Forbidden to modify the content, and cite the document when use.



รูปที่ 4.2 กำลังต้านทานแรงอัดกับสูตรที่นำมาทดสอบ เทียบกับ มอก. 2601 – 2556

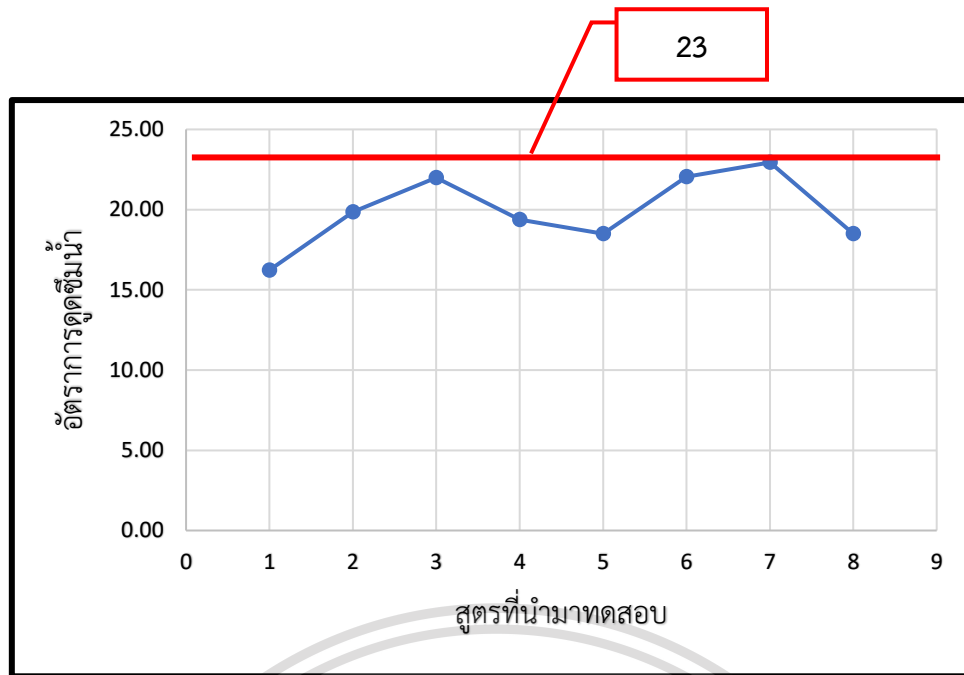


รูปที่ 4.3 ความหนาแน่นกับสูตรที่นำมาทดสอบ เทียบกับ มอก. 2601 – 2556

เอกสารนี้เป็นเอกสารที่สงวนไว้สำหรับการใช้งานเพื่อการศึกษาเท่านั้น ไม่อนุญาตให้นำไปใช้ประโยชน์ด้านการค้า
ไม่ว่ากรณีใดๆทั้งสิ้น อีกทั้งห้ามมิให้ดัดแปลงเนื้อหา และต้องอ้างอิงถึงเจ้าของเอกสารทุกครั้งที่มีการนำไปใช้

This material is reserved for educational use only, not allowed for commercial use.

Forbidden to modify the content, and cite the document when use.



รูปที่ 4.4 อัตราการดูดซึมน้ำกับสูตรที่นำมาทดสอบ เทียบกับ มอก. 2601 – 2556

จากการทดลองพบว่าสูตรที่ดีที่สุดและผ่านมาตรฐาน มอก. 2601 – 2556 คือสูตร 2, 3, และ 7 แต่เนื่องจากขุยมะพร้าวมีอัตราการดูดซึมน้ำที่มาก จึงทำการเลือก สูตร 2 เนื่องจากสูตร 2 มีอัตราการดูดซึมน้ำน้อยกว่า สูตรที่ 3 และ 7 ดังนั้นผลทดสอบจึงได้ผลดังนี้ ผลการทดลองจากความสัมพันธ์ระหว่างกำลังอัดและกราฟความหนาแน่นพบว่าสูตรที่เหมาะสมที่สุดคือ W/C ratio = 0.65 S/C ratio = 1 โฟม = 120% ที่มีความหนาแน่น = 1198 kg/m^3 กำลังรับแรงอัด = 44.48 ksc อัตราการดูดซึมน้ำ = 19.86

4.3.2 ผลจากการหาขนาดที่เหมาะสมของขุยมะพร้าวที่ทำการค้ำ Sieve เบอร์ต่างๆ

เมื่อนำสูตรการคำนวณอัตราส่วนผสมคือ W/C ratio = 0.40 S/C ratio = 0.5 โฟม = 60% มาทำการใส่ขุยมะพร้าวที่ค้ำ Sieve No. คือ ไม่ใส่ขุยมะพร้าว ค้ำเบอร์ 10 ค้ำเบอร์ 20 ค้ำเบอร์ 40 และเส้นใยตามลำดับ มาทำการใส่ลงไป 24% ของปริมาตรที่ทำการทดสอบ คือขนาด $5 \times 5 \times 5$ เซนติเมตร ผลที่ได้จากการทดสอบมีดังนี้

เอกสารนี้เป็นเอกสารที่สงวนไว้สำหรับการใช้งานเพื่อการศึกษาเท่านั้น ไม่อนุญาตให้นำไปใช้ประโยชน์ด้านการค้า
ไม่ว่ากรณีใดๆทั้งสิ้น อีกทั้งห้ามมิให้ดัดแปลงเนื้อหา และต้องอ้างอิงถึงเจ้าของเอกสารทุกครั้งที่มีการนำไปใช้

This material is reserved for educational use only, not allowed for commercial use.

Forbidden to modify the content, and cite the document when use.

ตารางที่ 4.4 ผลจากการทดลองหาอัตราการดูดซึมน้ำ ความหนาแน่น และกำลังของขนาดขุยมะพร้าวต่างๆ

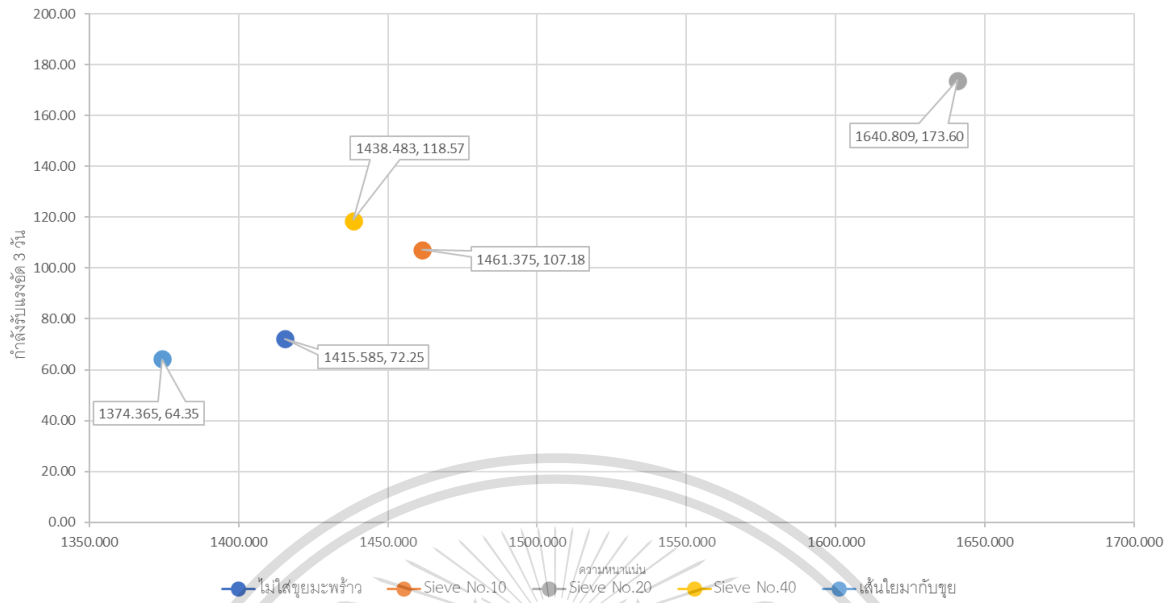
Sieve No.	ก้อนที่	น้ำหนักหลังอบ	น้ำหนักก่อนอบ	อัตราการดูดซึมน้ำ	ความหนาแน่น	กำลัง
		g	g	%	kg/cm ³	kN
ไม่ใส่ขุยมะพร้าว	1	177.13	205.00	15.74	1416.08	22.28
	2	178.83	207.00	15.75	1423.95	18.86
	3	179.14	208.00	16.11	1406.72	12.32
10	1	188.04	215.00	14.34	1464.88	31.15
	2	192.04	217.00	13.00	1525.12	26.84
	3	177.19	206.00	16.26	1394.13	21.78
20	1	206.43	231.00	11.91	1639.36	47.86
	2	204.52	229.00	11.97	1625.29	49.34
	3	206.97	231.00	11.61	1657.77	31.17
40	1	179.57	210.00	16.95	1431.56	30.72
	2	179.08	209.00	16.71	1436.85	31.29
	3	181.07	209.00	15.42	1447.04	25.40
ไยมะพร้าว	1	170.63	203.00	18.97	1358.35	13.33
	2	170.31	202.00	18.61	1345.35	13.76
	3	178.02	210.00	17.97	1419.39	20.43

เอกสารนี้เป็นเอกสารที่สงวนไว้สำหรับการใช้งานเพื่อการศึกษาเท่านั้น ไม่อนุญาตให้นำไปใช้ประโยชน์ด้านการค้า
ไม่ว่ากรณีใดๆทั้งสิ้น อีกทั้งห้ามมิให้ดัดแปลงเนื้อหา และต้องอ้างอิงถึงเจ้าของเอกสารทุกครั้งที่มีการนำไปใช้

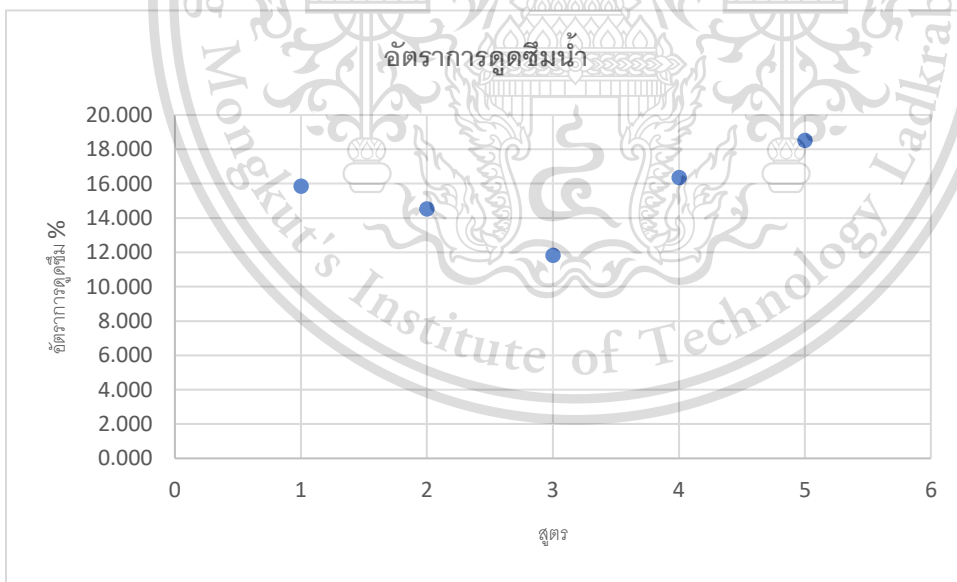
This material is reserved for educational use only, not allowed for commercial use.

Forbidden to modify the content, and cite the document when use.

กราฟความสัมพันธ์ระหว่างความหนาแน่น - กำลังรับแรงอัด 3 วัน



รูปที่ 4.5 แสดงความสัมพันธ์ระหว่างความหนาแน่นและกำลังรับแรงอัด



รูปที่ 4.6 แสดงอัตราการดูดซึมน้ำของสูตรต่างๆ

เอกสารนี้เป็นเอกสารที่สงวนไว้สำหรับการใช้งานเพื่อการศึกษาเท่านั้น ไม่อนุญาตให้นำไปใช้ประโยชน์ด้านการค้า
ไม่ว่ากรณีใดๆทั้งสิ้น อีกทั้งห้ามมิให้ดัดแปลงเนื้อหา และต้องอ้างอิงถึงเจ้าของเอกสารทุกครั้งที่มีการนำไปใช้

This material is reserved for educational use only, not allowed for commercial use.

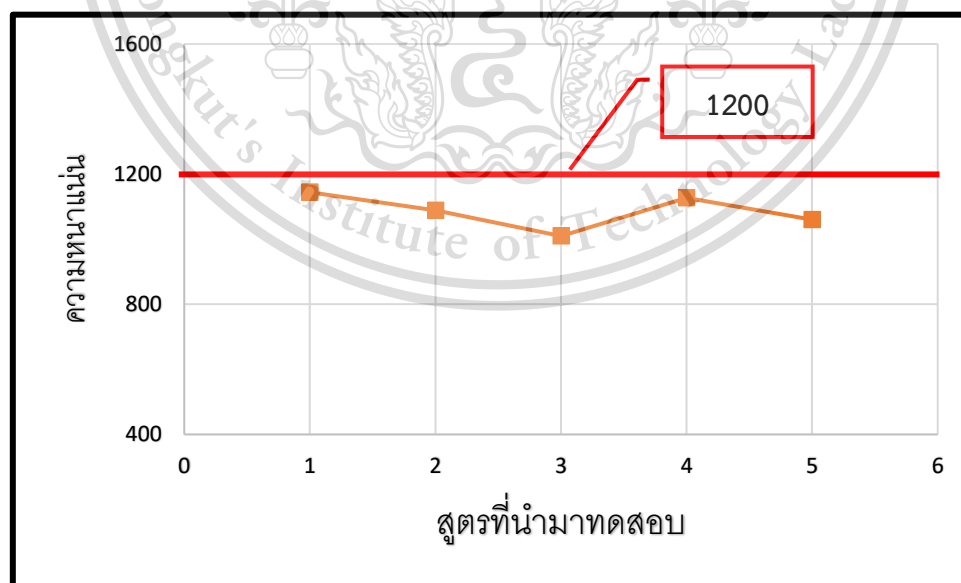
Forbidden to modify the content, and cite the document when use.

4.3.2 ผลจากการหา % ที่เหมาะสมของขุยมะพร้าว

เมื่อนำสูตรที่เหมาะสมที่สุดคือ W/C ratio = 0.65 S/C ratio = 1 โฟม = 120% มาทำการหาปริมาณขุยมะพร้าวที่เหมาะสมที่สุด จากผลการทดสอบนำขุยมะพร้าวแทนที่ปูนซีเมนต์ปอร์ตแลนด์ประเภท 1 ในอัตราส่วน ร้อยละ 0, 20, 30, 40, 50, และ 60 โดยปริมาตร ตามอัตราส่วนผสม 5 สูตร คือ สูตร A, สูตร B, สูตร C, สูตร D และ สูตร E บ่มก้อนคอนกรีตโดยนำไปแช่ลงในน้ำ ที่ระยะเวลาบ่ม 28 วัน รวมทั้งหมด 18 ก้อน จะได้ผลทดสอบเฉลี่ยของแต่ละสูตรดังนี้

ตารางที่ 4.5 แสดงผลการทดสอบเฉลี่ยที่ได้จากสูตรที่ 2 นำมาใส่ขุยมะพร้าว

no	ขุยมะพร้าว (%)	น้ำหนักหลังอบ kg	น้ำหนักก่อนอบ kg	ความหนาแน่น (kg/m ³)	กำลังรับแรงอัด (ksc)	อัตราการดูดซึมน้ำ (%)
A	20	3.73	4.585	1144	36.02	22.922
B	30	3.487	4.296	1089	45.68	23.200
C	40	3.245	4.108	1010	39.35	26.595
D	50	3.691	4.576	1127	36.82	23.977
E	60	3.378	4.227	1061	45.14	25.133
C12				< 1200	> 25.5	< 23

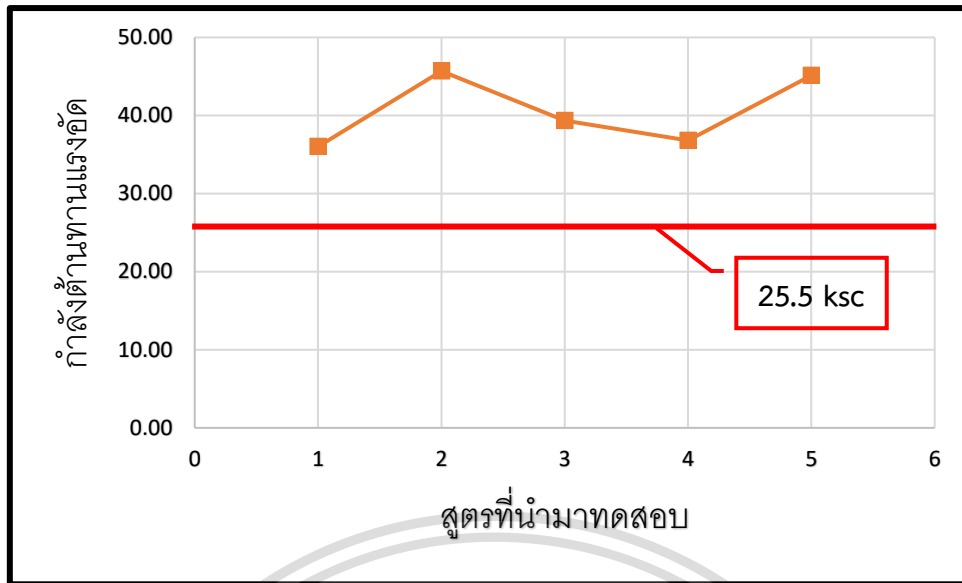


รูปที่ 4.7 ความหนาแน่นกับสูตรที่นำมาทดสอบ เทียบกับ มอก. 2601 - 2556

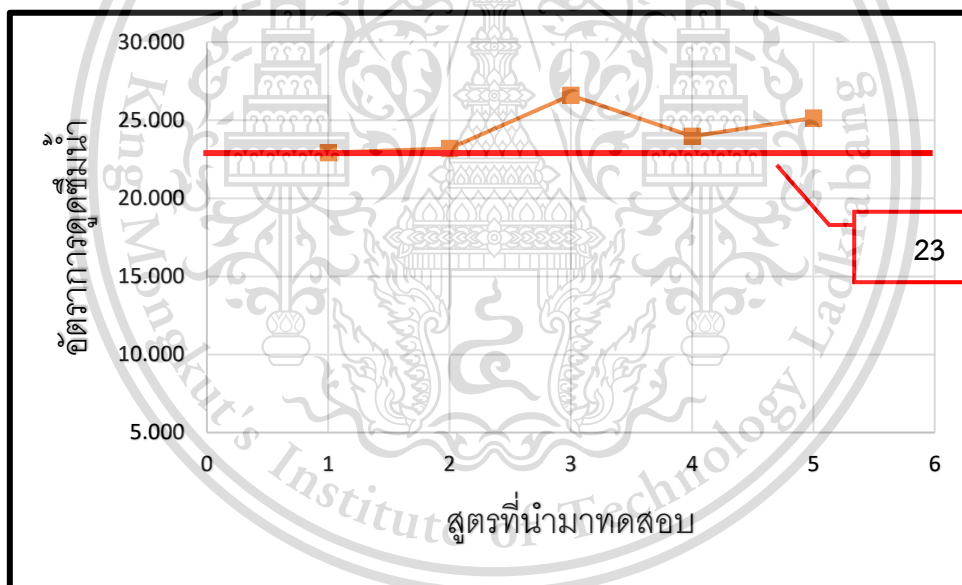
เอกสารนี้เป็นเอกสารที่สงวนลิขสิทธิ์ไว้เพื่อการศึกษาค้นคว้าเท่านั้น มิใช่เพื่อเผยแพร่โดยไม่ได้รับอนุญาต
ไม่ว่ากรณีใดๆทั้งสิ้น อีกทั้งห้ามมิให้ดัดแปลงเนื้อหา และต้องอ้างอิงถึงเจ้าของเอกสารทุกครั้งที่มีการนำไปใช้

This material is reserved for educational use only, not allowed for commercial use.

Forbidden to modify the content, and cite the document when use.



รูปที่ 4.8 กําลังต้านทานแรงอัดกับสูตรที่นำมาทดสอบ เทียบกับ มอก. 2601 – 2556



รูปที่ 4.9 อัตราการดูดซึมน้ำกับสูตรที่นำมาทดสอบ เทียบกับ มอก. 2601 – 2556

จากการทดสอบหาอัตราส่วนผสมที่เหมาะสมของขุยมะพร้าวได้สูตรที่ผ่านเกณฑ์มาตรฐานคือใช้ขุยมะพร้าว 20 % ค่าที่ได้คือ ความหนาแน่น = 1144 kg/m^3 กําลังรับแรงอัด = 36.02 ksc อัตราการดูดซึมน้ำ = 22.92 %

เอกสารนี้เป็นเอกสารที่สงวนไว้สำหรับการใช้งานเพื่อการศึกษาเท่านั้น ไม่อนุญาตให้นำไปใช้ประโยชน์ด้านการค้า ไม่ว่าจะกรณีใดๆทั้งสิ้น อีกทั้งห้ามมิให้ดัดแปลงเนื้อหา และต้องอ้างอิงถึงเจ้าของเอกสารทุกครั้งที่มีการนำไปใช้

This material is reserved for educational use only, not allowed for commercial use.

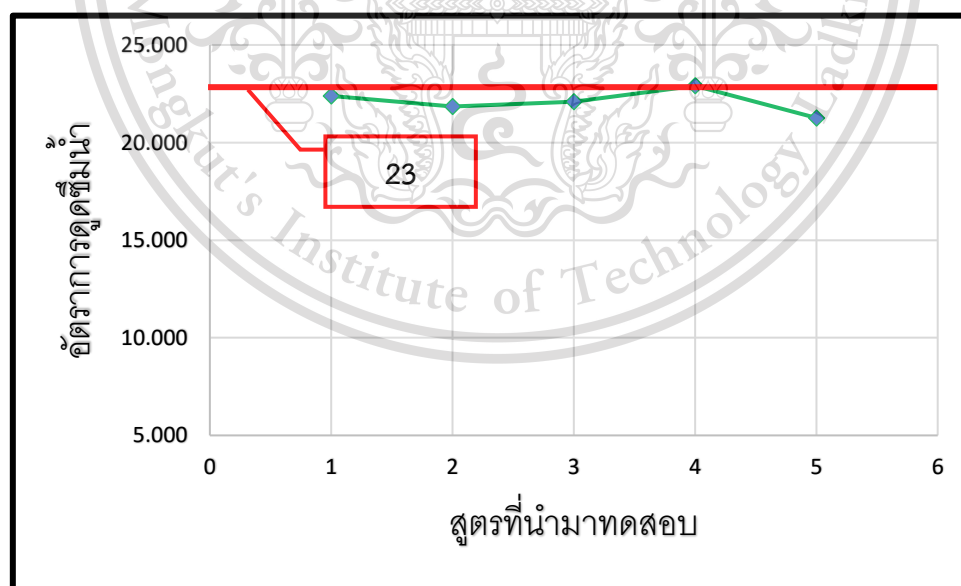
Forbidden to modify the content, and cite the document when use.

4.4 การผลิตรูปทรงจริงตามมาตรฐานและทดสอบตามมาตรฐานอุตสาหกรรม

เมื่อนำอัตราส่วนผสมที่เหมาะสมของขุยมะพร้าวได้สูตรที่ผ่านเกณฑ์มาตรฐานคือใช้ขุยมะพร้าว 20 % ค่าที่ได้คือ ความหนาแน่น = 1144 kg/m^3 กำลังรับแรงอัด = 36.02 ksc อัตราการดูดซึมน้ำ = 22.92 % มาทำการขึ้นรูปมาตรฐานจริงขนาด $20 \times 60 \times 7.5$ ซม. 5 ก้อน เพื่อเปรียบเทียบผลการทดลองที่ได้จากคอนกรีตมวลเบาขนาด $15 \times 15 \times 15$ ซม. ได้ผลการทดลองดังนี้

ตารางที่ 4.6 แสดงผลการทดสอบคอนกรีตมวลเบาขนาด $20 \times 60 \times 7.5$ ซม.

no	น้ำหนักหลังอบ kg	น้ำหนักก่อนอบ kg	ความหนาแน่น(kg/m^3)	อัตราการดูดซึมน้ำ (%)
1	10.79	13.20	1198	22.392
2	10.76	13.11	1196	21.840
3	10.73	13.10	1192	22.088
4	10.74	13.20	1193	22.905
5	10.77	13.06	1197	21.263
C12			< 1200	< 23

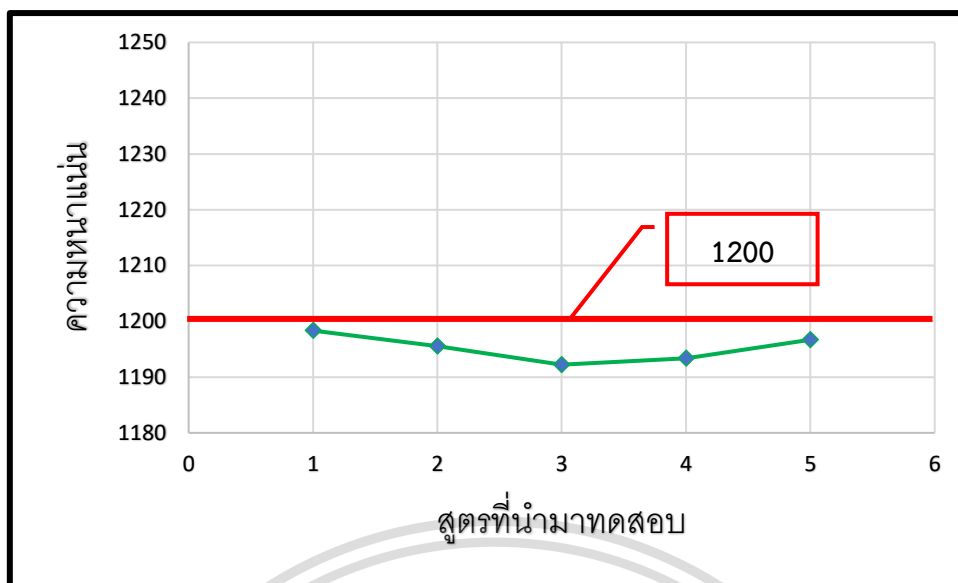


รูปที่ 4.10 อัตราการดูดซึมน้ำกับสูตรที่นำมาทดสอบ เทียบกับ มอก. 2601 – 2556

เอกสารนี้เป็นเอกสารที่สงวนไว้สำหรับการใช้งานเพื่อการศึกษาเท่านั้น ไม่อนุญาตให้นำไปใช้ประโยชน์ด้านการค้า
ไม่ว่ากรณีใดๆทั้งสิ้น อีกทั้งห้ามมิให้ดัดแปลงเนื้อหา และต้องอ้างอิงถึงเจ้าของเอกสารทุกครั้งที่มีการนำไปใช้

This material is reserved for educational use only, not allowed for commercial use.

Forbidden to modify the content, and cite the document when use.



รูปที่ 4. 11 ความหนาแน่นกับสูตรที่นำมาทดสอบ เทียบกับ มอก. 2601 – 2556

จากผลการทดสอบพบว่าขนาดของคอนกรีตมวลเบาตามมาตรฐานขนาด $20 \times 60 \times 7.5$ ซม. มีผลการทดสอบความหนาแน่น และอัตราการดูดซึมน้ำที่มากกว่าและน้อยกว่าเล็กน้อย คอนกรีตมวลเบาขนาด $15 \times 15 \times 15$ ซม. อันเป็นผลมาจากโฟมที่แตก แต่เมื่อเทียบกับมาตรฐาน มอก. 2601 – 2556 ค่าที่ได้ผ่านมาตรฐาน

4.5 ทดสอบความสามารถในการลดความร้อน ค่าการนำความร้อน และอัตราการหดตัว

4.5.1 ทดสอบความสามารถในการลดความร้อน

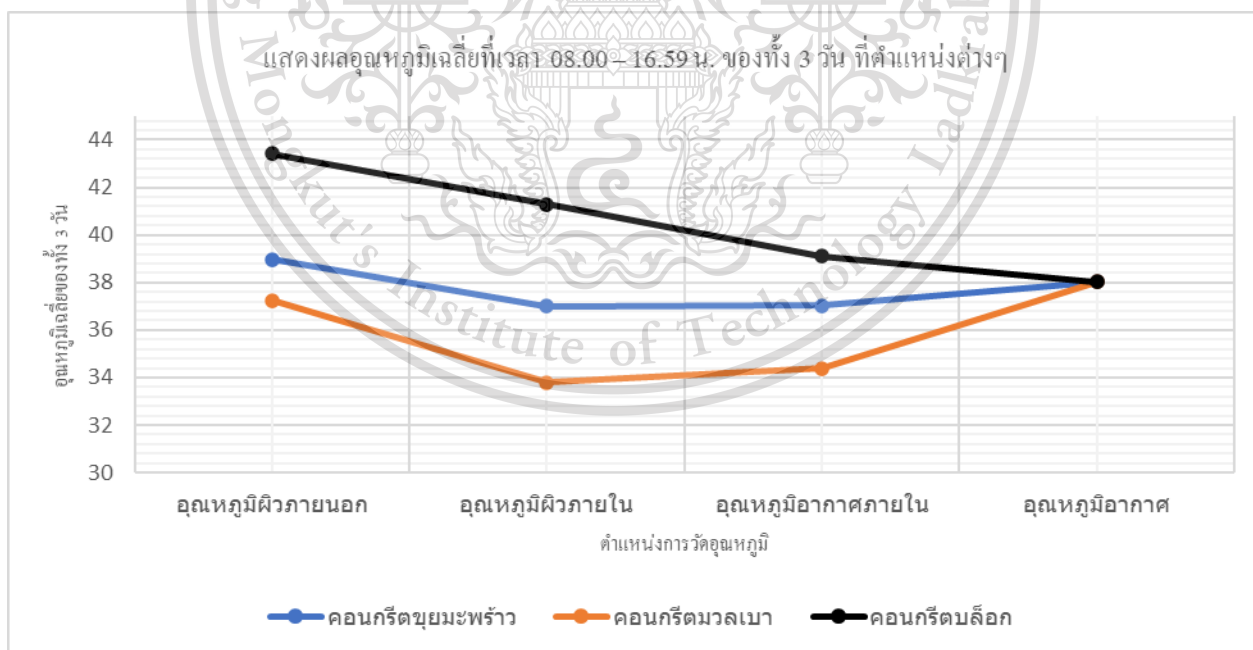
การทดสอบความสามารถในการลดความร้อนของคอนกรีตมวลเบาในระบบเซลล์ลูลาร์ จากขุยมะพร้าวในสูตร CLC เปรียบเทียบกับคอนกรีตมวลเบาในระบบ เซลล์ลูลาร์ที่ขายทั่วไปในท้องตลาด และคอนกรีตบล็อก ทำการทดสอบโดยใช้กล่องโฟมโพลีสไตรีน ความหนาแน่น 1 ปอนด์ /ลบ.ฟุต ความหนา 3 นิ้ว กำหนดให้ผนังกล่องด้านที่ทดสอบหัน ไปทางทิศใต้ (ตามการโคจรของดวงอาทิตย์ในเดือนที่ทดสอบ) จำนวน 3 กล่อง กล่องทดสอบ 1 กล่อง จะประกอบด้วยก้อนคอนกรีต จำนวนกล่องละ 3 ก้อน โดยกล่องที่ 1 เป็นกล่องทดสอบของคอนกรีตมวลเบาในระบบเซลล์ลูลาร์จากขุยมะพร้าว มีความหนาแน่นเฉลี่ยที่ได้จากการทดสอบทั้งหมด 5 ก้อนคือ 1195 กก./ลบ.ม. กล่องที่ 2 เป็นกล่องคอนกรีตมวลเบาในระบบเซลล์ลูลาร์ที่ขายทั่วไปตามท้องตลาด มีความหนาแน่น เฉลี่ยที่ 500 กก./ลบ.ม. และกล่องที่ 3 เป็นกล่องทดสอบของคอนกรีตบล็อก จากร้านไต้หวัน มีความหนาแน่นเฉลี่ยที่ 905.08 กก./ลบ.ม. โดยวัดอุณหภูมิในกล่องทดลองทั้งหมด 3 จุดภายในกล่อง และ 1 จุด เป็นอุณหภูมิอากาศ

This material is reserved for educational use only, not allowed for commercial use.

Forbidden to modify the content, and cite the document when use.

จากการทดสอบความสามารถในการกระจายความร้อนที่ได้จากการนำตัวอย่างที่ได้จากการหาสูตรที่เหมาะสมที่สุดคือสูตร W/C ratio = 0.65 S/C ratio = 1 โฟม = 120% ขุยมะพร้าว = 20 % เมื่อนำมาเทียบกับคอนกรีตมวลเบาและคอนกรีตบล็อกที่มีจำหน่ายทั่วไป ทดสอบโดยกล่องทดลองสี่เหลี่ยมติดตั้ง Data Logger (ยี่ห้อ TDS) และสายเคเบิล Thermocouple Type - T รวบรวมข้อมูลการวัดอุณหภูมิในจุดต่างๆคือ ผิวภายนอก ผิวภายใน และกลางกล่อง การวัดข้อมูล จะถูกแบ่งออกเป็น 2 ช่วง คือ ช่วงรับแสงแดด และช่วงไม่รับแสงแดด

การทดสอบและวิเคราะห์ผลของการทดสอบความสามารถในการลดความร้อน ในวันที่ 4 - 7 กรกฎาคม 2564 (3 วัน) ช่วงวันที่ 4 เมษายน 2564 ตั้งแต่เวลา 18.00 - 16.48 น. ของวันที่ 7 เมษายน 2564 สภาพภูมิอากาศทั่วไปมีเมฆมากบางช่วง ในช่วงเวลากลางวัน (รับแสงแดด) มีอุณหภูมิเฉลี่ย ที่ได้จากการติดตั้ง Data Logger (ยี่ห้อ TDS) และสายเคเบิล Thermocouple Type - T รวบรวมข้อมูลการวัดอุณหภูมิ ได้ 38 องศาเซลเซียส โดยมีอุณหภูมิสูงสุดคือ 43.60 องศาเซลเซียสโดยผลการวิเคราะห์การทดสอบความสามารถในการลดความร้อน จะแบ่งเป็น 2 กรณี คือ ผลของอุณหภูมิสูงสุดของแต่ละวัน และอุณหภูมิเฉลี่ยทั้ง 3 วัน โดยจะแบ่งเป็นช่วงที่กล่องทดลองสี่เหลี่ยมเริ่มรับแสงแดด ที่เวลา 08.00 – 16.59 น. กับช่วงเวลาที่กล่องทดลองสี่เหลี่ยมไม่ได้รับแสงแดด ที่เวลา 17.00 – 07.59 น.

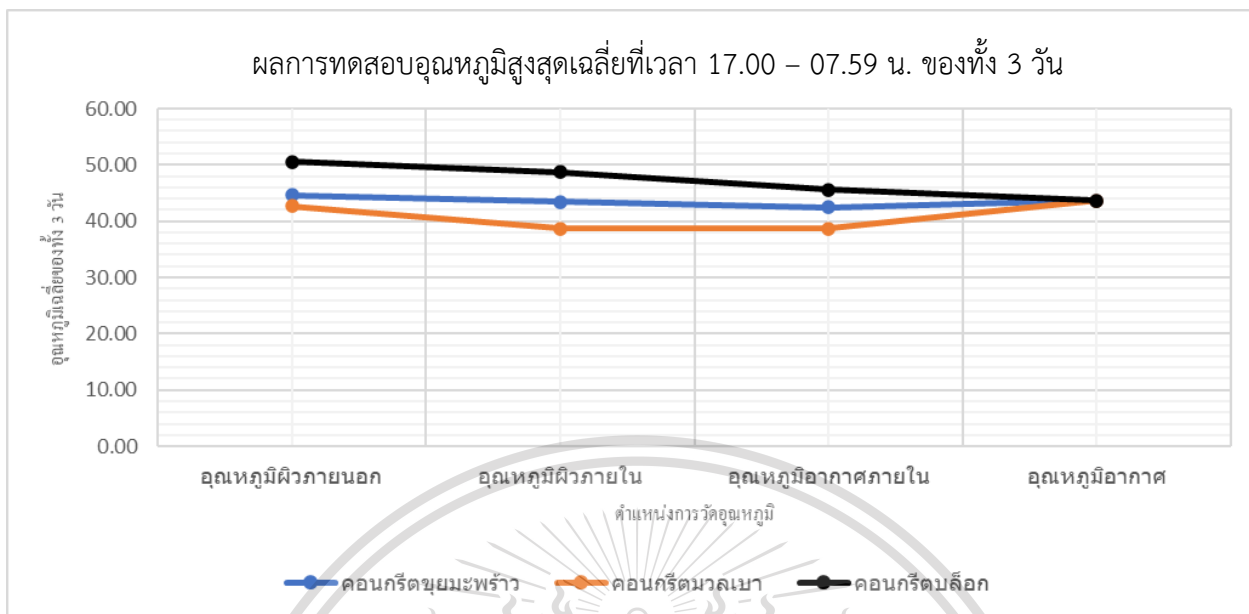


รูปที่ 4.12 แสดงผลการทดสอบอุณหภูมิเฉลี่ยที่เวลา 08.00 – 16.59 น. ของทั้ง 3 วัน ที่ตำแหน่งต่างๆ

เอกสารนี้เป็นเอกสารที่สงวนไว้สำหรับการใช้งานเพื่อการศึกษาเท่านั้น ไม่อนุญาตให้นำไปใช้ประโยชน์ด้านการค้า ไม่ว่าจะกรณีใดๆทั้งสิ้น อีกทั้งห้ามมิให้ดัดแปลงเนื้อหา และต้องอ้างอิงถึงเจ้าของเอกสารทุกครั้งที่มีการนำไปใช้

This material is reserved for educational use only, not allowed for commercial use.

Forbidden to modify the content, and cite the document when use.



รูปที่ 4.13 ผลการทดสอบอุณหภูมิสูงสุดเฉลี่ยที่เวลา 17.00 – 07.59 น. ของทั้ง 3 วัน ที่ตำแหน่งต่างๆ

จากรูปที่ 4.12 แสดงผลการทดสอบอุณหภูมิเฉลี่ยที่เวลา 08.00 – 16.59 น. ของทั้ง 3 วัน ที่ตำแหน่งต่างๆ ในวันที่ 4 - 7 เมษายน 2564 พบว่าทั้ง 3 กล้องทดลองมีอุณหภูมิเฉลี่ย บริเวณผิวภายนอกกล้องทดลอง ในกล่องที่ 1, 2, 3 ที่มีอุณหภูมิ 38.98, 37.26 และ 43.42 องศาเซลเซียส ตามลำดับ อุณหภูมิผิวภายในเฉลี่ยในกล่องที่ 1, 2, 3 มีอุณหภูมิ 37.00, 33.78 และ 41.30 องศาเซลเซียส ตามลำดับ และ อุณหภูมิภายในอากาศเฉลี่ยในกล่องที่ 1, 2, 3 มีอุณหภูมิ 37.02, 34.38 และ 39.09 องศาเซลเซียส ตามลำดับ โดยมีอุณหภูมิอากาศเฉลี่ยทั้ง 3 วัน ที่ 38.02 องศาเซลเซียส โดยก่อนคอนกรีตมวลเบาระบบเซลล์ลูลาร์จากขุยมะพร้าว (กล่องที่ 1) มีอุณหภูมิสูงสุด และอุณหภูมิเฉลี่ยที่ผิวภายนอก, ผิวภายใน, และอุณหภูมิภายใน กล้องทดลอง สูงกว่าก่อนคอนกรีตมวลเบาแบบเซลล์ลูลาร์ที่ขายทั่วไปในท้องตลาด (กล่องที่ 2) แต่ยังมีน้อยกว่าคอนกรีตบล็อก (กล่องที่ 3)

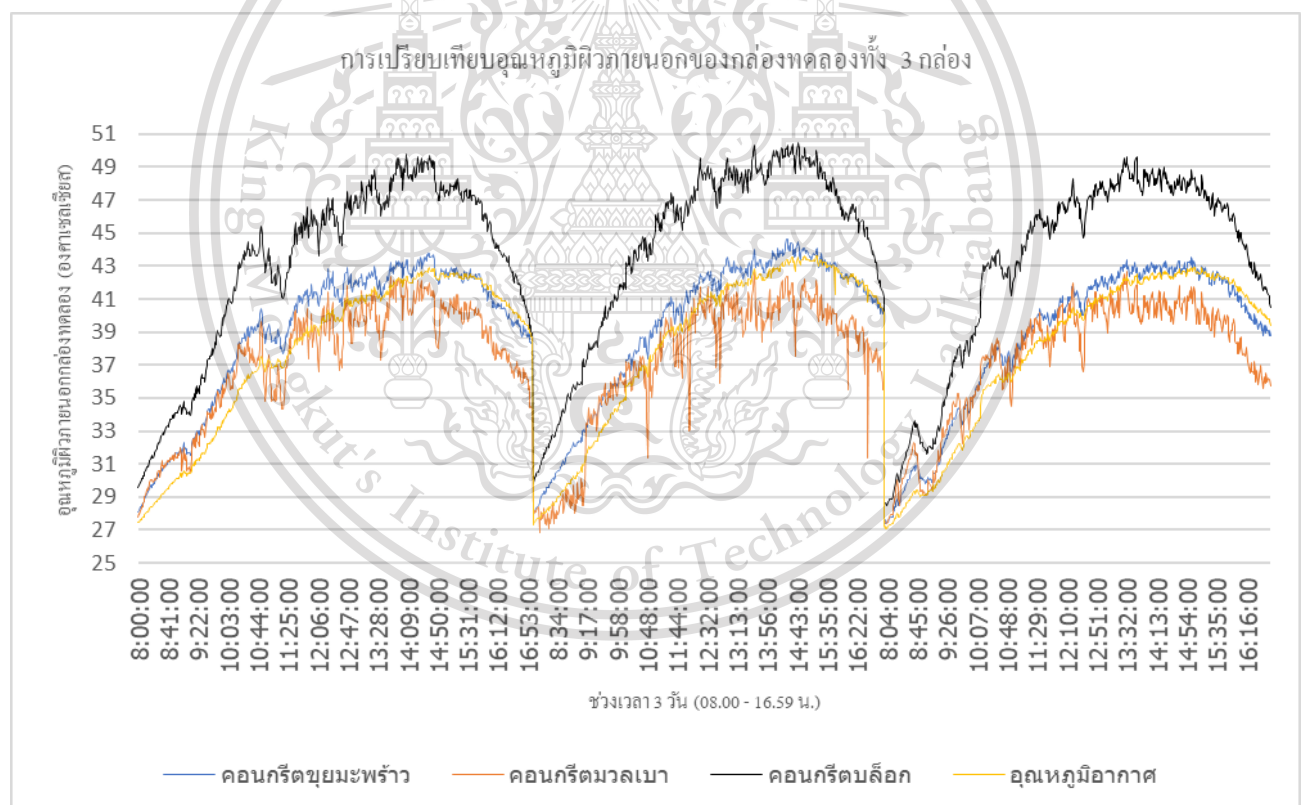
จากรูปที่ 4.13 แสดงผลการทดสอบอุณหภูมิสูงสุดเฉลี่ยที่เวลา 17.00 – 07.59 น. ของทั้ง 3 วัน ที่ตำแหน่งต่างๆ พบว่ากล่องที่ 1 มีอุณหภูมิผิวภายนอกเฉลี่ยสูงสุดที่ 44.60 องศาเซลเซียส อุณหภูมิผิวภายในเฉลี่ยสูงสุดที่ 43.40 องศาเซลเซียส และอุณหภูมิอากาศในกล่องเฉลี่ยสูงสุดที่ 42.50 องศาเซลเซียส กล่องที่ 2 มีอุณหภูมิผิวภายนอกเฉลี่ยสูงสุดที่ 42.70 อุณหภูมิผิวภายในเฉลี่ยสูงสุดที่ 38.70 องศาเซลเซียส และอุณหภูมิอากาศในกล่องเฉลี่ยสูงสุดที่ 38.70 องศาเซลเซียส และกล่องที่ 3 มีอุณหภูมิผิวภายนอกเฉลี่ยสูงสุดที่ 50.50 อุณหภูมิผิวภายในเฉลี่ยสูงสุดที่ 48.70 องศาเซลเซียส และอุณหภูมิอากาศในกล่องเฉลี่ยสูงสุดที่ 45.60 องศาเซลเซียส โดยมีอุณหภูมิอากาศเฉลี่ยสูงสุดทั้ง 3 วัน ที่ 43.60 องศาเซลเซียส โดยก่อนคอนกรีตมวลเบาแบบเซลล์ลูลาร์จากขุยมะพร้าว (กล่องที่ 1) มีอุณหภูมิสูงสุด และอุณหภูมิเฉลี่ยที่ผิวภายนอก, ผิวภายใน, และ

อุณหภูมิภายใน กล่องทดลอง สูงกว่าก่อนคอนกรีตมวลเบาระบบเซลลูลาร์ที่ขายทั่วไปในท้องตลาด (กล่องที่ 2) แต่อย่างน้อยกว่าคอนกรีตบล็อก (กล่องที่ 3)

4.5.1.1 การวิเคราะห์ผลอุณหภูมิผิวภายนอกกล่องทดลอง (ช่วงรับแสง)

การวัดอุณหภูมิผิวภายนอกกล่องทดลอง ในตำแหน่งที่ 1 ของกล่องทดลองทั้ง 3 กล่อง ในวันที่ 5 - 7 เมษายน 2564 ช่วงเวลา 08.00 – 16.59 น. ประกอบด้วยกล่องที่ 1 คอนกรีตมวล เบาระบบเซลลูลาร์จากขุยมะพร้าว กล่องที่ 2 เป็นกล่อง คอนกรีตมวลเบา ระบบเซลลูลาร์ที่มีขายทั่วไปตามท้องตลาด และกล่องที่ 3 เป็นกล่องทดสอบของ คอนกรีตบล็อก

พบว่ากล่องที่ 1 มีอุณหภูมิผิวภายนอกกล่องสูงสุดอยู่ที่ 44.60 กล่องที่ 2 มีอุณหภูมิผิวภายนอกกล่องสูงสุดอยู่ที่ 42.70 และกล่องที่ 3 มีอุณหภูมิผิวภายนอกกล่องสูงสุดอยู่ที่ 50.50 องศาเซลเซียส ตามลำดับ โดยมีอุณหภูมิผิวภายนอกกล่องเฉลี่ยทั้ง 3 วัน ในกล่องที่ 1 อยู่ที่ 38.98 องศาเซลเซียส กล่องที่ 2 อยู่ที่ 37.26 องศาเซลเซียส กล่องที่ 3 อยู่ที่ 43.42 องศาเซลเซียส

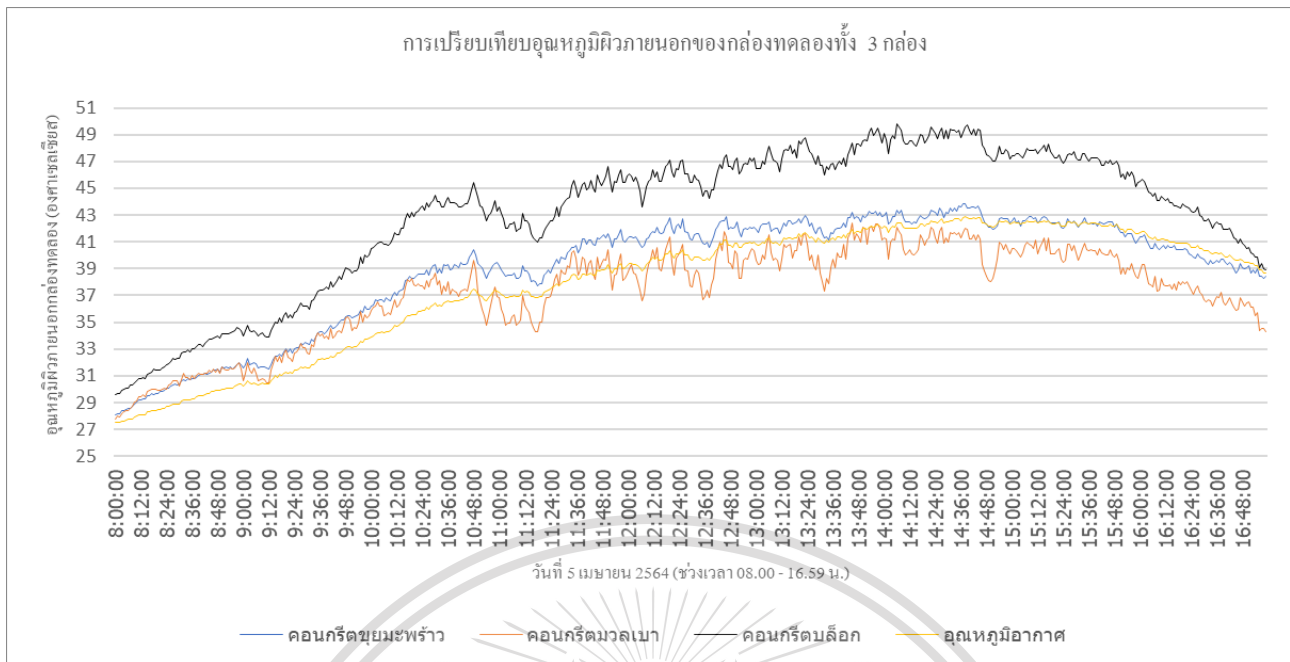


รูปที่ 4.14 อุณหภูมิผิวภายนอกของกล่องทดลองทั้ง 3 กล่อง 08.00 – 16.59 น. ของทั้ง 3 วัน

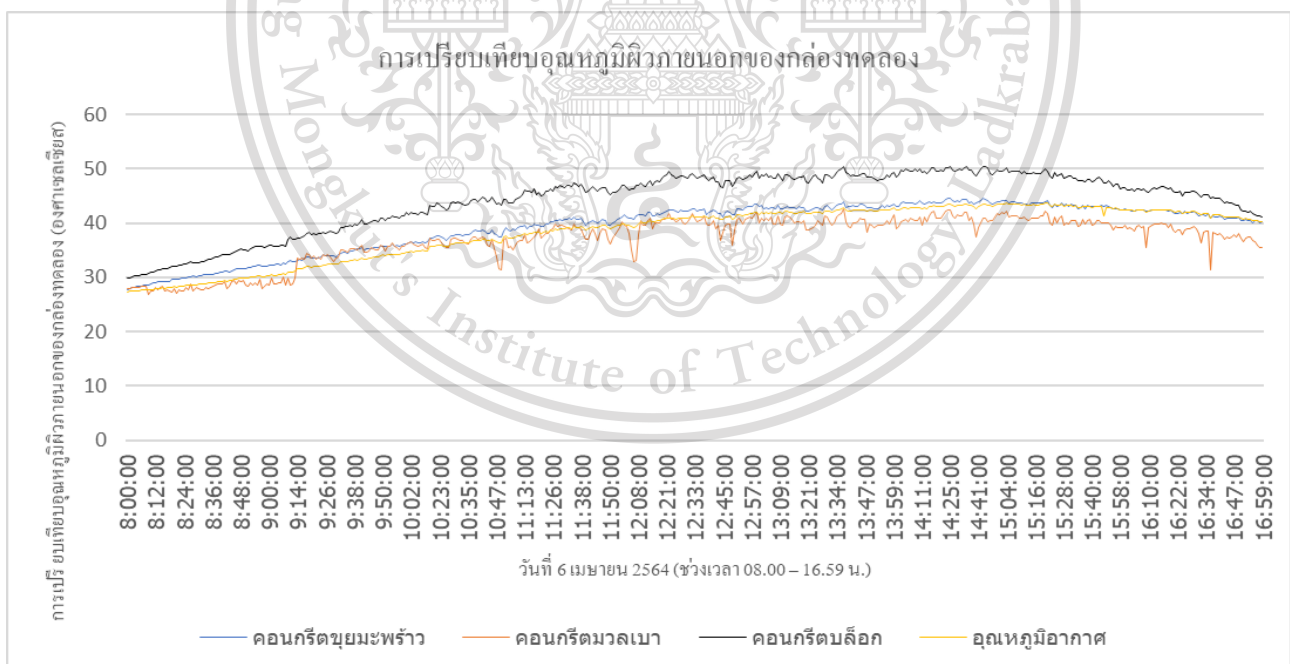
เอกสารนี้เป็นเอกสารที่สงวนไว้สำหรับการใช้งานเพื่อการศึกษาเท่านั้น ไม่อนุญาตให้นำไปใช้ประโยชน์ด้านการค้า
ไม่ว่ากรณีใดๆทั้งสิ้น อีกทั้งห้ามมิให้ตัดแปลงเนื้อหา และต้องอ้างอิงถึงเจ้าของเอกสารทุกครั้งที่มีการนำไปใช้

This material is reserved for educational use only, not allowed for commercial use.

Forbidden to modify the content, and cite the document when use.



รูปที่ 4.15 อุณหภูมิผิวภายนอกทั้ง 3 กล่องกับอุณหภูมิอากาศเมื่อ 5/04/64 08.00 – 16.59 น.

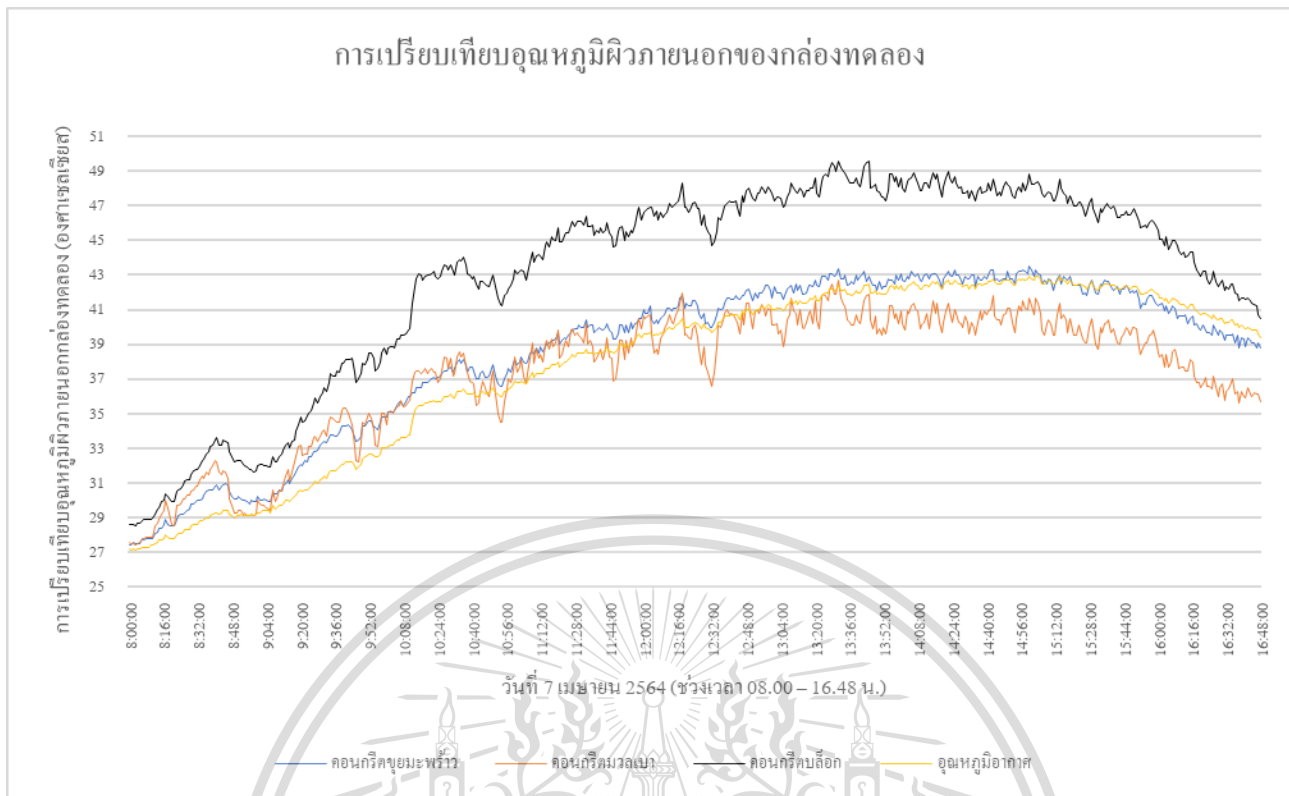


รูปที่ 4.16 อุณหภูมิผิวภายนอกทั้ง 3 กล่องกับอุณหภูมิอากาศเมื่อ 6/04/64 08.00 – 16.59 น.

เอกสารนี้เป็นเอกสารที่สงวนไว้สำหรับการใช้งานเพื่อการศึกษาเท่านั้น ไม่อนุญาตให้นำไปใช้ประโยชน์ด้านการค้า
ไม่ว่ากรณีใดๆทั้งสิ้น อีกทั้งห้ามมิให้ดัดแปลงเนื้อหา และต้องอ้างอิงถึงเจ้าของเอกสารทุกครั้งที่มีการนำไปใช้

This material is reserved for educational use only, not allowed for commercial use.

Forbidden to modify the content, and cite the document when use.



รูปที่ 4.17 อุณหภูมิผิวภายนอกทั้ง 3 กล่องกับอุณหภูมิอากาศเมื่อ 7/04/64 08.00 – 16.48 น.

4.5.1.2 การวิเคราะห์ผลอุณหภูมิผิวภายในกล่องทดลอง (ช่วงรับแสง)

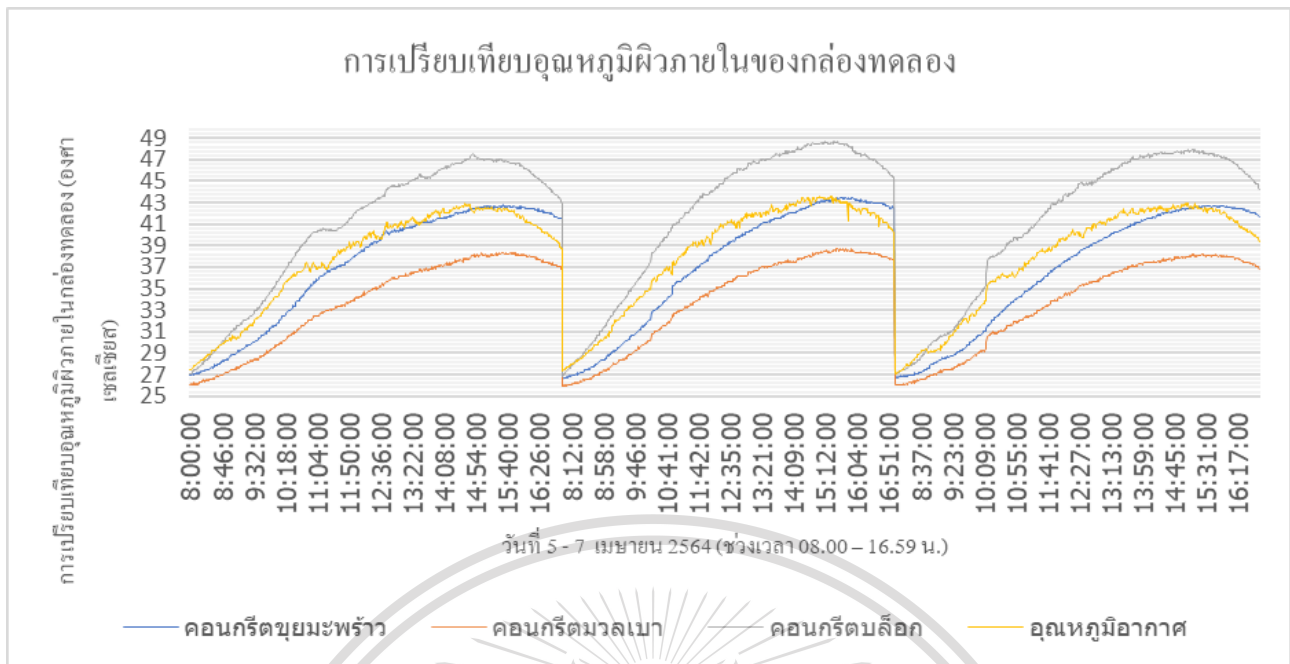
การวัดอุณหภูมิผิวภายในกล่องทดลอง ในตำแหน่งที่ 2 ของกล่องทดลองทั้ง 3 กล่อง ในวันที่ 5 - 7 เมษายน 2564 ช่วงเวลา 08.00 – 16.59 น. ประกอบด้วยกล่องที่ 1 คอนกรีตมวลเบา ระบบเซลล์ลูลาร์จากขุยมะพร้าว กล่องที่ 2 เป็นกล่อง คอนกรีตมวลเบา ระบบเซลล์ลูลาร์ที่มีชายทั่วไปตามท้องตลาด และกล่องที่ 3 เป็นกล่องทดสอบของ คอนกรีตบล็อก

พบว่ากล่องที่ 1 มีอุณหภูมิผิวภายในกล่องสูงสุดอยู่ที่ 43.40 กล่องที่ 2 มีอุณหภูมิผิวภายในกล่องสูงสุดอยู่ที่ 38.70 และกล่องที่ 3 มีอุณหภูมิผิวภายในกล่องสูงสุดอยู่ที่ 48.70 องศาเซลเซียส ตามลำดับ โดยมีอุณหภูมิผิวภายในกล่องเฉลี่ยทั้ง 3 วัน ในกล่องที่ 1 อยู่ที่ 37.00 องศาเซลเซียส กล่องที่ 2 อยู่ที่ 33.78 องศาเซลเซียส กล่องที่ 3 อยู่ที่ 41.30 องศาเซลเซียส

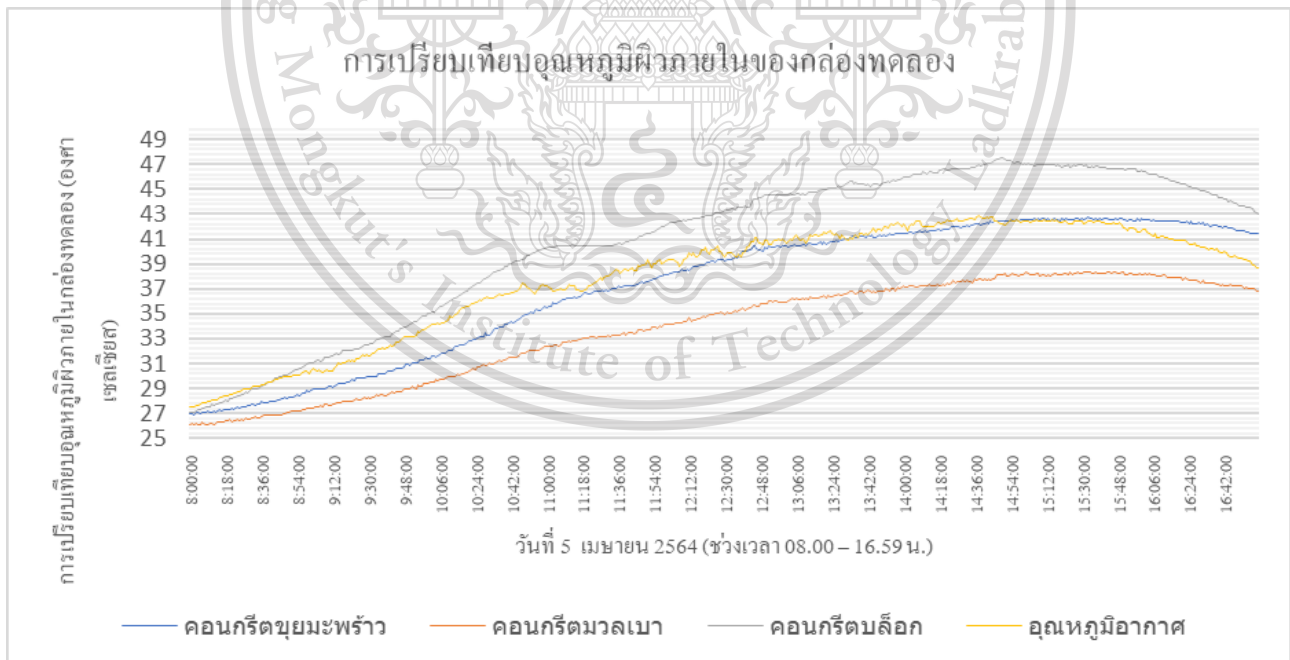
เอกสารนี้เป็นเอกสารที่สงวนไว้สำหรับการใช้งานเพื่อการศึกษาเท่านั้น ไม่อนุญาตให้นำไปใช้ประโยชน์ด้านการค้า
ไม่ว่ากรณีใดๆทั้งสิ้น อีกทั้งห้ามมิให้ดัดแปลงเนื้อหา และต้องอ้างอิงถึงเจ้าของเอกสารทุกครั้งที่มีการนำไปใช้

This material is reserved for educational use only, not allowed for commercial use.

Forbidden to modify the content, and cite the document when use.



รูปที่ 4.18 อุณหภูมิผิวภายในทั้ง 3 กล่อง 08.00 – 16.59 น. ของทั้ง 3 วัน ที่ตำแหน่งต่างๆ

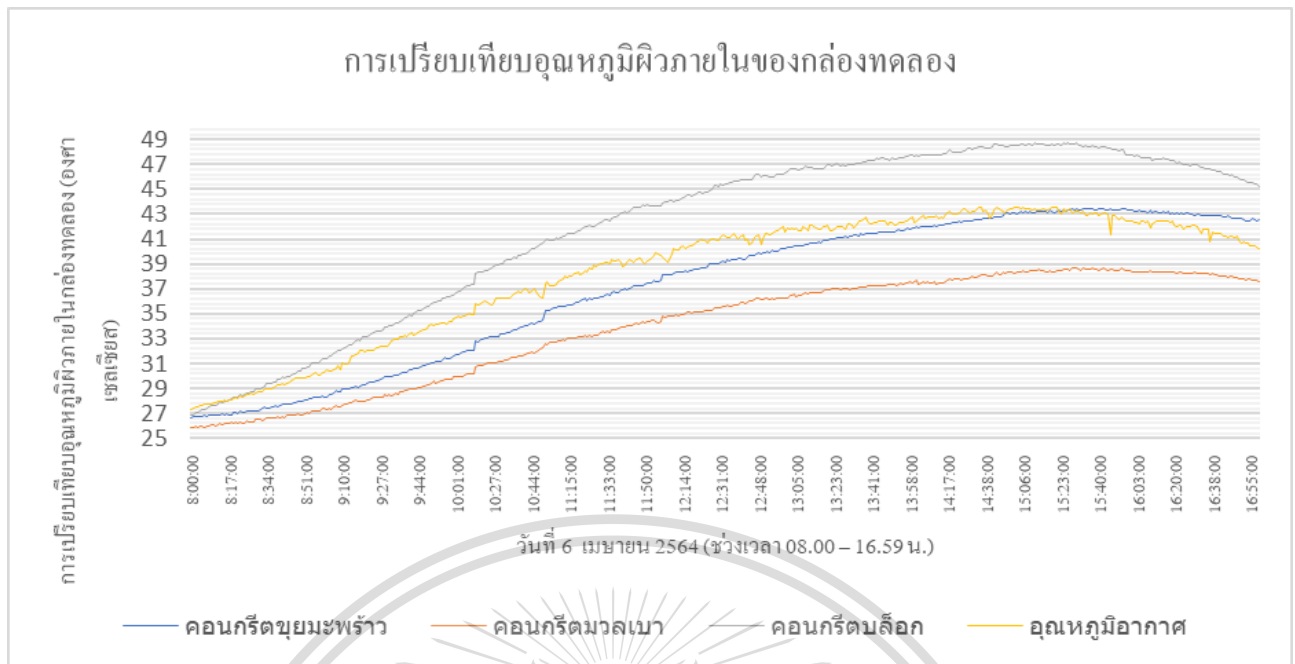


รูปที่ 4.19 อุณหภูมิผิวภายในทั้ง 3 กล่องกับอุณหภูมิอากาศเมื่อ 5/04/64 08.00 – 16.59 น.

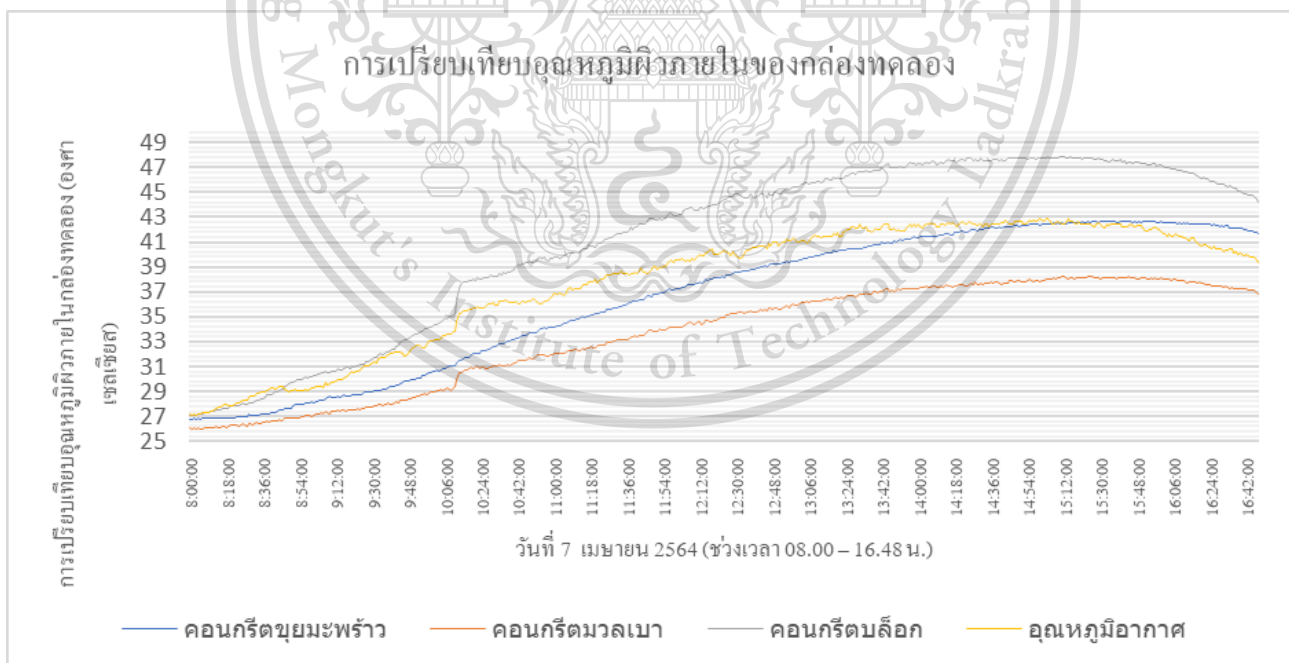
เอกสารนี้เป็นเอกสารที่สงวนไว้สำหรับการใช้งานเพื่อการศึกษาเท่านั้น ไม่อนุญาตให้นำไปใช้ประโยชน์ด้านการค้า
ไม่ว่ากรณีใดๆทั้งสิ้น อีกทั้งห้ามมิให้ดัดแปลงเนื้อหา และต้องอ้างอิงถึงเจ้าของเอกสารทุกครั้งที่มีการนำไปใช้

This material is reserved for educational use only, not allowed for commercial use.

Forbidden to modify the content, and cite the document when use.



รูปที่ 4.20 อุณหภูมิผิวภายในทั้ง 3 กล่องกับอุณหภูมิอากาศเมื่อ 6/04/64 08.00 – 16.59 น.



รูปที่ 4.21 อุณหภูมิผิวภายในทั้ง 3 กล่องกับอุณหภูมิอากาศเมื่อ 7/04/64 08.00 – 16.48 น.

เอกสารนี้เป็นเอกสารที่สงวนไว้สำหรับการใช้งานเพื่อการศึกษาเท่านั้น ไม่อนุญาตให้นำไปใช้ประโยชน์ด้านการค้า
ไม่ว่ากรณีใดๆทั้งสิ้น อีกทั้งห้ามมิให้ดัดแปลงเนื้อหา และต้องอ้างอิงถึงเจ้าของเอกสารทุกครั้งที่มีการนำไปใช้

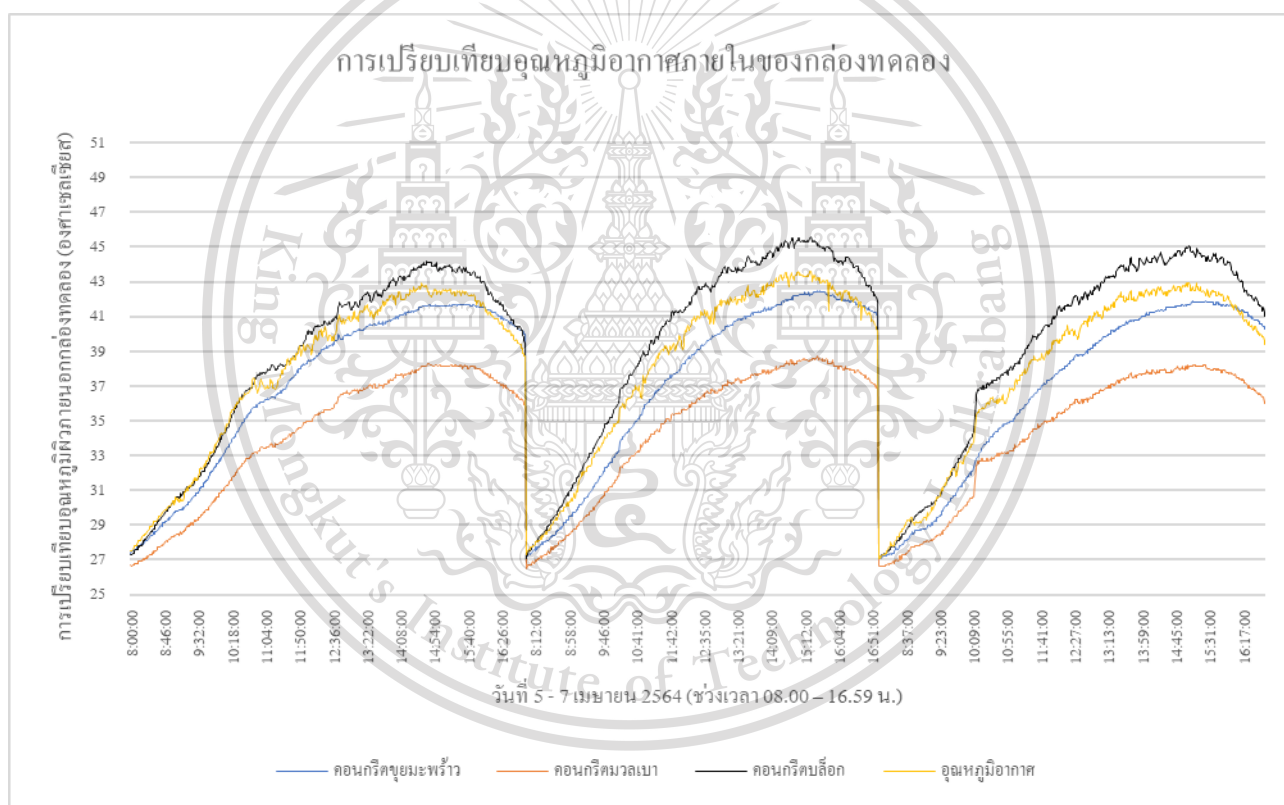
This material is reserved for educational use only, not allowed for commercial use.

Forbidden to modify the content, and cite the document when use.

4.5.1.3 การวิเคราะห์ผลอุณหภูมิอากาศภายในกล่องทดลอง (ช่วงรับแสง)

การวัดอุณหภูมิอากาศภายในกล่องทดลอง ในตำแหน่งที่ 3 ของกล่องทดลองทั้ง 3 กล่อง ในวันที่ 5 - 7 เมษายน 2564 ช่วงเวลา 08.00 – 16.59 น. ประกอบด้วยกล่องที่ 1 คอนกรีตมวลเบา ระบบเซลล์ลูลาร์ จากขุยมะพร้าว กล่องที่ 2 เป็นกล่อง คอนกรีตมวลเบา ระบบเซลล์ลูลาร์ที่มีชายทั่วไปตามท้องตลาด และกล่องที่ 3 เป็นกล่องทดสอบของ คอนกรีตบล็อก

พบว่ากล่องที่ 1 มีอุณหภูมิอากาศภายในกล่องสูงสุดอยู่ที่ 42.50 กล่องที่ 2 มีอุณหภูมิอากาศภายในกล่องสูงสุดอยู่ที่ 38.70 และกล่องที่ 3 มีอุณหภูมิอากาศภายในกล่องสูงสุดอยู่ที่ 45.60 องศาเซลเซียส ตามลำดับ โดยมีอุณหภูมิอากาศภายในกล่องเฉลี่ยทั้ง 3 วัน ในกล่องที่ 1 อยู่ที่ 37.02 องศาเซลเซียส กล่องที่ 2 อยู่ที่ 34.38 องศาเซลเซียส กล่องที่ 3 อยู่ที่ 39.09 องศาเซลเซียส

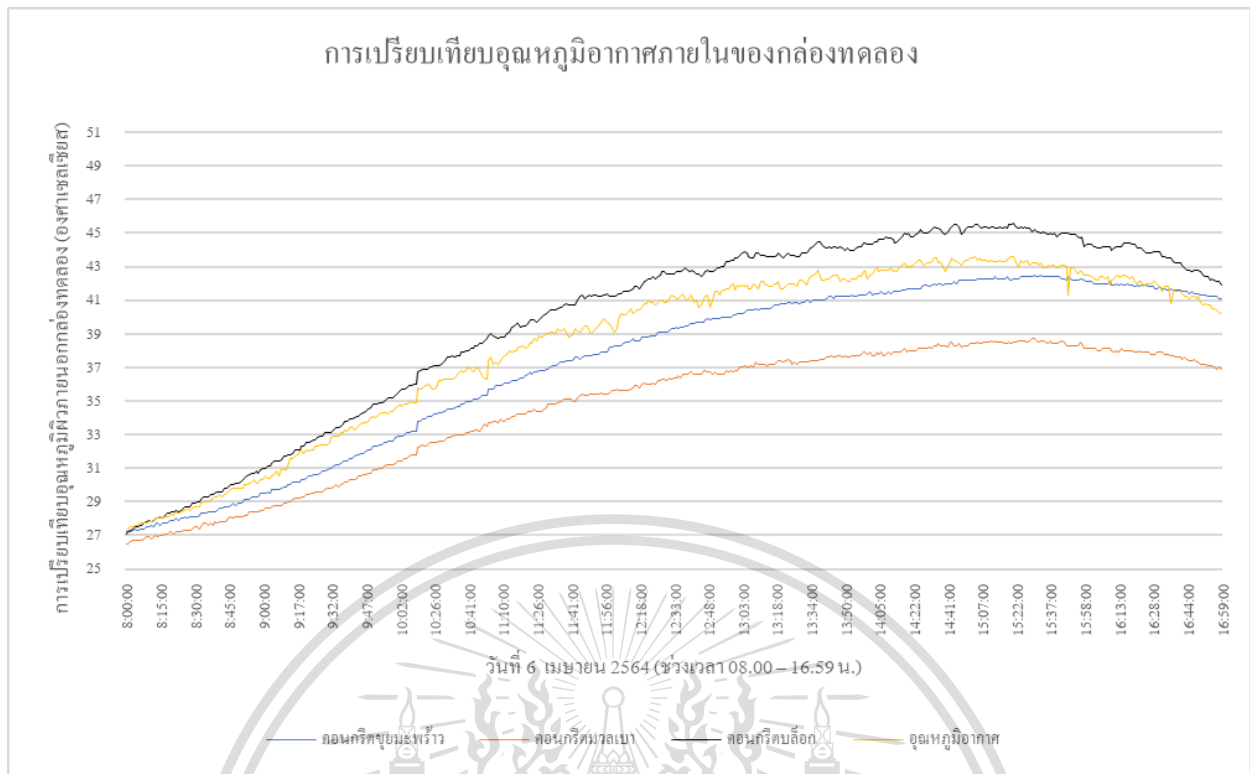


รูปที่ 4.22 อุณหภูมิอากาศภายในทั้ง 3 กล่อง 08.00 – 16.59 น. ของทั้ง 3 วัน ที่ตำแหน่งต่างๆ

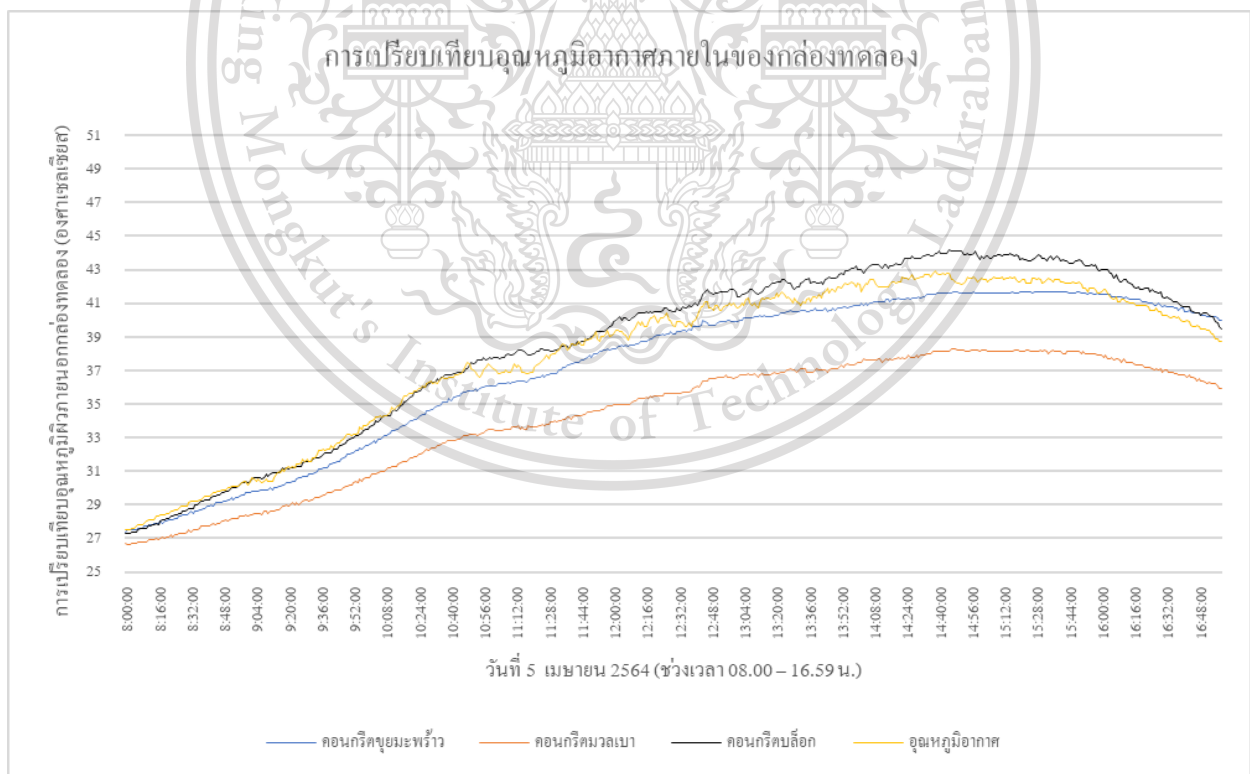
เอกสารนี้เป็นเอกสารที่สงวนไว้สำหรับการใช้งานเพื่อการศึกษาเท่านั้น ไม่อนุญาตให้นำไปใช้ประโยชน์ด้านการค้า
ไม่ว่ากรณีใดๆทั้งสิ้น อีกทั้งห้ามมิให้ดัดแปลงเนื้อหา และต้องอ้างอิงถึงเจ้าของเอกสารทุกครั้งที่มีการนำไปใช้

This material is reserved for educational use only, not allowed for commercial use.

Forbidden to modify the content, and cite the document when use.



รูปที่ 4.23 อุณหภูมิอากาศภายในทั้ง 3 กล่องกับอุณหภูมิอากาศเมื่อ 6/04/64 08.00 – 16.59น.

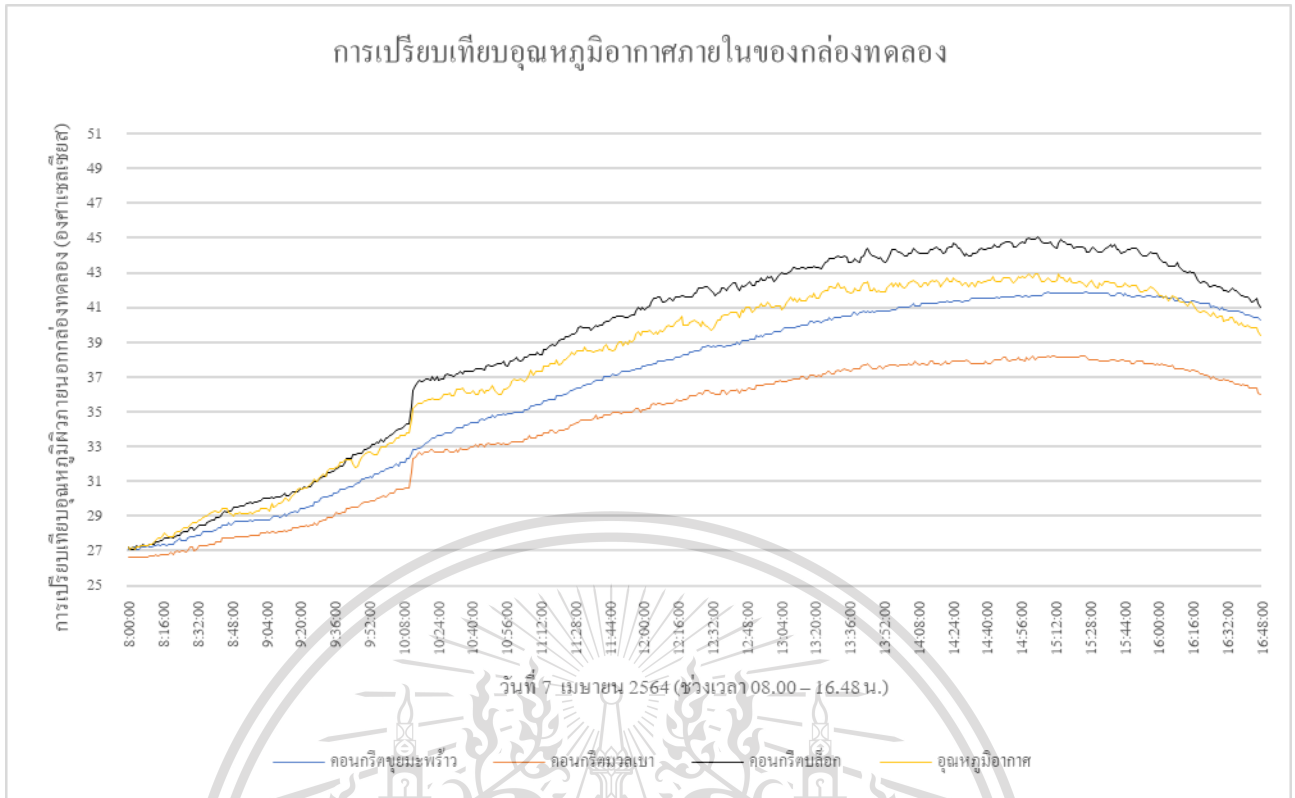


รูปที่ 4.24 อุณหภูมิอากาศภายในทั้ง 3 กล่องกับอุณหภูมิอากาศเมื่อ 5/04/64 08.00 – 16.59 น.

เอกสารนี้เป็นเอกสารทบทวนใช้สำหรับการเรียนเพื่อการศึกษาเท่านั้น ไม่นำไปเผยแพร่โดยไม่ได้รับอนุญาต
ไม่ว่ากรณีใดๆทั้งสิ้น อีกทั้งห้ามมิให้ดัดแปลงเนื้อหา และต้องอ้างอิงถึงเจ้าของเอกสารทุกครั้งที่มีการนำไปใช้

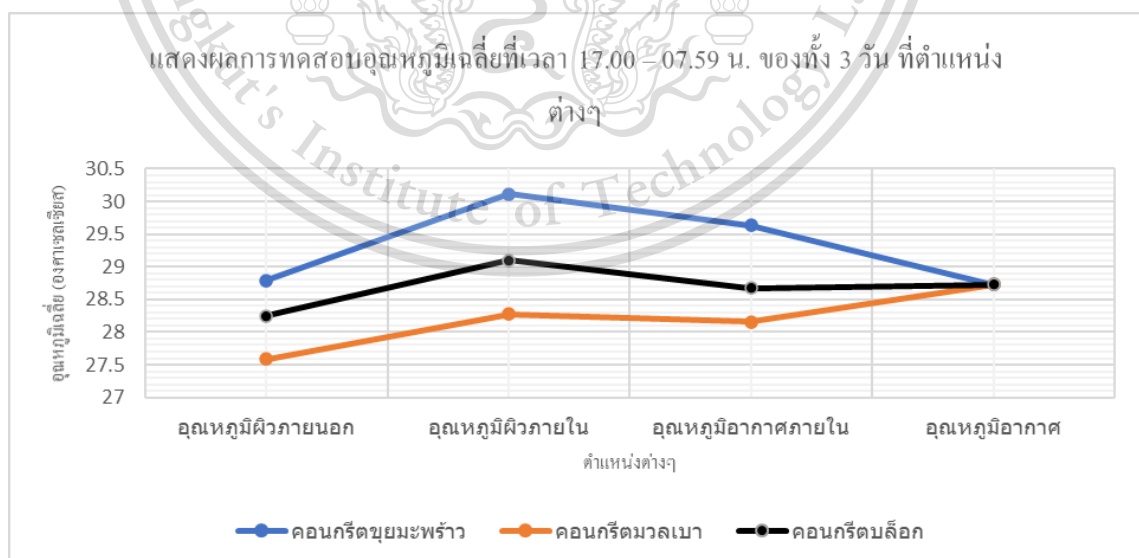
This material is reserved for educational use only, not allowed for commercial use.

Forbidden to modify the content, and cite the document when use.



รูปที่ 4.25 อุณหภูมิอากาศภายในทั้ง 3 กล่องกับอุณหภูมิอากาศเมื่อ 7/04/64 08.00 – 16.48 น.

การทดสอบและวิเคราะห์ผลของการทดสอบความสามารถในการลดความร้อน ในวันที่ 4 - 7 เมษายน 2564 (3 วัน) ช่วงวันที่ 4 เมษายน 2564 ตั้งแต่เวลา 18.00 - 16.48 น. ของวันที่ 7 เมษายน ช่วงเวลาที่กล่องทดลองสี่เหลี่ยมไม่ได้รับแสงแดด ที่เวลา 17.00 – 07.59 น. ได้ผลการทดลองดังนี้

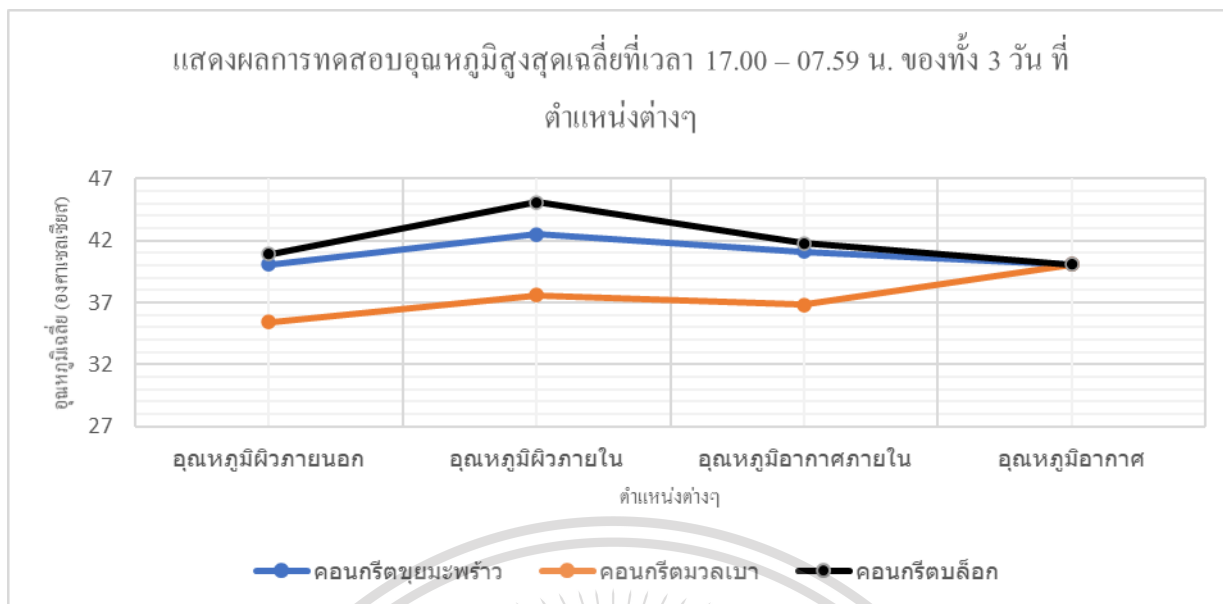


เอกสารนี้เป็นเอกสารที่สงวนลิขสิทธิ์โดยสถาบันเทคโนโลยีการเกษตรกำแพงแสน โดยมีผู้อนุญาตให้เผยแพร่เพื่อใช้ในการค้า

ไม่ว่ากรณีใดๆทั้งสิ้น อีกทั้งห้ามมิให้ดัดแปลงเนื้อหา และต้องอ้างอิงถึงเจ้าของเอกสารทุกครั้งที่มีการนำไปใช้

This material is reserved for educational use only, not allowed for commercial use.

Forbidden to modify the content, and cite the document when use.



รูปที่ 4.27 แสดงผลการทดสอบอุณหภูมิสูงสุดเฉลี่ยที่เวลา 17.00 – 07.59 น.ของทั้ง 3 วัน

จากรูปที่ 4.26 แสดงผลการทดสอบอุณหภูมิเฉลี่ยที่เวลา 00.00 – 07.59 น. และ 17.00 – 23.59 น. ของทั้ง 4 วัน ที่ตำแหน่งต่างๆ ในวันที่ 4 - 7 เมษายน 2564 พบว่าทั้ง 3 ก่อสร้างทดลองมีอุณหภูมิเฉลี่ย บริเวณ ผิวภายนอกทดลองทดลอง ในกล่องที่ 1, 2, 3 ที่อุณหภูมิ 28.79, 27.59 และ 28.25 องศาเซลเซียส ตามลำดับ อุณหภูมิผิวภายในเฉลี่ยในกล่องที่ 1, 2, 3 มีอุณหภูมิ 30.12, 28.28 และ 29.10 องศาเซลเซียส ตามลำดับ และ อุณหภูมิภายในอากาศเฉลี่ยในกล่องที่ 1, 2, 3 มีอุณหภูมิ 29.63, 28.16 และ 28.68 องศาเซลเซียส ตามลำดับ โดยมีอุณหภูมิอากาศเฉลี่ยทั้ง 4 วัน ที่ 28.73 องศาเซลเซียส โดยก่อนคอนกรีตมวลเบา ระบบ เซลลูลาร์จากขุยมะพร้าว (กล่องที่ 1) มีอุณหภูมิสูงสุด และอุณหภูมิเฉลี่ยที่ผิวภายนอก, ผิวภายใน, และ อุณหภูมิภายใน กล่องทดลอง สูงกว่าก่อนคอนกรีตมวลเบา ระบบเซลลูลาร์ที่ขายทั่วไปในท้องตลาด (กล่องที่ 2) แต่ยังมีน้อยกว่าคอนกรีตบล็อก (กล่องที่ 3)

จากรูปที่ 4.27 แสดงผลการทดสอบอุณหภูมิสูงสุดเฉลี่ยที่เวลา 00.00 – 07.59 น. และ 17.00 – 23.59 น.ของทั้ง 4 วัน ที่ตำแหน่งต่างๆ พบว่ากล่องที่ 1 มีอุณหภูมิผิวภายนอกเฉลี่ยสูงสุดที่ 40.10 องศาเซลเซียส อุณหภูมิผิวภายในเฉลี่ยสูงสุดที่ 42.50 องศาเซลเซียส และอุณหภูมิอากาศในกล่องเฉลี่ยสูงสุดที่ 41.10 องศาเซลเซียส กล่องที่ 2 มีอุณหภูมิผิวภายนอกเฉลี่ยสูงสุดที่ 35.40 องศาเซลเซียส อุณหภูมิผิวภายในเฉลี่ยสูงสุดที่ 37.60 องศาเซลเซียส และอุณหภูมิอากาศในกล่องเฉลี่ยสูงสุดที่ 36.80 องศาเซลเซียส และกล่องที่ 3 มีอุณหภูมิผิวภายนอกเฉลี่ยสูงสุดที่ 40.90 อุณหภูมิผิวภายในเฉลี่ยสูงสุดที่ 45.10 องศาเซลเซียส และ อุณหภูมิอากาศในกล่องเฉลี่ยสูงสุดที่ 41.80 องศาเซลเซียส โดยมีอุณหภูมิอากาศเฉลี่ยสูงสุดทั้ง 4 วัน ที่ 40.10

องศาเซลเซียส โดยก่อนคอนกรีตมวลเบา ระบบเซลลูลาร์จากขุยมะพร้าว (กล่องที่ 1) มีอุณหภูมิสูงสุดเฉลี่ย
ไม่ว่าของอุณหภูมิเฉลี่ยที่ผิวภายนอก, ผิวภายใน, และอุณหภูมิภายใน กล่องทดลอง สูงกว่าก่อนคอนกรีตมวลเบาไปใช้

This material is reserved for educational use only, not allowed for commercial use.

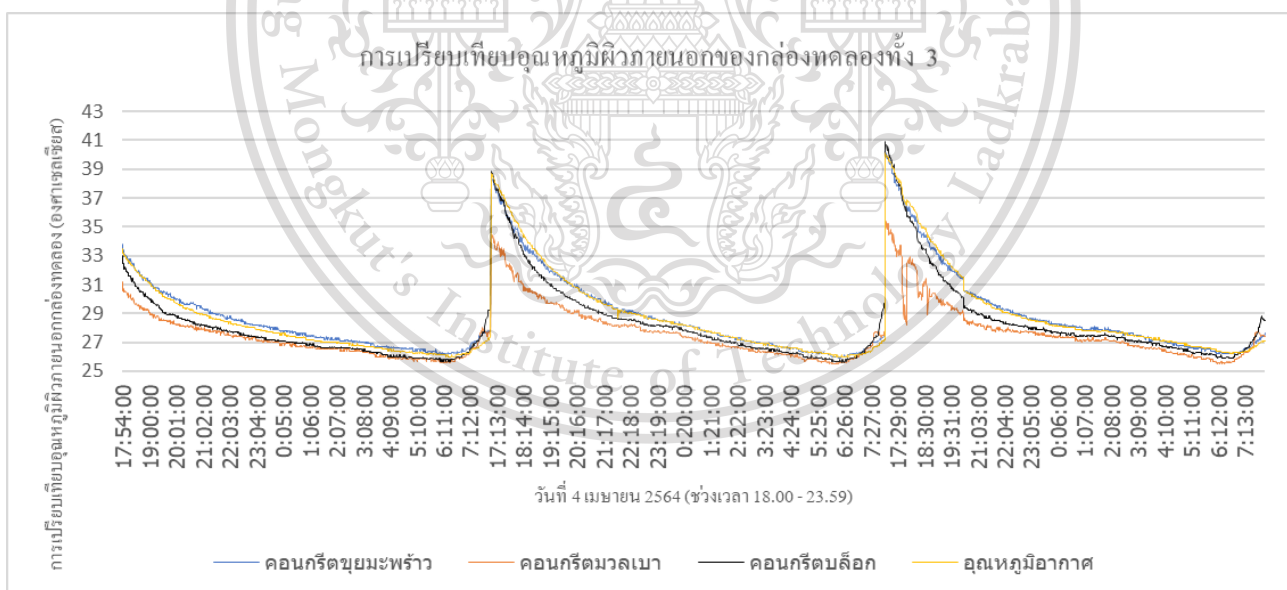
Forbidden to modify the content, and cite the document when use.

ระบบเซลล์ลาร์ที่ขายทั่วไปในท้องตลาด (กล่องที่ 2) แต่ยังมีน้อยกว่าคอนกรีตบล็อก (กล่องที่ 3) และมีอุณหภูมิเฉลี่ย ของอุณหภูมิเฉลี่ยที่ผิวภายนอก, ผิวภายใน, และอุณหภูมิภายใน กล่องทดลอง สูงกว่าก่อนคอนกรีตมวลเบา ระบบเซลล์ลาร์ที่ขายทั่วไปในท้องตลาด (กล่องที่ 2) และสูงกว่าคอนกรีตบล็อก (กล่องที่ 3)

4.5.1.4 การวิเคราะห์ผลอุณหภูมิผิวภายนอกกล่องทดลอง (ช่วงไม่รับแสง)

การวัดอุณหภูมิผิวภายนอกกล่องทดลอง ในตำแหน่งที่ 1 ของกล่องทดลองทั้ง 3 กล่อง ในวันที่ 4 - 7 เมษายน 2564 ช่วงเวลา 00.00 – 07.59 น. และ 17.00 – 23.59 น. ประกอบด้วยกล่องที่ 1 คอนกรีตมวลเบา ระบบเซลล์ลาร์จากขุยมะพร้าว กล่องที่ 2 เป็นกล่อง คอนกรีตมวลเบา ระบบเซลล์ลาร์ที่มีขายทั่วไปตามท้องตลาด และกล่องที่ 3 เป็นกล่องทดสอบของ คอนกรีตบล็อก

พบว่ากล่องที่ 1 มีอุณหภูมิผิวภายนอกกล่องสูงสุดอยู่ที่ 44.60 กล่องที่ 2 มีอุณหภูมิผิวภายนอกกล่องสูงสุดอยู่ที่ 42.70 และกล่องที่ 3 มีอุณหภูมิผิวภายนอกกล่องสูงสุดอยู่ที่ 50.50 องศาเซลเซียส ตามลำดับ โดยมีอุณหภูมิผิวภายนอกเฉลี่ยทั้ง 4 วัน ในกล่องที่ 1 อยู่ที่ 38.98 องศาเซลเซียส กล่องที่ 2 อยู่ที่ 37.26 องศาเซลเซียส กล่องที่ 3 อยู่ที่ 43.42 องศาเซลเซียส

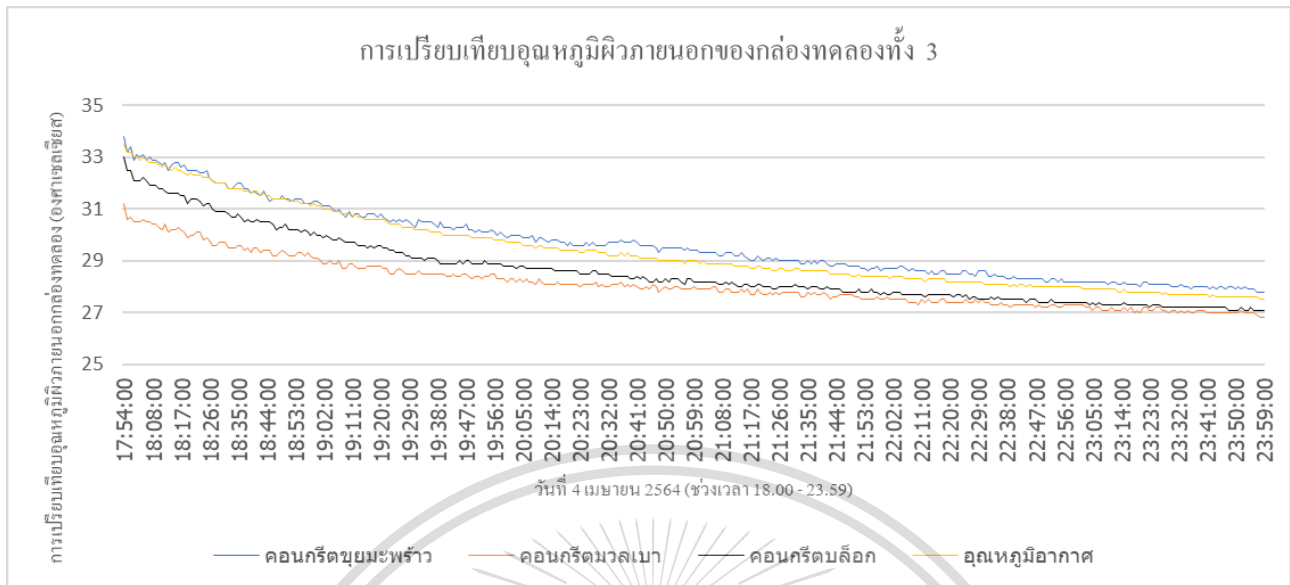


รูปที่ 4.28 อุณหภูมิอากาศภายนอกทั้ง 3 กล่อง 00.00 – 07.59 น. และ 17.00 – 23.59 น. ของทั้ง 3 วัน

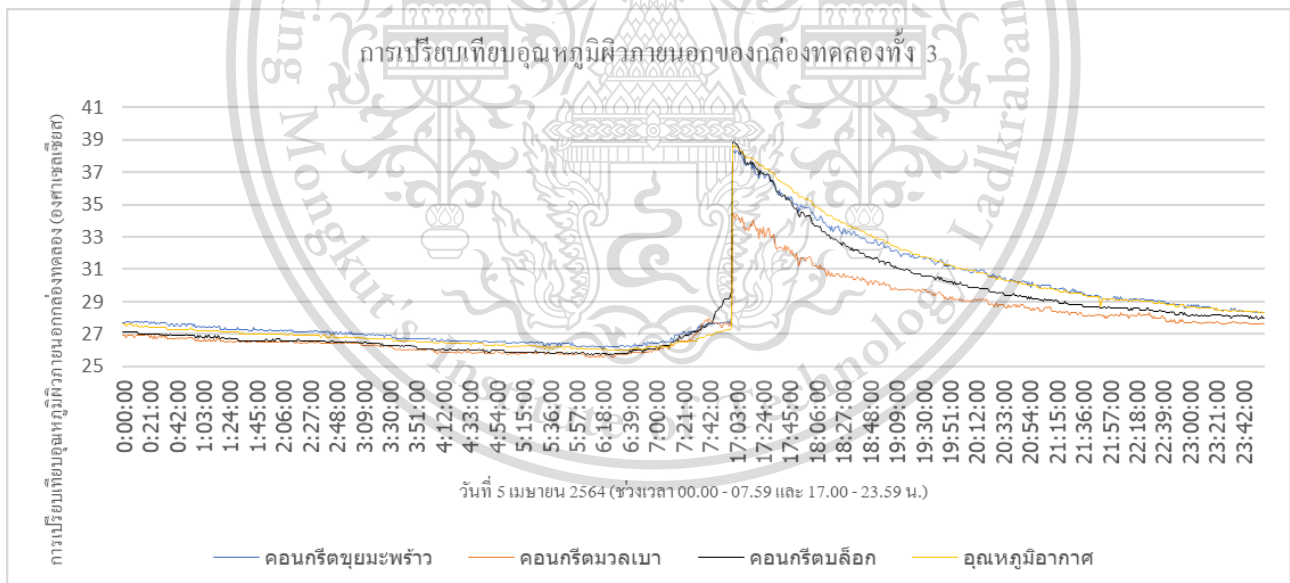
เอกสารนี้เป็นเอกสารที่สงวนไว้สำหรับการใช้งานเพื่อการศึกษาเท่านั้น ไม่อนุญาตให้นำไปใช้ประโยชน์ด้านการค้า
ไม่ว่ากรณีใดๆทั้งสิ้น อีกทั้งห้ามมิให้ตัดแปลงเนื้อหา และต้องอ้างอิงถึงเจ้าของเอกสารทุกครั้งที่มีการนำไปใช้

This material is reserved for educational use only, not allowed for commercial use.

Forbidden to modify the content, and cite the document when use.



รูปที่ 4.29 อุณหภูมิอากาศภายนอกทั้ง 3 กล่องกับอุณหภูมิอากาศ 4/04/64 18.00 – 23.59 น.

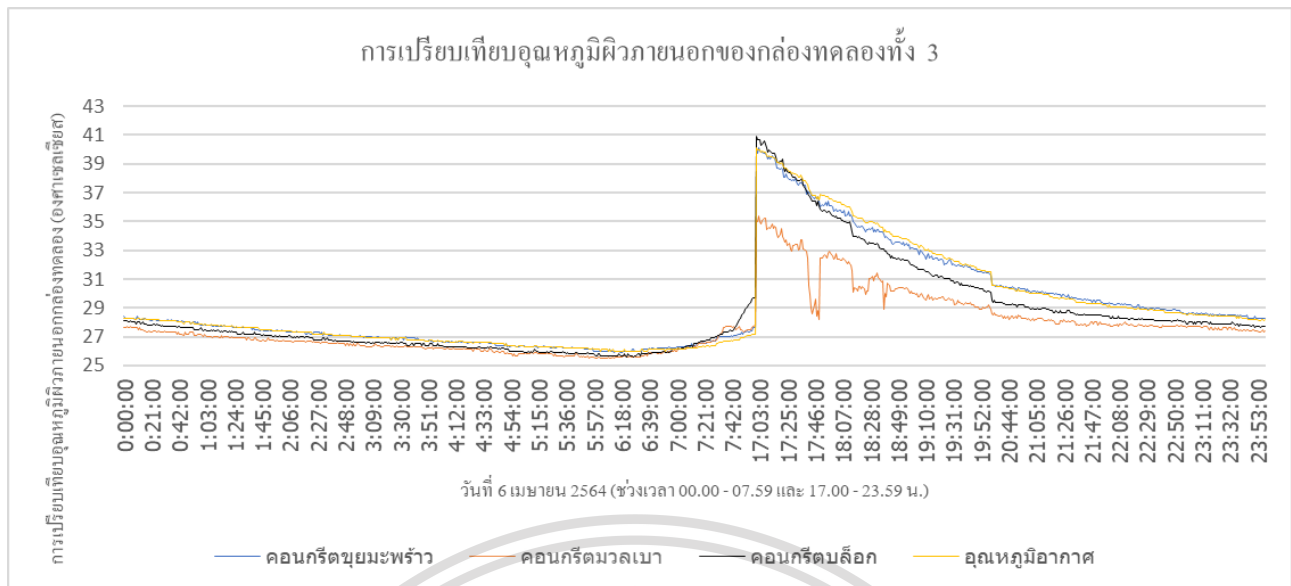


รูปที่ 4.30 อุณหภูมิอากาศภายนอกทั้ง 3 กับอุณหภูมิอากาศ 5/04/64 0.00 – 7.59 น., 17.00 – 23.59 น.

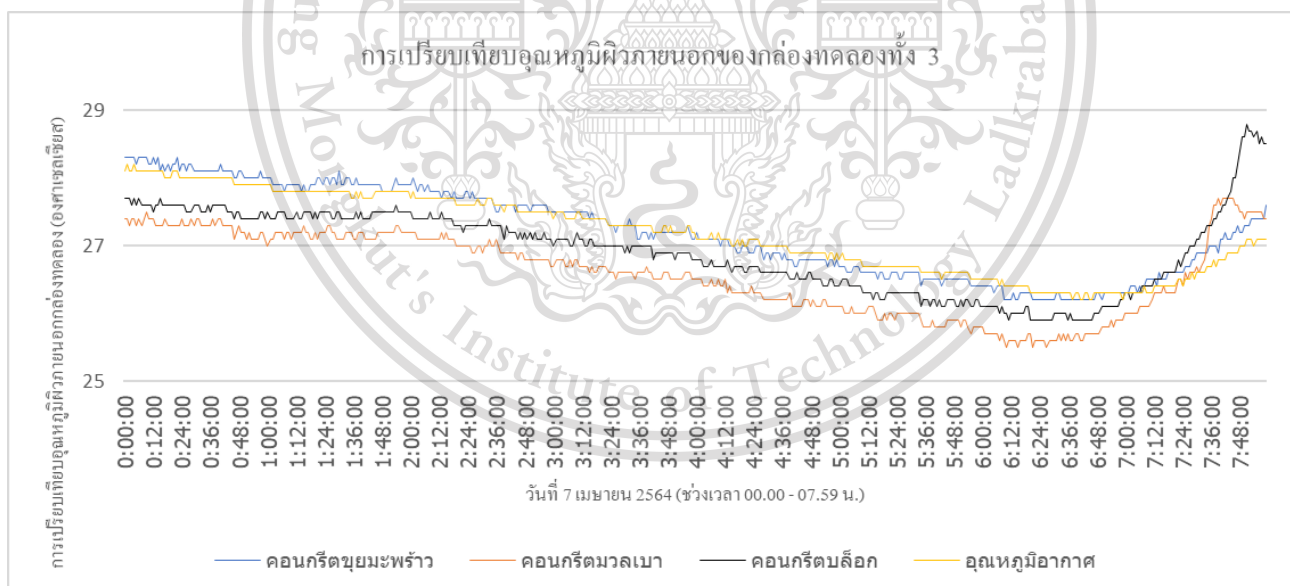
เอกสารนี้เป็นเอกสารที่สงวนไว้สำหรับการใช้งานเพื่อการศึกษาเท่านั้น ไม่อนุญาตให้นำไปใช้ประโยชน์ด้านการค้า
ไม่ว่ากรณีใดๆทั้งสิ้น อีกทั้งห้ามมิให้ดัดแปลงเนื้อหา และต้องอ้างอิงถึงเจ้าของเอกสารทุกครั้งที่มีการนำไปใช้

This material is reserved for educational use only, not allowed for commercial use.

Forbidden to modify the content, and cite the document when use.



รูปที่ 4.31 อุณหภูมิอากาศภายนอกทั้ง 3 กับอุณหภูมิอากาศ 6/04/64 0.00 – 7.59 น., 17.00 – 23.59 น.



รูปที่ 4.32 อุณหภูมิอากาศภายนอก 3 กล่องกับอุณหภูมิอากาศ 7/04/64 00.00 – 07.59 น.

เอกสารนี้เป็นเอกสารที่สงวนไว้สำหรับการใช้งานเพื่อการศึกษาเท่านั้น ไม่อนุญาตให้นำไปใช้ประโยชน์ด้านการค้า
ไม่ว่ากรณีใดๆทั้งสิ้น อีกทั้งห้ามมิให้ดัดแปลงเนื้อหา และต้องอ้างอิงถึงเจ้าของเอกสารทุกครั้งที่มีการนำไปใช้

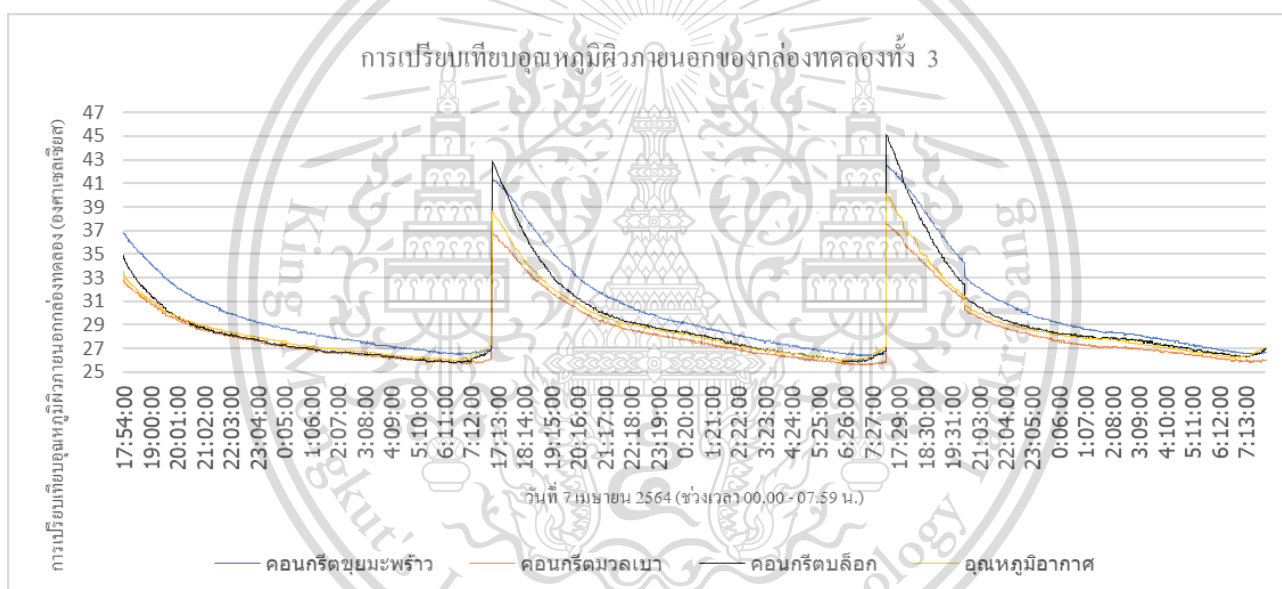
This material is reserved for educational use only, not allowed for commercial use.

Forbidden to modify the content, and cite the document when use.

4.5.1.5 การวิเคราะห์ผลอุณหภูมิผิวภายในกล่องทดลอง (ช่วงไม่รับแสง)

การวัดอุณหภูมิผิวภายในกล่องทดลอง ในตำแหน่งที่ 2 ของกล่องทดลองทั้ง 3 กล่อง ในวันที่ 4 - 7 เมษายน 2564 ช่วงเวลา 00.00 – 07.59 น. และ 17.00 – 23.59 น. ประกอบด้วยกล่องที่ 1 คอนกรีตมวลเบา ระบบเซลล์ลาร์จากขุยมะพร้าว กล่องที่ 2 เป็นกล่อง คอนกรีตมวลเบา ระบบเซลล์ลาร์ที่มีชายทั่วไปตามท้องตลาด และกล่องที่ 3 เป็นกล่องทดสอบของ คอนกรีตบล็อก

พบว่ากล่องที่ 1 มีอุณหภูมิผิวภายในกล่องสูงสุดอยู่ที่ 42.50 กล่องที่ 2 มีอุณหภูมิผิวภายในกล่องสูงสุดอยู่ที่ 37.60 และกล่องที่ 3 มีอุณหภูมิผิวภายในกล่องสูงสุดอยู่ที่ 45.10 องศาเซลเซียส ตามลำดับ โดยมีอุณหภูมิผิวภายในกล่องเฉลี่ยทั้ง 3 วัน ในกล่องที่ 1 อยู่ที่ 30.12 องศาเซลเซียส กล่องที่ 2 อยู่ที่ 28.28 องศาเซลเซียส กล่องที่ 3 อยู่ที่ 29.10 องศาเซลเซียส

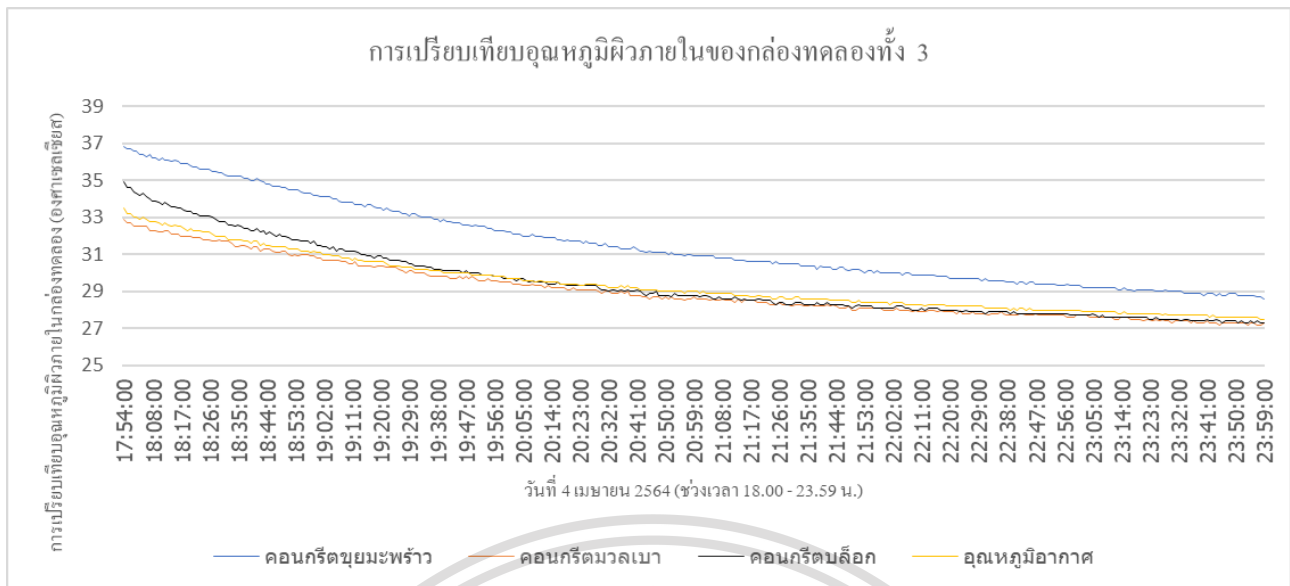


รูปที่ 4.33 อุณหภูมิผิวภายในทั้ง 3 กล่อง 00.00 – 07.59 น. และ 17.00 – 23.59 น. ของทั้ง 3 วัน

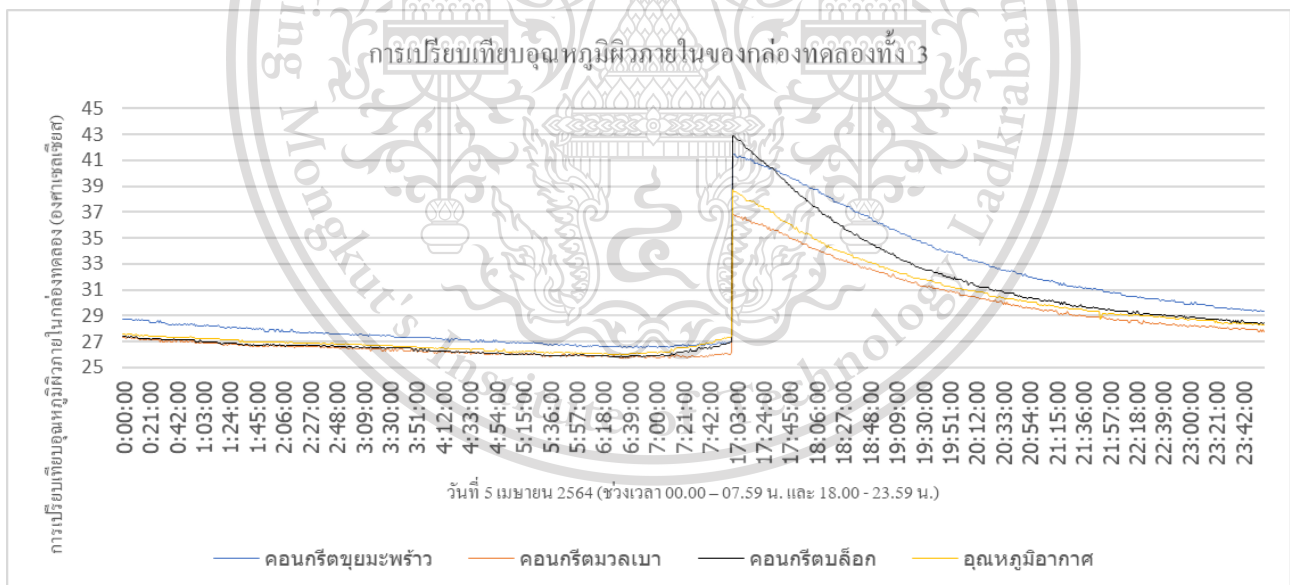
เอกสารนี้เป็นเอกสารที่สงวนไว้สำหรับการใช้งานเพื่อการศึกษาเท่านั้น ไม่อนุญาตให้นำไปใช้ประโยชน์ด้านการค้า
ไม่ว่ากรณีใดๆทั้งสิ้น อีกทั้งห้ามมิให้ตัดแปลงเนื้อหา และต้องอ้างอิงถึงเจ้าของเอกสารทุกครั้งที่มีการนำไปใช้

This material is reserved for educational use only, not allowed for commercial use.

Forbidden to modify the content, and cite the document when use.



รูปที่ 4.34 อุณหภูมิผิวภายในทั้ง 3 กล่องกับอุณหภูมิอากาศ 4/04/64 18.00 – 23.59 น.

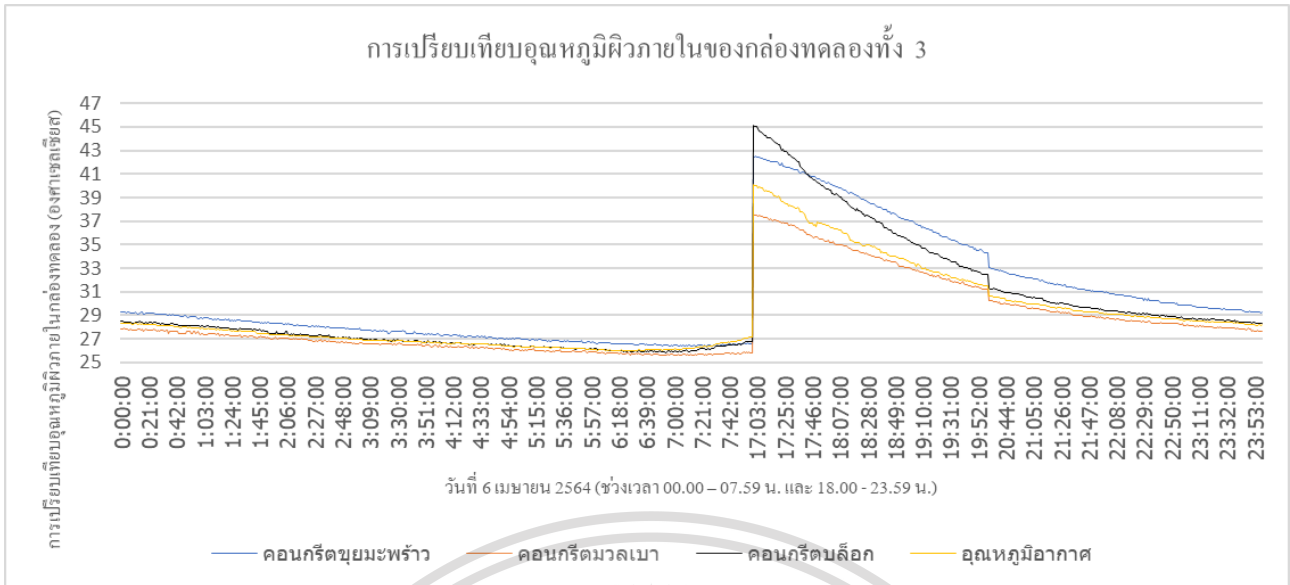


รูปที่ 4.35 อุณหภูมิผิวภายในทั้ง 3 กล่องกับอุณหภูมิอากาศ 5/04/64 0.00 – 7.59 น., 17.00 – 23.59 น.

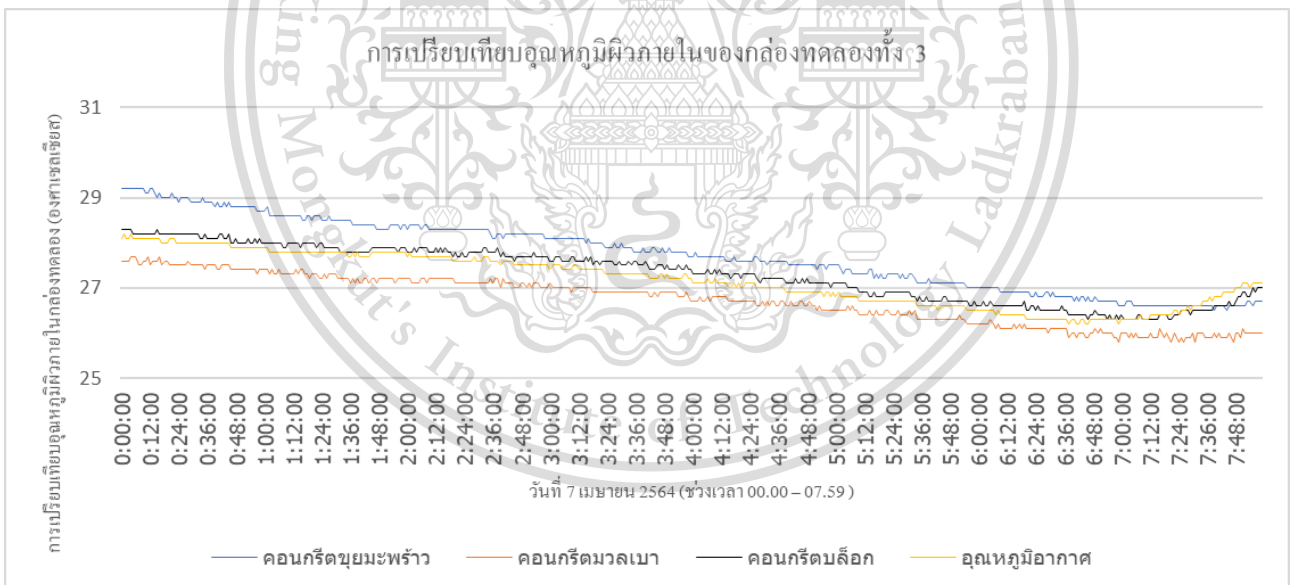
เอกสารนี้เป็นเอกสารที่สงวนไว้สำหรับการใช้งานเพื่อการศึกษาเท่านั้น ไม่อนุญาตให้นำไปใช้ประโยชน์ด้านการค้า
ไม่ว่ากรณีใดๆทั้งสิ้น อีกทั้งห้ามมิให้ดัดแปลงเนื้อหา และต้องอ้างอิงถึงเจ้าของเอกสารทุกครั้งที่มีการนำไปใช้

This material is reserved for educational use only, not allowed for commercial use.

Forbidden to modify the content, and cite the document when use.



รูปที่ 4.36 อุณหภูมิผิวภายในทั้ง 3 กล่องกับอุณหภูมิอากาศ 6/04/64 0.00 – 7.59 น., 17.00 – 23.59 น.



รูปที่ 4.37 อุณหภูมิผิวภายในทั้ง 3 กล่องกับอุณหภูมิอากาศ 7/04/64 00.00 – 07.59 น.

เอกสารนี้เป็นเอกสารที่สงวนไว้สำหรับการใช้งานเพื่อการศึกษาเท่านั้น ไม่อนุญาตให้นำไปใช้ประโยชน์ด้านการค้า
ไม่ว่ากรณีใดๆทั้งสิ้น อีกทั้งห้ามมิให้ดัดแปลงเนื้อหา และต้องอ้างอิงถึงเจ้าของเอกสารทุกครั้งที่มีการนำไปใช้

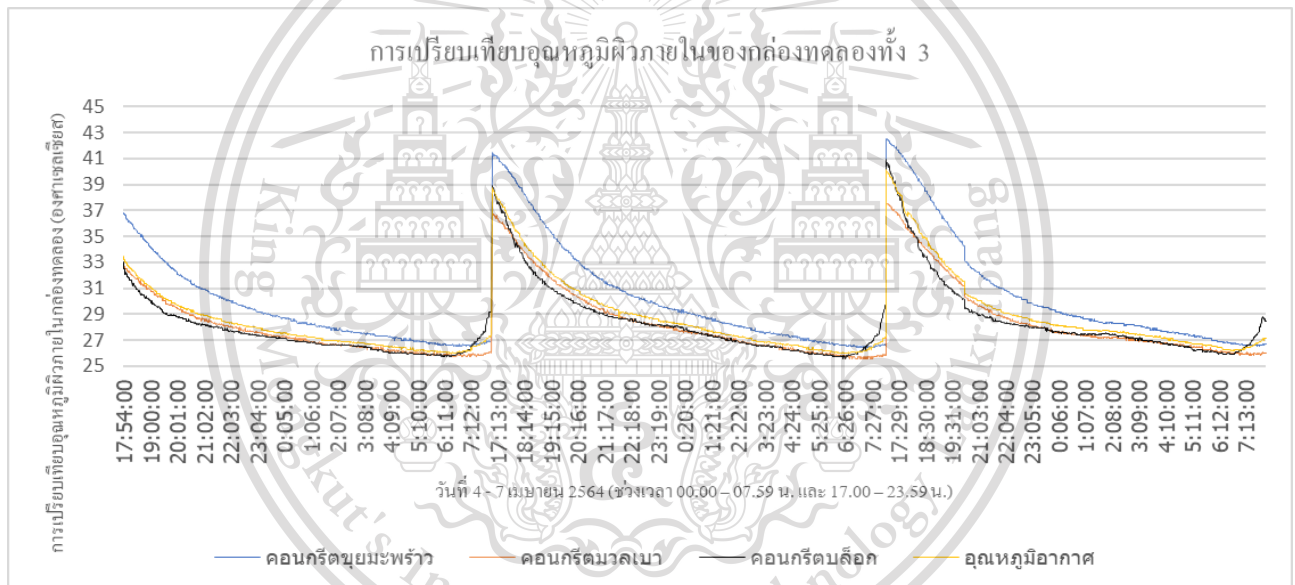
This material is reserved for educational use only, not allowed for commercial use.

Forbidden to modify the content, and cite the document when use.

4.5.1.6 การวิเคราะห์ผลอุณหภูมิอากาศภายในกล่องทดลอง (ช่วงไม่รับแสง)

การวัดอุณหภูมิอากาศภายในกล่องทดลอง ในตำแหน่งที่ 3 ของกล่องทดลองทั้ง 3 กล่อง ในวันที่ 4 - 7 เมษายน 2564 ช่วงเวลา 00.00 – 07.59 น. และ 17.00 – 23.59 น. ประกอบด้วยกล่องที่ 1 คอนกรีตมวลเบา ระบบเซลล์ลาร์จากขุยมะพร้าว กล่องที่ 2 เป็นกล่อง คอนกรีตมวลเบา ระบบเซลล์ลาร์ที่มีชายทั่วไปตามท้องตลาด และกล่องที่ 3 เป็นกล่องทดสอบของ คอนกรีตบล็อก

พบว่ากล่องที่ 1 มีอุณหภูมิอากาศภายในกล่องสูงสุดอยู่ที่ 41.10 กล่องที่ 2 มีอุณหภูมิอากาศภายในกล่องสูงสุดอยู่ที่ 36.80 และกล่องที่ 3 มีอุณหภูมิอากาศภายในกล่องสูงสุดอยู่ที่ 41.80 องศาเซลเซียส ตามลำดับ โดยมีอุณหภูมิอากาศภายในกล่องเฉลี่ยทั้ง 4 วัน ในกล่องที่ 1 อยู่ที่ 29.63 องศาเซลเซียส กล่องที่ 2 อยู่ที่ 28.16 องศาเซลเซียส กล่องที่ 3 อยู่ที่ 28.68 องศาเซลเซียส

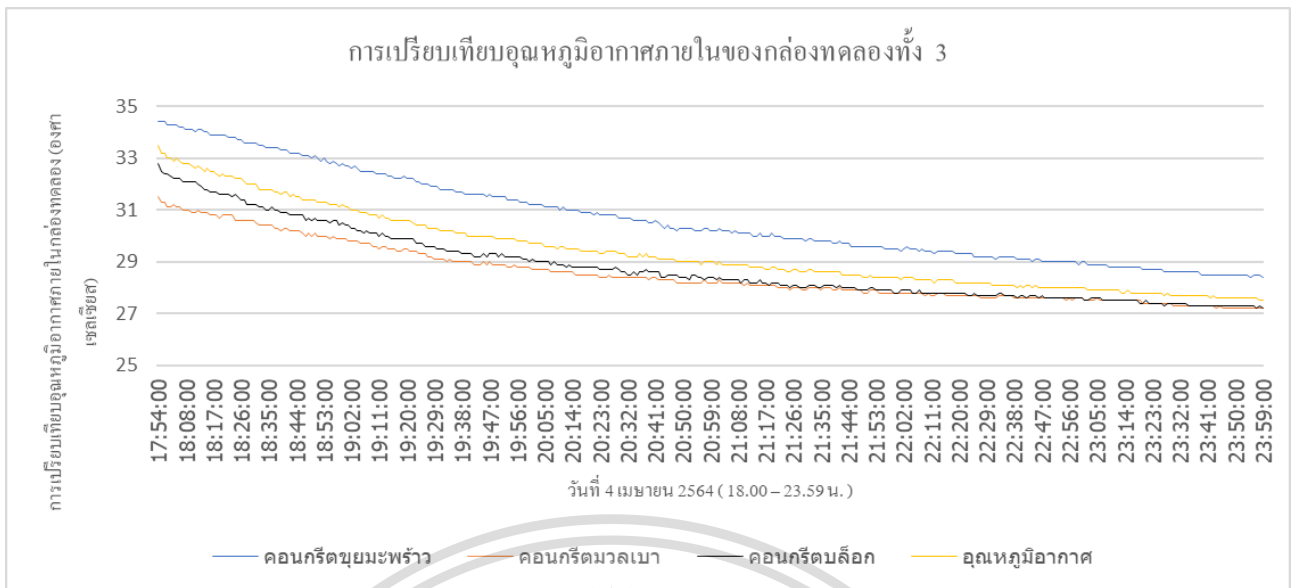


รูปที่ 4.38 อุณหภูมิอากาศภายในทั้ง 3 กล่อง ที่เวลา 0.00 – 7.59 น., 17.00 – 23.59 น. ของทั้ง 4 วัน

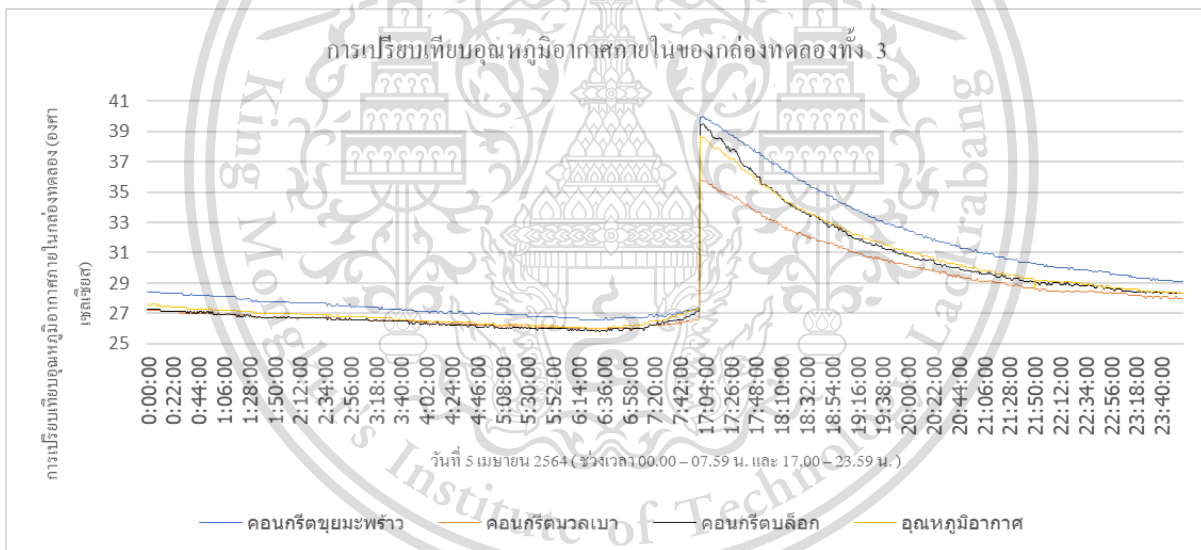
เอกสารนี้เป็นเอกสารที่สงวนไว้สำหรับการใช้งานเพื่อการศึกษาเท่านั้น ไม่อนุญาตให้นำไปใช้ประโยชน์ด้านการค้า
ไม่ว่ากรณีใดๆทั้งสิ้น อีกทั้งห้ามมิให้ตัดแปลงเนื้อหา และต้องอ้างอิงถึงเจ้าของเอกสารทุกครั้งที่มีการนำไปใช้

This material is reserved for educational use only, not allowed for commercial use.

Forbidden to modify the content, and cite the document when use.



รูปที่ 4.39 อุณหภูมิอากาศภายในทั้ง 3 กล่องกับอุณหภูมิอากาศ 4/04/64 18.00 – 23.59 น.

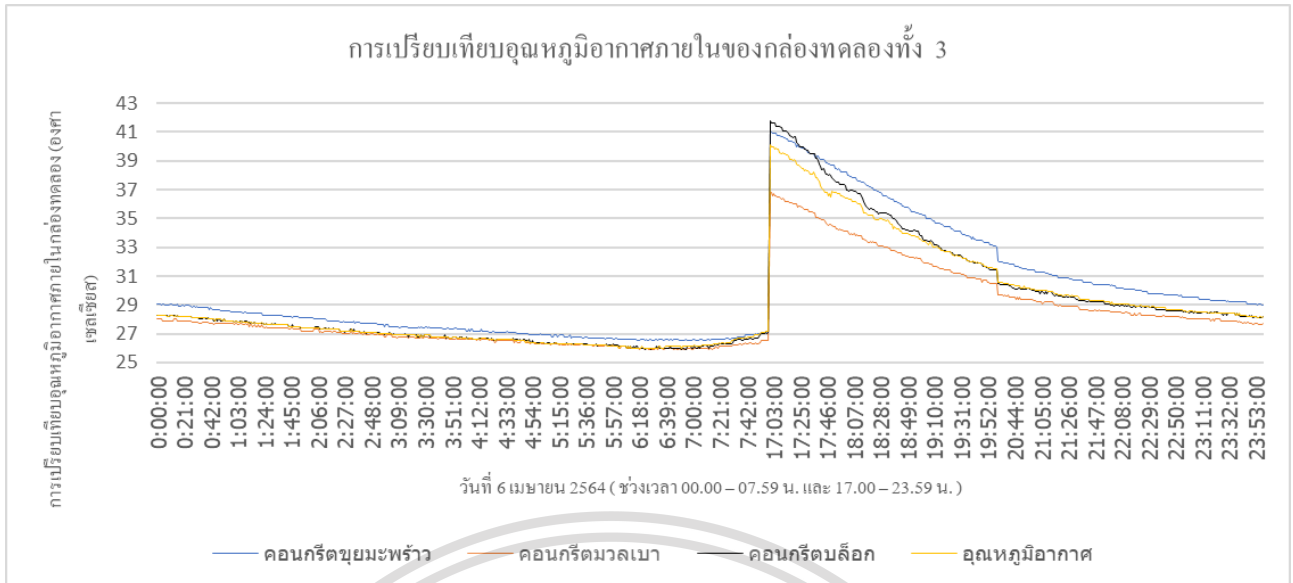


รูปที่ 4.40 อุณหภูมิอากาศภายในทั้ง 3 กับอุณหภูมิอากาศ 5/04/64 0.00 – 7.59 น., 17.00 – 23.59 น.

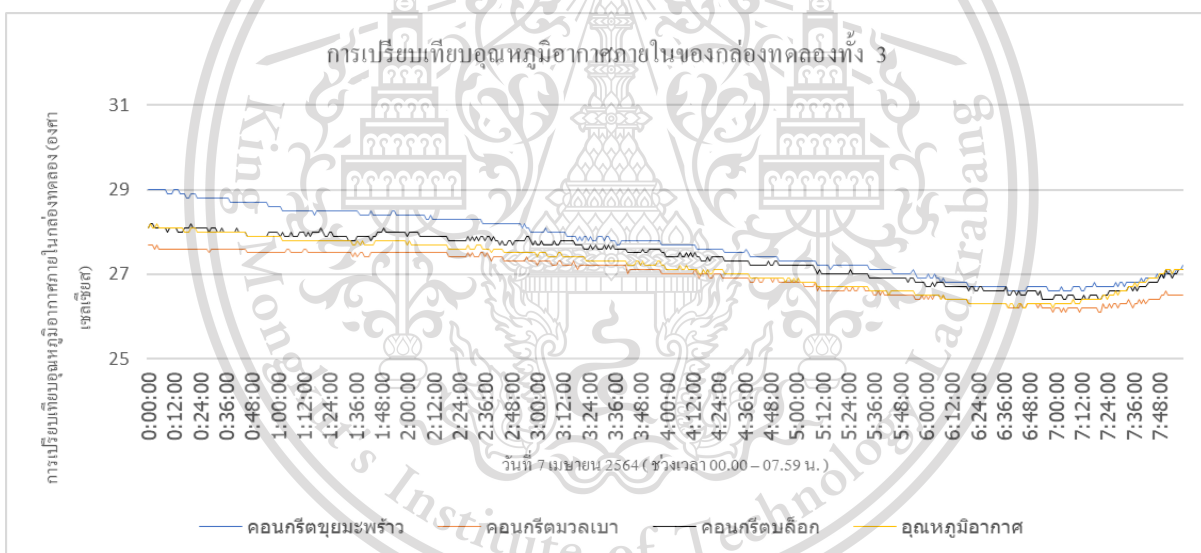
เอกสารนี้เป็นเอกสารที่สงวนไว้สำหรับการใช้งานเพื่อการศึกษาเท่านั้น ไม่อนุญาตให้นำไปใช้ประโยชน์ด้านการค้า
ไม่ว่ากรณีใดๆทั้งสิ้น อีกทั้งห้ามมิให้ดัดแปลงเนื้อหา และต้องอ้างอิงถึงเจ้าของเอกสารทุกครั้งที่มีการนำไปใช้

This material is reserved for educational use only, not allowed for commercial use.

Forbidden to modify the content, and cite the document when use.



รูปที่ 4.41 อุณหภูมิอากาศภายในทั้ง 3 กับอุณหภูมิอากาศ 6/04/64 0.00 – 7.59 น., 17.00 – 23.59 น.



รูปที่ 4.42 อุณหภูมิอากาศภายในทั้ง 3 กล่องกับอุณหภูมิอากาศ 7/04/64 00.00 – 07.59 น.

4.5.2 อัตราการหดตัว (Autogenous Shrinkage)

ติดตั้ง Gauge plug 2 ตัวที่ด้านหัวและด้านท้าย ของตัวอย่างเพื่อใช้เป็นจุดในการวัดความยืดหดตัว และใช้พลาสติกห่อหุ้มเพื่อป้องกันการระเหยของน้ำ โดยทำการห่อหุ้มพลาสติกไปทั้งหมด 20 รอบ และทำการวัดการหดตัวที่เกิดขึ้นในวันที่ 12 ชั่วโมง 1 วัน 3 วัน 7 วัน 14 วัน และ 28 วัน ตามลำดับ โดยทำการทดสอบตั้งแต่วันที่ 12 เมษายน 2564 ถึง วันที่ 10 พฤษภาคม 2564 โดยทำการเทียบกับ มยผ. 1332-50 ที่มีกำลังอัดของคอนกรีตที่อายุ 28 วัน เท่ากับ 60 เมกะปาสคาล

This material is reserved for educational use only, not allowed for commercial use.

Forbidden to modify the content, and cite the document when use.

ตารางที่ 4.7 ตัวอย่างชิ้นงานที่นำมาทดสอบ

Time	NO	น้ำหนัก	กว้าง	ยาว	สูง	Gage1 เริ่มต้น	Gage2 เริ่มต้น
hr.		g	cm	cm	cm	in	in
12	1	367	40	160	40	8.5245	0

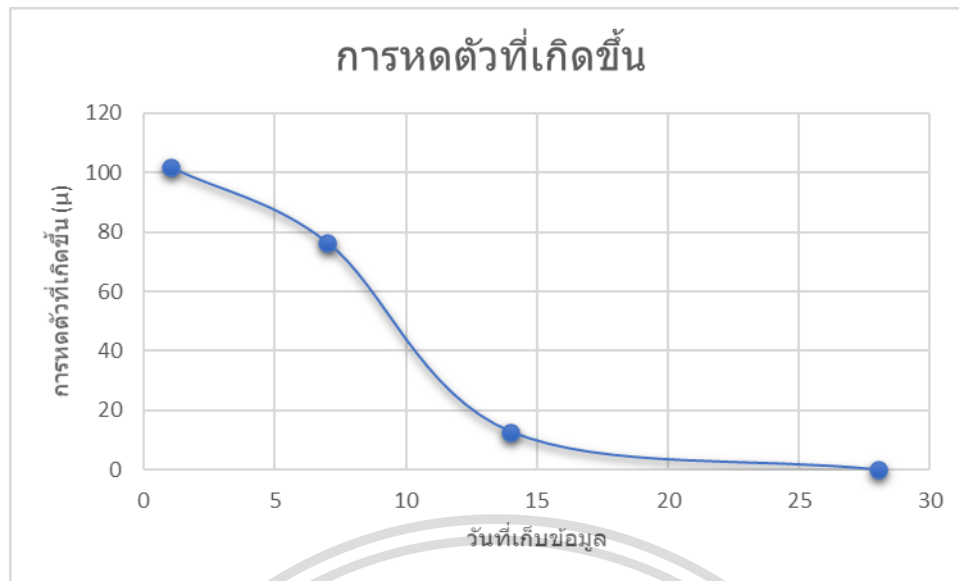
ตารางที่ 4.8 แสดงผลการทดสอบ การหดตัวแบบบอโตจีเนียส

วัน	Gauge plug 1	Gauge plug 2	ผลต่าง Gauge plug 1	ผลต่าง Gauge plug 2	ผลรวมของ ผลต่าง	การหดตัวที่ เกิดขึ้น	การหดตัวที่ เกิดขึ้น
	in	in	in	in	in	in	μ
0	8.5245	0	0	0	0	-	-
1	8.5235	0.003	0.001	0.003	0.004	0.004	101.6
3	8.5235	0.003	0.001	0.003	0.004	0	0
7	8.5205	0.003	0.004	0.003	0.007	0.003	76.2
14	8.5205	0.0025	0.004	0.0025	0.0065	0.0005	12.7
28	8.5205	0.0025	0.004	0.0025	0.0065	0	0

เอกสารนี้เป็นเอกสารที่สงวนไว้สำหรับการใช้งานเพื่อการศึกษาเท่านั้น ไม่อนุญาตให้นำไปใช้ประโยชน์ด้านการค้า
ไม่ว่ากรณีใดๆทั้งสิ้น อีกทั้งห้ามมิให้ดัดแปลงเนื้อหา และต้องอ้างอิงถึงเจ้าของเอกสารทุกครั้งที่มีการนำไปใช้

This material is reserved for educational use only, not allowed for commercial use.

Forbidden to modify the content, and cite the document when use.



รูปที่ 4.43 แสดงการหดตัวแบบอโตจีเนียส

4.5.3 คำนาคำความร้อน (Thermal Conductivity)

ทำการวัดและชั่งน้ำหนักชิ้นงานตัวอย่าง ตั้งค่าอุณหภูมิที่ 300 องศาเซลเซียส เนื่องจาก Hot Plate ไม่สามารถตั้งค่าได้จึงใช้ป็นค่าสูงสุดที่เครื่องสามารถให้ความร้อนได้ โดยตั้งค่ากำลังเฉลี่ยของเครื่องทดสอบ การนำความร้อน เป็น 450 วัตต์/นาที่ สามารถส่งถ่ายความร้อนได้ 14.22 องศาเซลเซียสต่อนาที่ ทำการเปิด Hot Plate ทิ้งไว้เป็นเวลา 22 นาที จากนั้นเมื่อได้อุณหภูมิที่ต้องการแล้วจึงทำการให้ความร้อนแก่คอนกรีตมวลเบา โดยทำการวัดกับเครื่อง Data Logger (ยี่ห้อ TDS) และสายเคเบิล Thermocouple Type - T รวบรวมข้อมูลการวัดอุณหภูมิของ Hot Plate ทุก 1 นาที โดยทำการวัดตั้งแต่เวลา 11.50 น. -12.20 น. รวมเป็นเวลาทั้งสิ้น 30 นาที เพื่อให้ความร้อนกระจายทั่วชิ้นตัวอย่าง ได้ผลทดสอบ คือมีอุณหภูมิเฉลี่ย 34 องศาเซลเซียส และอุณหภูมิเริ่มคงที่เมื่อเวลา 12.19 น. โดยมีอุณหภูมิเป็น 36.1 องศาเซลเซียส มีค่าผลต่างของอุณหภูมิเป็น 263.9 องศาเซลเซียส เมื่อแปลงเป็น เคลวินจะได้ 537.05 เคลวิน

$$\text{จากสูตรการหาค่าการนำความร้อน} = \frac{Q_d}{2A} \times \frac{d}{\Delta T}$$

$$Q_d = 450 \text{ วัตต์/นาที่}$$

$$A = 0.07 \text{ m}^2$$

$$d = 0.075 \text{ m}$$

เอกสารนี้เป็นเอกสารที่สงวนไว้สำหรับการใช้งานเพื่อการศึกษาเท่านั้น ไม่อนุญาตให้นำไปใช้ประโยชน์ด้านการค้า
 $\Delta T = 537.05 \text{ เคลวิน}$

ไม่ว่ากรณีใดๆทั้งสิ้น อีกทั้งห้ามมิให้ตัดแปลงเนื้อหา และต้องอ้างอิงถึงเจ้าของเอกสารทุกครั้งที่มีการนำไปใช้

This material is reserved for educational use only, not allowed for commercial use.

Forbidden to modify the content, and cite the document when use.

ค่าการนำความร้อน จะได้ = 0.449 วัตต์ต่อเมตร - เคลวิน ซึ่งมีค่าอยู่ระหว่าง อิฐคอนกรีตบล็อก 7 cm. มีค่า = 0.436 วัตต์ต่อเมตร- เคลวิน และ อิฐคอนกรีตบล็อก 9 cm. มีค่า = 0.456 วัตต์ต่อเมตร - เคลวิน ซึ่งอยู่ในช่วงที่ใช้งานได้

ตารางที่ 4.9 ผลที่ได้จากการทดสอบค่านำความร้อน

เวลา	อุณหภูมิที่วัดได้	เวลา	อุณหภูมิที่วัดได้
11:50:00	32.6	12:06:00	34.3
11:51:00	33.2	12:07:00	34.3
11:52:00	33	12:08:00	34.4
11:53:00	33.1	12:09:00	34.6
11:54:00	33.2	12:10:00	34.7
11:55:00	33.3	12:11:00	34.7
11:56:00	33.3	12:12:00	34.7
11:57:00	33.4	12:13:00	34.7
11:58:00	33.4	12:14:00	34.8
11:59:00	33.4	12:15:00	34.9
12:00:00	33.4	12:16:00	35
12:01:00	33.4	12:17:00	35.2
12:02:00	33.6	12:18:00	35.4
12:03:00	33.6	12:19:00	36.1
12:04:00	33.8	12:20:00	36.1
12:05:00	34.2	ค่าเฉลี่ย	34.92666667

4.5 การเปรียบเทียบราคาวัสดุ

ตารางที่ 4.10 ราคาคอนกรีตมวลเบาระบบเซลลูโลส โดยการใช้ขุยมะพร้าว










คอนกรีตมวลเบาระบบเซลลูโลส เพื่อลดอุณหภูมิภายในอาคารโดยการใช้กากมะพร้าวสับ			
วัสดุที่ใช้ในการผลิต	ราคาวัสดุดิบ (บาท/กิโลกรัม, ลิตร)	ปริมาณต่อก้อน (กิโลกรัม, ลิตร)	ราคาต่อก้อน (บาท)
ปูนซีเมนต์ปอร์ตแลนด์ประเภทที่ 1	1.7	1.8	3.06
ทรายละเอียด (Sand)	0.90	2.25	2.036

This material is reserved for educational use only, not allowed for commercial use.

Forbidden to modify the content, and cite the document when use.

น้ำสะอาด (Water)	0.01	1.46	0.0149
สารทำฟอง (Foaming Agent)	10	0.002	0.02
ขุยมะพร้าว	4	0.142	0.568
ราคา/ก้อน			5.70

ตารางที่ 4.11 ราคาคอนกรีตมวลเบาในท้องตลาด

รายการวัสดุคอนกรีตมวลเบาในท้องตลาด	ราคา/ก้อน
   <p>อิฐมวลเบา ทีพีไอ 7x60x20 cm.</p>	19.30
   <p>อิฐมวลเบา คิวคอน 7.5x60x20 cm.</p>	22.00
   <p>อิฐมวลเบา สมาร์ทบล็อก 7x60x20 cm.</p>	22.00

เอกสารนี้เป็นเอกสารที่สงวนไว้สำหรับกรใช้เฉพาะเพื่อการศึกษาเท่านั้น ไม่อนุญาตให้นำไปใช้ประโยชน์ด้านการค้า

ไม่ว่ากรณีใดๆทั้งสิ้น อีกทั้งห้ามมิให้ดัดแปลงเนื้อหา และต้องอ้างอิงถึงเจ้าของเอกสารทุกครั้งที่มีการนำไปใช้

This material is reserved for educational use only, not allowed for commercial use.

Forbidden to modify the content, and cite the document when use.

   <p>อิฐมวลเบา คิวคอน 7.5x60x20 cm.</p>	<p>19.00</p>
---	--------------



เอกสารนี้เป็นเอกสารที่สงวนไว้สำหรับการใช้งานเพื่อการศึกษาเท่านั้น ไม่อนุญาตให้นำไปใช้ประโยชน์ด้านการค้า
ไม่ว่ากรณีใดๆทั้งสิ้น อีกทั้งห้ามมิให้ดัดแปลงเนื้อหา และต้องอ้างอิงถึงเจ้าของเอกสารทุกครั้งที่มีการนำไปใช้

This material is reserved for educational use only, not allowed for commercial use.

Forbidden to modify the content, and cite the document when use.

บทที่ 5

สรุปผลการวิจัยและข้อเสนอแนะ

งานวิจัยนี้เป็นการพัฒนาคอนกรีตมวลเบาระบบเซลลูลาร์จากขุยมะพร้าว ที่สามารถนำวัสดุเหลือใช้จากธรรมชาติ มาทำให้เกิดประโยชน์อีกรูปแบบหนึ่ง และส่งผลดีต่อการพัฒนาอุตสาหกรรมได้ในอนาคต โดยทำการศึกษาในด้านคุณสมบัติความต้านแรงอัด อัตราการดูดกลืนน้ำ และความสามารถในการลดความร้อน ตามมาตรฐานการทดสอบคอนกรีตมวลเบา มอก. 2601 - 2556 มี ผลสรุปของงานวิจัยดังนี้

5.1 กระบวนการผลิตคอนกรีตมวลเบาระบบเซลลูลาร์ จากขุยมะพร้าว

การผลิตคอนกรีตมวลเบาแบบเซลลูลาร์รูปทรงจริงขนาด 20x60x7.5 ซม. โดยใช้แม่พิมพ์ไม้ขึ้นรูปพบว่าคอนกรีตมวลเบาแบบเซลลูลาร์จากขุยมะพร้าว สามารถผลิตขึ้นรูปได้จริงตามข้อกำหนดมาตรฐานผลิตภัณฑ์อุตสาหกรรม คอนกรีตบล็อกมวลเบาแบบเติมฟองอากาศ มอก. 2601 – 2556 โดยมีลักษณะทางกายภาพตรงตามมาตรฐานอุตสาหกรรมที่กำหนดไว้ คือมีเกณฑ์ความคลาดเคลื่อนไม่เกิน ± 2 มม.

5.2. คุณสมบัติทางกายภาพ และเชิงกลของคอนกรีตมวลเบาแบบเซลลูลาร์จากขุยมะพร้าว

5.2.1 น้ำหนักและความหนาแน่น

พบว่าน้ำหนักและความหนาแน่นของคอนกรีตมวลเบา มีค่าลดลง เมื่อใส่ขุยมะพร้าว แทนที่ปูนซีเมนต์ปอร์ตแลนด์ ประเภทที่ 1 เนื่องจากอนุภาคของขุยมะพร้าวที่ผสมแทนปูนซีเมนต์ปอร์ตแลนด์ ประเภท 1 มีความหนาแน่นน้อยกว่า ปูนซีเมนต์ปอร์ตแลนด์ ประเภทที่ 1 เมื่อนำไปผสมสามารถแทรกตัวอยู่ระหว่างช่องว่าง ของทรายละเอียดได้จึงเกิดความเข้ากันของเนื้อที่ถูกผสม เมื่อนำไปแทนที่ปูนซีเมนต์ปอร์ตแลนด์ ประเภทที่ 1 ส่งผลให้น้ำหนักและความหนาแน่นลดลง โดยก้อนคอนกรีตมวลเบาจาก ขุยมะพร้าว 1 ก้อน มีค่าความหนาแน่นน้อยที่สุดที่ 1010 กก./ลบ.ม. และมีค่าความหนาแน่นมากที่สุดที่ 1144 กก./ลบ.ม. ซึ่งคอนกรีตมวลเบาแบบเซลลูลาร์จากขุยมะพร้าวที่ผลิตได้ มีความหนาแน่นเชิงปริมาตรในสภาพแห้งเฉลี่ย อยู่ที่ 1086 กก./ลบ.ม. และมีน้ำหนักเฉลี่ย 11.18 กิโลกรัม

เอกสารนี้เป็นเอกสารที่สงวนไว้สำหรับการใช้งานเพื่อการศึกษาเท่านั้น ไม่อนุญาตให้นำไปใช้ประโยชน์ด้านการค้า
ไม่ว่ากรณีใดๆทั้งสิ้น อีกทั้งห้ามมิให้ดัดแปลงเนื้อหา และต้องอ้างอิงถึงเจ้าของเอกสารทุกครั้งที่มีการนำไปใช้

This material is reserved for educational use only, not allowed for commercial use.

Forbidden to modify the content, and cite the document when use.

5.2.2 ความต้านแรงอัด

ความต้านแรงอัดของคอนกรีตมวลเบาระบบเซลลูลาร์จากขุยมะพร้าว มีแนวโน้มเพิ่มขึ้นเมื่อนำขุยมะพร้าว มาแทนที่ปูนซีเมนต์ปอร์ตแลนด์ ประเภทที่ 1 ด้วยอัตราส่วนผสมที่เหมาะสมของขุยมะพร้าวคือ 20 % ให้ความต้านแรงอัดสูงสุดที่ผ่านมาตรฐาน เฉลี่ยที่ 36.02 กก./ตร.ซม. ซึ่งผ่านตามมาตรฐานอุตสาหกรรม มอก. 2601 – 2556 สามารถนำไปใช้เป็นวัสดุก่อสร้างและประกอบอาคารได้

5.2.3 อัตราการดูดซึมน้ำ

อัตราการดูดซึมน้ำของคอนกรีตมวลเบาระบบเซลลูลาร์จากขุยมะพร้าว มีแนวโน้มที่เพิ่มขึ้นตามปริมาณของขุยมะพร้าวที่ผสมเพิ่มเข้าไป เนื่องจากอนุภาคของขุยมะพร้าวที่ทำการผสมเข้าไปแทนที่ช่องว่างที่เกิดจากฟองอากาศ ส่งผลให้มีอัตราการดูดซึมน้ำเพิ่มขึ้น โดยคอนกรีตมวลเบาระบบเซลลูลาร์จากขุยมะพร้าว สูตรที่เหมาะสมที่สุดที่ผ่านเกณฑ์มาตรฐาน คือใช้ขุยมะพร้าว 20 % มีอัตราดูดซึมน้ำเฉลี่ยที่ 22.098%

5.2.4 อัตราการหดตัว

อัตราการหดตัวของคอนกรีตมวลเบาระบบเซลลูลาร์จากขุยมะพร้าว มีแนวโน้มที่ลดลง เมื่อเวลาผ่านไป โดยค่าการหดตัวแบบอโตจีเนียส ที่เวลา 1 วัน, 3 วัน, และ 7 วัน เท่ากับ 101.6, 76.2, และ 12.7 ไมครอน ซึ่งผ่านตามมาตรฐาน มยผ. 1332-50

5.3 คุณสมบัติด้านการนำความร้อนของคอนกรีตมวลเบาระบบเซลลูลาร์จากขุยมะพร้าว

5.3.1 ค่าสัมประสิทธิ์การนำความร้อน

คอนกรีตมวลเบาแบบเซลลูลาร์จากขุยมะพร้าว ความหนาแน่นที่ 1,198 กก./ลบ.ม. มีค่าสัมประสิทธิ์การนำความร้อนที่ 0.449 W/m.K ซึ่งมีค่าอยู่ระหว่างคอนกรีตบล็อก 7 cm. ที่มีค่า 0.436 W/m.K และคอนกรีตบล็อก 9 cm. ที่มีค่า 0.456 W/m.K ซึ่งอยู่ในช่วงที่ใช้งานได้

5.3.2 ความสามารถในการลดความร้อน

การทดสอบความสามารถในการลดความร้อนของคอนกรีตมวลเบาแบบเซลลูลาร์จากขุยมะพร้าว เปรียบเทียบกับคอนกรีตมวลเบาแบบเซลลูลาร์ในภาคอุตสาหกรรมที่มีขายทั่วไปตามท้องตลาด และคอนกรีตบล็อก ทำการทดสอบโดยกล่องทดลองสี่เหลี่ยมติดตั้ง Data Logger (ยี่ห้อ TDS) และสายเคเบิล

Thermocouple Type – T ทั้ง 3 วัน ในวันที่ 4-6 มีนาคม 2564 ช่วงเวลา 00.00 - 24.00 น. พบว่าคอนกรีตมวลเบาแบบเซลลูลาร์จากขุยมะพร้าว มีอุณหภูมิบริเวณผิวภายนอกสูงสุดเฉลี่ยที่ 41.5 องศาเซลเซียส ซึ่งไม่ว่ากรณีใดๆทั้งสิ้น อีกทั้งห้ามมิให้ตัดแปลงเนื้อหา และต้องอ้างอิงถึงเจ้าของเอกสารทุกครั้งที่มีการนำไปใช้

This material is reserved for educational use only, not allowed for commercial use.

ต่ำกว่าคอนกรีตบล็อก 4.29 องศาเซลเซียส เมื่อพิจารณาถึงอุณหภูมิบริเวณผิวภายในเฉลี่ยพบว่าคอนกรีตมวลเบา ระบบเซลลูโลสจากขุยมะพร้าว มีอุณหภูมิสูงสุดเฉลี่ยที่ 40.06 องศาเซลเซียส ซึ่งมีอุณหภูมิสูงกว่าคอนกรีตมวลเบา ระบบเซลลูโลสที่มีขายทั่วไปตามท้องตลาด 3.04 องศาเซลเซียส แต่มีอุณหภูมิต่ำกว่าคอนกรีตบล็อก 2.56 องศาเซลเซียส และอุณหภูมิอากาศภายในเฉลี่ยของคอนกรีตมวลเบา ระบบเซลลูโลสจากขุยมะพร้าว มีอุณหภูมิสูงสุดเฉลี่ยที่ 41.36 องศาเซลเซียส ซึ่งมีอุณหภูมิสูงกว่าคอนกรีตมวลเบา ระบบเซลลูโลสที่มีขายทั่วไปตามท้องตลาด 4.36 องศาเซลเซียส และมีอุณหภูมิสูงกว่าคอนกรีตบล็อก 5.7 องศาเซลเซียส ส่งผลให้คอนกรีตมวลเบา ระบบเซลลูโลสจากขุยมะพร้าว มีความสามารถในการลดความร้อนจากผิวผนังภายนอก สู่อากาศภายในได้ดี และมีความสามารถในการคายความร้อนในเวลากลางคืนได้ดีกว่า เมื่อเทียบกับคอนกรีตบล็อก แต่ยังไม่สามารถลดได้เท่าคอนกรีตมวลเบา ระบบเซลลูโลสที่ขายในท้องตลาด เนื่องจากคอนกรีตมวลเบา มีความหนาแน่นที่น้อยกว่า จึงยังสามารถลดอุณหภูมิได้มากขึ้น

5.4 สรุปผลการวิจัย

การพัฒนาคอนกรีตมวลเบา ระบบเซลลูโลสจากขุยมะพร้าว ขนาด 20x60x7.5 ซม. ความหนาแน่นเฉลี่ย 1,198 กก./ลบ.ม. มีน้ำหนักเฉลี่ยก้อนละ 11.18 กิโลกรัม ความต้านแรงอัดเฉลี่ยที่ 36.02 กก./ตร.ซม. อัตราดูดซึมน้ำ เฉลี่ยที่ 22.098 % ผ่านมาตรฐาน มอก.1505-2541 ชั้นคุณภาพ 2 มีอัตราการหดตัว ซึ่งผ่านตามมาตรฐาน มยผ. 1332-50 และมีค่าสัมประสิทธิ์การนำความร้อนเฉลี่ยที่ 0.449 W/m.K ความสามารถในการลดความร้อน แสดงให้เห็นว่า คอนกรีตมวลเบา ระบบเซลลูโลสจากขุยมะพร้าว สามารถลดอุณหภูมิได้มากกว่าคอนกรีตบล็อก แต่ยังมีน้อยกว่าคอนกรีตมวลเบา ระบบเซลลูโลสที่ขายในท้องตลาด

5.5 ข้อเสนอแนะ

1. ควรมีการเพิ่มจำนวนครั้งการทดสอบการในแต่ละอัตราส่วนให้มากขึ้น เพื่อลดค่าความคลาดเคลื่อน และได้ผลการทดสอบที่แม่นยำมากขึ้น
2. ทำการเพิ่มอัตราส่วนของการใช้ขุยมะพร้าวและเส้นใยมะพร้าวให้มีจำนวนมากขึ้น เพื่อนำผลมาวิเคราะห์เปรียบเทียบว่าอะไรดีกว่ากัน
3. ควรนำผลการทดสอบนี้ไปวิเคราะห์กับ คอนกรีตมวลเบา CLC ที่มีความหนาแน่นใกล้เคียงกัน เพื่อให้ได้รู้ว่าคอนกรีตที่ได้ทำการศึกษาอยู่ในช่วงที่ดีกว่าไหม

เอกสารนี้เป็นเอกสารต้นฉบับที่จัดทำขึ้นเพื่อใช้ในการศึกษาวิจัยเท่านั้น ไม่ควรนำเอกสารนี้ไปใช้ในการค้า

4. เมื่อนำมาใช้งานจริงในการก่อสร้าง ควรเพิ่มเปอร์เซ็นต์ขุยมะพร้าวเผื่อไว้ เพื่อป้องกันกรเกิด ความคลาดเคลื่อน (Error) ห้ามมิให้ดัดแปลงเนื้อหา และต้องอ้างอิงถึงเจ้าของเอกสารทุกครั้งที่มีการนำไปใช้

This material is reserved for educational use only, not allowed for commercial use.

Forbidden to modify the content, and cite the document when use.

บรรณานุกรม

- [1] *Effect of coconut coir pith as partial substitute for river sand in eco-friendly concrete*, Department of Civil Engineering, K. Ramakrishnan College of Technology, Trichy 621112, Tamilnadu, India. (21 May 2019) , pages 3.
- [2] Dissakul Ungrakul, *The development of lightweight concrete in cellular system made from lime mud waste of paper industry* (Master's thesis Department of Architecture Department of Architecture Graduate school Silpakorn University, 2014) pages 72.
- [3] Gisela Azevedo Menezes Brasileiro, Jhonatas Augusto Rocha Vieira, Ledjane Silva Barreto, *Use of coir pith particles in composites with Portland cement* (Department of Civil Engineering, Government College of Technology, Coimbatore 641013, Tamilnadu, India, 21 May 2019) pages 3.
- [4] Roslyn Jarawae, *The development of insulation from local plants* (Physics and General Science Department of Science Faculty of Science, Technology and Agriculture Yala Rajabhat University, 2016), page 34.
- [5] Prajak Khembubpha. (2005). A Study of General Properties of Concrete Using Recycled Concrete Coarse Aggregate Having Different Compressive Strengths. (Master's thesis, Faculty of Engineering, Kasetsart University Kamphaeng Saen).
- [6] Terdsak Saisut. (2012). *Recycled Coarse Aggregate by Residual Concrete Piles*. (Master's thesis, Faculty of Engineering, King Mongkut's University of Technology Thonburi).
- [7] Nattawoot Tengsiritum. (2015). *An Optimization Model for a Prediction on mix proportion of Cellular Lightweight Concrete* (Master's thesis, Faculty of Engineering, King Mongkut's Institute of Technology Ladkrabang).
- [8] Zaler Mundher Yaseen. (2018). *Predicting Compressive Strength of Lightweight Foamed Concrete Using Extreme Learning Machine Model*. (Science direct research paper, Faculty of Engineering and Built Environment, University Kebangsaan Malaysia).
- [9] Tuan Nguyen. (2018). *3D Meso-Scale Modelling of Foamed Concrete Based on X-Ray Computed Tomography*. (Science direct research paper, Department of Infrastructure Engineering, The University of Melbourne, Melbourne, Australia).

This material is reserved for educational use only, not allowed for commercial use.

Forbidden to modify the content, and cite the document when use.

- [10]Kai Tai Wan. (2018). *Development of Low Drying Shrinkage Foamed Concrete and Hygro-Mechanical Finite Element Model for Prefabricated Building Façade Applications*. (Department of Civil and Environmental Engineering, Brunel University London, UK).
- [11]Prasert Damrongchai. (1999). *Construction Materials. (1th ed.)*. Khonkaen: Department of Civil Engineering Faculty of Engineering Khonkaen University.
- [12]Winit Chowichian, *Concrete technology. (2001). (9th ed.)*. Khonkaen: Bangkok. Sampanpanit.
- [13]Sumate Santadwattana. (2011). *Prediction on the Properties of Cellular Light Weight Concrete from Concrete Density*. (Bachelor project, Faculty of Engineering, King Mongkut's Institute of Technology Ladkrabang).
- [14]TIS. 409-2525. *standard test method for compressive strength of cylindrical concrete specimens*. Retrieved June 6, 2018, from <http://research.rid.go.th/vijais/moa/>
- [15]TIS. 2601-2556. *Industrial product standards for Cellular Lightweight Concrete*. Retrieved June 6, 2018, from <http://research.rid.go.th/vijais/moa/>
- [16]Jaruphan Phaiphuphim. (2014). *Stress-Strain Curve of Cellular Lightweight Concrete*. (Master's thesis, Faculty of Engineering, Ubon Ratchathani University)



เอกสารนี้เป็นเอกสารที่สงวนไว้สำหรับการใช้งานเพื่อการศึกษาเท่านั้น ไม่อนุญาตให้นำไปใช้ประโยชน์ด้านการค้า
ไม่ว่ากรณีใดๆทั้งสิ้น อีกทั้งห้ามมิให้ตัดแปลงเนื้อหา และต้องอ้างอิงถึงเจ้าของเอกสารทุกครั้งที่มีการนำไปใช้

This material is reserved for educational use only, not allowed for commercial use.

Forbidden to modify the content, and cite the document when use.

ภาคผนวก ก

สัญลักษณ์

W/C ratio	=	อัตราส่วนน้ำต่อซีเมนต์
S/C ratio	=	อัตราส่วนทรายต่อซีเมนต์
ρ	=	ค่าความหนาแน่นเชิงปริมาตรในสภาพแห้ง
m	=	มวลของชิ้นทดสอบ
v	=	ปริมาตรของชิ้นทดสอบ
WA	=	เปอร์เซ็นต์การดูดซึมน้ำ
MW	=	มวลของวัสดุที่เปียก
MD	=	มวลของวัสดุที่แห้ง
Q_d	=	กำลังเฉลี่ยของเครื่องทดสอบการนำความร้อน
A	=	พื้นที่ของชิ้นงานทดสอบ
d	=	ความหนาของตัวอย่างทดสอบ
ΔT	=	ค่าความแตกต่างของอุณหภูมิระหว่างแผ่นให้ความร้อนกับตัวรับความร้อน



เอกสารนี้เป็นเอกสารที่สงวนไว้สำหรับการใช้งานเพื่อการศึกษาเท่านั้น ไม่อนุญาตให้นำไปใช้ประโยชน์ด้านการค้า
ไม่ว่ากรณีใดๆทั้งสิ้น อีกทั้งห้ามมิให้ดัดแปลงเนื้อหา และต้องอ้างอิงถึงเจ้าของเอกสารทุกครั้งที่มีการนำไปใช้

This material is reserved for educational use only, not allowed for commercial use.

Forbidden to modify the content, and cite the document when use.



เอกสารนี้เป็นเอกสารที่สงวนไว้สำหรับการใช้งานเพื่อการศึกษาเท่านั้น ไม่อนุญาตให้นำไปใช้ประโยชน์ด้านการค้า
ไม่ว่ากรณีใดๆทั้งสิ้น อีกทั้งห้ามมิให้ดัดแปลงเนื้อหา และต้องอ้างอิงถึงเจ้าของเอกสารทุกครั้งที่มีการนำไปใช้

This material is reserved for educational use only, not allowed for commercial use.

Forbidden to modify the content, and cite the document when use.

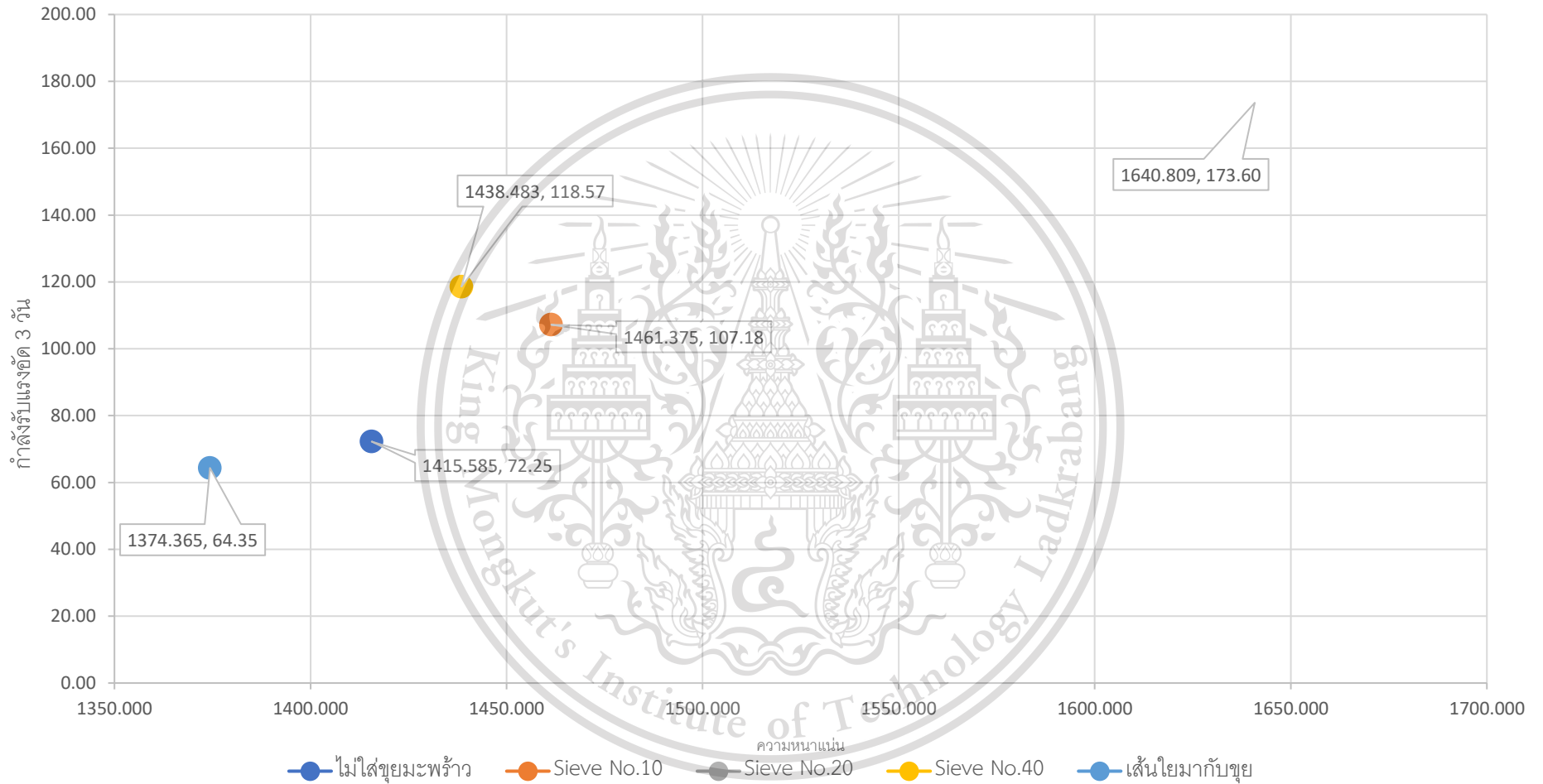
ข.1.1 การทดสอบหาขนาดขุยมะพร้าวที่เหมาะสม

ตารางที่ ข.1.1 การทดสอบหาขนาดขุยมะพร้าวที่เหมาะสม

Sieve No.	ก่อนที่	น้ำหนัก	ความหนาแน่น	ความหนาแน่น	กว้าง			Average	สูง			Average	กำลัง		หน่วยแรง	Average
		g	Kg/m ³	Kg/m ³	mm	mm	mm	m	mm	mm	mm	m	kN	kg	ksc	ksc
ไม่ใส่ขุยมะพร้าว	1	177.13	1416.08	1415.585	50.00	50.00	50.00	0.050	50.10	50.00	50.00	0.050	22.28	2271.15	90.85	72.25
	2	178.83	1423.95		50.20	50.10	50.00	0.050	50.00	50.00	50.10	0.050	18.86	1922.53	76.59	
	3	179.14	1406.72		50.80	50.00	50.60	0.050	50.00	50.00	50.00	0.050	12.32	1255.86	49.31	
10	1	188.04	1464.88	1461.375	50.40	50.60	50.40	0.050	50.40	50.40	50.40	0.050	31.15	3175.33	124.68	107.18
	2	192.04	1525.12		50.00	50.20	50.10	0.050	50.20	50.10	50.20	0.050	26.84	2735.98	109.00	
	3	177.19	1394.13		50.30	50.20	50.30	0.050	50.40	50.20	50.30	0.050	21.78	2220.18	87.87	
20	1	206.43	1639.36	1640.809	50.40	50.00	50.20	0.050	49.90	50.00	50.00	0.050	47.86	4878.70	193.60	173.60
	2	204.52	1625.29		50.10	50.10	50.20	0.050	50.00	50.10	50.10	0.050	49.34	5029.56	200.11	
	3	206.97	1657.77		50.00	50.00	50.00	0.050	50.00	50.10	49.72	0.050	31.17	3177.37	127.09	
40	1	179.57	1431.56	1438.483	50.10	50.10	50.12	0.050	49.82	50.12	49.94	0.050	30.72	3131.50	124.73	118.57
	2	179.08	1436.85		50.00	50.10	50.00	0.050	49.82	49.82	49.72	0.050	31.29	3189.60	127.41	
	3	181.07	1447.04		50.00	50.00	50.00	0.050	49.90	50.00	50.26	0.050	25.40	2589.19	103.57	
โยมะพร้าว	1	170.63	1358.35	1374.365	49.92	50.10	50.00	0.050	50.10	50.20	50.40	0.050	13.33	1358.82	54.34	64.35
	2	170.31	1345.35		50.40	50.00	50.10	0.050	50.00	50.30	50.60	0.050	13.76	1402.65	55.73	
	3	178.02	1419.39		50.20	50.10	50.00	0.050	50.00	49.90	50.00	0.050	20.43	2082.57	82.97	

การทดสอบหาขนาดขุยมะพร้าวที่เหมาะสม ในกรณี Fixed ค่า W/C , S/C และ % Foam

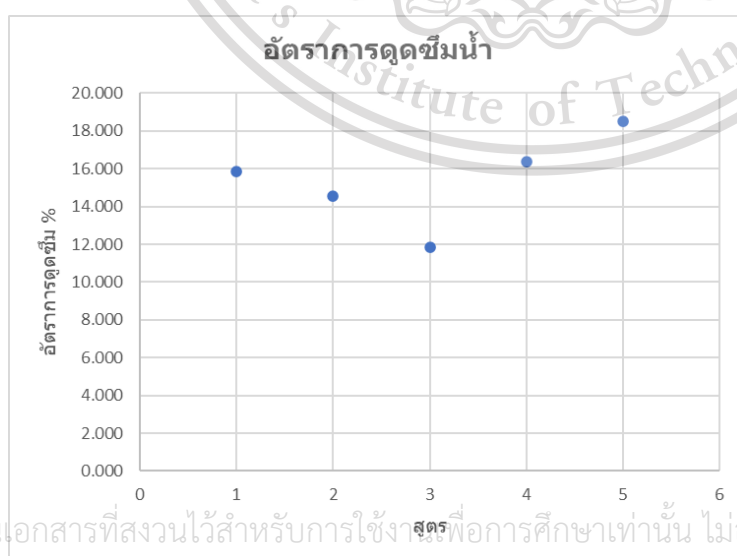
กราฟความสัมพันธ์ระหว่างความหนาแน่น - กำลังรับแรงอัด 3 วัน



รูปที่ ข.1.1 กราฟระหว่างความหนาแน่น-กำลังรับแรงอัด 3 วัน ที่หาขนาดขุยมะพร้าวที่เหมาะสม

ตารางที่ ข.1.2 ตารางอัตราการดูดซึมน้ำจากการทดสอบหาขนาดขุยมะพร้าวที่เหมาะสม

Sieve No.	ก้อนที่	น้ำหนักหลังอบ	น้ำหนักก่อนอบ	อัตราการดูดซึมน้ำ	อัตราการดูดซึมน้ำ
		g	g	%	%
ไม่ใส่ขุยมะพร้าว	1	177.13	205.00	15.74	15.867
	2	178.83	207.00	15.75	
	3	179.14	208.00	16.11	
10	1	188.04	215.00	14.34	14.533
	2	192.04	217.00	13.00	
	3	177.19	206.00	16.26	
20	1	206.43	231.00	11.91	11.828
	2	204.52	229.00	11.97	
	3	206.97	231.00	11.61	
40	1	179.57	210.00	16.95	16.360
	2	179.08	209.00	16.71	
	3	181.07	209.00	15.42	
ไยมะพร้าว	1	170.63	203.00	18.97	18.515
	2	170.31	202.00	18.61	
	3	178.02	210.00	17.97	



สูตร	หมายเหตุ
1	ไม่ใส่
2	10.000
3	20.000
4	40.000
5	เส้นไยมะพร้าว

เอกสารนี้เป็นเอกสารที่สงวนไว้สำหรับการใช้ทางวิชาการเพื่อการศึกษาเท่านั้น ไม่อนุญาตให้เผยแพร่ในเชิงพาณิชย์
 ไม่ว่ากรณีใดๆทั้งสิ้น ถือว่าห้ามมิให้ดัดแปลงเนื้อหา และต้องอ้างอิงถึงเจ้าของเอกสารทุกครั้งที่มีการนำไปใช้
 รูปที่ ข.1.2 อัตราการดูดซึมน้ำจากการทดสอบหาขนาดขุยมะพร้าวที่เหมาะสม

This material is reserved for educational use only, not allowed for commercial use.

Forbidden to modify the content, and cite the document when use.

ข.1.2 การทดสอบหาอัตราส่วนผสม

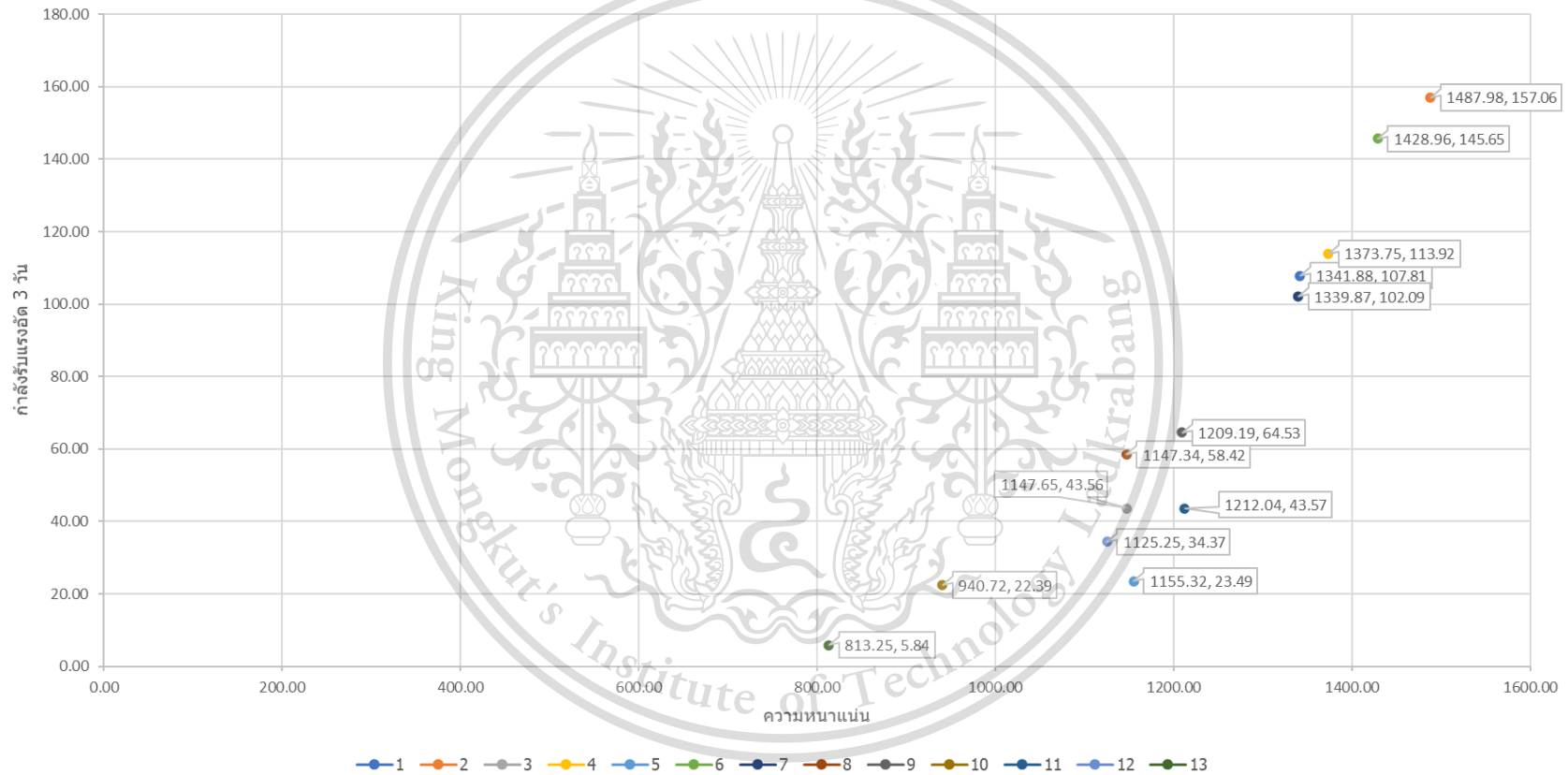
ตารางที่ ข.1.3 การทดสอบหาความหนาแน่นและกำลังรับแรงอัดของขุยมะพร้าวค้ำ sieve#20

สูตร	ก้อนที่	น้ำหนัก	ความหนาแน่น	ความหนาแน่น	กว้าง			Average	สูง			Average	กำลัง		หน่วยแรง	Average
		g	Kg/m ³	Kg/m ³	mm			m	mm			m	kN	kg	ksc	ksc
1	1	171	1339.23	1341.88	50.2	50.6	50.3	0.050	50.1	50.5	50.4	0.050	20.58	2097.86	82.70	107.81
	2	170	1365.48		50.2	49	50.2	0.050	50.2	50.2	50.2	0.050	27.99	2853.21	115.05	
	3	166	1320.94		50	50.4	49.8	0.050	50.2	50	50.2	0.050	30.91	3150.87	125.70	
2	1	190	1515.96	1487.98	50.1	50.1	50.1	0.050	50.6	49.7	49.5	0.050	39.2	3995.92	159.20	157.06
	2	186	1491.00		50	50.1	50.1	0.050	50	49.4	49.9	0.050	37.14	3785.93	151.03	
	3	182	1456.99		50.2	50	50.1	0.050	49.8	50	49.5	0.050	39.63	4039.76	160.95	
3	1	146	1170.35	1147.65	49.9	50.2	50	0.050	49.6	50	49.9	0.050	12.19	1242.61	49.64	43.56
	2	139	1116.47		49.9	50.2	50	0.050	50	49.7	49.5	0.050	8.76	892.97	35.67	
	3	145	1156.14		50.2	49.9	50.2	0.050	50	50	49.9	0.050	11.17	1138.63	45.36	
4	1	174	1387.38	1373.75	50	50	50	0.050	50.2	50	50.3	0.050	30.37	3095.82	123.83	113.92
	2	174	1382.77		50.2	50.2	50.1	0.050	50	50	50	0.050	29.57	3014.27	119.77	
	3	169	1351.10		50	50	50	0.050	50	50.1	50	0.050	24.07	2453.62	98.14	

5	1	141	1136.33	1155.32	50	50	50	0.050	49.6	49.4	49.9	0.050	5.26	536.19	21.45	23.49
	2	149	1184.11		50.2	50.2	50.3	0.050	50	50	49.6	0.050	6.47	659.53	26.14	
	3	143	1145.53		50.1	50	50	0.050	49.8	49.8	50	0.050	5.62	572.88	22.88	
6	1	178	1417.44	1428.96	49.6	50.6	50.6	0.050	49.8	49.7	49.6	0.050	35.97	3666.67	145.11	145.65
	2	180	1443.08		50.6	49.6	50.7	0.050	49.2	49.2	49.5	0.049	40.15	4092.76	161.76	
	3	179	1426.36		50.6	49.6	50.6	0.050	49.7	49.5	49.8	0.050	32.24	3286.44	130.07	
7	1	168	1345.80	1339.87	50	50.1	50	0.050	49.6	50.2	49.8	0.050	26.16	2666.67	106.52	102.09
	2	166	1336.02		50	50	50	0.050	50.1	50	49	0.050	23.18	2362.90	94.52	
	3	167	1337.78		50	50	50	0.050	50	50	49.8	0.050	25.81	2630.99	105.24	
8	1	146	1171.12	1147.34	49.8	50.3	49.9	0.050	50	49.6	50	0.050	15.17	1546.38	61.86	58.42
	2	152	1082.16		49.7	59.4	49.8	0.053	50	50	50.2	0.050	14.28	1455.66	51.89	
	3	148	1188.76		49.8	50.2	50	0.050	50	49.8	49.6	0.050	15.09	1538.23	61.53	
9	1	155	1251.68	1209.19	50	50	50	0.050	49.5	49.4	49.7	0.050	18.66	1902.14	76.09	64.53
	2	147	1183.10		50	50	50	0.050	49.7	49.7	49.7	0.050	13.41	1366.97	54.68	
	3	148	1192.80		50.1	50	50.2	0.050	49.6	49.5	49.2	0.049	15.47	1576.96	62.83	
10	1	122	965.03	940.72	50.5	49.4	50.5	0.050	50.2	50.5	50.2	0.050	5.69	580.02	23.08	22.39
	2	124	999.98		50	49.4	50	0.050	50	50	50	0.050	7.84	799.18	32.22	
	3	107	857.14		50	49.5	50.4	0.050	50	50	50	0.050	2.91	296.64	11.88	

11	1	150	1200.83	1212.04	50.2	50	50.2	0.050	49.7	49.8	49.6	0.050	11	1121.30	44.61	43.57
	2	152	1220.08		50	50.2	50	0.050	49.6	49.7	49.8	0.050	11.08	1129.46	45.06	
	3	152	1215.19		50	50.1	50	0.050	49.8	49.6	50.5	0.050	10.08	1027.52	41.05	
12	1	138	1118.97	1125.25	50	50.4	49.8	0.050	49.2	49.2	49.2	0.049	7.58	772.68	30.82	34.37
	2	140	1123.03		50	50.5	49.9	0.050	49.4	49.4	50	0.050	8.46	862.39	34.31	
	3	142	1133.74		50.1	50.2	50.1	0.050	50	49.6	49.9	0.050	9.36	954.13	37.96	
13	1	97	790.76	813.25	50	50	50	0.050	49	49	49.2	0.049	1.37	139.65	5.59	5.84
	2	107	865.84		50.4	49.6	50.2	0.050	49.5	49	49.4	0.049	1.67	170.23	6.79	
	3	96	783.14		50	50	50	0.050	48.8	49.1	49.2	0.049	1.26	128.44	5.14	

กราฟความสัมพันธ์ระหว่างความหนาแน่น - กำลังรับแรงอัด 3 วัน ขุยมะพร้าวเบอร์ 20



รูปที่ ข.1.3 กราฟระหว่างความหนาแน่น - กำลังรับแรงอัด 3 วัน ของขุยมะพร้าวค้ำ sieve#20

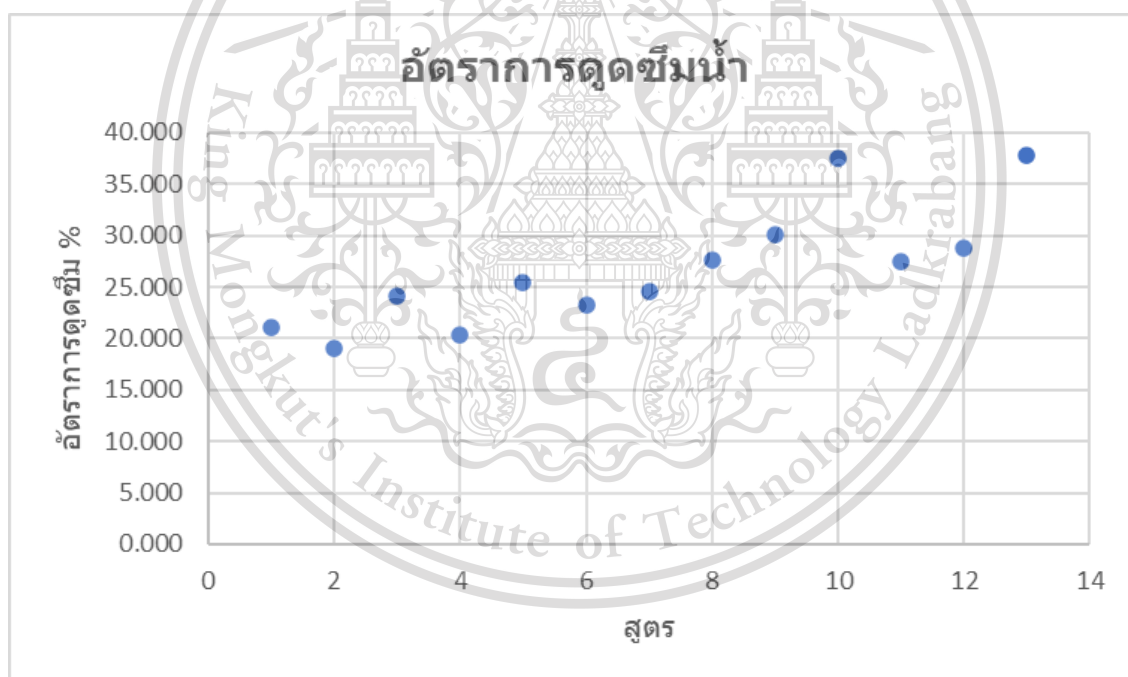
ตารางที่ ข.1.4 อัตราการดูดซึมน้ำของขุยมะพร้าวค้ำ sieve#20

สูตร	ก้อนที่	น้ำหนักหลังอบ	น้ำหนักก่อนอบ	อัตราการดูดซึมน้ำ	อัตราการดูดซึมน้ำ
		g	g	%	%
1	1	171	208.00	21.64	21.108
	2	170	204.00	20.00	
	3	166	202.00	21.69	
2	1	190	223.00	17.37	19.029
	2	186	219.00	17.74	
	3	182	222.00	21.98	
3	1	146	184.00	26.03	24.186
	2	139	173.00	24.46	
	3	145	177.00	22.07	
4	1	174	210.00	20.69	20.313
	2	174	208.00	19.54	
	3	169	204.00	20.71	
5	1	141	176.00	24.82	25.419
	2	149	185.00	24.16	
	3	143	182.00	27.27	
6	1	178	221.00	24.16	23.282
	2	180	219.00	21.67	
	3	179	222.00	24.02	
7	1	168	207.00	23.21	24.553
	2	166	206.00	24.10	
	3	167	211.00	26.35	
8	1	146	188.00	28.77	27.601
	2	152	191.00	25.66	
	3	148	190.00	28.38	
9	1	155	199.00	28.39	30.027
	2	147	192.00	30.61	
10	1	122	166.00	36.07	37.557
	2	124	168.00	35.48	

เอกสารนี้เป็นเอกสารที่สงวนไว้สำหรับใช้งาน 148 ชั่วโมง 194.00 31.08 อนุญาตให้นำไปใช้ประโยชน์ด้านการค้า

ไม่ว่ากรณีใดๆทั้งสิ้น อีกทั้งห้ามมิให้เผยแพร่เปลี่ยนแปลงเนื้อหา และต้องอ้างอิงถึงเจ้าของเอกสารทุกครั้งที่มีการนำไปใช้

	3	107	151.00	41.12	
11	1	150	193.00	28.67	27.538
	2	152	194.00	27.63	
	3	152	192.00	26.32	
12	1	138	177.00	28.26	28.807
	2	140	181.00	29.29	
	3	142	183.00	28.87	
13	1	97	134.00	38.14	37.783
	2	107	144.00	34.58	
	3	96	135.00	40.63	



รูปที่ ข.1.4 กราฟอัตราการดูดซึมน้ำของขุยมะพร้าวค้ำ sieve#20

เอกสารนี้เป็นเอกสารที่สงวนไว้สำหรับการใช้งานเพื่อการศึกษาเท่านั้น ไม่อนุญาตให้นำไปใช้ประโยชน์ด้านการค้า
ไม่ว่ากรณีใดๆทั้งสิ้น อีกทั้งห้ามมิให้ดัดแปลงเนื้อหา และต้องอ้างอิงถึงเจ้าของเอกสารทุกครั้งที่มีการนำไปใช้

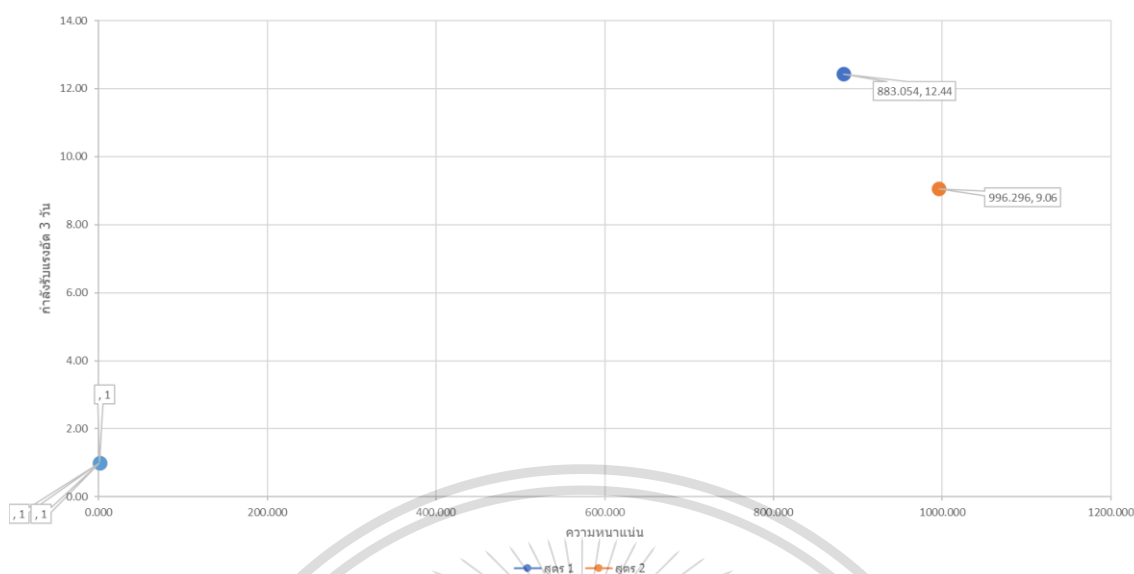
This material is reserved for educational use only, not allowed for commercial use.

Forbidden to modify the content, and cite the document when use.

ตารางที่ ข.1.5 การทดสอบของขุยมะพร้าวค้ำ sieve#20 แก้วสูตรที่ 1 และ 2

สูตร	NO.	น้ำหนัก	ความหนาแน่น	ความหนาแน่น	กว้าง			Average	สูง			Average	กำลัง		หน่วยแรง	Average
		g	Kg/m ³	Kg/m ³	mm			m	mm			m	kN	kg	ksc	ksc
1	1	110.00	891.98	883.054	50.2	50	50.2	0.050	49.1	49	49.1	0.049	3.27	333.33	13.26	12.44
	2	105.00	837.77		50	50.2	50.2	0.050	49.8	49.8	50	0.050	2.51	255.86	10.18	
	3	114.00	919.41		50	50.2	50.2	0.050	49.6	49.2	49.2	0.049	3.42	348.62	13.87	
2	1	126.00	992.04	996.296	50.2	50.4	50.2	0.050	50	50.8	50	0.050	2.22	226.30	8.96	9.06
	2	126.00	1013.50		50.2	50.2	50.2	0.050	50	48.6	49.4	0.049	2.18	222.22	8.82	
	3	123.00	983.35		50	50.1	50.1	0.050	50.4	50.1	49.2	0.050	2.31	235.47	9.39	

กราฟความสัมพันธ์ระหว่างความหนาแน่น - กำลังรับแรงอัด 3 วัน



รูปที่ ข.1. 5 กราฟระหว่างความหนาแน่นของขุยมะพร้าวค้ำ sieve#20 แก้วสูตรที่ 1 และ 2

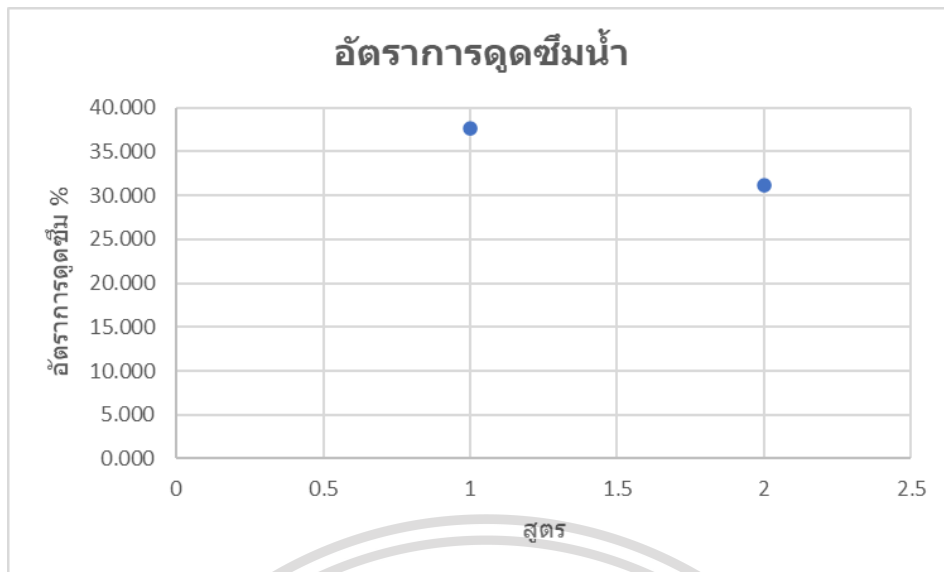
ตารางที่ ข.1.6 อัตราการดูดซึมน้ำของขุยมะพร้าวค้ำ sieve#20 แก้วสูตรที่ 1 และ 2

สูตร	ก้อนที่	น้ำหนักหลังอบ	น้ำหนักก่อนอบ	อัตราการดูดซึมน้ำ	อัตราการดูดซึมน้ำ
		g	g	%	%
ไม้ใส่ขุยมะพร้าว	1	110.00	152.00	38.18	37.706
	2	105.00	145.00	38.10	
	3	114.00	156.00	36.84	
Sieve No.10	1	126.00	164.00	30.16	31.204
	2	126.00	166.00	31.75	
	3	123.00	162.00	31.71	

เอกสารนี้เป็นเอกสารที่สงวนไว้สำหรับการใช้งานเพื่อการศึกษาเท่านั้น ไม่อนุญาตให้นำไปใช้ประโยชน์ด้านการค้า
ไม่ว่ากรณีใดๆทั้งสิ้น อีกทั้งห้ามมิให้ดัดแปลงเนื้อหา และต้องอ้างอิงถึงเจ้าของเอกสารทุกครั้งที่มีการนำไปใช้

This material is reserved for educational use only, not allowed for commercial use.

Forbidden to modify the content, and cite the document when use.



รูปที่ ข.1.6 กราฟอัตราการดูดซึมน้ำของขุยมะพร้าวค้ำ sieve#20 แก้วสูตรที่ 1 และ 2



เอกสารนี้เป็นเอกสารที่สงวนไว้สำหรับการใช้งานเพื่อการศึกษาเท่านั้น ไม่อนุญาตให้นำไปใช้ประโยชน์ด้านการค้า
ไม่ว่ากรณีใดๆทั้งสิ้น อีกทั้งห้ามมิให้ดัดแปลงเนื้อหา และต้องอ้างอิงถึงเจ้าของเอกสารทุกครั้งที่มีการนำไปใช้

This material is reserved for educational use only, not allowed for commercial use.

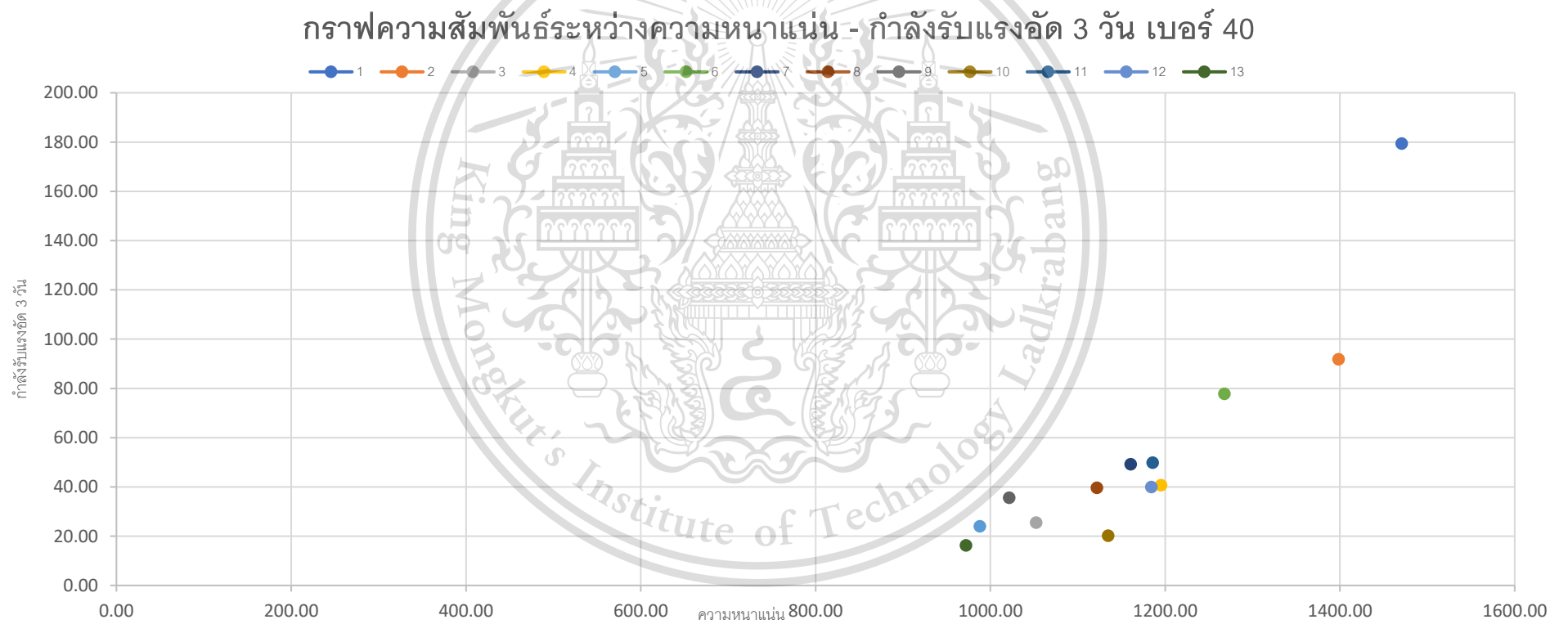
Forbidden to modify the content, and cite the document when use.

ตารางที่ ข.1.7 การทดสอบหาความหนาแน่นและกำลังรับแรงอัดของขุยมะพร้าวค้ำค้ำ sieve#40

สูตร	ก้อนที่	น้ำหนัก	ความหนาแน่น	ความหนาแน่น	กว้าง			Average	สูง			Average	กำลัง		หน่วยแรง	Average
		g	Kg/m ³	Kg/m ³	mm			m	mm			m	kN	kg	ksc	ksc
1	1	180	1445.82	1470.52	50.1	50.2	50	0.050	49	49.8	50	0.050	43.51	4435.27	176.70	179.40
	2	188	1502.02		50.1	50.2	50.1	0.050	50	49.6	49.8	0.050	44.62	4548.42	180.97	
	3	181	1463.73		50.1	50.2	50.1	0.050	49.2	49.2	49.2	0.049	44.51	4537.21	180.52	
2	1	178	1406.13	1398.44	50.2	50.4	50.3	0.050	50	50	50.1	0.050	24.73	2520.90	99.64	91.86
	2	181	1424.14		50.2	50.2	50.2	0.050	50.5	50.8	50	0.050	20.25	2064.22	81.91	
	3	172	1365.05		50	50.2	50.1	0.050	50.2	50.4	50	0.050	23.15	2359.84	94.02	
3	1	133	1089.24	1052.49	49.4	50.4	49.4	0.050	49.6	49.5	49	0.049	6.91	704.38	28.48	25.52
	2	135	1100.47		49.6	50.6	49.5	0.050	49	49.4	49.4	0.049	5.69	580.02	23.29	
	3	118	967.77		49.6	50.4	49.6	0.050	48.3	49.8	49	0.049	6.05	616.72	24.80	
4	1	153	1212.68	1195.24	50.3	50.4	50.2	0.050	50.2	49.6	49.8	0.050	9.72	990.83	39.16	40.75
	2	148	1173.83		50.1	50.4	50.4	0.050	49.5	50	50	0.050	8.42	858.31	33.92	
	3	150	1199.20		50	50.2	50	0.050	49.8	50.1	49.8	0.050	12.09	1232.42	49.17	
5	1	121	995.81	987.91	49.8	50.2	49.8	0.050	49	48.6	48.6	0.049	5.88	599.39	24.04	24.09
	2	126	1028.63		49.9	49.9	50.4	0.050	48.8	49.1	48.7	0.049	6.1	621.81	24.81	
	3	116	939.29		50	50.4	49.7	0.050	49.4	49.3	49.3	0.049	5.75	586.14	23.41	

6	1	158	1277.63	1267.71	50	50	50	0.050	49.6	49.4	49.4	0.049	18.5	1885.83	75.43	77.84
	2	153	1227.32		50.4	50	50	0.050	49.6	49.6	49.6	0.050	18.04	1838.94	73.17	
	3	160	1298.17		50	50	50	0.050	49.4	49	49.5	0.049	20.83	2123.34	84.93	
7	1	140	1130.55	1160.44	50	50	50	0.050	49.4	50	49.2	0.050	10.8	1100.92	44.04	49.20
	2	145	1169.39		50	50.2	50	0.050	49.2	49.2	50	0.049	11.98	1221.20	48.72	
	3	146	1181.37		50	50	49.9	0.050	49.3	49.6	49.6	0.050	13.43	1369.01	54.83	
8	1	138	1099.61	1121.76	50.1	50.2	50.2	0.050	50	50	49.6	0.050	9.32	950.05	37.75	39.64
	2	144	1146.71		50.2	50.4	50.3	0.050	49.6	49.5	49.8	0.050	10.48	1068.30	42.22	
	3	138	1118.97		50	50.1	50.1	0.050	49.6	48.6	49.4	0.049	9.58	976.55	38.96	
9	1	134	1079.95	1021.63	50.2	50	50	0.050	49.5	49.6	49.4	0.050	9.93	1012.23	40.38	35.68
	2	129	1021.10		50.4	50.2	50.4	0.050	50	50	49.6	0.050	9.49	967.38	38.18	
	3	122	963.84		50.5	50.4	50.6	0.051	50	49.3	49.6	0.050	7.12	725.79	28.46	
10	1	125	1027.40	1134.67	50	50	50	0.050	48.6	49	48.4	0.049	5.32	542.30	21.69	20.17
	2	120	987.39		49.6	49.4	49.6	0.050	49.4	50	49.2	0.050	4.7	479.10	19.53	
	3	114	1389.23		49.6	49	49	0.049	48.1	48.6	5	0.034	4.58	466.87	19.29	
11	1	146	1188.66	1185.81	50	50.2	50	0.050	49	49	49	0.049	11.89	1212.03	48.35	49.83
	2	147	1181.52		50	50.2	49.9	0.050	50	49.4	49.7	0.050	12.83	1307.85	52.24	
	3	149	1187.25		49.9	50.4	49.8	0.050	50	50.4	50	0.050	12.01	1224.26	48.91	
12	1	146	1179.06	1184.37	50	50.3	50	0.050	49.7	49.1	49.2	0.049	9.52	970.44	38.66	39.97
	2	147	1185.52		50	50.2	50	0.050	49.6	49.6	49.2	0.049	9.47	965.34	38.51	
	3	145	1188.52		50	50	50	0.050	48.8	49	48.6	0.049	10.48	1068.30	42.73	

13	1	120	991.05	972.20	50	50	50	0.050	48.6	48.7	48	0.048	4.26	434.25	17.37	16.25
	2	117	954.45		50	50	50	0.050	49.1	49	49	0.049	3.42	348.62	13.94	
	3	118	971.09		49.7	50.2	49.8	0.050	49	49.2	48.2	0.049	4.26	434.25	17.44	

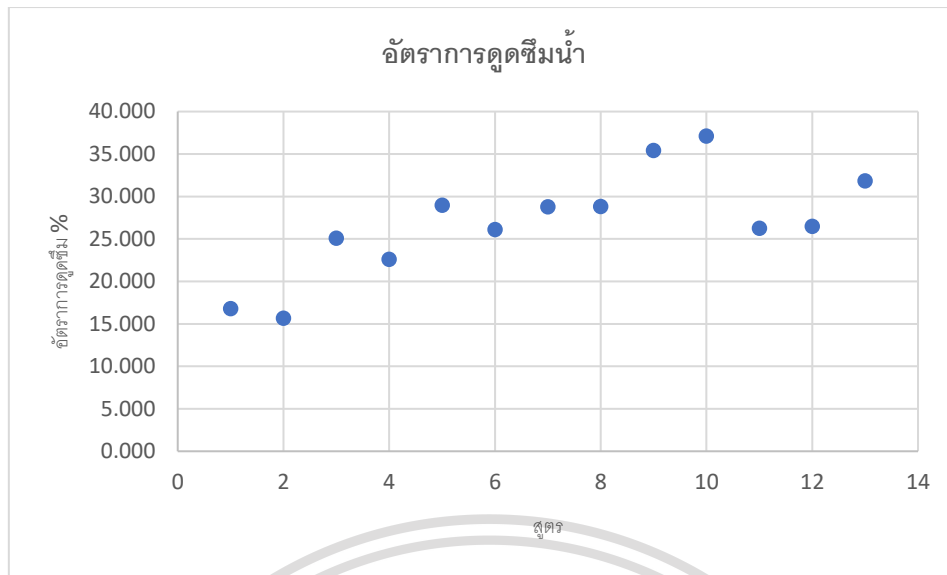


รูปที่ ข.1.7 กราฟระหว่างความหนาแน่น - กำลังรับแรงอัด 3 วัน ของขุยมะพร้าวค้ำค้ำ sieve#20

ตารางที่ ข.1.8 อัตราการดูดซึมน้ำของขุยมะพร้าวค้ำค้ำ sieve#20

สูตร	ก้อนที่	น้ำหนักหลังอบ	น้ำหนักก่อนอบ	อัตราการดูดซึมน้ำ	อัตราการดูดซึมน้ำ
		g	g	%	%
1	1	180	213.00	18.33	16.792
	2	188	215.00	14.36	
	3	181	213.00	17.68	
2	1	178	208.00	16.85	15.668
	2	181	204.00	12.71	
	3	172	202.00	17.44	
3	1	133	166.00	24.81	25.071
	2	135	163.00	20.74	
	3	118	153.00	29.66	
4	1	153	188.00	22.88	22.610
	2	148	180.00	21.62	
	3	150	185.00	23.33	
5	1	121	156.00	28.93	28.959
	2	126	161.00	27.78	
	3	116	151.00	30.17	
6	1	158	199.00	25.95	26.124
	2	153	194.00	26.80	
	3	160	201.00	25.63	

7	1	140	182.00	30.00	28.786
	2	145	186.00	28.28	
	3	146	187.00	28.08	
8	1	138	178.00	28.99	28.804
	2	144	186.00	29.17	
	3	138	177.00	28.26	
9	1	134	178.00	32.84	35.400
	2	129	175.00	35.66	
	3	122	168.00	37.70	
10	1	125	169.00	35.20	37.099
	2	120	165.00	37.50	
	3	114	158.00	38.60	
11	1	146	185.00	26.71	26.249
	2	147	186.00	26.53	
	3	149	187.00	25.50	
12	1	146	185.00	26.71	26.483
	2	147	186.00	26.53	
	3	145	183.00	26.21	
13	1	120	157.00	30.83	31.838
	2	117	155.00	32.48	
	3	118	156.00	32.20	



รูปที่ ข.1.8 อัตราการผลิตซีเมนต์ของขุยมะพร้าวค้ำค้ำ sieve#20



เอกสารนี้เป็นเอกสารที่สงวนไว้สำหรับการใช้งานเพื่อการศึกษาเท่านั้น ไม่อนุญาตให้นำไปใช้ประโยชน์ด้านการค้า
ไม่ว่ากรณีใดๆทั้งสิ้น อีกทั้งห้ามมิให้ดัดแปลงเนื้อหา และต้องอ้างอิงถึงเจ้าของเอกสารทุกครั้งที่มีการนำไปใช้

This material is reserved for educational use only, not allowed for commercial use.

Forbidden to modify the content, and cite the document when use.

ข.2 การทดสอบหาอัตราส่วนผสมที่เหมาะสม

ตารางที่ ข.2.1 การทดสอบจากการ Vary Foam 0% 25% 50% 75% และ 100%

สูตร	ก้อนที่	น้ำหนัก	ความหนาแน่น	ความหนาแน่น	กว้าง			Average	สูง			Average	กำลัง		หน่วยแรง	Average
		g	Kg/m ³	Kg/m ³	mm			m	mm			m	kN	kg	ksc	ksc
1	1	189	1493.02	1465.581	50.3	50.3	50.3	0.050	50.1	50	50	0.050	26.86	2738.02	108.22	113.16
	2	184	1457.38		50.2	50.2	50.2	0.050	49.9	50.2	50.2	0.050	31.71	3232.42	128.27	
	3	182	1446.34		50.1	50.2	50.2	0.050	50	50	50	0.050	25.43	2592.25	103.00	
2	1	212	1683.62	1673.134	50.1	50.1	50.1	0.050	50.2	50.2	50.1	0.050	59.83	6098.88	242.98	270.90
	2	209	1679.87		50.2	50	50	0.050	49.8	49.7	49.4	0.050	76.57	7805.30	311.38	
	3	206	1655.91		50.2	50.1	50.4	0.050	49.2	49.2	49.5	0.049	63.95	6518.86	258.34	
3	1	158	1271.63	1297.276	50	50	50	0.050	50	49.7	49.4	0.050	35.11	3579.00	143.16	142.67
	2	160	1362.47		50	50.4	50.2	0.050	49.8	49.5	40.5	0.047	35.14	3582.06	142.14	
	3	157	1257.73		50.1	50.1	50.3	0.050	49.6	49.4	49.8	0.050	35.23	3591.23	142.70	
4	1	164	1335.18	1339.638	49.8	50.4	49.9	0.050	48.7	48.9	49.6	0.049	44.06	4491.34	179.41	179.23
	2	164	1335.14		49.8	50.4	49.8	0.050	49.1	48.7	49.6	0.049	44.75	4561.67	182.47	
	3	166	1348.60		49.6	50.2	49.8	0.050	50.3	49.1	49.1	0.050	42.89	4372.07	175.82	
5	1	182	1453.10	1442.984	49.8	50.3	49.8	0.050	50	50.4	50.1	0.050	38.54	3928.64	157.36	149.12

	2	181	1450.90		49.8	50.1	49.9	0.050	50	50	50.1	0.050	35.96	3665.65	147.02	
	3	178	1424.95		49.9	50.1	49.9	0.050	50.2	49.8	50.1	0.050	35.02	3569.83	142.98	
6	1	142	1138.28	1064.825	50	50	50	0.050	50	49.9	49.8	0.050	8.39	855.25	34.21	27.84
	2	131	1051.51		50	50	50.1	0.050	49.8	49.8	49.7	0.050	6.23	635.07	25.37	
	3	125	1004.69		50	50	50	0.050	49.6	49.7	50	0.050	5.87	598.37	23.93	
7	1	124	1005.56	1032.884	50.2	50.2	50.2	0.050	49.2	49	48.6	0.049	6.41	653.41	25.93	27.59
	2	128	1044.28		50	50.1	50.2	0.050	48.2	48.8	49.5	0.049	6.81	694.19	27.66	
	3	129	1048.80		50	50.1	50	0.050	49	49.4	49	0.049	7.17	730.89	29.20	
8	1	107	867.58	854.378	50.6	50.5	50.6	0.051	47.7	48	49	0.048	3.49	355.76	13.91	12.85
	2	106	859.36		50.5	50.5	50.5	0.051	48.2	47.9	49	0.048	3.22	328.24	12.87	
	3	102	836.19		50.2	50	50.2	0.050	48.1	48.5	49	0.049	2.9	295.62	11.76	
9	1	165	1304.37	1358.393	49.5	50.8	49.6	0.050	50.6	50.8	50.6	0.051	20.33	2072.38	83.01	92.11
	2	170	1360.92		49.5	50.6	49.6	0.050	50.1	50.2	50.2	0.050	20.98	2138.63	85.89	
	3	176	1409.89		49.6	50.5	49.6	0.050	50.2	50.2	50	0.050	26.24	2674.82	107.42	
10	1	178	1433.55	1415.724	49.8	50.3	49.8	0.050	49.6	49.8	49.8	0.050	29.9	3047.91	122.08	119.73
	2	175	1403.74		49.7	50.4	49.8	0.050	50	50	49.8	0.050	28.53	2908.26	116.49	
	3	176	1409.88		49.8	50.4	49.9	0.050	50	49.8	49.8	0.050	29.62	3019.37	120.61	
11	1	146	1178.18	1159.594	49.8	50.1	49.8	0.050	49.8	49.8	49.7	0.050	18.22	1857.29	74.59	72.92
	2	146	1168.81		50	50.2	50.2	0.050	49.7	49.6	49.8	0.050	18	1834.86	73.00	

	3	141	1131.79		50	50.2	50	0.050	49.5	50	49.6	0.050	17.5	1783.89	71.17	
12	1	120	974.29	974.828	49.8	50.5	49.7	0.050	49.5	49.2	49.1	0.049	9.17	934.76	37.39	34.63
	2	123	1011.47		49.4	50.3	49.7	0.050	49.4	49.1	48.6	0.049	8.46	862.39	34.77	
	3	114	938.72		49.5	50.2	49.6	0.050	49	49.2	48.9	0.049	7.71	785.93	31.73	



ตารางที่ ข.2.2 อัตราการดูดซึมน้ำ การทดสอบ Vary Foam 0% 25% 50% 75% และ 100%

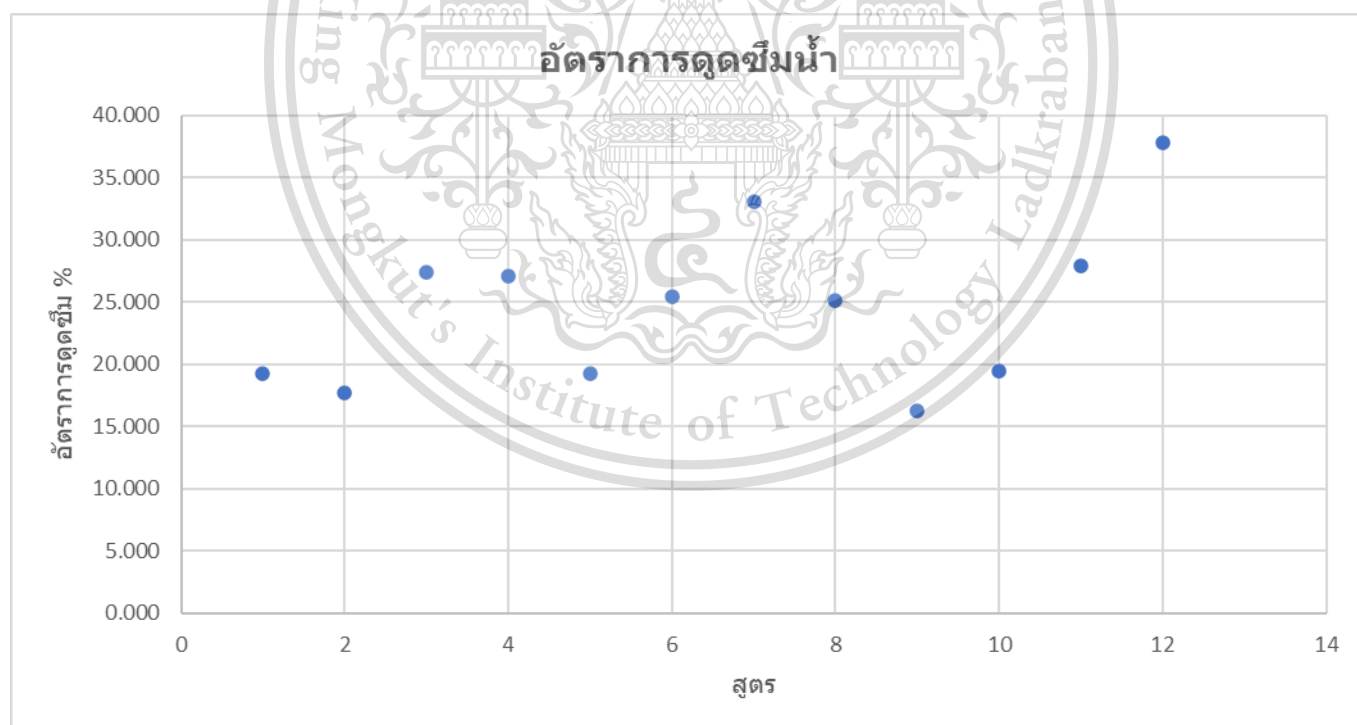
สูตร	ก้อนที่	น้ำหนักหลังอบ	น้ำหนักก่อนอบ	อัตราการดูดซึมน้ำ	อัตราการดูดซึมน้ำ
		g	g	%	%
1	1	189	225.00	19.05	19.281
	2	184	220.00	19.57	
	3	182	217.00	19.23	
2	1	212	250.00	17.92	17.704
	2	209	245.00	17.22	
	3	206	243.00	17.96	
3	1	158	201.00	27.22	27.368
	2	160	204.00	27.50	
	3	157	200.00	27.39	
4	1	164	208.00	26.83	27.126
	2	164	209.00	27.44	
	3	166	211.00	27.11	
5	1	182	217.00	19.23	19.223
	2	181	216.00	19.34	
	3	178	212.00	19.10	
6	1	142	177.00	24.65	25.401
	2	131	165.00	25.95	
	3	125	157.00	25.60	
7	1	124	166.00	33.87	33.081
	2	128	170.00	32.81	
	3	129	171.00	32.56	
8	1	106	151.00	42.45	25.143
	2	102	148.00	45.10	
	3	165	145.00	12.12	

เอกสารนี้เป็นเอกสารที่สงวนไว้สำหรับการใช้งานเพื่อการศึกษาเท่านั้น ไม่อนุญาตให้นำไปใช้ประโยชน์ทางการค้า
ไม่ว่ากรณีใดๆทั้งสิ้น อีกทั้งห้ามมิได้ดัดแปลงเนื้อหาหรืออ้างอิงถึงเจ้าออกเอกสารทุกครั้งที่มีการนำไปใช้

This material is reserved for educational use only, not allowed for commercial use.

Forbidden to modify the content, and cite the document when use.

9	1	165	192.00	16.36	16.248
	2	170	198.00	16.47	
	3	176	204.00	15.91	
10	1	178	212.00	19.10	19.473
	2	175	210.00	20.00	
	3	176	210.00	19.32	
11	1	146	186.00	27.40	27.949
	2	146	187.00	28.08	
	3	141	181.00	28.37	
12	1	120	165.00	37.50	37.853
	2	123	168.00	36.59	
	3	114	159.00	39.47	



รูปที่ ข.2.1 อัตราการดูดซึมน้ำ จากการทดสอบ Vary Foam 0% 25% 50% 75% และ 100%

เอกสารนี้เป็นเอกสารที่สงวนไว้สำหรับการใช้งานเพื่อการศึกษาเท่านั้น ไม่อนุญาตให้นำไปใช้ประโยชน์ด้านการค้า
ไม่ว่ากรณีใดๆทั้งสิ้น อีกทั้งห้ามมิให้ดัดแปลงเนื้อหา และต้องอ้างอิงถึงเจ้าของเอกสารทุกครั้งที่มีการนำไปใช้

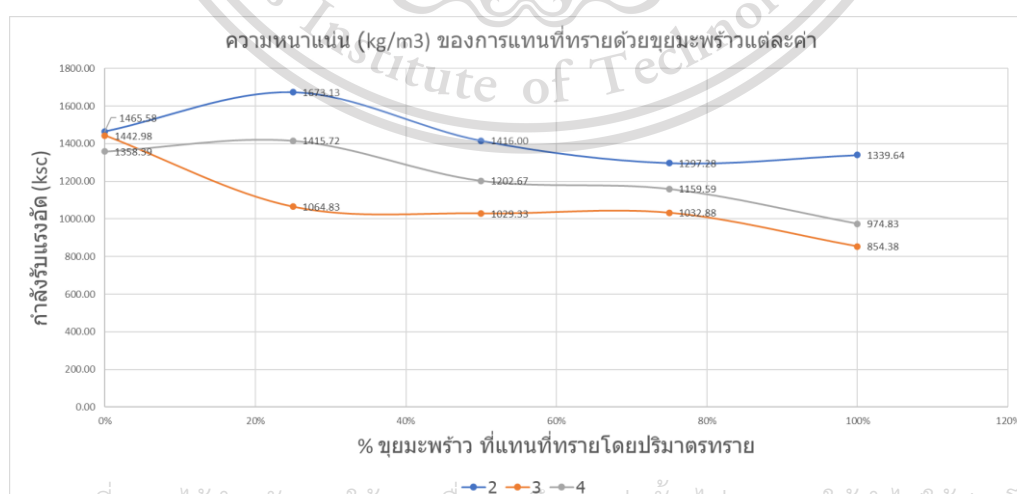
This material is reserved for educational use only, not allowed for commercial use.

Forbidden to modify the content, and cite the document when use.

เมื่อทำการรวมค่าความหนาแน่น กำลังรับแรงอัดของ และอัตราการดูดซึมน้ำ ที่เกิดจาก Vary Foam 0% 25% 50% 75% และ 100% ทั้งหมดจะได้ดังตาราง

ตารางที่ ข.2.3 ค่าความหนาแน่น กำลังรับแรงอัดของ และอัตราการดูดซึมน้ำ ที่เกิดจาก Vary Foam

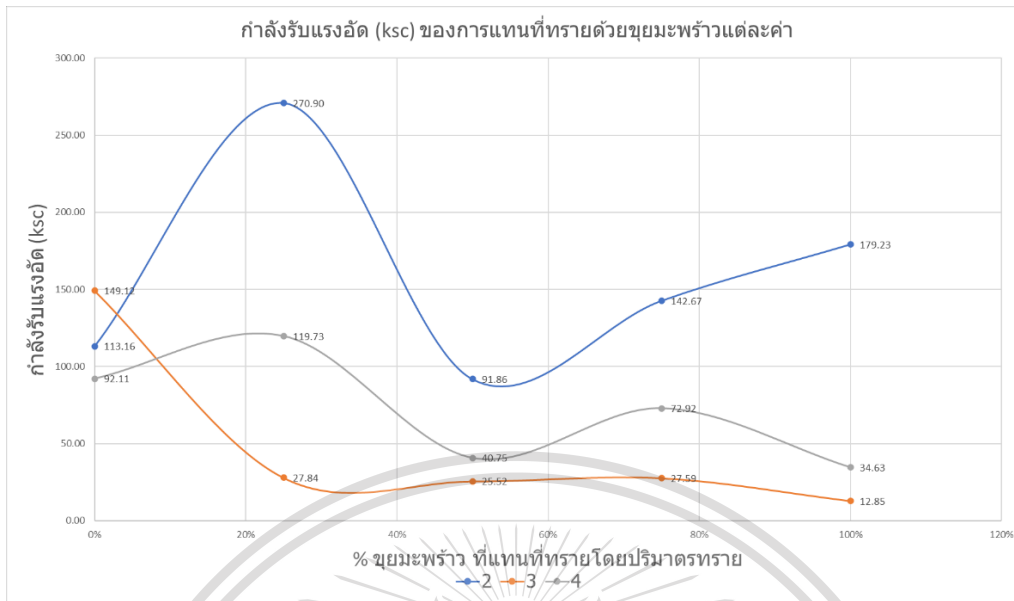
สูตร	No.	% ขุยมะพร้าว	กำลังรับแรงอัด (ksc)	ความหนาแน่น (kg/m ³)	อัตราการดูดซึมน้ำ (%)
2	1	0%	113.16	1465.58	19.28
	2	25%	270.90	1673.13	17.70
	3	50%	91.86	1416.00	15.67
	4	75%	142.67	1297.28	27.37
	5	100%	179.23	1339.64	27.13
3	6	0%	149.12	1442.98	19.22
	7	25%	27.84	1064.83	25.40
	8	50%	25.52	1029.33	25.07
	9	75%	27.59	1032.88	33.08
	10	100%	12.85	854.38	25.14
4	11	0%	92.11	1358.39	16.25
	12	25%	119.73	1415.72	19.47
	13	50%	40.75	1202.67	22.61
	14	75%	72.92	1159.59	27.95
	15	100%	34.63	974.83	37.85



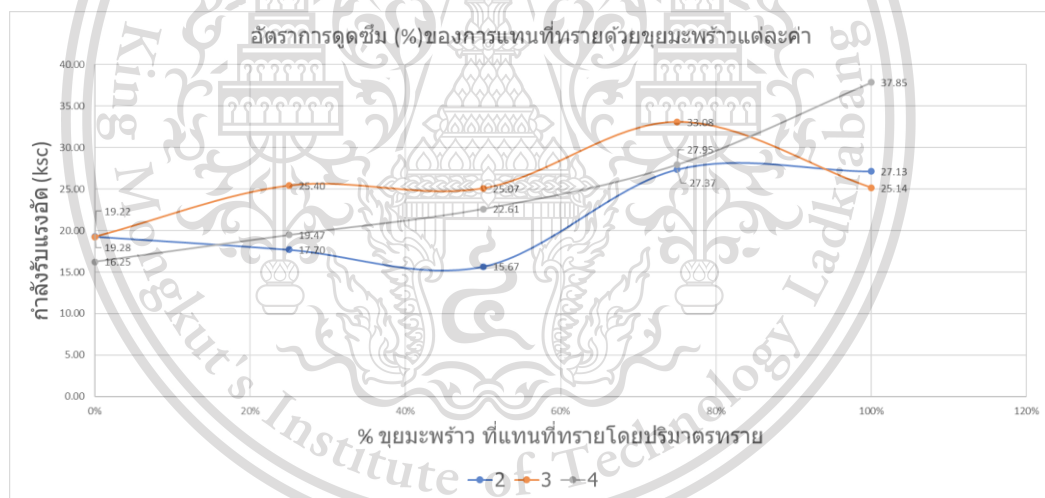
เอกสารนี้เป็นเอกสารที่สงวนไว้สำหรับการใช้งานเพื่อการศึกษาเท่านั้น ไม่อนุญาตให้นำไปใช้ประโยชน์ด้านการค้า
ไม่ว่ากรณีใดๆทั้งสิ้น อีกทั้งห้ามนำรูปที่ ข.2.2 กราฟแสดงความหนาแน่น (Kg /m³) เอกสารทุกครั้งที่มีการนำไปใช้

This material is reserved for educational use only, not allowed for commercial use.

Forbidden to modify the content, and cite the document when use.



รูปที่ ข.2.3 กราฟกำลังรับแรงอัด (ksc)



รูปที่ ข.2.4 กราฟแสดงอัตราการดัดขึ้น (%)

เอกสารนี้เป็นเอกสารที่สงวนไว้สำหรับการใช้งานเพื่อการศึกษาเท่านั้น ไม่อนุญาตให้นำไปใช้ประโยชน์ด้านการค้า
ไม่ว่ากรณีใดๆทั้งสิ้น อีกทั้งห้ามมิให้ดัดแปลงเนื้อหา และต้องอ้างอิงถึงเจ้าของเอกสารทุกครั้งที่มีการนำไปใช้

This material is reserved for educational use only, not allowed for commercial use.

Forbidden to modify the content, and cite the document when use.

ตารางที่ ข.2.4 ผลจากการ Vary ขุยมะพร้าว ,W/C=0.4,0.6 และทำการ Fixed Foam 100% ,S/C=1

สูตร	ก้อน ที่	น้ำหนัก g	ความ หนาแน่น Kg/m ³	ความ หนาแน่น Kg/m ³	กว้าง			Average m	สูง			Average m	กำลัง		หน่วย แรง ksc	Average ksc
					mm	mm	mm		mm	mm	mm		kN	kg		
0	1	170	1326.12	1368.478	50.4	50.5	50.4	0.050	50.7	50.2	50.3	0.050		0.00	0.00	0.00
	2	174	1357.35		50.3	50.4	50.2	0.050	50.4	51	50.6	0.051		0.00	0.00	
	3	180	1421.97		50.1	50	50	0.050	50.2	50.7	50.8	0.051		0.00	0.00	
1	1	158	1255.61	1189.218	50	50.1	50.2	0.050	50.1	50.1	50.2	0.050	10.02	1021.41	40.69	37.24
	2	150	1179.44		50.2	50.3	50.3	0.050	50.4	50.2	50.4	0.050	9	917.43	36.31	
	3	145	1132.61		50.2	50.4	50.4	0.050	50.4	50.4	50.8	0.051	8.63	879.71	34.72	
2	1	144	1172.99	1331.913	49.4	50.5	49.4	0.050	49.7	49.8	49.2	0.050	7.43	757.39	30.58	26.86
	2	136	1378.30		49.4	50.6	49.5	0.050	49.6	49.6	50	0.040	5.21	531.09	21.39	
	3	143	1444.44		49.7	50.5	49.8	0.050	49.4	49.6	49.8	0.040	7.02	715.60	28.62	
3	1	133	1070.46	1058.162	50.1	50	50.2	0.050	49.3	49.4	49.8	0.050	7.06	719.67	28.67	25.45
	2	133	1066.87		50.1	50	50.2	0.050	49.8	49.7	49.5	0.050	7	713.56	28.43	
	3	128	1037.16		50	50	50.1	0.050	49.2	49.5	49.2	0.049	4.73	482.16	19.26	
4	1	124	997.34	979.355	50	50.2	50	0.050	49.8	50	49	0.050	8.27	843.02	33.63	33.80
	2	119	956.59		50.2	50.2	50.4	0.050	49.8	49.1	48.8	0.049	7.19	732.93	29.01	
	3	123	984.13		50.2	50.4	50.4	0.050	49.8	49.1	49.1	0.049	9.63	981.65	38.75	
5	1	160	1280.01	1256.902	50	50.4	49.8	0.050	50	49.8	49.8	0.050	9.95	1014.27	40.46	40.04

	2	155	1233.41		50	50.4	50	0.050	50	50	50	0.050	9.14	931.70	37.07	
	3	158	1257.29		50	50.4	50	0.050	49.7	50.2	50.1	0.050	10.5	1070.34	42.59	
6	1	152	1207.16	1204.625	50.4	50.3	50.1	0.050	49.7	49.6	50.2	0.050	11	1121.30	44.38	46.46
	2	152	1206.40		50.4	50.3	50.4	0.050	49.7	49.3	50	0.050	11.67	1189.60	46.89	
	3	150	1200.32		50.5	50.4	50.5	0.050	49.2	49	49	0.049	12.02	1225.28	48.11	
7	1	123	989.99	997.565	50	50.2	50.2	0.050	49.2	49.7	49.4	0.049	8	815.49	32.45	30.50
	2	122	993.27		50	50	50.2	0.050	48.7	49.3	49	0.049	7.63	777.78	31.03	
	3	125	1009.44		50	50	50.1	0.050	49.5	49.8	49.1	0.049	6.88	701.33	28.02	
8	1	94	771.95	797.443	49.6	50.2	49.6	0.050	48.6	49.8	48.9	0.049	4.1	417.94	16.85	19.58
	2	98	779.86		50.4	50	50.4	0.050	50	50	49.2	0.050	5.12	521.92	20.66	
	3	102	840.52		49.7	50	49.8	0.050	49	49	48.6	0.049	5.17	527.01	21.22	
9	1	102	826.99	865.686	50	50	49	0.050	50	50	50	0.050	1.94	197.76	8.02	8.20
	2	107	864.67		50	50	50.2	0.050	49.7	49.4	49	0.049	2.05	208.97	8.34	
	3	114	905.39		50	50.4	50.6	0.050	50.5	49.6	49	0.050	2.05	208.97	8.25	

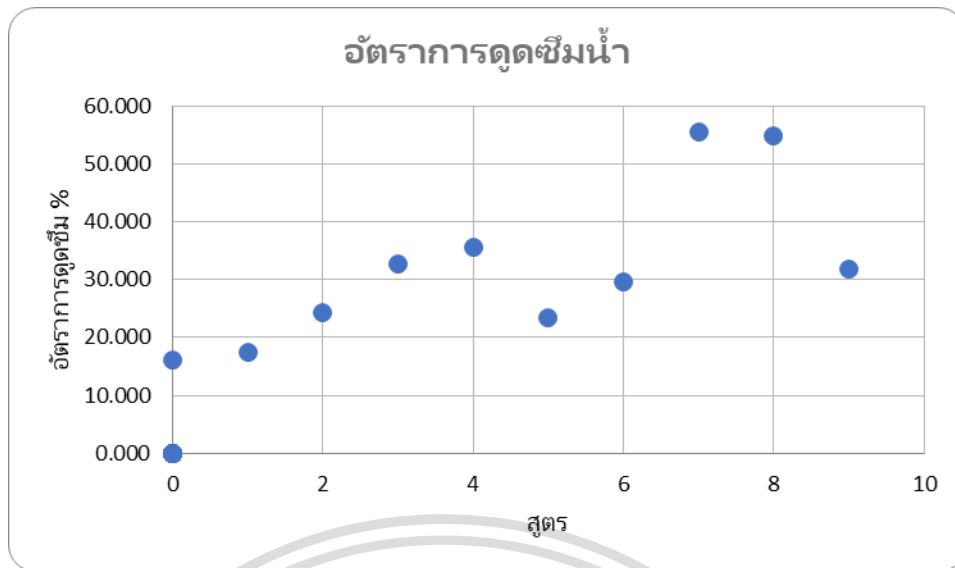
ตารางที่ ข.2.5 อัตราการดูดซึมน้ำ Vary ขุยมะพร้าว W/C=0.4,0.6 และ Fixed Foam 100%,S/C=1

สูตร	ก้อนที่	น้ำหนักหลังอบ	น้ำหนักก่อนอบ	อัตราการดูดซึมน้ำ	อัตราการดูดซึมน้ำ
		g	g	%	%
0	1	170	198.00	16.47	16.039
	2	174	202.00	16.09	
	3	180	208.00	15.56	
1	1	158	185.00	17.09	17.451
	2	150	176.00	17.33	
	3	145	171.00	17.93	
2	1	144	178.00	23.61	24.362
	2	136	170.00	25.00	
	3	143	178.00	24.48	
3	1	133	176.00	32.33	32.742
	2	133	177.00	33.08	
	3	128	170.00	32.81	
4	1	124	168.00	35.48	35.526
	2	119	162.00	36.13	
	3	123	166.00	34.96	
5	1	160	197.00	23.13	23.471
	2	155	192.00	23.87	
	3	158	195.00	23.42	
6	1	152	196.00	28.95	29.518
	2	152	197.00	29.61	
	3	150	195.00	30.00	
7	1	122	173.00	41.80	55.546
	2	125	172.00	37.60	
	3	94	176.00	87.23	
8	1	94	148.00	57.45	54.837
	2	98	152.00	55.10	
	3	102	155.00	51.96	
9	1	102	135.00	32.35	31.941
	2	107	143.00	33.64	
	3	114	148.00	29.82	

เอกสารนี้เป็นเอกสารที่สงวนไว้สำหรับการศึกษานี้เพื่อการศึกษาเท่านั้น ไม่ควรนำเอกสารนี้ไปใช้เพื่อการค้า
 ไม่ควรตีพิมพ์หรือเผยแพร่โดยไม่ได้รับอนุญาตจากทางมหาวิทยาลัยเทคโนโลยีสุรนารี

This material is reserved for educational use only, not allowed for commercial use.

Forbidden to modify the content, and cite the document when use.



รูปที่ ข.2.5 อัตราการดูดซึมน้ำที่ Vary ขุยมะพร้าว W/C=0.4,0.6 และ Fixed Foam 100% ,S/C=1



เอกสารนี้เป็นเอกสารที่สงวนไว้สำหรับการใช้งานเพื่อการศึกษาเท่านั้น ไม่อนุญาตให้นำไปใช้ประโยชน์ด้านการค้า
ไม่ว่ากรณีใดๆทั้งสิ้น อีกทั้งห้ามมิให้ดัดแปลงเนื้อหา และต้องอ้างอิงถึงเจ้าของเอกสารทุกครั้งที่มีการนำไปใช้

This material is reserved for educational use only, not allowed for commercial use.

Forbidden to modify the content, and cite the document when use.